

Západočeská univerzita v Plzni
Fakulta aplikovaných věd
Katedra informatiky a výpočetní techniky

Diplomová práce

Zvýšení bezpečnosti Linuxu

Prohlášení

Prohlašuji, že jsem bakalářskou práci vypracoval samostatně a výhradně s použitím citovaných pramenů.

V Plzni dne 28. června 2017

Miroslav Marek

Poděkování

Děkuji [Ing. Michalovi Švambergovi](#) za odborné vedení a čas věnovaný mě při tvorbě tohoto dokumentu. Mé poděkování patří též [CIV](#) za poskytnutí infrastruktury pro účely měření.

Abstrakt

Diplomová práce [Zvýšení bezpečnosti Linuxu](#) je dokument, jehož cílem je seznámení čtenáře s klasifikací bezpečnosti informačních systémů [TCSEC](#), s úrovní bezpečnosti operačních systémů [GNU Linux](#), s mechanismem správy paměti, kterého se týká největší díl zranitelností a na jehož vylepšení je zvýšení bezpečnosti z větší části postaveno, s vybranými [zranitelnostmi](#) zapříčiněnými nedokonalostí [Linuxu](#), s [hrozbami](#), které mohou těchto zranitelností zneužít k úmyslnému poškození systému, s vybranými řešeními, které [zranitelnosti](#) buďto přímo odstraní nebo alespoň minimalizují rozsah škod, který by mohly způsobit případné [hrozby](#), s analýzou jednotlivých komponent těchto řešení, s jejich dopadem na výkonnost zabezpečeného systému, se zhodnocením tohoto jejich dopadu a s doporučením pro jejich nasazení pro různá prostředí.

Abstract

The diploma thesis [Increase Linux security](#) is a document, whose aim is introduce the reader with the security classification of information systems [TCSEC](#), with the security level of operating systems [GNU Linux](#), with the memory management mechanism that hosts the largest share of vulnerabilities and on which the increased security is largely built, with selected [vulnerabilities](#) caused by [Linux](#)'s imperfections, with [threats](#) that can exploit these vulnerabilities to deliberate damage to the system, with selected solutions that will either eliminate the [vulnerabilities](#) directly or at least minimize the extent of damage that could be caused by potential [threats](#), with the analysis of the individual components of these solutions, with their impact on the performance of the secured system, with an assessment of this impact and with recommendations for their deployment for different environments.

Obsah

1	Úvod	13
2	Klasifikace bezpečnosti informačních systémů	15
2.1	Kritéria pro hodnocení bezpečnosti IS	15
2.2	TCSEC	15
3	Základní pojmy	19
3.1	Uživatel v Linuxu	19
3.2	Uživatelský účet	19
3.3	Skupina	19
3.4	Soubor	19
3.5	Program	19
3.6	Proces	20
3.7	Režimy procesoru	21
3.8	Hlavní paměť	21
4	Správa paměti	23
4.1	Adresní prostory	23
4.2	Implementace správy paměti	24
4.3	Segmentace	25
4.4	Virtualizace paměti	25
4.5	Správa paměti v praxi	28
4.6	Rozdělení AS procesu z hlediska obsažených dat	28
4.7	Princip volání podprogramů	30
5	Standardní bezpečnostní řešení	37
5.1	Bezpečnostní mechanismy implementované v hardware	37
5.2	Řízení přístupu	37
5.3	Volitelné řízení přístupu (DAC)	38
5.4	Chroot	42
5.5	Capabilities	43
6	Nadstandardní bezpečnostní řešení	47
6.1	Povinné řízení přístupu (MAC)	47
6.2	Řízení přístupu založené na rolích (RBAC)	47
6.3	Linux Security Modules	48
6.4	AppArmor	51
6.5	SELinux	51
6.6	Grsecurity	54
7	Srovnání vybraných nadstandardních bezpečnostních řešení	55
8	Hrozby	57
8.1	Zavedení a vykonání vlastního kódu	57
8.2	Vykonání existujícího kódu mimo původní programové pořadí	58
8.3	Vykonání existujícího kódu v původním programovém pořadí s původními daty	58
8.4	Možnosti ovlivnění toku instrukcí v původním programovém kódu	58
8.5	Převzetí kontroly nad během procesu	60
8.6	Únik informace z kernelspace-stack	61
8.7	Neoprávněné opuštění chroot prostředí	62
8.8	ROP	62
8.9	Zabezpečení Kernel Space	63
8.10	Souběžné spojení	64
9	Grsecurity/PaX	67
9.1	ASLR	67

9.2	Důsledné vynucení nespustitelné paměti	74
9.3	Nefunkčnost programů zapříčiněná PAGEEXEC/SEGMEEXEC	78
9.4	Značkování spustitelných souborů souborů pro PaX	78
9.5	Obrana proti útoku ret2usr (UDEREF a KERNEXEC)	79
9.6	Volba PAX_SOFTMODE	81
9.7	Volba PAX_EI_PAX	81
9.8	Volba PAX_PT_PAX_FLAGS	81
9.9	Volba PAX_MPROTECT	81
9.10	Volba PAX_ELFRELOCS	81
9.11	Volba PAX_SOFTMODE	82
9.12	Volba PAX_PAGEEXEC	82
9.13	Volba PAX_MEMORY_SANITIZE	82
9.14	Volba PAX_MEMORY_STACKLEAK	83
9.15	Volba PAX_MEMORY_STRUCTLEAK	83
9.16	RAP	83
9.17	Řešení nedostatků v zabezpečení chroot prostředí	84
9.18	Přidání podpory MAC/RBAC	85
9.19	Zvýšení bezpečnosti síťového subsystému	92
9.20	Znemožnění přístupu k /dev/kmsg	93
9.21	Řízení přístupu k souborovému systému /proc	93
9.22	Další drobná vylepšení bezpečnosti	94
10	Srovnání úrovně zabezpečení GNU Linux	95
11	Měřicí/měřené prostředí	97
11.1	Nejslabší článek spoje xenmv ↔ metalist	97
11.2	Redukce počtu procesorových jader	97
11.3	Konfigurace měřeného prostředí	98
11.4	Příprava prostředí	98
12	Dokumentace	103
12.1	Obsah příloženého CD	103
12.2	Programátorská dokumentace	103
12.3	Uživatelská	106
13	Testy	113
13.1	Popis měření	113
13.2	Nástroje použité pro testování	114
13.3	Testy nástrojem ping	115
13.4	Testy nástrojem iperf	117
13.5	Testy nástrojem qperf	121
13.6	Testy nástrojem lmbench	134
13.7	Testy nástrojem unixbench	147
13.8	Testy nástrojem sysbench	158
14	Hodnocení	185
14.1	Srovnání bezpečnostních řešení	185
14.2	Doporučení zabezpečení	196
14.3	Posun systému v klasifikaci TCSEC způsobený patchem Grsec/PaX	201
15	Závěr	203
A	Seznamy	205
A.1	Obrázky	205
A.2	Tabulky	206
A.3	Příkaz/y (interakce s shellem)	209
A.4	Skripty (posloupnosti příkazů)	209
A.5	Konfigurace GrSec	209
A.6	Strojové kódy x86	209
A.7	C kódy	209
A.8	Konfigurace	210
A.9	Výrazy	210

A.10	Rovnosti	210
A.11	Zkratky	210
A.12	Slovník	213
A.13	Registry x86	219
A.14	Použité informační zdroje	219

1. Úvod

A k čemu bude [Zvýšení bezpečnosti Linuxu](#) dobré? To záleží na cennosti dat, se kterými systém, v němž se „bezpečnější“ jádro nasadí, pracuje, či se kterými pracují systémy, jimž má zabezpečený systém poskytovat ochranu¹. **Bezpečnostní mechanismy dnes přítomné ve vanilla Linuxu či nějaké jeho distribuční derivaci pro většinu nasazení stačí.** Za naprostý základ mezi bezpečnostními mechanismy lze považovat např. [DAC](#) v podobě standardních unixových práv a [POSIX ACL](#), [capabilities](#), [segmentaci](#) či konečně základ všeho zabezpečení v IT, bez kterého by ostatní bezpečnostní mechanismy nemohly existovat – [Rings](#).

Tempo přírůstků bezpečnostních mechanismů ale rozhodně neslábne². **Mnohé** z nich však **bývají** ve výchozím nastavení jádra **deaktivované** či **se do jádra vůbec nedostanou** a zájemci o ně tak musí vynaložit nikoliv nepatrné úsilí, chtějí-li je na svých systémech zprovoznit. **Takové** bezpečnostní mechanismy **lze nazvat nadstandardními**. Už jen skutečnost, že vznikají, dává tušit, že [Zvýšení bezpečnosti Linuxu](#) by k něčemu dobré být mohlo.

Čím jsou data, s nimiž systém zachází nebo kterým poskytuje ochranu, cennější, tím větší je motivace mnohých osob se těchto dat zmocnit či je nějak modifikovat ve svůj prospěch. Problémem na tom všem je, že to dělají, přestože k tomu nemají pověření. Proto jádro disponuje již v základu celou řadou mechanismů, jejichž účelem je vynucení přístupových oprávnění a v konečném důsledku tedy i zamezení takovému jednání. Lačnost po datech ze strany těchto osob bez pověření však standardní bezpečnostní mechanismy často překoná čili přesněji řečeno motivuje k jejich „obejití jinou cestou“. Provozovatelé systémů si zpravidla nepřejí, aby se jim kdokoli bez pověření proháněl po systému a proto tvoří poptávku po nadstandardních bezpečnostních mechanismech. Pro ty tak existuje trh a bezpečnostní odborníci jej plní svými vynálezy, které následně provozovatelé systémů nasazují. Ke smůle provozovatelů však motivace a zejména znalosti osob bez pověření rostou společně s tím, jak jsou systémy postupně více a více zabezpečovány.

Nadstandardní bezpečnostní mechanismy přestávají býti nadstandardními v okamžiku, kdy vzniknou nástroje, které automatizují [exploitování zranitelností](#), které tyto nadstandardní bezpečnostní mechanismy zneškodňují a kdy se zároveň tyto zranitelnosti stanou mediálně známými. Mediální podpora zranitelnostem a vznik nástrojů automatizujících jejich exploitování totiž vedou k prudkému poklesu požadavků na znalosti, které jsou k jejich exploitování jinak běžně potřebné. Právě svět, kde kdejaké „script kiddie“ představuje ohrožení systému, ujme nadstandardnímu bezpečnostnímu mechanismu onu nadstandardnost.

[Zvýšení bezpečnosti Linuxu](#) aplikací nadstandardních bezpečnostních mechanismů nepostihne pouze jej, nýbrž celý [GNU Linux](#). Jde totiž i o zabezpečení uživatelských programů, které běží nad ním. Tyto **programy nejsou zpravidla tvořeny s cílem býti bezpečnými, nýbrž s cílem přinést maximální možný užitek**. Existence [zranitelnosti](#) v programu je důsledkem buďto nesprávné implementace správného algoritmu anebo prostě jen implementace nesprávného algoritmu. Program si tak za svou zranitelnost může sám a nejsnazší cestou k jejímu odstranění je jej nepoužívat a **napsat si jeho vlastní variantu zranitelností prostou**. Na to však **absolutně není čas**, chce-li provozovatel služby službu někdy také skutečně provozovat. Když si provozovatel spočítá, že se mu vývoj jemu potřebného vybavení prostého zranitelností nevyplatí, přistoupí ke všem ostatním na cestu nejmenšího odporu, kde se zranitelnosti tolerují a **hledá se nejméně odporu kladoucí řešení. A tím je provoz softwaru plného zranitelností zároveň s bezpečnostními technikami** zavádějícími taková opatření, která [hrozby](#) plynoucí z existence těchto [zranitelností](#) eliminují či minimalizují rozsah škod, který by mohly způsobit. To znamená, že v kódu dále tyto zranitelnosti zůstanou, nicméně nebude možné je zneužít. **Bezpečnostní techniky tak zpravidla působí čistě preventivně.**

Přijetí tolerance zranitelností na jednu stranu spoří člověkohodiny, které by bez ní byly potřeba na odstranění těchto zranitelností. Na druhou stranu však plytvá instrukčními cykly, které se použijí na provoz preventivně působících bezpečnostních technik. **Tento stav je umožněn přebytkem výkonnosti dnešních systémů.** S neustálým růstem výkonnosti bude zřejmě i nadále vzrůstat význam preventivně působících bezpečnostních technik, neb díky výkonnostním přebytkům si systémy budou moci stále častěji a ve větší míře dovolit jejich provoz.

Zajímá-li čtenáře, jak velký dopad na výkonnost mají nadstandardní bezpečnostní mechanismy nyní, proti jakým hrozbám jeho systém ochrání či prostě jen hledá odpověď na otázku, zda-li se mu jejich nasazení vyplatí, potom je na dobré cestě. Dočítá totiž právě úvod dokumentu [Zvýšení bezpečnosti Linuxu](#), který si vzal za svůj cíl analyzovat několik vybraných nadstandardních bezpečnostních řešení a na základě měření provedeném na systému, který pro účely měření poskytl [CIV ZČU](#), odpovědět mimo jiné na výše uvedené otázky.

¹Čili např. firewall.

³Například [SMAP/SMEP](#) (2012), [Intel MPX](#) (2013), [RAP](#) (2016) [[Spe16](#)], a řada dalších ...

2. Klasifikace bezpečnosti informačních systémů

Existence trhu s informačními systémy (IS) a poptávky po těchto systémech ze strany laiků (v oblasti bezpečnosti) vedou k poptávce po standardizaci měřítko uplatnitelného pro jejich porovnání. Zájemce o IS zpravidla nemá prostředky ani znalosti potřebné pro provedení (bezpečnostního) auditu všech IS na trhu. Ověření (bezpečnosti) IS proto uživatel často deleguje na tvůrčích porovnávaných IS nezávislé autority, které IS zhodnotí a zároveň zaručí, že hodnocení bylo provedeno řádně. Hodnocení IS vyžaduje existenci objektivních a přesně definovaných kritérií bezpečnosti.

2.1 Kritéria pro hodnocení bezpečnosti IS

Kritéria pro zhodnocení bezpečnosti IS by měla poskytnout

- uživatelé IS měřítko pro vyjádření stupně zabezpečení IS,
- výrobcům IS zpětnou odezvu a vodítko pro zlepšování jejich produktů a
- hodnotícím autoritám jasná hodnotící pravidla.

Kritérií pro hodnocení bezpečnosti IS je více. V rámci snah o **zvýšení bezpečnosti Linuxu** se má smysl bavit pouze o těch, která se váží na prostředí operačních systémů.

2.2 TCSEC

S vývojem kritérií pro hodnocení bezpečnosti IS se celosvětově začalo koncem šedesátých let. V USA byla za tímto účelem poprvé vytvořena pracovní skupina na tamějším ministerstvu obrany [Han93]. Mimo jiné dokumenty vzešly z ministerstva obrany USA poměrně široce známé standardy týkající se bezpečnosti, jejichž přehled lze nalézt na http://en.wikipedia.org/wiki/Rainbow_Series.

- TCSEC – „Orange Book“
- TDI – „Grey Book“
- TNI – „Raspberry Book“

Hodnocení bezpečnosti IS se věnuje dokument TCSEC, který byl zveřejněn v polovině osmdesátých let. Jedná se o jeden z prvních veřejně publikovaných dokumentů definujících kritéria pro hodnocení bezpečnosti IS. Tato kritéria jsou formulována velmi obecně a lze podle nich hodnotit jakoukoliv komponentu IS.

2.2.1 Kategorie IS dle TCSEC

TCSEC definuje pro klasifikaci IS (a tedy i systému operačního (OS)) divize

- A – minimální ochrana,
- B – volitelná ochrana,
- C – povinná ochrana a
- D – verifikovaná ochrana

dále se dělí na třídy [85]. IS lze zařadit do jedné z následujících kategorií respektive tříd vyjadřujících úroveň bezpečnosti IS.

2.2.1.1 Třída D – minimální ochrana

Třída D zahrnuje IS s žádnými či pouze minimálními prvky bezpečnosti. Minimálními prvky bezpečnosti se v tomto případě rozumí prvky, které IS nestačí pro zařazení do třídy C1. Do třídy D se řadí například MS-DOS a operační systémy jej obsahující – Windows až do Millennium Edition včetně.

2.2.1.2 Třída C1 – volitelná ochrana

Zařazení IS do třídy C1 předpokládá

oddělení uživatelů a dat,

Přístup subjektů k objektům je možné řídit respektive není neomezený.

autentizaci subjektů,

Každý **subjekt** pracující se systémem musí být autentizován (zpravidla heslem). Třída **C1** si nicméně neklade požadavek na to, aby každý reálný uživatel (ve smyslu osoba) byl v systému veden jako individuální **subjekt**. **IS** musí chránit autentizační data před neautorizovaným přístupem.

ochranu domény před vnějšími zásahy a

IS musí zajistit ochranu své **domény** před vnějším zásahem, kterým může být např. modifikace kódu či dat.

volitelné řízení přístupu (DAC).

Řízení přístupu založené na existenci **ACL** pro každý **objekt** v systému. **ACL** je definováno vždy **subjektem** vlastním daný **objekt**. **Řízení přístupu k objektu je tak zcela v režii jeho vlastníka.**

Do této kategorie lze zařadit **GNU Linux** systémy [Pat].

2.2.1.3 Třída C2 – řízená ochrana přístupu

Třída **C2** požaduje po **IS**

vše, co požadovala třída C1,**jemněji konfigurovatelné nepovinné řízení přístupu (DAC),**

Oprávnění musí být možné definovat na úrovni každého jednotlivého uživatele.

rušení obsahu systémových prostředků při jejich znovupoužití,

IS musí zajistit, aby při opakovaném použití libovolného prostředku v rámci systému nebylo možné z něj získat jeho původní obsah. Obsah nesený libovolnými systémovými prostředky (zejména hlavní paměť) je před přístupem **subjektu** vždy zrušen/inicializován. ⇒ **Subjekt** nemá možnost získat přístup k datům **subjektu** využívajícího tentýž prostředek před ním.

jednoznačnou identifikaci a autorizaci každého jednotlivého uživatele a

Každý jednotlivý uživatel **IS** musí mít v rámci **IS** jednoznačnou identitu. S touto identitou systém pojí všechny kontrolovatelné kroky, jež může jednatlivec v rámci **IS** vykonat. K autentizaci jsou v tomto případě nutné minimálně 2 informace – uživatelské jméno a heslo.

logování z hlediska bezpečnosti významných událostí.

Veškeré akce týkající se přístupu k **objektům** musí být **IS** schopen zaznamenávat. Záznamy jsou chráněny před neoprávněným přístupem. Mezi zaznamenávané události patří

- úspěšné i neúspěšné autentizace **subjektů**,
- zavedení/odstranění **objektů** do/z adresového prostoru **subjektu** a
- akce provedené správci **IS**.

Pro každou zaznamenávanou událost je nutné vést

- datum a čas události,
- typ události a
- úspěch/neúspěch události.

IS musí správci systému poskytnout možnost provádět audit selektivně pro jednotlivé typy událostí a též pro jednotlivé **subjekty**. Účelem tohoto opatření je informovat o pokusech **subjektů** o neautorizované akci.

2.2.1.4 Třída B1 – značkováná ochrana

Třída **B1** předpokládá

splnění požadavků třídy C2,**klasifikaci subjektů a objektů podle stupně jejich ochrany,**

Subjekty jsou asociovány se značkami reprezentujícími stupeň jejich ochrany. Tytéž značky jsou přiděleny **objektům** danými **subjekty** vlastněnými. Značky jsou hierarchicky uspořádány.

povinné řízení přístupu (MAC) a

Na základě značek jsou prováděna rozhodnutí o přidělení/nepřidělení přístupových oprávnění. Jedná se o vynucené řízení přístupu, které má v moci distributor těchto značek. **Subjekt** tak v rámci **MAC** nerozhoduje o přístupových právech k jemu vlastněným **objektům**. **Subjekt** má přístup pouze k **objektům** s nižší klasifikační značkou.

existenci neformální definice bezpečnostní politiky.

Musí existovat neformální popis implementovaného bezpečnostního modelu.

2.2.1.5 Třída B2 – strukturovaná ochrana

Třída **B2** předpokládá

splnění požadavků třídy **B1**,

formální definici modelu bezpečnostní politiky IS,

IS je podle tohoto modelu implementován.

MAC nad všemi subjekty a objekty v systému a

Povinné řízení přístupu musí být povinně uplatňováno nad všemi v systému přítomnými **subjekty a objekty**.

dekompozici IS do modulů.

IS musí být vnitřně strukturován do do značné míry nezávislých modulů. Rozlišují se moduly citlivé na bezpečnost a moduly ostatní. Jednotlivé moduly musí mít nejnížší možné oprávnění, které jim zaručí správný chod. K oddělení modulů citlivých na bezpečnost musí IS efektivně využívat možnosti jemu dostupného hardwaru. Příkladem je mechanismus **segmentace** oddělující jednotlivé objekty v adresním prostoru a vynucující přístupová oprávnění nad nimi.

2.2.1.6 Třída **B3** – bezpečnostní domény

IS zařazený do třídy **B3**

splňuje požadavky kladené na IS třídou **B2**,

přenechává jakékoliv autorizace referenčním monitorům,

Referenční monitor (RM) je komponenta systému zprostředkovávající autorizaci všech přístupů **subjektů k objektům**. RM musí [Pat] být

- odolný vnějším zásahům (útokům),
- přítomný u **každého rozhodování** o přístupu a
- dostatečně malý na to, aby mohl být podroben analýze a testování.

RM tak vždy obsahuje pouze nezbytně nutný kód pro realizaci stanovené bezpečnostní politiky.

je schopný se zotavit po útoku a

Zotavení si nesmí vyžádat žádné ústupky z hlediska bezpečnostní politiky.

definuje roli bezpečnostního správce.

Oblasti nastavení týkající se bezpečnosti vyžadují roli administrátora zabezpečení. Řadoví administrátoři mohou konfigurovat zabezpečení pouze po nabytí role bezpečnostního správce, které je logováno.

2.2.1.7 Třída **A1** – ověřená ochrana

Třída **A1** představuje v klasifikační hierarchii **TCSEC** nejvyšší úroveň bezpečnosti. Zařazení **IS** do třídy **A1** předpokládá

splnění požadavků třídy **B3** a

formální důkaz všech funkčních požadavků nižších tříd.

IS disponuje analýzou implementace funkčních požadavků nižších tříd a formálním důkazem jejich funkčnosti. To zajistí vysoký stupeň jistoty toho, že **IS** je z bezpečnostního hlediska realizován správně.

3. Základní pojmy

Pro bližší seznámení s bezpečnostními aspekty Linuxu je vhodné se nejprve seznámit se základními pojmy, hrajícími v problematice bezpečnosti hlavní role.

3.1 Uživatel v Linuxu

Uživatel je subjekt operující v rámci systému pod unikátním identifikátorem **User Identifier (UID)**. Každý uživatel v rámci systému

- musí mít jméno (username),
- může mít definována jedinečná přístupová oprávnění,
- může být vlastníkem souborů,
- musí mít stanoven identifikátor primární skupiny **Primary GID (PGID)** čili primární skupinu, které je členem a
- může mít definován seznam sekundárních skupin, jejichž je členem.

Různí uživatelé by měli mít navzájem různá **UID**, nicméně nutné to není. V případě stejných **UID** budou jejich přístupová oprávnění totožná.

3.1.1 Superuživatel

Superuživatel je uživatel s **UID** rovným 0. Takový uživatel má v rámci systému neomezená oprávnění k jakékoliv činnosti. V rámci systému jich může být i více a označují se jako privilegovaní. Ostatní uživatelé jsou neprivilegovaní.

3.2 Uživatelský účet

Uživatelský účet je množina nesourodých položek vázaných na právě jednoho uživatele. Zahrnuje vše k uživateli vztažené:

- identifikátor **UID**,
- identifikátor primární skupiny **PGID**,
- seznam sekundárních skupin,
- domovský adresář a
- přihlašovací shell.

V systému existují dva druhy uživatelských účtů – *normální* a *systémový*. Toto dělení není závazné, nýbrž jedná se pouze o zvyk určující mapování **UID** normálních účtů do intervalu $\langle 1000, 2^{16} \rangle$ a účtů systémových do $\langle 0, 1000 \rangle$. Do systémových uživatelských účtů se ve většině případů nelze přihlásit, neboť jejich přihlašovacím programem nebývá shell.

3.3 Skupina

Uživatelé jsou organizováni v množinách zvaných *skupiny*. *Skupina* je množina uživatelů v rámci systému identifikovaná prostřednictvím **Group Identifier (GID)**. Umožňuje specifikovat přístupová oprávnění uživatelům v ní obsaženým. Každý uživatel musí být členem nejméně jedné skupiny. Jedna ze skupin uživatele je vždy primární. Uživatel má možnost svou primární skupinu změnit příkazem `newgrp` na jinou skupinu z množiny skupin, jichž je členem.

3.4 Soubor

Soubor je reprezentací konkrétního prostředku (obyčejný soubor, adresář, speciální soubor, síťový socket, ...) v rámci počítače, s kterým je možné manipulovat – číst z něho či do něj zapisovat. V prostředí operačního systému GNU/Linux je většina prostředků reprezentována *soubory*, z nichž sestává stromová struktura zvaná souborový systém. V souborovém systému je soubor jednoznačně identifikován nejčastěji číslem svého **inode**. V následujícím textu se „soubor“ rovná jakémukoliv prostředku operačního systému – tedy nikoliv výhradně obyčejný soubor.

3.5 Program

Program je soubor obsahující posloupnost **strojových instrukcí** zakódovaných do binární podoby srozumitelné procesoru.

3.6 Proces

Proces je n-tice sestavená z nestejnorodých prvků, z nichž nejvýznamnější jsou

program,

Spustitelný soubor.

$k \times$ program counter,

Počítadlo instrukcí pro každé z k vláken operujícím nad adresovým prostorem programu.

VAS,

Adresní prostor paměti, který je uspořádán jinak nebo je dokonce větší, než je fyzicky připojená hlavní paměť. Podrobnější zmínka o VAS je uvedena v kapitole 4.1.2.

Process Identifier (PID) a

Jednoznačný identifikátor procesu v rámci počítače.

RI a EI.

Reálná a efektivní identity procesu, od nichž se odvíjí oprávnění procesu. Podrobnější zmínka o identitách procesu je uvedena v kapitole 3.6.3

3.6.1 Vlastník procesu

Vlastník procesu je uživatel, který inicioval spuštění procesu. Tento uživatel je oprávněn řídit jeho běh prostřednictvím signálů. Zasiťat signály procesu mohou

- proces s RUID rovným RUID či SSUID adresáta,
- proces s EUID rovným RUID či SSUID adresáta a
- proces s *capabilitou* CAP_KILL – např. superuživatelský proces.

Ostatní nemohou s procesem prostřednictvím signálů komunikovat.

3.6.2 Skupinový vlastník procesu

Skupinový vlastník procesu je skupina, kterou měl vlastník procesu nastavenou jako primární v okamžiku vytvoření procesu.

3.6.3 Identita procesu

Identita procesu je uspořádaná dvojice identifikátorů – (UID,GID). Rozhodně proces jednoznačně neidentifikují (od toho je PID). Veškeré atributy ovlivňující identity konkrétního procesu je možné zobrazit příkazem ps (viz příkaz 3.1). Každý proces má dvě identity – reálnou () a efektivní ().

```
$ ps -o ruid,rgid,uid,gid,comm --pid
RUID  RGID  UID   GID  COMMAND
1000   24   1000   24  bash
```

Příkaz/y 3.1: Získání atributů určujících identitu aktuálního příkazového interpretru

3.6.3.1 Reálná identita procesu

Reálná identita (RI) procesu je uspořádanou dvojicí identifikátorů

- Real UID (RUID) – UID vlastníka procesu
- a Real GID (RGID) – GID skupinového vlastníka procesu.

Reálná identita ovlivňuje oprávnění procesu zasílat signály jiným procesům. Proces s reálnou identitou nepriviligovaného uživatele může zasílat signály pouze procesům se stejnou reálnou identitou. Procesy standardně dědí oprávnění svého předka, díky čemuž rodič a jeho potomci mají možnost komunikovat.

3.6.3.2 Efektivní identita procesu

Efektivní identita (EI) procesu je uspořádanou dvojicí identifikátorů Effective UID (EUID) a Effective GID (EGID). Standardně je efektivní identita tatáž, jako reálná identita. Efektivní identita určuje

- přístupová oprávnění procesu k existujícím souborům
- a vlastníka (též skupinového) procesem nově vytvářených souborů.

3.6.3.3 Změna identity

Po volání `fork()` má nový proces stejné **RI** i **EI**, jako jeho rodič.

Pokud by měly všechny procesy v systému tytéž identity, bezpečnost by byla podmíněna bezpodmínečně dobrými úmysly a kompetencí každého procesu nakládat se soubory, s kterými nakládá. Možnost změny identity je tedy na nejvyšší nutná. Proces může změnit svou identitu voláním

`exec(/bin/login, ...)`

Po případném úspěšném přihlášení uživatele se **RI** i **EI** nastaví na hodnoty **UID** respektive **PGID** uživatele.

`exec(<SPUSTITELNY_SOUBOR_5_NASTAVENYM_SUID_BITEM>, ...)`

Po ověření oprávnění procesu daný soubor spustit se změni **EI** (konkrétně **EUID**) procesu na **UID** vlastníka spouštěného souboru.

`exec(<SPUSTITELNY_SOUBOR_5_NASTAVENYM_SGID_BITEM>, ...)`

Po ověření oprávnění procesu daný soubor spustit se změni **EI** (konkrétně **EGID**) procesu na **GID** skupinového vlastníka spouštěného souboru.

`setuid(<POZADOVANE_UID>)` a má-li volající **EUID** rovno 0

Vždy dojde ke změně **EUID** i **RUID** procesu na požadovanou hodnotu.

`setuid(<POZADOVANE_UID>)` a má-li volající **EUID** různé od 0

Po ověření skutečnosti, že `<POZADOVANE_UID>` je rovno **RUID** nebo **SSUID**, se provede změna **EUID** procesu na požadovanou hodnotu.

`setgid(), seteuid(), setegid(), ...`

Obdobný postup jako při volání `setuid()`.

3.6.3.4 SUID a SGID bity

Je zjevné, že nezanedbatelnou roli v procesu změny efektivní identity (**EI**) mohou hrát tzv. **Set UID (SUID)** a **Set GID (SGID)** bity. Tyto bity změni **EI** procesu, který vykonává program (spustitelný soubor). Pokud je spustitelným souborem skript, příznaky **SUID** a **SGID** nemají vliv, neboť jejich spouštění je pouze chimérou pro zjednodušení jejich použití uživateli. Rozhodující je v tomto případě (ne)nastavení těchto příznaků souboru představujícího jejich interpretr.

3.7 Režimy procesoru

Režimy procesoru slouží k rozlišení úrovně oprávnění procesorem vykonávaného kódu. Jejich počet je dán architekturou procesoru. Při zanedbání existence **paravirtualizace** lze říci, že pro chod operačního systému postaveného na Linuxu stačí mít k dispozici právě dva režimy.

3.7.1 Režim jádra

Režim jádra – **kernel mode (KM)** – někdy též označovaný jako „privilegovaný režim“ je stav procesoru, ve kterém procesor vykonává strojový kód jádra. Může tak činit

v kontextu procesu (KM-PC) nebo

Vykonávání strojového kódu jádra mající vazbu na konkrétní proces. Nejčastější příčinou přepnutí do **KM-PC** je vykonání systémového volání obsaženého ve strojovém kódu uživatelského procesu.

mimo kontext procesu (KM-NPC).

Vykonávání strojového kódu jádra nemající vazbu na konkrétní proces. Typicky se může jednat například o obsluhu přerušování.

Každopádně v obou případech **KM** lze využívat všech architekturou poskytovaných instrukcí. Jakákoliv operace vyžadující přístup do **VAS** uživatelského procesu musí být provedena v jeho kontextu – v **KM-PC**.

3.7.2 Uživatelský režim

Uživatelský režim (UM) někdy též označovaný jako „neprivilegovaný režim“ je režim, kdy procesor vykonává strojový kód uživatelského procesu. V tomto režimu

- jsou zapovězeny některé instrukce a
- přístupná je pouze část hlavní paměti označovaná jako **Low Memory (LM)**.

3.8 Hlavní paměť

Hlavní paměť počítače je souvislé konečné pole **slabik**, kde každá jedna **slabika** má unikátní celočíselnou adresu – index v poli, na kterém se nalézá.

4. Správa paměti

Následující text uvažuje výhradně počítače založené na *Von Neumannově architektuře*, tedy počítače, které

- **nerozlišují mezi strojovými instrukcemi a daty (alespoň co se týče jejich uchovávání)**,
Obé představuje ve Von Neumannově architektuře sekvenci binárních hodnot, která je ukládána do [hlavní paměti](#).
- **paměť je rozdělena na úseky stejné velikosti – buňky a**
- **pořadové číslo buňky představuje její adresu.**

Seznámení s mechanismy správy hlavní paměti je nezbytné k objasnění principů, na kterých stojí podstatná část vylepšení [jádra](#) dodaných mu patchem¹ [Grsec/PaX](#).

Správa paměti, to je především překlad adres. Překladem adres je v tomto případě zobrazení

logická adresa → fyzická adresa

Vzhledem k tomu, že k překladu dochází při každém přístupu do paměti a že se jedná o relativně složitou operaci, je správa paměti implementována částečně hardwarově (viz kapitola 4.2.2). [GNU Linux](#) je víceúlohový systém podporující multitasking disponující [hlavní paměti](#) adresovanou fyzickými adresami. Problém, jak poskytnout každému z obecně n procesů v systému běžících adresní prostor začínající nulou řeší segmentace (viz kapitola 4.3), případně stránkování (viz kapitola 4.4.1). Problém, jak poskytnout procesům více paměti, nežli je v systému dostupné paměti řeší stránkování.

4.1 Adresní prostory

Adresní prostor (AS) je označení pro souvislý rozsah adres. V oboru správy paměti lze hovořit o

- **Physical Address Space (PAS)**,
Adresní prostor, jehož délka odpovídá kapacitě v počítači instalované hlavní paměti [Dud04]. Tvoří jej fyzické adresy (PA). V dnešních systémech je typicky řádově menší nežli logický/virtuální adresní prostor. Adresní prostor, jehož délka odpovídá kapacitě v počítači instalované hlavní paměti [Dud04]. Tvoří jej fyzické adresy (PA). V dnešních systémech je typicky řádově menší nežli logický/virtuální adresní prostor.
- **Virtual Address Space (VAS)**,
Adresní prostor paměti, který je uspořádán jinak nebo je dokonce větší, než je fyzicky připojená hlavní paměť.
- **Logical Address Space (LAS)** a
Adresní prostor tvořený logickými adresami.
- **Address Space (AS)**.
Adresní prostor vyhrazený pro jeden proces. Obecně je jím myšlen zpravidla VAS.

4.1.1 Logický adresní prostor

Logický adresní prostor (LAS) je adresní prostor používaný procesorem čili adresy jej pokrývající – logické adresy (LA) – jsou součástí strojového kódu. Institut logického adresního prostoru existuje kvůli podpoře segmentace².

4.1.1.1 Logická adresa

Logická adresa (LA) je uspořádaná dvojice

- **selektor segmentu a**
Identifikátor segmentu, v němž se paměťové místo nachází.
- **offset v rámci daného segmentu.**
Posunutí paměťového místa vzhledem k počátku segmentu, ve kterém leží.

Délka [LA](#) určuje maximální velikost paměti, kterou je procesor schopen adresovat. Je minimem z

¹[Grsecurity/PaX](#) je soubor modifikací [jádra](#) posilujících bezpečnost distribuovaný právě formou patche jádra.

²Segmentace je pro architekturu [x86](#) povinná.

- délky slova³ použité procesorové architektury a
- šířky adresové sběrnice procesoru.

Je zřejmé, že při $LA = n$ je velikost $LAS = 2^n - 1$ slabik. Proces, jemuž LAS náleží, nemá možnost jej využívat celý. LAS je rozdělen na

4.1.1.2 Kernel Space

Kernel Space (KS) neboli systémová část logického adresního prostoru je adresní rozsah v LAS nepřístupný strojovému kódu běžícímu v *user mode (UM)* čili nepřístupný uživatelským procesům. Naopak strojovému kódu běžícímu v *KM* – jádru – je tento prostor přístupný. Někdy je tento prostor označován též jako *High Memory (HM)*.

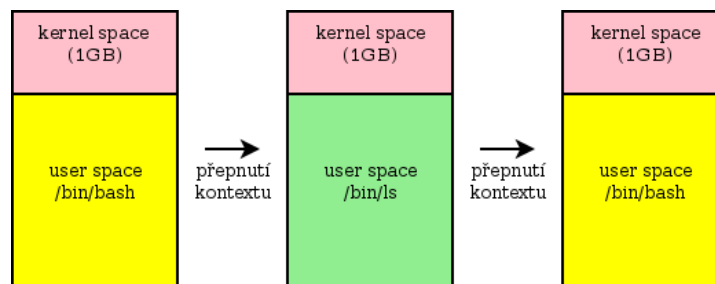
Zatímco každý proces přítomný v systému disponuje svým vlastním LAS , jádro žádný vlastní LAS nemá. Namísto toho využívá určitou část LAS každého z procesů nazývanou *Kernel Space (KS)*. Kód jádra a veškerá jím používaná data jsou mapována na stejné místo v rámci jakéhokoli LAS (viz obrázek 4.1), respektive všechny LAS mají část adresního prostoru – *Kernel Space* – mapovanou na tytéž stránky paměti. Z toho plyne, že adresní prostor jádra je v paměti umístěn stále na týchž adresách nezávisle na kontextu procesu. Jádro nemůže být z hlavní paměti nikdy odstránkováno⁴ a *KS* lze díky jeho trvalé přítomnosti v každém LAS využívat pro ukládání informací meziprocesové komunikace. Do *Kernel Space* mají přístup

jak vlákna vykonávající kód jádra v kontextu procesu

Vlákna vykonávající činnost vyvolanou určitým procesem.

tak i vlákna vykonávající kód jádra mimo kontext procesu.

Vlákna vykonávající činnost, která se nevztahuje k žádnému určitému procesu. Například vlákno plánovače procesů.



Obrázek 4.1: Přepnutí kontextu

4.1.1.3 User Space

User Space (US) neboli uživatelská část logického adresního prostoru je adresní rozsah v LAS přístupný strojovému kódu běžícímu v *user mode (UM)* – uživatelskému procesu – stejně tak, jako je přístupný strojovému kódu běžícímu v *KM-PC*. Někdy je tento prostor označován též jako *Low Memory (LM)*.

Oddělení od *Kernel Space* části LAS je realizováno mechanismem segmentace (viz kapitola 4.3).

4.1.2 Lineární/virtuální adresní prostor

Lineární adresní prostor či též *virtuální adresní prostor (VAS)* je adresní prostor umožňující realizaci mechanismu virtuální paměti (viz kapitola 4.4). Tvoří mezistupeň mezi LAS a PAS . Vyskytuje se pouze v případě nasazení mechanismu virtualizace paměti v systému – mechanismu stránkování paměti (viz kapitola 4.4.1).

4.2 Implementace správy paměti

Správa paměti je natolik komplexní, že její implementace je částečně hardwarová (viz kapitola 4.2.2) a částečně i softwarová (viz kapitola 4.2.1).

4.2.1 Memory Manager

Memory manager je komponentou jádra mající na starosti správu paměti. Jeho pracovní náplní jsou přidělování a odebrání paměti procesům, sdílení paměti mezi procesy, přesun stránek mezi *hlavní paměti* a *paměti externí* v případě nedostatečné kapacity hlavní paměti, převod mezi logickou (LA) a fyzickou (PA) adresou a mnohé další činnosti týkající se hlavní paměti. Hlavním úkolem *memory manageru* je zajištění chodu jak jádra tak i procesů běžících v systému s menším fyzickým adresním prostorem, nežli s jakým systém disponuje.

³Délka slova je například pro architekturu *x86-32* rovna 32 bitům.

⁴Přesunuto mechanismem *stránkování* z hlavní do externí paměti.

4.2.2 Memory Management Unit

Memory Management Unit (MMU) je hardwarová komponenta umístěná v rámci procesoru [93] zodpovědná za zobrazení

logická adresa → fyzická adresa

, přičemž při nasazení stránkování se jedná dokonce o složené zobrazení

logická adresa → lineární adresa → fyzická adresa

V každém případě účelem **MMU** je nalezení fyzické adresy. Pro provedení zobrazení využívá **MMU** informací získaných z *tabulky stránek* nebo z jejich cache v podobě *Translation Lookaside Buffer (TLB)*.

4.3 Segmentace

Segmentace je mechanismus správy **AS** procesu, který jej dekomponuje na více adresních prostorů tzv. *segmentů*.

Segment je samostatný adresní prostor mapovaný do **AS** procesu.

Segmentová tabulka je datová struktura uložená v hlavní paměti počítače. Její úlohou v procesu *segmentace* je provádět zobrazení

- logická adresa → fyzická adresa není-li na systému nasazena technika stránkování či
- logická adresa → lineární adresa je-li na systému nasazena technika stránkování.

Obsah deskriptoru segmentu, kterýžto je uložen v tabulce deskriptorů segmentů, se odvíjí od toho, zda-li je v systému aktivní mechanismus stránkování nebo není.

Každý záznam vedený v *segmentové tabulce* nese

číslo segmentu,

Identifikátor segmentu.

bázovou adresu segmentu,

PA určující umístění segmentu v rámci **PAS**.

délku segmentu a

Délka segmentu se může během vykonávání měnit. Délky různých segmentů jsou obecně různé, neboť jsou odvislé od velikosti obsahu jimi neseného.

přístupová práva k segmentu.

Přístup k jednotlivým segmentům je možné řídit nezávisle na ostatních segmentech. Informace o přístupových oprávněních jsou uloženy v *segmentové tabulce* v podobě příznaků

read-only a

Příznak zabraňující zápisu do *segmentu*.

execute.

Příznak zabraňující spuštění obsahu *segmentu*.

4.4 Virtualizace paměti

Každý proces v systému disponuje svým **LAS**, zatímco **PAS** je v systému pouze jediný a konečný. Má-li systém umožnit běh „nekonečně mnoho“⁵ procesů (což je obecně požadováno), musí v něm existovat mechanismus, který omezení dané nedostatečnou kapacitou **PAS** obejde. Říká se mu *virtualizace paměti*.

Virtualizace paměti je technika, která umožňuje přidělit procesům výrazně více paměti, než kolik jí má systém reálně k dispozici. Virtualizaci zajišťuje tzv. *stránkování* (viz kapitola 4.4.1). K virtualizaci paměti se vážou i další benefity a to

ochrana paměti,

Paměťové prostory v systému běžících procesů jsou od sebe dokonale izolovány.

zjednodušení paměťového modelu,

Eliminuje potřebu *relokace*.

snížení nebezpečí uvážnutí a

Přidává možnost odebrat procesu již přidělenou část **PAS**.

⁵„Nekonečně mnoho“ procesů je v tomto případě nadnesené vyjádření pro 2^{15} procesů, což je limit, dnes běžně nastavený, v operačních systémech stavěných nad Linuxem. Uveden je v souboru `/proc/sys/kernel/pid_max`. Lze jej zvýšit zápisem do daného souboru až na 2^{22} procesů. V porovnání s omezením daným velikostí **PAS** se nicméně i 2^{15} zdá být „v nekonečnu“.

úspora zdrojů (hlavní paměti).

Do paměti se nahrávají pouze procesem skutečně používané stránky a tím se výrazně šetří nepřidělenými rámci. Do **PAS** se díky tomu vejde najednou nepoměrně více procesů.

4.4.1 Stránkování

Stránkování je mechanismus realizující virtualizaci paměti. Zavádí **VAS** jako prostředníka mezi **LAS** a **PAS**. Na architektuře **x86** je stránkování nepovinné, nicméně **Linux** jej ke svému běhu vyžaduje, neboť přidělení více paměti, nežli je v systému reálně dostupné paměti, je dnes naprostým standardem. **Stránkování** předpokládá následující skutečnosti:

- **VAS** každého procesu je rozdělen na úseky pevné délky⁶ zvané **rámce**.
- **PAS** je rozdělen na úseky pevné délky zvané **stránky**.
- Velikost **rámce** je rovna velikosti **stránky**⁷.
- Existuje vyhrazený prostor ve vnější paměti, kde mohou být uloženy stránky – tzv. **odkládací prostor** neboli **SWAP**.

Při každém přístupu procesoru do hlavní paměti je nutné provést překlad **VA** → **PA**. Překlad adres probíhá zcela automaticky díky komponentě procesoru zvané **Memory Management Unit (MMU)**. Ta při překladu používá **tabulku stránek** respektive její vyrovnávací paměť – **Translation Lookaside Buffer**. Stránky je možné mapovat na rámce naprosto nahodile, proto **mapování VA na PA nemusí být nutně lineární**. **VA** je v případě nasazení **stránkování** vnímána jako uspořádaná dvojice

číslo stránky a

Index do **tabulky stránek**.

offset.

Odstup přístupované adresy od počátku **stránky** respektive **rámce**. Tato komponenta **VA** se při překladu adres pouze zkopíruje do **PA**.

Z pohledu procesu je mechanismus fragmentace **VAS** na **stránky** zcela transparentní. Proces vnímá **VAS** jako jediný souvislý adresní prostor.

4.4.1.1 Výpadek stránky

Výpadek stránky nebo též **Page fault** je výjimka předávaná komponentou **MMU jádru**, čili **Linuxu** k obsluze. Při nasazení **PaXu** v systému může mít tato výjimka obecně různé významy, které shrnuje tabulka 4.1. Obsluhu zajišťuje funkce jádra `do_page_fault()`. **Modifikací této funkce lze do systému dodatečně doplnit řízení přístupu do paměti**, jak činí například **Page eXec project**. Při každém výskytu výjimky **Page fault** pak tato funkce vyhodnocuje zda-li se opravdu jedná o výpadek stránky v původním smyslu či byl v daném případě pouze přetížen pro jiný smysl (viz tabulka 4.1).

Použití	Popis významu
výpadek stránky (původní význam)	Stránka nebyla v paměti nalezena či oprávnění není dostatečné. Je potřeba ji nahrát do paměti. Dojde k přerušení vykonávání na procesoru vyvolané komponentou MMU v situaci, kdy v hlavní paměti nebyl nalezen rámec odpovídající hledané stránce .
PAGEEXEC (přetížený supervisor bit)	Technika PAGEEXEC přetěžuje význam supervisor bitu v tabulce stránek – dává mu význam ne/spustitelnosti stránky. Při jakémkoliv přístupu ke stránce kódem běžícím s oprávněním Ring 0 je vyvolána výjimka Page fault , přestože rámec stránce odpovídající je v paměti nahrán.
SEGMEEXEC (přetížený mechanismus segmentace)	Technika SEGMEEXEC přetěžuje mechanismus segmentace , jehož původní, Linuxem nepoužívaný význam rozdělení AS procesu na segmenty znovu zavádí do praxe, čímž dosáhne odlišení datového a instrukčního přístupu do paměti (při překladu LA → VA).

Tabulka 4.1: Různé významy výjimky **Page fault**

⁶Délka **rámce/stránky** je závislá na použité procesorové architektuře.

⁷Velikost rámce respektive stránky je při použití procesoru architektury **x86-32** typicky 4 kiB, ale může být i více

4.4.1.2 Tabulka stránek

Tabulka stránek je datová struktura umístěná v hlavní paměti. Každý proces disponuje svou vlastní tabulkou stránek. Tabulka stránek obsahuje záznamy o přidělených rámcích hlavní paměti. Každý jeden záznam v **PT** obsahuje mimo jiné

- číslo **rámce**,
- číslo **stránky** mapované do daného rámce (nebo informaci, že je rámec volný),
- příznak nesoucí informaci o tom, zda-li je obsah umístěný na stránce zapisovatelný,
- příznak nesoucí informaci o tom, zda je stránka přítomna v **PAS** či
- příznak nesoucí informaci o tom, zda stránka byla modifikována.

Fyzická adresa **tabulky stránek** je uložena ve speciálním registru **PTBR** procesoru a přístup k ní se tak obejde bez překladu adres. Překlad **VA** → **PA** prováděný v tabulce stránek spočívá v nahrazení čísla stránky číslem rámce. **Offset** zůstává vzhledem k též délce rámců a stránek zachován.

4.4.1.3 Transaction Lookaside Buffer

Translation Lookaside Buffer (TLB) je cache, do níž se ukládají naposledy přístupované záznamy z **tabulky stránek**. **MMU** z ní získává informace potřebné ke správě **VAS**. Pokud potřebné informace nenalezne, jsou do **TLB** nahrány z **tabulky stránek**. Na architektuře **x86** jsou od procesorů Intel Pentium a AMD Duron k dispozici hned dvě **TLB**, které pracují nezávisle na sobě:

- **Instrukční TLB (ITLB)** je vyrovnávací paměť nesoucí informace o nejčastěji přístupovaných stránkách nesoucích programem vykonávaný strojový kód.
- **Datová TLB (DTLB)** je vyrovnávací paměť nesoucí informace o nejčastěji přístupovaných stránkách nesoucích programem zpracovávaná data.

4.4.1.4 Velikost tabulky stránek

Tabulka stránek každého běžícího procesu musí být nahrána v hlavní paměti celá po celou dobu jeho existence. Necht

n	je počet uživatelských procesů běžících v systému,
w [b]	je šířka VA ,
p [B]	je délka jedné stránky ,
r [B]	je délka jednoho záznamu v tabulce stránek a
x [B]	je celková velikost tabulky stránek .

Celková velikost všech **tabulek stránek** přítomných v systému – x – je rovna výrazu 4.1. Výpočet x za předpokladu,

$$\frac{2^w}{p} \cdot n \cdot r \quad [\text{B}]$$

Výraz 4.1: Celková velikost všech tabulek stránek v systému

že

- $n = 32$ v systému běží 32 procesů,
- $w = 32$ [b] délka **VA** je 32 bitů,
- $p = 2^{12}$ [B] délka jedné **stránky** je 4 KiB = 2^{12} B a
- $r = 4$ že délka jednoho záznamu v **PT** je 4 B

je uveden v rovnosti 4.1. **Tabulku stránek** žádného procesu nelze odložit do externí paměti. Výsledek rovnosti 4.1 říká,

$$x = \frac{2^{32}}{2^{12}} \cdot 2^5 \cdot 2^2 \quad [\text{B}]$$

$$x = 2^{27} \quad [\text{B}]$$

$$x = 131072 \quad [\text{KiB}]$$

Rovnost 4.1: Výpočet celkové velikosti všech tabulek stránek v systému

že pro 32 procesů je zapotřebí prostor cca 130 MB. Pro snížení objemu tabulek stránek je možno použít víceúrovňové stránkování, inverzní tabulku stránek či segmentaci.

4.4.1.5 Sdílení stránek

Procesy běžící v systému mohou používat tytéž

staticky linkované knihovny a

V případě staticky linkovaných knihoven nedochází k úspoře místa v hlavní paměti, neboť kód těchto knihoven je zapsán při kompilaci programu mezi jeho strojové instrukce a to – pochopitelně – u každého programu na obecně různá místa.

dynamicky linkované knihovny.

Strojový kód dynamicky linkovaných knihoven je vkládán do **VAS** procesu až v čase běhu a to do oblasti **MMS** (**MMS**) umístěné na samostatných stránkách **VAS**. Zde je potenciální prostor pro úsporu prostoru v hlavní paměti, neboť je zbytečné mít v paměti stejné kopie knihoven zvláště pro každý proces.

Sdílení vybraných stránek **VAS** je realizováno tak, že **tabulky stránek** různých procesů pro určité své stránky odkazují na tentýž rámec **PAS**. Mezi procesy, jež jsou instancemi téhož programu lze tímto způsobem sdílet více než jen dynamicky linkované knihovny – též data i strojový kód. Každá další kopie stejného procesu pak zabere v paměti jen zanedbatelné množství paměti. Obecně platí, že sdílené stránky by měly umožňovat čtení (případně vykonávání) nikoliv však zápis jejich obsahu. Sdílení rámců je třeba zohlednit při odkládání paměti do externí paměti, neboť odložení sdílených dat ovlivní více než jeden proces.

4.5 Správa paměti v praxi

Linux segmentaci nevyužívá. Aby však mohl běžet na **x86** procesorech, je nucen segmentaci alespoň formálně používat, neboť segmentace je na procesorech architektury **x86** implementována povinně. Běžně se používají

- kódový segment pro **kernel mode**,
- datový segment pro **kernel mode**,
- kódový segment pro **user mode** a
- datový segment pro **user mode**.

Obsah kódových segmentů je povoleno spouštět a obsah datových segmentů je povoleno zapisovat. Ze všech segmentů je povoleno číst. Vše ostatní je zakázáno. Všechny segmenty jsou mapovány do téhož prostoru (začínají na adrese 0) a tudíž se překrývají. Selektor segmentu má tak vliv pouze na stanovení úrovně oprávnění. Adresa je plně určena částí logické adresy zvané „offset v rámci segmentu“.

Linux naopak využívá mechanismus stránkování a proto nejstarším jím podporovaným procesorem je i386, neboť ten přišel s podporou **stránkování** jako vůbec první **x86**-kompatibilní procesor.

4.6 Rozdělení AS procesu z hlediska obsažených dat

Do **adresního prostoru** procesu se mapují v kapitolách 4.6.1 až 4.6.7 popisovaná mapování. Všechna v nich uvedená mapování jsou sdílená mezi více vlákny. Mapování se obecně rozlišují dvojího typu:

- *Anonymní mapování* je **mapování**, pro které neexistuje předloha v rámci **FS**, nýbrž dané vzniká vždy prázdné při volání funkce `execve()` (při vytváření procesu).
- *Neanonymní mapování* je přesným opakem mapování anonymního. Existuje pro něj předloha ležící na filesys-tému.

Mapování lze též kategorizovat dle času jejich vzniku:

- *Mapování vzniklá při vytváření procesu* jsou **mapování**, která vznikají voláním funkce `execve()` a **jejich počátek se následně nikdy nepohybuje**. Mezi ně patří **text**, **data**, **halda**, **kernel-space-stack** a **user-space-stack**.
- *Mapování vzniklá voláním `mmap()`* jsou **mapování**, která mohou vznikat a zanikat kdykoliv během existence procesu.

Všechna mapování obecně mohou měnit svou velikost během běhu procesu.

4.6.1 Kód programu (**text**)

Mapování text je umísťováno zpravidla na nejnižší adresy **AS** procesu. V tomto mapování jsou uloženy

- **instrukce programu**,

Posloupnost strojových instrukcí implementujících funkce zapsané přímo ve zdrojovém kódu programu.

- **instrukce staticky linkovaných knihoven a**

Posloupnost strojových instrukcí implementujících funkce ze staticky linkovaných knihoven, které program volá.

- **konstanty.**

Neboť hodnoty konstant překladač umísťuje rovnou do strojových instrukcí.

Obsah tohoto [mapování](#) je vykonáván procesorem. Pro fungování programu je nezbytné, aby bylo pro stránky, na nichž tato oblast leží, **povoleno čtení a vykonávání** jejich obsahu.

4.6.2 Oblast inicializovaných dat (data)

Mapování *data* je umísťováno zpravidla za oblast *text*. Obsahuje

statické proměnné inicializované ve zdrojovém kódu programu.

Proměnné jejichž existence není podmíněna přítomností *aktivačního záznamu rozsahové jednotky* (viz kapitola 4.6.7.3) na zásobníku. Svou hodnotu si pamatují po celou dobu běhu programu. Typicky se jedná o

globální proměnné a

Proměnné deklarované mimo jakoukoliv *rozsahovou jednotku*.

lokální „static“ proměnné.

Proměnné deklarované v rámci *rozsahové jednotky*, jejichž deklarace zahrnuje klíčové slovo `static`.

Umístění dat do této oblasti eliminuje potřebu alokace prostoru za běhu programu na haldě či na zásobníku.

4.6.3 Oblast neinicializovaných dat (BSS)

Mapování *BSS* je umísťováno za oblast *data*. Obsahuje data téhož druhu jako oblast *data*, od které se odlišuje

- tím, že obsahuje statické proměnné, které **nejsou** ve zdrojovém kódu programu inicializovány a
- inicializací všech bitů při startu programu hodnotou nula.

Výše uvedené koresponduje s faktem, že neinicializované `static` lokální proměnné a proměnné globální jsou v programu vždy inicializovány hodnotou nula.

4.6.4 Halda (halda)

Mapování *halda* je [mapování](#), do něhož se umísťují proměnné, kterým nemůže být přidělen prostor již při překladu. Jde zejména o

- posloupnosti instrukcí dynamicky linkovaných knihoven, jejichž funkce jsou volány programem
- a data dynamicky⁸alokovaných proměnných.

4.6.5 Oblast sdílených knihoven (MMS)

Mapování *MMS* je [mapování](#), do kterého se mapují soubory obsahující strojový kód dynamicky linkovaných knihoven. Pokud vykonávaný proces nevyužívá při svém běhu kód žádné dynamicky linkované knihovny, pak oblast *MMS* v jeho *VAS* přítomna není. Ve *VAS* leží mezi *zásobníkem* a *haldou*.

4.6.6 Zásobník (kernel-space-stack)

Ke každému vláknu v *User Space* existuje v *Kernel Space* právě jeden *kernel-space-stack* do něž jsou ukládány záznamy o systémových voláních týkajících se vykonávání daného vlákna.

4.6.7 Zásobník (user-space-stack)

Zásobník (user-space-stack) je [mapování](#) umísťované do AS procesu a to v takovém počtu, kolik má proces vláken, čili každé vlákno má zásobník vlastní. Jedná se o *anonymní mapování*, což znamená, že pro něj neexistuje předloha v rámci *FS*, nýbrž vzniká vždy prázdný při volání funkce `execve()` (při vytváření procesu). Zásobník lze označit za jednosměrný spojový seznam tzv. *aktivačních záznamů (AZ)* (viz kapitola 4.6.7.3) reprezentujících tzv. *rozsahové jednotky (RJ)*. Před pokračováním v dalším textu je vhodné se seznámit s významem zkratk *EBP*, *ESP*, *EIP*, *RIP* a *SFP* v tabulce 4.2.

Programy psané ve vysokoúrovňových jazycích jsou strukturovány do procedur a funkcí, které se vzájemně volají. Díky tomu lze dekomponovat řešení problému do menších celků, kdy každá funkce může představovat prostředek pro řešení části z celkového problému. Každá jedna funkce může disponovat vlastními prostředky (např. proměnný-

⁸Funkcemi `malloc()`, `calloc()` a `realloc()` alokovaných proměnných.

Zkratka	Význam
EBP	<i>Extended Base Pointer</i> je registr x86-kompatibilního procesoru obsahující adresu počátku aktivačního záznamu odpovídajícímu aktuálně vykonávané rozsahové jednotce.
ESP	<i>Extended Stack Pointer</i> je registr x86-kompatibilního procesoru obsahující adresu vrcholu zásobníku.
EIP	<i>Extended Instruction Pointer</i> je x86-kompatibilního procesoru obsahující adresu právě vykonávané instrukce.
RIP	Adresa paměti, na níž leží instrukce, která se bude vykonávat po opuštění rozsahové jednotky, k níž je aktivační záznam vázán.
SFP	Ukazatel na začátek nadřazeného AZ.
OFF	Předchozí (1 krok starý) ukazatel na začátek nadřazeného AZ.

Tabulka 4.2: Vysvětlení významu používaných zkratk

mi). Informace o těchto, pro danou funkci exkluzivních, prostředcích se ukládá v rámci **AZ**, což je souvislý paměťový prostor v **userspace-stack**.

Při vstupu vykonávání programu do **rozsahové jednotky** vzniknuvší **aktivační záznam** je zařazen na vrchol **zásobníku**. Záznam na vrcholu zásobníku reprezentuje rozsahovou jednotku, v jejímž rámci (adresním prostoru) se nachází vykonávání programu (**čítač instrukcí**).

4.6.7.1 Příčiny volby zásobníku pro úschovu **AZ**

Datová struktura zásobník byla pro uchování **AZ** zvolena z následujících příčin:

- **Programy vyžadují podporu pro rekurzivní volání procedur.**
Při volání podprogramů vzniká hierarchická struktura, kdy vždy jeden podprogram je v roli žadatele o řešení problému a druhý v roli řešitele problému. Zásobník umožňuje žádat o řešení problému tentýž podprogram, neboť zachovává historii podání žádostí.
- **Zásobník udržuje informaci o aktuálním stavu vykonávání programu.**
Samozřejmě ji neudrží celou – podstatná část informace o stavu vykonávání programu je uložena v registrech procesoru.

4.6.7.2 Rozsahová jednotka programu

Programový kód je možné členit na úseky nazývané **rozsahové jednotky** jako jsou např. blok⁹, procedura nebo funkce. Rozsahová jednotka sestává z posloupnosti strojových instrukcí jí tvořících a odpovídá jí proto část **AS** procesu, na které dané instrukce leží. Vykonává-li se rozsahová jednotka, vykonává se některá z jejích instrukcí. První rozsahovou jednotkou v níž se hlavní vlákno procesu vykonávající program ocitne je funkce `main()`. Z ní pak může vstupovat do dalších rozsahových jednotek. Při vstupu vykonávání programu do **rozsahové jednotky** vzniknuvší **aktivační záznam** je zařazen na vrchol **US zásobníku**. Záznam na vrcholu zásobníku reprezentuje rozsahovou jednotku, v jejímž rámci (adresním prostoru) se nachází vykonávání programu.

4.6.7.3 Aktivační záznam

Aktivační záznam (**AZ**) je datová struktura, která představuje lokální prostředí výpočtu – tzv. kontext – v němž se nachází vlákno při vstupu do rozsahové jednotky. Právě vstup vykonávání vlákna do rozsahové jednotky iniciuje alokaci aktivačního záznamu na vrcholu zásobníku náležícímu danému vláknu. Obsah **AZ** shrnuje tabulka 4.3.

4.7 Princip volání podprogramů

Vykonávání podprogramu lze rozdělit do 4 částí: volání, prolog, samotné vykonávání a epilog. Vyskytnou-li se v rámci jejich následujícího popisu konkrétní hodnoty, vztahují se k programu uvedenému v C kódu 4.1. Jeho podoby v **x86** strojovém kódu jsou uvedeny v 4.1. Postup bude vysvětlován na i386-kompatibilní variantě. Pozice v programu je definována obsahem registrů procesoru a obsahem **userspace-stack**. Pro zjednodušení možno uvažovat pouze registry **EBP**, **ESP** a **EIP**.

4.7.1 Volání funkce

Volání funkce či obecněji *vstup do rozsahové jednotky* v C kódu 4.1 reprezentované voláním funkce `fn(a, 2)` sestává z následujících sekvence kroků:

⁹V jazyce C blok rozsahovou jednotku netvoří.

Nosič	Obsah	Komentář
předchozí AZ	vstupní parametry	Hodnoty předané při volání funkce. Jsou přítomny samozřejmě pouze v případě, že rozsahovou jednotkou je podprogram či funkce.
AZ	návratová adresa NA	Na architektuře x86 se jedná o první položku v rámci AZ . Možnost přepsání NA je obecně považována za zranitelnost [Zah11] . Jedná se o dočasné uložení hodnoty registru EIP na zásobníku. Hodnota označována též jako RIP .
	ukazatel na předchozí (nadřazený) AZ	Jedná se o dočasné uložení hodnoty registru EBP na zásobníku. Hodnota označována též jako SFP .
	lokální proměnné	Proměnné alokované staticky v rámci rozsahové jednotky .
	vstupní parametry	Hodnoty předané při volání funkce.

Tabulka 4.3: Komponenty obsažené v **aktivačním záznamu**

```

void fn (int d, int e)
{
    int    b[2];
    char   c[7] = "1234567";

    b[1] = e;
}

int main (void)
{
    int    a = 1;

    fn(a,2);
    return 0;
}

```

C kód 4.1: Zdrojový kód programu, na němž se kapitola 4.7 pokouší vysvětlit princip volání podprogramů. Program je přítomen na přiloženém CD v souboru `/root/examples/subroutine-calls-example.c`.

```

fn:
    pushl   %ebp
    movl   %esp, %ebp
    subl   $16, %esp
    movl   $875770417, -15(%ebp)
    movw   $13877, -11(%ebp)
    movb   $55, -9(%ebp)
    movl   12(%ebp), %eax
    movl   %eax, -4(%ebp)
    leave
    ret

main:
    pushl   %ebp
    movl   %esp, %ebp
    subl   $16, %esp
    movl   $1, -4(%ebp)
    pushl   $2
    pushl   -4(%ebp)
    call   fn
    addl   $8, %esp
    movl   $0, %eax
    leave
    ret

fn:
    pushq   %rbp
    movq   %rsp, %rbp
    movl   %edi, -36(%rbp)
    movl   %esi, -40(%rbp)
    movl   $875770417, -32(%rbp)
    movw   $13877, -28(%rbp)
    movb   $55, -26(%rbp)
    movl   -40(%rbp), %eax
    movl   %eax, -12(%rbp)
    popq   %rbp
    ret

main:
    pushq   %rbp
    movq   %rsp, %rbp
    subq   $16, %rsp
    movl   $1, -4(%rbp)
    movl   -4(%rbp), %eax
    movl   $2, %esi
    movl   %eax, %edi
    call   fn
    movl   $0, %eax
    leave
    ret

```

Strojový kód x86 4.1: Strojový kód kompatibilní s procesory x86 (vlevo) a x86-64 (vpravo)

4.7.1.1 Uložení parametrů předávaných funkci

Parametry předávané funkci se ukládají od konce. Před voláním funkce $fn(a, 2)$ a při podobě zásobníku ...

Adresa	Obsah	Komentář
$x+?$???	Počátek nadřazeného AZ .
:	:	:
EBP →	$x-0$	$x+?$ návratová adresa, kde bude vykonávání pokračovat po ukončení činnosti v aktuální RJ .
ESP →	$x-1$	VAR a V aktuálním AZ lokální proměnná.
	$x-2$	

...se vykonají následující strojové instrukce, které tak připraví předání parametrů volané funkci skrze zásobník:

```

pushl $2
pushl $-4(%ebp)

```

Příprava parametrů na zásobníku tedy není automatizována v rámci instrukce `call` a procedura si ji musí vykonat sama. Vkládání na zásobník automaticky snižuje hodnotu uloženou v registru `ESP` a proto není potřeba pro předání parametrů dělat nic dalšího. Nová podoba zásobníku je následující:

Adresa	Obsah	Komentář
$x+?$???	Počátek nadřazeného AZ čili OFP .
\vdots	\vdots	\vdots
EBP → $x-0$	$x+?$	Návratová adresa, kde bude vykonávání pokračovat po ukončení činnosti v aktuální RJ .
$x-1$	VAR a	V aktuálním AZ lokální proměnná.
$x-2$	2	Poslední parametr předávaný funkci.
ESP → $x-3$	1	Předposlední parametr předávaný funkci.
$x-4$		

4.7.1.2 Uložení návratové adresy na zásobník a skok na adresu uloženou v operandu instrukce `CALL`

Instrukce

```
call <fn>
```

způsobí

- uložení návratové adresy – hodnoty registru **EIP** zvýšené o 5 B na zásobník (tedy i snížení hodnoty v **ESP**) a
- následnou změnu hodnoty registru **EIP** na hodnotu, která byla instrukci `call` předána jako operand.

Adresa	Obsah	Komentář
$x+?$???	Počátek nadřazeného AZ .
\vdots	\vdots	\vdots
EBP → $x-0$	$x+?$	Návratová adresa, kde bude vykonávání pokračovat po ukončení činnosti v aktuální RJ .
$x-1$	VAR a	V aktuálním AZ lokální proměnná.
$x-2$	2	Poslední parametr předávaný funkci.
$x-3$	1	Předposlední parametr předávaný funkci.
ESP → $x-4$	EIP+5	Návratová adresa čili RIP , na kterou se program vrátí po opuštění právě zakládaného AZ .
$x-5$		

4.7.2 Prolog funkce

Prolog sestává z následujících operací:

4.7.2.1 Vytvoření nového **AZ**

Uložení hodnoty v **EBP** – **SFP** – na zásobník ...

```
push %ebp
```

...a nastavení hodnoty v **EBP** na hodnotu registru **ESP** ...

```
movl %esp, %ebp
```

Adresa	Obsah	Komentář
$x+?$???	Počátek nadřazeného AZ .
:	:	:
$x-0$	$x+?$	Návratová adresa, kde bude vykonávání pokračovat po ukončení činnosti v aktuální RJ .
$x-1$	VAR a	V aktuálním AZ lokální proměnná.
$x-2$	2	Poslední parametr předávaný funkci.
$x-3$	1	Předposlední parametr předávaný funkci.
$x-4$	EIP+5	Návratová adresa čili RIP , na kterou se program vrátí po opuštění právě zakládaného AZ .
EBP, ESP →	$x-5$	Ukazatel na začátek předchozího aktivačního záznamu – SFP .
	$x-6$	

4.7.2.2 Vyhrazení prostoru pro lokální proměnné

Zásobník v rámci **x86** architektury pracuje s úseky délky 32 b, čili 4 B. Prostor vyhrazený pro lokální proměnné se proto zaokrouhluje. Registr **ESP** se sníž¹⁰ o velikost místa vyhrazeného pro lokální proměnné.

```
subl $16,%esp
```

Adresa	Obsah	Komentář
$x+?$???	Počátek nadřazeného AZ .
:	:	:
$x-0$	$x+?$	Návratová adresa, kde bude vykonávání pokračovat po ukončení činnosti v aktuální RJ .
$x-1$	VAR a	V aktuálním AZ lokální proměnná.
$x-2$	2	Poslední parametr předávaný funkci.
$x-3$	1	Předposlední parametr předávaný funkci.
$x-4$	EIP+5	Návratová adresa čili RIP , na kterou se program vrátí po opuštění právě zakládaného AZ .
EBP →	$x-5$	Ukazatel na začátek předchozího aktivačního záznamu – SFP .
	$x-6$	VAR b[1]
	$x-7$	VAR b[0]
	$x-8$	VAR c[6],c[5],c[4]
ESP →	$x-9$	VAR c[3],c[2],c[1],c[0]
	$x-10$	

4.7.3 Epilog funkce

4.7.3.1 Vrácení zásobníku do stavu totožného se stavem předcházejícímu volání funkce

Epilog funkce představuje ve strojovém kódu 4.1 dvojice instrukcí

```
leave
ret
```

Instrukce `leave` je zkratkou pro

```
movl %ebp, %esp
popl %ebp
```

¹⁰Sníží, neboť zásobník „roste“ směrem k od vyšších k nižším adresám.

. První do registru **ESP** přiřadí hodnotu uloženou v registru **EBP**. Druhá následně do registru **EBP** načte hodnotu z nového vrcholu zásobníku.

4.7.3.2 Nastavení návratové adresy

Instrukce `ret` je zkratkou pro

```
popl %eip
```

čili vyzvedne ze zásobníku **NA** (návratovou adresu) a uloží ji do registru **EIP**. Vyzvednutí čehokoliv ze zásobníku znamená též zvýšení hodnoty registru **ESP**. Po vykonání instrukce `ret` se stav zásobníku vrátí do podoby, jaká je vyobrazena v kapitole 4.7.1.1.

4.7.3.3 Odstranění parametrů ze zásobníku

Odstranění parametrů je prováděno již v kontextu funkce, která prováděla volání podprogramu (zde funkce `main()`). Jde o zvýšení hodnoty v registru **ESP** o počet bytů, které byly vyhrazeny parametrům:

```
addl $0x8, %esp
```


5. Standardní bezpečnostní řešení

Kapitola je věnována seznámení s vybranými bezpečnostními konstrukty, kterými Linux buďto disponuje ve své základní podobě nebo po aplikaci volně dostupných patchů.

5.1 Bezpečnostní mechanismy implementované v hardware

Bezpečnost nelze zajišťovat čistě softwarovou cestou. Hardware pro ni musí poskytovat podporu.

5.1.1 Rings

Základní bezpečnostní technologií pro systém, bez níž by nebylo možné rozvíjet další bezpečnostní technologie¹ další, jsou tzv. *rings*. Na x86-kompatibilních procesorech se jedná se o hierarchii 4 úrovní oprávnění, kde každá úroveň zahrnuje všechna oprávnění vzhledem k ní nižších úrovní. I zde se aplikuje známý „princip nejmenšího oprávnění“ [Den], čili kód by měl být vykonáván vždy jen s takovými oprávněními, jaká nezbytně potřebuje ke svému běhu. V rámci architektury x86 jsou rozlišovány

- **úroveň oprávnění Ring 0**,
Nejvyšší možná úroveň oprávnění v rámci x86-kompatibilního procesoru zaručující neomezený přístup ke všem zařízením. V této úrovni oprávnění běží jádro operačního systému.
- **úroveň oprávnění Ring 1**,
Druhá nejvyšší úroveň oprávnění v rámci x86-kompatibilního procesoru. V této úrovni oprávnění běží na systémech s Linuxem buďto hypervizor nebo nic.
- **úroveň oprávnění Ring 2** a
Druhá nejnižší úroveň oprávnění v rámci x86-kompatibilního procesoru. Tato úroveň oprávnění není při nasazení GNU Linux využívána.
- **úroveň oprávnění Ring 3**.
Nejnižší úroveň oprávnění v rámci x86-kompatibilního procesoru. V této úrovni běží všechny procesy běžící v systému. Kódu v této úrovni oprávnění není dovoleno přistupovat k paměťovým stránkám jiných AS nežli je jeho vlastní AS čili kód běžící v Ring 3 je věznem vlastního AS a jakékoliv interakce s zařízeními či AS jiných procesů provádí pomocí jádra.

Přístupová oprávnění jednotlivých úrovní jsou dozorována MMU, který v případě pokusu o neoprávněný přístup do paměti, zjedná typicky výjimku *Page fault*, kterou následně vyhodnotí jádro zabitím daného procesu. Přepnutí do *kernel mode* (Ring 3 → Ring 0 → Ring 3) je **relativně drahou operací**, která spotřebuje kolem 1000-1500 cyklů. Pro porovnání s ní např. přepnutí kontextu (Ring 0 → Ring 0) spotřebovává cca 100 cyklů.

5.1.2 NX bit

noExecute bit je bit přítomný v tabulce stránek nesoucí informaci, že obsah ležící v dané stránce není dovoleno spouštět. Díky němu *Memory Management Unit* může řídit pokusy o spouštění obsahu paměťových stránek (viz kapitola 4.2.2). Bohužel jeho přítomnost není Linuxem doposud příliš efektivně využívána (viz kapitola 9.2). **Podpora nespustitelných stránek paměti je v linuxu existuje standardně jen pro anonymní mapování. Její fungování a její možné rozšíření popisuje kapitola 9.2.** Za účelem lepšího využití NX bitu vznikl projekt *PaX* (viz kapitola 9). Na architekturách, kde není přítomen – typicky na x86-32 – je možné jej emulovat (viz kapitola 9.2.2), nicméně emulace nikdy nemůže dosáhnout kvalitativní podpory implementované v hardware a přináší s sebou jistá omezení (viz kapitola 9.3).

5.2 Řízení přístupu

Nadefinování řízení přístupu vyžaduje znalost následujících termínů používaných v oblasti bezpečnosti:

uživatel

Identita existující v rámci systému.

objekt

Pasivní entita, se kterou může být manipulováno subjekty. Manipulace s ní je řízena (omezována). Pod tímto pojmem je možné si představit například

- soubor (v širším slova pojetí),
- socket,

- proces či
- prostředek meziprocessové komunikace.

subjekt

Aktivní entita provádějící operace nad objektem. V prostředí OS se jedná **výhradně o proces**.

Subjekt může být pro jiný subjekt **objektem**, což platí např. při meziprocessové komunikaci, kdy adresát zprávy – proces – představuje v daném případě objekt.

operace

Aktivita vyvolaná **subjektem** nad **objektem**.

povolení

Autorizací získaný souhlas pro provedení operace.

Zajistit absolutní odolnost programu vůči veškerým existujícím hrozbám **je drahé**, má-li daný program něco užitečného dělat. **U naprosté většiny programů** až na čestné výjimky **jejich tvůrci** (i uživatelé) **šetří**, respektive se spokojí s pouze částečnou odolností. Vznikají tak z bezpečnostního hlediska nedostatečně dobře psané programy, což musí zákonitě vést ke zvýšené pravděpodobnosti neoprávněného **převzetí kontroly** nad během jejich instancí a tím i nabytí přístupových oprávnění vztahených k jejich efektivní identitě (**EI**). Páchání škod však nemusí být nutně pouze **doménou subjektů**, jejichž oprávnění byla získána zcizením identity. Škody mohou páchat též řádně autentizované subjekty, které nemusí mít nutně dobré úmysly či dostatečnou způsobilost k nakládání s objekty. Za účelem minimalizace škod je zapotřebí, aby byl přístup k objektům v systému omezován, respektive řízen.

Řízení přístupu (AC) je proces ověřující míru oprávnění subjektu k manipulaci s objektem. Běžně se rozlišují tři základní typy řízení přístupu:

- **volitelné řízení přístupu (DAC)**,
- **povinné řízení přístupu (MAC)** a
- **řízení přístupu založené na rolích (RBAC)**,

jejichž popis následuje.

5.3 Volitelné řízení přístupu (DAC)

Volitelné řízení přístupu (DAC) je řízení přístupu, kde **přístupová oprávnění k objektu definuje vlastník objektu**. Přístupová oprávnění k objektu může mimo jeho vlastníka modifikovat též privilegovaný uživatel, nicméně vlastník objektu může jeho vůli kdykoliv změnit.

5.3.1 Dopady na systém

Nasazení výhradně **DAC** implikuje následující skutečnosti:

Správce systému má omezené pravomoci.

Správce nemá kontrolu nad přístupovými právy k objektům, jichž není vlastníkem.

Přístupová oprávnění jsou vázána výhradně na **EI** subjektu.

Subjekt má

- neomezená oprávnění pro manipulaci s objekty vlastněnými uživatelem s identitou rovnou **EI** procesu a
- oprávnění pro manipulaci s objekty, jejichž vlastníci tato oprávnění delegovali na uživatele s identitou rovnou **EI** procesu.

Vůči zneprátelenému subjektu mohou být chráněny pouze některé objekty.

Ten, kdo **převzme kontrolu** nad během procesu, se zmocní též všech přístupových oprávnění držených identitou, kterou má proces jako svou **EI**.

Vůči zneprátelenému subjektu nejsou nijak chráněny objekty, které vlastní uživatel, jehož identita je rovna **EI** procesu.

5.3.2 Implementace

Volitelné řízení přístupu (**DAC**) se realizuje prostřednictvím **ACL**.

Access Control List (ACL) je množinou uspořádaných dvojic

(⟨množina-přístupových-oprávnění-k-objektu⟩, ⟨množina-identit-subjektů⟩)

mezi nimiž jsou vždy přítomny dvojice, kde ⟨množinu-identit-subjektů⟩ tvoří

vlastník,

Jednoprvková množina obsahující identitu subjektu vlastníčího daný objekt.

skupinový vlastník a

Množina sestávající z identit subjektů, které sdílí s vlastnickým subjektem jeho primární skupinu.

ostatní.

Množina identit subjektů v předchozích dvou množinách se nevyskytujících.

V operačních systémech **GNU Linux** jsou **ACL** realizujícími **DAC**

unixová přístupová práva a

ACL umožňující specifikovat přístupová práva vlastníka, skupinového vlastníka a ostatních identit subjektů.
POSIX ACL.

Nadmnožina unixových přístupových práv díky níž je možné definovat přístupová práva konečné množině množin subjektů.

Implementace volitelného řízení přístupu (**DAC**) jsou tedy realizovány jako seznamy – **ACL**. Každý **objekt** v rámci souborového systému disponuje svým vlastním **ACL** obsahujícím definice pravidel pro řízení přístupu vzhledem k různým množinám subjektů. Veškerá pravidla jsou ukládány do **inode** reprezentujícího daný objekt v souborovém systému. Upravovat je může pouze subjekt s identitou uživatele, jež je vlastníkem příslušného souboru.

5.3.3 Unixová přístupová práva

Ne/udělení oprávnění procesu k manipulaci se souborem závisí

na efektivní identitě (EI) procesu

EI procesu je dána **EUID** a **EGID**.

a na definici přístupových oprávnění k přístupovanému souboru.

Každý objekt v systému souborů má ve svém **i-nodu** uloženu **EI** procesu, který daný soubor vytvořil respektive **UID** uživatele (vlastníka souboru) a **GID** skupiny (skupinového vlastníka souboru). Od těchto hodnot se odvíjí klasifikace procesu/subjektu do tří disjunktních množin:

procesy vlastníka

Všechny procesy s **EUID** rovným **UID** uživatele, jež soubor vytvořil či kterémuž byl soubor přenechán např. příkazem `chown`.

procesy skupinového vlastníka

Všechny procesy s **EUID** různým od **UID** vlastníka a zároveň s **EGID** rovným **GID** skupinového vlastníka, kterýžto soubor vytvořila či jí byl přenechán např. příkazem `chgrp`.

ostatní procesy

Procesy nepatřící do předešlých dvou množin.

Pro každou množinu procesů jsou stanovena přístupová práva k souboru třemi příznaky, jež má každý soubor stejně tak, jako je tomu u **UID** a **GID** vlastníka, uloženy ve svém **i-uzlu**. Význam jednotlivých příznaků zobrazuje tabulka 5.1. Proces vyhodnocení oprávnění procesu (klasifikace procesu) přístupu k souboru je zobrazen na obrázku 5.1.

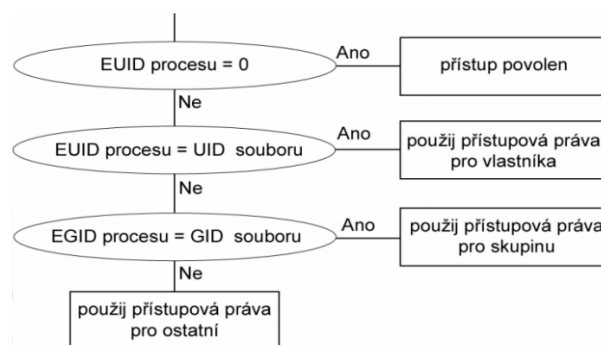
Příznak	Význam příznaku u souboru	Význam příznaku u adresáře
r	právo číst jeho obsah	právo vypsat v něm obsažené položky
w	právo modifikovat jeho obsah	právo modifikovat (vytvářet, přejmenovávat či mazat) v něm obsažené položky
x	právo spouštět jeho obsah	právo manipulovat s jednotlivými v adresáři obsaženými položkami (dle přístupových práv u nich nastavených), vstup do adresáře

Tabulka 5.1: Příznaky definující přístupová práva

5.3.3.1 Parametry nově vytvářených souborů

Z předchozího textu je zřejmé, že modifikovat přístupová oprávnění k objektu v případě **DAC** smí výhradně subjekt s **EI** vlastníka objektu či superuživatele. Nedefinuje-li subjekt explicitně přístupová práva při vytváření nového souboru, potom se tyto odvodí z jeho **EI** a tzv. **implicitní masky práv**. **Implicitní maska práv** je doplňkem do neomezených přístupových práv k objektu. Udržuje se pro tři množiny subjektů – vlastníka objektu, skupinového vlastníka objektu a ostatní subjekty. Subjekt může stanovit přístupová oprávnění jím vytvářeného objektu libovolně. **Implicitní maska práv** vlastnickým subjektem udělená přístupová oprávnění případně **redukuje**. Nastavit ji lze pomocí příkazu `umask` (viz příkaz 5.1).

Nově vytvářené soubory



Obrázek 5.1: Proces výběru oprávnění pro přístup k souboru

- patří uživateli, jehož **UID** je rovno **EUID** procesu, který daný soubor vytvořil, v čase vytvoření souboru,
- patří skupině, jejíž **GID** je rovno **EGID** procesu, který daný soubor vytvořil, v čase vytvoření souboru
- mají nastavena přístupová práva dle volby procesu, který je vytváří ponížená o práva uvedená v **implicitní masce práv**.

```

> umask 000 # nechť jsou přístupová práva plně v režii procesu
> touch a
> umask 020 # soubor zapisovatelný ostatními nesmí vzniknout
> cp a b
> ls -l
-rw-rw-rw- 1 miroslav miroslav 0 lis 1 16:49 a # proces v žádném případě nemusí nastavit všechna
↳ přípustná oprávnění
-rw-rw-r-- 1 miroslav miroslav 0 lis 1 16:50 b # v době vytvoření tohoto souboru byla práva pro zápis
↳ všem zakázána
  
```

Skript 5.1: Implicitní maska práv

5.3.3.2 Příznak setuid

Efektivní identita (**EI**) procesu je standardně tatáž, jako **EI** jeho rodiče. Pro proces jsou tedy standardně relevantní přístupová práva vztažená k identitě (uživateli), která jeho běh iniciovala. V tomto modelu nemá uživatel šanci provádět akce nad soubory jiných uživatelů bez příslušných oprávnění. Možnost **dočasněho** přidělení přístupových oprávnění za účelem provedení **konkrétních akcí** nad souborem přináší příznak **setuid (suid)**.

Setuid (suid) je příznak souboru, jehož nastavením se docílí toho, že **EUID** jakéhokoliv procesu vykonávajícího daný soubor bude rovno **UID** vlastníka daného souboru. Formálně je řazen mezi příznaky definující přístupová práva figurující ve volitelném řízení přístupu (**DAC**), nicméně na **AC** jako takové nemá žádný vliv.

5.3.3.3 Příklad využití setuid (suid)

Příkladem,

- ve kterém nestačí současné možnosti poskytované řízením přístupu (**AC**) založeném na **ACL**
- a který vyžaduje aplikaci mechanismu **setuid (suid)**,

budiž udělení přístupových oprávnění subjektu **k části** objektu. Příčina nedostatečnosti **AC** pro řešení daného problému je zřejmá:

Rozlišovací schopnosti **AC** končí na úrovni jednotlivých souborů.

Řízení přístupu není dostatečně jemné, co se týče rozlišení jednotlivých **objektů**, k nimž je přístup řízen.

Nejmenším rozlišitelným objektem v rámci **AC** k souborovému systému je soubor. Řídit přístup k jeho jednotlivým částem – např. znakům – není v současných implementacích **AC** možné.

AC aplikované na souborovém systému nejenže nedokáže řídit přístup k objektu menšímu nežli soubor. Dalším jeho úzkým místem je omezená množina **AC** rozpoznávaných akcí prováděných nad objektem. Řízení přístupu rozpoznává typicky pouze čtení, zápis a vykonávání obsahu objektu.

Řešení předchozích dvou nedostatků **AC** je možné zkonstruovat díky přítomnosti **setuid (suid)** příznaku:

1. Vytvořit program, který vykonává **právě a pouze povolenou činnost nad vybranými oblastmi objektu**, která je potřebná pro provedení požadovaných změn.

2. Nastavit identitu vlastníka programu rovnu identitě vlastníka **objektu**, v němž bude program provádět činnost.
3. Nastavit **setuid (suid)** bit na programu.

Tímto je dosaženo **minimalizace na subjekty delegovaných oprávnění** pro jejich nakládání s objektem. Toto řešení deleguje přístupová oprávnění na každý subjekt oprávněný ke spuštění programu s nastaveným **setuid (suid)** příznakem.

Pozorný čtenář v příkladu jistě vyzoroval zobecnění delegace práv v případě změny hesla používaného při autentizaci uživatele do systému, kde je výše zmíněné aplikováno:

1. Soubor obsahující hashe hesel – `/etc/shadow` – je ve vlastnictví superuživatele.
2. Neprivilegovaný uživatel nemá možnost změny svého hesla.
3. Je vytvořen program umožňující editaci jen a pouze hashe hesla uživatele, jehož identita je rovna **RI** procesu vykonávajícího tento program.
4. Daný program – `/usr/bin/passwd` – je ve vlastnictví téhož vlastníka, jakého má programem upravovaný soubor, respektive ve vlastnictví superuživatele.
5. Programu je nastaven **setuid (suid)** příznak.

Řešení využívající **setuid (suid)** bit tedy není zcela záležitostí jádra, neboť jeho část – instance **setuid (suid)** bitem obdařeného programu – je běžným uživatelským procesem, který je akorát vhodně „nakonfigurován“.

Při psaní programů, na nichž bude nastaven **setuid (suid)** bit, je vhodné se vyvarovat chyb. Tím spíše, budou-li prostřednictvím programu delegována přístupová oprávnění superuživatele.

5.3.3.4 Příznak **setgid**

Setgid (sgid) je příznak souboru, jehož nastavením se docílí toho, že **EGID** jakéhokoliv procesu vykonávajícího daný soubor bude rovno **GID** vlastníka daného souboru. Funguje analogicky jako příznak **setuid (suid)** uvedený v kapitole 5.3.3.2. V tomto případě je postihována skupinová komponenta **EI** procesu – **EGID**.

Nastavení **setgid (sgid)** příznaku na adresáři **má speciální význam**, a to ten, že skupinovým vlastníkem všech nově vytvořených souborů (v širším slova smyslu) v něm vytvořených bude tentýž skupinový vlastník, který vlastní daný adresář namísto toho, aby skupinovým vlastníkem nově vytvářených souborů byla skupina, jejíž **GID** má subjekt v době vytvoření souboru nastavenou jako **EGID**.

5.3.3.5 Sticky bit

Sticky bit je příznak, který je-li nastaven na adresáři, redukuje přístupová oprávnění k němu, konkrétně pak přístupová oprávnění zápisu jednotlivých subjektů. Subjektu, který je oprávněn modifikovat obsah adresáře, je toto oprávnění redukováno na oprávnění modifikovat výhradně obsah adresáře, jehož vlastníkem je uživatel s identitou rovnou **EI** subjektu.

Sticky bit je nastavován na adresářích, kde je zapotřebí zachovat oprávnění zápisu do adresáře alespoň dvěma uživateli a zároveň odebrat oprávnění v adresáři mazat či přejmenovat objekty ostatních uživatelů. **Sticky bit** je nastaven např. na adresáři `/tmp`, do nějž mají právo zapisovat všichni uživatelé v systému, avšak mazat a přejmenovávat si každý může pouze své soubory.

5.3.4 POSIX ACL

POSIX ACL jsou rozšířením základních přístupových práv. Umožňují definovat libovolně² dlouhé seznamy přístupových oprávnění, přičemž základní přístupová práva zůstávají vždy nezměněna. Manipulace prováděné s objektem se i v případě **POSIX ACL** stále rozlišují pouze na čtení, zápis a spuštění. Podpora **POSIX ACL** je dnes v systémových nástrojích široce zakomponována – viz interakce se shellem 5.2.

5.3.4.1 Nedostatky unixových přístupových práv řešené **POSIX ACL**

Rozlišení pouhých tří množin subjektů, které umožňují unixová přístupová práva zmíněná v kapitole 5.3.3, je v mnohých případech **nedostačující**. Projeví se to v případě

přidělení oprávnění množině uživatelů či

Při použití základních přístupových práv toto zadání znamená:

1. Vytvořit skupinu.
2. Přidat dotčené uživatele do této skupiny.
3. Změnit skupinového vlastníka souboru na nově vytvořenou skupinu.

²V praxi bývá počet záznamů omezen použitým souborovým systémem.

```
> touch a
> ls -l a
-rw----- 1 miroslav miroslav 0 říj  3 12:04 a # ACL nevyužito
> getfacl a
# file: a
# owner: miroslav
# group: miroslav
user::rw-
group:---
other:---
> setfacl -m u:man:r a # přidání práva číst soubor uživateli "man"
> ls -l a
-rw-r-----+ 1 miroslav miroslav 0 říj  4 08:56 a # ACL využito (což signalizuje přítomnost symbolu
↳ '+' ve výstupu příkazu "ls")
> getfacl a
# file: a
# owner: miroslav
# group: miroslav
user::rw-
user:man:r-- # přístupová práva uživatele "man"
group:---
mask:r--
other:---
```

Skript 5.2: Zobrazení přístupových práv

4. Nastavit požadovaná oprávnění skupině.

Toto není ve většině situací prakticky proveditelné, neboť neprivilegovaný uživatel standardně nemá možnost vytvářet skupiny, natož pak do nich přidávat uživatele. Absolvování celého tohoto procesu kvůli třeba i jednomu souboru lze označit jako „nepřiměřenou režii“. Se specifickými požadavky na řízení přístupu roste počet skupin za tímto účelem vytvářených. Již při mírně složitějších konfiguracích se toto řešení stává neudržitelným.

přidělení oprávnění více než jedné skupině uživatelů.

Tento čin v rámci unixových přístupových práv vyžaduje opět vytvoření speciální skupiny, která pojme veškeré uživatele z oprávnění hodných skupin.

5.4 Chroot

Chroot je systémové volání, které změní kořenový adresář procesu a všech jeho případných potomků vzniklých voláním `fork()` za účelem jejich izolace od zbytku systému. Jeho volání vyžaduje identitu privilegovaného uživatele. **Motivací** k izolaci procesu je **nedůvěra** v jeho budoucí činnosti, respektive nenulová pravděpodobnost toho, že program nebude vykonávat jen a pouze to, co deklaruje, že bude vykonávat. Vykonávání nedeklarovaného může být způsobeno

prvoplánově špatnými úmysly (autora) programu,

Program vykonává činnost, které si je jeho autor vědom a tají ji.

chybou v programu nebo

Program vykonává činnost, které si není jeho autor vědom nebo si jí vědom je, ale v tom případě jí netají.

dodatečně získanými špatnými úmysly programu.

Program vykonává činnost, k níž jej pobízí útočník. Jedná se o případ, kdy útočník **převzme kontrolu** nad během programu. V podstatě je tato příčina vykonávání nedeklarovaného zapříčiněna chybou v programu. Samotná chyba v programu však představuje pouze **zranitelnost**, která se bez další aktivity (útočníka) **hrozbou** nestane.

Prostředí, do něž je proces izolován se nazývá **chroot prostředí**. Toto prostředí je představováno

fiktivním kořenovým adresářem

Uvězněný proces a jeho potomci vnímají kořenový adresář jim přiděleného podstromu jako kořen souborového systému. K souborům ležícím mimo **chroot prostředí** se izolované procesy nedostanou¹.

obsahujícím veškeré soubory potřebné pro běh uvězněných procesů,

Do **chroot prostředí** je pro správný chod programu nutné umístit též soubory nezbytné pro jeho běh

¹Za předpokladu, že buďto nevyužijí žádné techniky umožňující neoprávněné opuštění **chroot prostředí** anebo sice využijí, ale jejich snaha bude zmařena díky aplikaci patche **Grsec** na použitím **jádře**. Metody, kterými **Grsec** posiluje bezpečnost **chroot prostředí** jsou popsány v kapitole 6.6.

včetně použitých sdílených knihoven.

To znamená duplikaci sdílených knihoven jak v externí paměti, tak i v paměti hlavní.

které nijak neomezuje meziprocessovou komunikaci.

Omezení **chroot prostředí** se vztahují pouze na (ne)viditelnost souborů. Uvězněné procesy vidí všechny neuvězněné procesy a naopak. Možnosti meziprocessové komunikace, jako jsou např. signály, **nejsou nijak omezeny**.

Pokud by z **chroot prostředí** nebylo možné uniknout, mohl by útočník škodit pouze uvnitř něj a přinejhorším spotřebovávat systémové zdroje, nicméně data mimo **chroot prostředí** by nepoškodil. Patch **Grsec** omezuje dále programy běžící v chrootu. Bez dodatečného zabezpečení však z **chroot prostředí** uniknout lze.

5.4.1 Jail

Jail je nástroj pro automatizaci vytváření **chroot prostředí** s mnohými vylepšeními.

Isolace procesu je při použití nástroje **Jail** důslednější, neboť dochází k oddělení nejen souborových systémů, ale i k oddělení

procesů a

Procesy izolované nástrojem **jail** vidí **pouze** procesy izolované v tomtéž prostředí.

síťových prostředků.

V každém izolovaném prostředí je možné přistupovat k síti **výhradně** prostřednictvím unikátní **IP** adresy svázané s daným prostředím.

Proces se superuživatelskou identitou bude na rozdíl od **chroot prostředí** v případě **jail prostředí** krácen na svých právech v oblastech

modifikace jádra,

Načítání a odebírání modulů jádra za běhu.

změny nastavení sítě,

Manipulace se síťovými zařízeními, modifikace adres, modifikace směrovacích tabulek, ...

připojování a odpojování souborových systémů,

změny parametrů jádra

Konfigurace voleb jádra příkazem `sysctl`.

a dalších ...

Takováto redukce oprávnění superuživatele vede k odolnosti proti únikům procesů z **jail prostředí**.

5.5 Capabilities

Capabilities je mechanismus řízení přístupu [16] zavedený v **Linuxu** 2.2. Oprávnění dříve exkluzivní pro superuživatele rozdělují do dále nedělitelných podmnožin oprávnění a ty umožňují delegovat i na neprivilegované (obecně jakékoliv) uživatele, přesněji řečeno na procesy či dokonce jen vlákna těchto uživatelů. Informace o přístupových oprávněních k objektům je v případě **capabilities** nesena subjekty samými.

V systému bez **capabilities** nelze delegovat oprávnění subjektu nesoucího privilegovanou identitu na ostatní subjekty. Proto i pouhé naslouchání na **privilegovaném portu** vyžaduje superuživatelská oprávnění procesu. Zmocnění se procesu dává útočníkovi k dispozici identitu, na kterou nejsou aplikovány žádné systémové kontroly oprávnění a která tak může provádět cokoliv. Útoky jsou proto cíleny především na získání superuživatelské identity.

Díky **capabilities** je možné oprávnění superuživatele delegovat na subjekty běžící pod jinou (neprivilegovanou) identitou, čímž jsou zmírněny škody, které může napáchat útočník v případě získání kontroly nad během subjektu, neboť subjekt v případě využití **capabilities** nemusí běžet pod superuživatelskou identitou.

Capabilities lze procesu přidělovat za chodu. Různých **capabilities** existuje celá řada, například

`CAP_NET_BIND_SERVICE,`

Oprávnění procesu naslouchat na **privilegovaném portu**.

`CAP_CHOWN,`

Oprávnění procesu měnit vlastníka libovolného souboru.

`CAP_SYS_TIME`

Oprávnění procesu nastavit systémový čas.

a mnohé další (viz `man capabilities`).

5.5.1 Druhy capabilities

Capabilities každého subjektu (procesu) se dělí na

permitted (přidělené) a

Množina všech `capabilities`, kterými proces disponuje. Přítomnost `capability` v této množině nemá vliv na řízení přístupu (AC).

effective (efektivní),

Podmnožina³ přidělených `capabilities`. Jsou používány při řízení přístupu subjektu k objektům.

Při pokusu o provedení privilegované operace jádro nezkoumá, zda-li je `EL` procesu superuživatelská, nýbrž zkoumá, zda-li je `capability` potřebná pro provedení této operace přítomna v množině efektivních `capabilities`.

inheritable (dědičné) capabilities.

Množina obsahující `capability`, které budou přeneseny na proces, jež nahradí aktuální proces (voláním `execve()`). Volání funkce `fork()` jednotlivé množiny `capabilities` zachovává.

5.5.2 Získání capabilities

Získat `capabilities` lze třemi způsoby:

5.5.2.1 Systémovým voláním `capset()` za běhu procesu

1. Proces je spuštěn pod `EL` superuživatele. Typickým příkladem jsou programy s nastaveným `SUID` bitem (viz kapitola 5.3.3.2).
2. Proces zavolá `capset()`, čímž si přidělí jím požadované `capability`.
3. Proces se zbaví `EL` superuživatele voláním `seteuid()` či `setreuid()`.

5.5.2.2 Systémovým voláním `capsetp()` za běhu procesu

1. Proces není spuštěn pod `EL` superuživatele, respektive může být – ničemu to nevadí.
2. Jiný proces spuštěný pod `EL` superuživatele mu přidělí `capabilities` voláním `capsetp()`.

5.5.2.3 Nastavením atributu spustitelného souboru

Capabilities mohou být přiřazeny též spustitelnému souboru, respektive všem procesům v budoucnosti jej provádějícím. Informace o `capabilities` přiřazeným spustitelnému souboru se ukládají do `inode` tohoto souboru. Capabilities přiděluje superuživatel příkazem `setcap`.

5.5.3 Linux Intrusion Detection System

Linux Intrusion Detection System (LIDS) je patch jádra doplněný o jím přidanou funkcionalitu konfiguruje nástroje. Staví z velké části na `capabilities`. LIDS poskytuje možnost

chránit/skrývat soubory před přístupy/pohledy neprivilegovaných,

Řízení přístupu (AC) založený na LIDS má tu specifickou vlastnost, že rozlišuje pouze dvě identity – privilegovanou a neprivilegovanou.

chránit/skrývat procesy před signály/pohledy ostatních,

Nikdo včetně administrátora nemůže ukončit pomocí signálu `SIGKILL` chráněné procesy. Procesy mohou být neviditelné.

vytvářet ACL založené na capabilities či

LIDS poskytuje příkazy usnadňující manipulaci s `capabilities`, jejichž AC rozšiřuje. Například v případě `capability` `CAP_NET_BIND_SERVICE` přidává možnost podobou výčtu definovat porty, na které se daná `capability` vztahuje.

detekovat průnik do systému.

Intrusion Detection System (IDS) – systém detekující neautorizovaný průnik do IS – implementovaný v rámci LIDS dokáže detekovat mnohé síťové útoky či jejich předvoj v podobě skenování otevřených portů.

Linux Intrusion Detection System (LIDS) se konfiguruje příkazem `lidsconf` (viz příkazy 5.1 a 5.2). Nevýhodou LIDS je skutečnost, že neuvažuje různé uživatelské identity. Nastavení jím provedená se váží na všechny subjekty.

³ Účelem koexistence množiny přidělených `capabilities` a množiny efektivních `capabilities` je možnost dočasné deaktivace `capability` procesu jejím odebráním z množiny efektivních `capabilities`.

```
lidsconf -A -s /bin/httpd -o CAP_NET_BIND_SERVICE 80-80,443-443 -j GRANT
```

Příkaz/y 5.1: Přidělení oprávnění k naslouchání na [privilegovaných portech](#), na kterých může instance /bin/httpd naslouchat

```
lidsconf -A -o /etc/shadow -j DENY  
lidsconf -A -s /bin/login -o /etc/shadow -j READONLY
```

Příkaz/y 5.2: Zákaz přístupu k /etc/shadow s výjimkou instancí /bin/login

6. Nadstandardní bezpečnostní řešení

6.1 Povinné řízení přístupu (MAC)

Povinné řízení přístupu (MAC) je řízení přístupu, kde **přístupová oprávnění k objektu definuje pověřená osoba – typicky správce systému**.

V případě přítomnosti definice pravidel **MAC** v systému je proces řízení přístupu dvoufázový, kde hlavní roli hrají definice přístupových oprávnění **MAC**:

1. fáze: dotaz vede do **MAC-ACL**

Je-li přítomna definice přístupových oprávnění vážící se k právě vyhodnocovanému přístupu subjektu k objektu, potom je

- **MAC** definice přístupových oprávnění v procesu autorizace rozhodující,
- respektive **DAC** definice přístupových oprávnění nepodstatná.

2. fáze: dotaz vede do **DAC-ACL**

Definice přístupových oprávnění v **DAC** je podstatná v případech, kdy v **MAC** pro přístup daného subjektu k danému objektu definice přístupových oprávnění schází. **DAC** na rozdíl od **MAC** obsahuje definici přístupových oprávnění **pro každou myslitelnou operaci**.

6.1.1 Dopady na systém

Nasazení **MAC** implikuje následující skutečnosti:

Vůči zneprátněnému subjektu mohou být chráněny všechny objekty.

MAC umožňuje řídit (omezit) přístup subjektů též k objektům, jejichž vlastníkem je uživatel, jehož identita se rovná **EI** subjektu.

Správce systému má absolutní moc.

Udělování přístupových oprávnění není v kompetenci vlastníka **objektu**, k němuž **subjekt** přistupuje.

6.2 Řízení přístupu založené na rolích (RBAC)

Řízení přístupu založené na rolích (RBAC) je **MAC** doplněné o hierarchii **rolí**. Mimo již nedefinované pojmy **subjekt** a **objekt** **RBAC** zavádí

transakce a

Jakákoliv aktivita v systému vyvolaná subjektem s výjimkou autentizace subjektu.

role.

Role je povolením vykonávat množinu **transakcí** udělované **subjektu** správcem systému.

Role mohou tvořit hierarchickou strukturu, kde nabytí role potomka způsobí též nabytí všech jeho rodičovských rolí. Vzhledem k subjektu může role nabývat tří stavů:

nepřirazená role

Role, kterou subjekt nedisponuje. Transakce vyžadující danou roli nemohou být subjektem vyvolány.

přirazená role

Role, kterou subjekt disponuje. Subjekt může mít přiřazeno vícero rolí, kde každá z nich ho opravňuje k určité množině transakcí.

vybraná (aktivní) role

Subjekt má vždy aktivní **nejvýše jednu** roli, která ho opravňuje vykonávat určitou množinu transakcí. Aktivovat lze pochopitelně pouze **role** z množiny subjektu přiřazených rolí.

6.2.1 Implementace

Implementace **RBAC** musí dodržovat následující tři pravidla:

- **Subjekt** může inicializovat **transakci** pouze tehdy, má-li přiřazenu a vybranou **roli**.
- Aktivní **role subjektu** musí být pro **subjekt** autorizována.
- **Subjekt** smí vykonávat **transakci** pouze tehdy, je-li daná **transakce** autorizována pro jeho **aktivní roli**.

Dnes známé implementace **MAC** lze dělit dle mnoha kritérií, z nichž nejvýznamnější jsou

typ pojítka mezi pravidly a objekty/subjekty a

Jsou rozlišovány implementace **MAC**

založené na cestě – tzv. path based MAC a

Objekty jsou identifikovány cestami k nim vedoucími z kořene **FS**.

Nevýhodou tohoto řešení je **možnost vzniku nekonzistencí v AC**. Přístup k souboru, k němuž vede více pevných odkazů, může být řízen různě v závislosti na tom, prostřednictvím kterého pevného odkazu je k souboru přistupováno. **MAC** totiž umožňuje definici různých přístupových oprávnění pro každý pevný odkaz, neboť se od sebe odlišují svými adresami v rámci **FS**. **Výhodou** tohoto řešení je **absence nutnosti údržby značek** odpovídajících jednotlivým souborům.

založené na značce – tzv. label based MAC.

Objekty jsou identifikovány značkami, což

vyžaduje jejich údržbu,

Diskontinuita v údržbě značek může vést ke vzniku nekonzistencí.

eliminuje problém s více pevnými odkazy směřujícími na tentýž soubor

Soubor je v rámci tohoto řešení reprezentován svým **i-nodem**, což je pro účely **AC** nepochybně přirozenější.

a přidává další vrstvu abstrakce.

Značku lze, na rozdíl od pojmenování souboru v rámci **FS**, sdílet, respektive přidělit více souborům zároveň a snížit tak v některých případech počet potřebných pravidel.

využití či nevyužití rozhraní definovaného LSM.**MAC využívající LSM**

Navázání **MAC** na jádro prostřednictvím standardizovaného rozhraní **LSM**

nadřazuje DAC nad MAC a

Zamítnutí přístupu ze strany **DAC** má vyšší prioritu než povolení přístupu v **MAC** (viz kapitola 6.3.3).

šetří námahu vývojářům MAC.

Napojení vlastního **AC** do jádra je přítomností standardizovaného rozhraní maximálně zjednodušeno.

MAC nevyužívající LSM

Implementace **AC** do **jádra** napojená bez prostředníka, respektive napojující se vlastními silami.

6.3 Linux Security Modules

Linux Security Modules (LSM) je patch jádra obohacující jej o rozhraní budované **za účelem usnadnění** implementace různých **AC**. Standardní součástí **jádra** je **LSM** od verze 2.6. Vyjma implementací **DAC** v podobě unixových přístupových práv a **POSIX ACL** jsou implementace **AC** (především pak **MAC**) do **jádra** dodávány prostřednictvím patchů. Implementace **AC** obvykle sledují stále tytéž funkce **jádra** a snaží se je nějakým způsobem modifikovat. Každá po svém. **LSM** jim k tomu dává příležitost, neboť do struktury jádra přidává ukazatele na funkce, které mohou být spuštěny po všech běžných kontrolách oprávnění, které jádro standardně provádí. Definice těchto funkcí mohou být implementovány právě bezpečnostními záplatami jako je např. **SELinux**. Pokud jádro přístup povolí, může jej ještě zamítnout jedna z funkcí implementujících **LSM**. **Opačně to nefunguje – LSM neumožňují dodatečně povolit něco, co jádro již jednou zakázalo.**

LSM

poskytuje standardizované rozhraní pro AC a

Realizátorovi **AC** namísto zásahů do jaderných funkcí stačí, aby využil poskytované rozhraní, což mu ušetří čas.

umožňuje výměnu implementací AC za běhu.

LSM je postaven tak, aby **AC** jej využívající bylo napsáno formou modulu jádra, který lze nahrát či odebrat z jádra za běhu.

Modifikace **jádra** patchem **LSM** [\[ELS\]](#)

- přidává nová pole pro uložení režijních informací **LSM** do datových struktur,
- přidává **LSM háčky** do funkcí,
- přidává nová systémová volání týkající se zabezpečení a
- přidává funkce, které umožní registraci i od-registraci **LSM modulu** k **LSM háčku** za běhu.

6.3.1 Modul

LSM modul je **funkce** implementovaná nasazeným **AC**, která je v různých situacích volána – vyzývána k zodpovězení otázky, zda povolit přístup. Volání modulů zajišťují **LSM háčky**. Nejedná se o upravenou jadernou funkci, nýbrž

o funkci zcela novou.

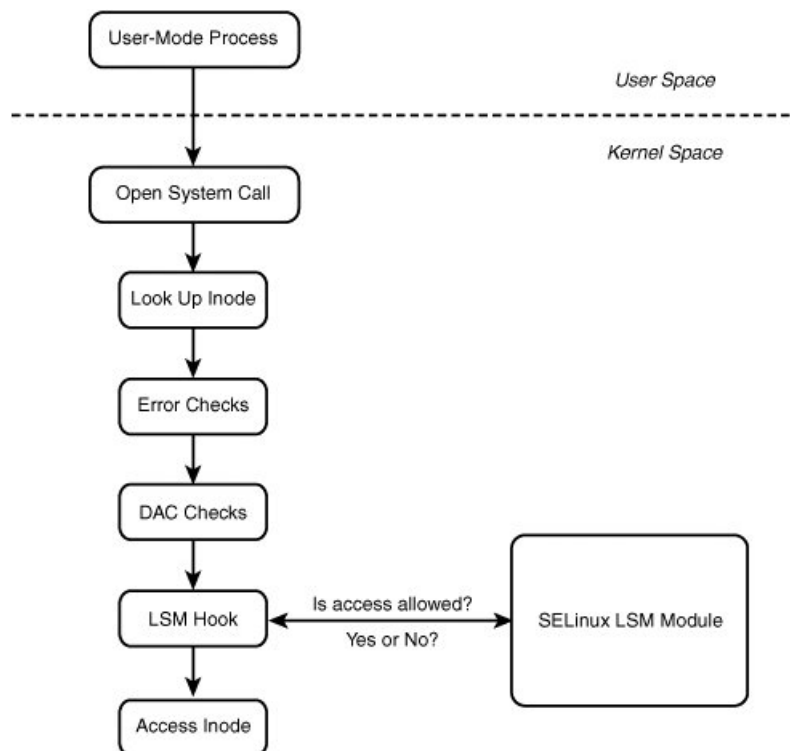
6.3.2 Háček

LSM hook je volání funkce – konkrétně *LSM modulu*.

LSM hooks jsou umísťovány do těl jaderných funkcí, ve kterých má smysl provádět *AC*. *LSM hook* nese adresu *LSM modulu*, pokud jej nasazené *AC* implementuje. Parametry předávané při volání *LSM modulů* jsou standardizovány.

Všechny *LSM hooks* jsou uloženy ve formě ukazatelů v globálně dostupné tabulce `security_ops`.

6.3.3 Princip *AC* při nasazení *MAC* postaveném na *LSM*



Obrázek 6.1: Schéma znázorňující zapojení *LSM* do procesu *AC* k souboru *FS*

Obrázek je převzat z [MMC07]

Zapojení *LSM* do procesu *AC* je vyobrazeno na obrázku 6.1, z něhož je patrné, že *MAC* využívající *LSM* je minimálně v otázce *AC* k souborům podřízené případnému přístup zamítajícímu rozhodnutí *DAC*. *AC* v případě nasazení *MAC* založeném na *LSM* aplikuje

nejprve stanovisko *DAC*

DAC hraje roli primárního arbitra, co se týče zamezení přístupu subjektu k objektu. Jeho vůli v tomto směru nemá *MAC* šanci zvrátit.

a poté případně stanovisko *MAC*.

MAC má možnost revokovat pouze přístup povolující rozhodnutí *DAC*.

6.3.4 Ukázka působení *LSM* v jádře

Příklad dokládající existenci *LSM háčků* v jaderných funkcích je zachycen v C kódu 6.1, kde

funkce `vfs_mkdir()`

Funkce zprostředkovávající vytvoření nových adresářů ve *FS*.

obsahuje *LSM hook* realizující *AC* a

LSM háček `security_ops->inode_ops->mkdir` je využit pro delegování rozhodovací pravomoci o udělení oprávnění k vytvoření nového adresáře na *LSM modul* – funkci, jejíž adresu háček obsahuje.

V případě nepřidělení oprávnění je návratová hodnota háčku, respektive hodnota proměnné `error` nenulová.

LSM hook pro manipulaci s položkami týkajícími se bezpečnosti.

LSM háček `security_ops->inode_ops->post_mkdir` je použit pro nastavení položek v *inode* nově vytvořeného

```
int vfs_mkdir(struct inode *dir, struct dentry *dentry, int mode)
{
    int error;

    down(&dir->i_zombie);
    error = may_create(dir, dentry);

    if (error)
    {
        goto exit_lock;
    }

    error = -EPERM;

    if (!dir->i_op || !dir->i_op->mkdir)
    {
        goto exit_lock;
    }

    mode &= (S_IRWXUGO|S_ISVTX);

    error = security_ops->inode_ops->mkdir(dir, dentry, mode);

    if (error)
    {
        goto exit_lock;
    }

    DQUOT_INIT(dir);
    lock_kernel();

    error = dir->i_op->mkdir(dir, dentry, mode);
    unlock_kernel();

exit_lock:
    up(&dir->i_zombie);
    if (!error)
    {
        inode_dir_notify(dir, DN_CREATE);
        security_ops->inode_ops->post_mkdir(dir, dentry, mode);
    }
    return error;
}
```

C kód 6.1: LSM háčky v rámci funkce `vfs_mkdir()`

adresáře týkajících se řízení přístupu.

6.4 AppArmor

AppArmor je patch [Linuxu](#) postavený na [LSM](#) obohacující jej o vlastní implementaci [MAC](#).

Rozdělení kompetencí mezi [DAC](#) a [MAC](#) odpovídá, vzhledem k využití [LSM](#), principu popsanému v kapitole [6.3.3](#).

[MAC](#) je aplikováno **výhradně** na procesy vykonávající programy, pro které existuje definice přístupových oprávnění označovaná též jako [AppArmor profil](#).

6.4.1 Profil

AppArmor profil je záznam v [AppArmor-ACL](#) určující přístupová oprávnění subjektu

- k socketům,
- k mechanismům meziprocesové komunikace (zasílání signálů) a
- k souborům (v širším slova pojetí).

Profily jsou umístěny v adresáři `/etc/apparmor.d`. Profil je svázán se subjektem prostřednictvím cesty k subjektem vykonávanému spustitelnému souboru v rámci souborového systému, z čehož plyne zařazení patche [AppArmor](#) mezi implementace [MAC](#) založené na cestách. [AppArmor](#) **nezná** role, tudíž neposkytuje možnost [RBAC](#).

```
/usr/bin/apache
{
    network inet stream,      # program smí přistupovat k*síti
    /etc/ r,                  # program smí číst /etc
    /bin/bash ixr,           # program smí číst+spustit /bin/bash (ale nedude se měnit profil nově
    ↪ spuštěného programu)
    deny /usr/lib/firefox-3.6.3/** w, # zákaz zápisu do adresářů a podadresářů
    owner ${HOME}/.mozilla/** rwk,   # vlastník adresáře bude smět rw a zamykat soubry a adeesáře
}
```

Konfigurace 6.1: Příklad konfigurace [MAC](#) v podání [AppArmor](#)

6.5 SELinux

[SELinux](#) je patch [jádra](#) využívající rozhraní definovaná [LSM](#), respektive jedná se o [LSM modul](#). Jeho podpora je dnes přítomna jak ve [vanilla](#) jádře tak i ve většině distribučních jader. [SELinux](#) nemá [learning mode](#), nicméně existuje externí nástroj generující nová pravidla na základě zamítnutých přístupů [[Hol](#)]. Je jím skript `audit2allow`.

Ověření oprávnění přístupu subjektu k objektu se řídí dle principu popsaného v kapitole [6.3.3](#), respektive i v případě [SELinuxu](#) platí, že zaujme-li [DAC](#) v otázce udělení přístupových oprávnění subjektu odmítavý postoj, potom celé [AC](#) končí neudělením přístupu.

6.5.1 Entity zavedené [SELinuxem](#)

[Řízení přístupu \(AC\)](#) definované patchem [SELinux](#) pracuje s množinou následujících pojmů:

6.5.1.1 Identita

[SELinux identita](#) je obdobou unixové identity – [uživatele](#). Zavádí se pouze pro potřeby [AC](#) v rámci [SELinuxu](#). Jedna [SELinux identita](#) může být přiřazena více [uživatelům](#). Obecně je tak [SELinux identita](#) obdobou uživatelské skupiny, neboť má schopnost sdružovat uživatele. Je zvykem, že její pojmenování končí řetězcem `_u`.

Každá [SELinux identita](#) disponuje seznamem [SELinux rolí](#) do kterých se mohou [subjekty](#), kterým je daná [SELinux identita](#) přiřazena, hlásit. Každý [subjekt](#) má přiřazenu [SELinux identitu](#), která je během jeho běhu neměnná.

[MAC](#) poskytované [SELinuxem](#) samozřejmě může přístupová oprávnění členit již na úrovni identit. V řadě případů si však vystačí i s pouhopouhými dvěma [SELinux identitami](#):

identitou `system_u` a

Identita, pod kterou běží zpravidla systémem poskytované služby. [Subjekty](#) s touto identitou mají přístup k [SELinux roli](#) `system_r`.

identitou `user_u`.

Identita, pod kterou běží **subjekty** ovládané běžnými uživateli, respektive nepriviligovanými uživateli. Subjekty této identity mají zpravidla možnost přihlašovat se do role `user_r`.

Pro rozlišení subjektů má **SELinux MAC** v rámci **SELinux kontextu** (viz kapitola 6.5.1.5) mnohé další příležitosti.

6.5.1.2 Role

SELinux role je **množina operací**, které smí subjekt konkrétního typu v ní běžící vykonávat nad **objekty**. Každé jednotlivé operaci odpovídá jí povolující **SELinux pravidlo**, jehož podoba je popsána v kapitole 6.5.4.

Jednotlivé **identity** se mohou hlásit do vybraných **rolí**. Mapování **povolených rolí** na identity je definováno v samostatných souborech ve formátu zobrazeném **SELinux konfigurací 6.1**. Je zvykem identifikátory rolí zakončovat řetězcem `_r`.

```
user <SELinux-identita> role { <SELinux-role-A> [<SELinux-role-B> ...] };
```

SELinux 6.1: Syntaxe mapování rolí na identity v podání SELinuxu

6.5.1.3 Typ

SELinux typ je **množina** subjektů či objektů [Hol]. Do typu jsou jednotlivé objekty zařazeny tím, že se daný typ zapíše do jejich **SELinux kontextu** – *značky*. Každý subjekt/objekt musí patřit **do právě jednoho** typu.

V rámci **AC** pak všechny objekty téhož typu tvoří skupinu, k níž jsou udělována přístupová oprávnění. Názvy typu jsou zpravidla zakončeny řetězcem `_t`.

6.5.1.4 Doména

SELinux doména je označení pro množinu subjektů patřících do **SELinux typu**.

6.5.1.5 Kontext

SELinux kontext označovaný též jako *značka* je **uspořádaná čtveřice**

- **SELinux identita**,
- **SELinux role** a
- **SELinux typ**.

SELinux ke svému chodu vyžaduje, aby každý objekt i každý subjekt disponoval svým vlastním **SELinux kontextem** – tzn. aby systém byl označován, neboť právě a jen od obsahu značek se odvíjí veškerá rozhodnutí o (ne)udělení přístupu v rámci **SELinux politik**.

SELinux kontext je dědičný, respektive subjekt dědí kontext po svém předkovi. Změna **kontextu** je možná pouze v případě, že existují **pravidla** danému subjektu jí povolující.

6.5.2 Místo uložení kontextu

Značky jsou ukládány do **EFA** [Kor13].

Extended file attributes (EFA) – rozšířené atributy souboru – je **funkce souborového systému** poskytovaná pro uchování libovolných metadat souboru. Tato metadata

jsou uložena v rámci inode souboru,

Souborové systémy poskytující možnost jejich ukládání je ukládají do **inode** souboru [Ale14], respektive do datových bloků tohoto souboru v případě, že se metadata nevejdou do **inode**, čímž je umenšována, i když nepatrně, maximální velikost popisovaného souboru.

nejsou přenosná mezi různými FS a

Jelikož jsou **EFA** pouze nadstavbou poskytovanou **FS**, nejsou obecně přenosná mezi různými **FS**, ba co víc, ani mezi dvěma instancemi **FS** téhož typu, neboť standardní nástroje manipulující se soubory (`cp`, `mv`, ...) je nemusí brát v potaz.

mohou obsahovat libovolné informace.

Informace vedené v rámci **EFA** jsou uspořádány do posloupnosti uspořádaných dvojic (klíč, hodnota) [Kuč11].

Pro značky – [SELinux kontext](#) jednotlivých souborů – platí veškerá omezení daná implementací [EFA](#) stejně tak jako i pro jakákoliv jiná [EFA](#) metadata.

6.5.3 Módy běhu

Jsou rozlišovány následující tři stavy [SELinuxu](#) [[Háj15](#)]:

enforcing

Mód, ve kterém je [SELinux](#) plně aktivní, respektive

- vynucuje [SELinux politiky](#) a
- pokusy o neoprávněné přístupy zaznamenává

permissive

Mód, ve kterém [SELinux](#) nevymáhá nastavené bezpečnostní politiky, nicméně stále zaznamenává neoprávněné přístupy k objektům.

vypnutý

Přechodem do tohoto módu se ztratí kontinuita [značek](#) souborů, neboť během odstávky [SELinuxu](#) nejsou nikým udržovány. Před opětovným zapnutím [SELinuxu](#) je proto nutné [SELinux kontext](#) – značku – každého objektu sestavit znovu.

6.5.4 Pravidlo

[SELinux pravidlo](#) je **předpis**

specifikující množinu povolených operací,

Pravidla v [SELinuxu](#) jsou **povolující**, respektive

- [SELinux](#) implicitně odebírá subjektům přístupová oprávnění a
- pravidla přístupová oprávnění vybraným subjektům opět navyšují.

kteřé mohou subjekty určitého typu

subjekty, na něž se pravidlo vztahuje, pojí shodný [SELinux typ](#).

provádět nad objekty určitého typu.

objekty, na něž se pravidlo vztahuje, pojí shodný [SELinux typ](#).

Syntaxe pravidla, která je mimochodem vyobrazena v [SELinux](#) konfiguraci [6.2](#), může obsahovat položky jako

```
allow <typ-subjektu> <typ-objektu> : <třída> { <operace> [<operace> ...] };
```

SELinux 6.2: Syntaxe [SELinux](#) pravidla

<typ-subjektu>,

Typ identifikující množinu subjektů, kterým pravidlo povolí vyjmenované operace.

<typ-objektu>,

Typ identifikující množinu objektů, na kterých budou pro dané subjekty povoleny vyjmenované operace.

<třída> **a**

Specifikace druhu objektu ve smyslu soubor, proces, file deskriptor, ...

<operace>.

Operace běžné nad danou třídou objektů – zápis, čtení, zjišťování atributů ...

Pravidla se při spuštění [SELinuxu](#) překládají do binární podoby za účelem redukce zdržení při [AC](#).

6.5.4.1 Příklad pravidel

```
allow iceweasel_t home_root_t : dir { search getattr read } ;
allow iceweasel_t user_home_dir_t dir { search getattr read } ;
allow iceweasel_t ld_so_t : file { read execute getattr };
```

SELinux 6.3: Povolení přístupu subjektu typu `iceweasel_t` k vybraným operacím nad objekty

V ukázce [SELinux](#) konfigurace [6.3](#) jsou uvedena pravidla udělující oprávnění všem subjektům typu `iceweasel_t`

- ke vstupu a vypsání obsahu adresářů typu `home_root_t`,
- ke vstupu a vypsání obsahu adresářů typu `user_home_dir_t` a

- ke čtení a spouštění souborů typu `ld_so_t`.

6.6 Grsecurity

Grsecurity (*Grsec*) je soubor modifikací [jádra](#) posilujících bezpečnost distribuovaný formou patche. Na rozdíl od jiných implementací [MAC Grsec](#) nevyužívá [LSM](#) [[Hor11](#)] a to je jedním z důvodů, proč se zatím nedostal do [vanilla](#) jádra, které je tak nutné pro zprovoznění *Grsec* modifikovat. Posílení bezpečnosti poskytovaná *Grsec* eliminují zranitelnosti z různých oblastí činnosti [jádra](#). Podrobnější popis jednotlivých vylepšení *Grsec* je věnována samostatná kapitola [9](#).

6.6.1 Cena

Od zadání práce se *Grsec* v mnohém významně změnilo. Funkční doplnění¹, které možná mnohého čtenáře sledujícího vývoj na poli bezpečnosti napadne jako první, není však tou hlavní změnou. Je jí cena. **V čase zadání bylo zdarma i to nejnovější stabilní vydání.** Ve srovnání bezpečnostních řešení v kapitole [7](#) mělo *Grsec* tehdy ještě jasnou převahu. Od září 2015 [Grsecurity přestalo být dostupné zdarma ve své stabilní verzi](#) [[Spe15](#)]. Stabilní vydání bylo od té doby k dispozici výhradně platícím zákazníkům. Ostatní mohli používat testovací vydání *Grsec*. Důvodem ke zpoplatnění stabilní verze prý bylo porušování licence [GPL](#) a ochranné známky [grsecurity®](#). To citelně otrásló pozici *Grsec*, nicméně stále zůstávala volně dostupná testovací verze. Při nevyužití těch úplně nejnovějších bezpečnostních technik, které se právě dostaly na světlo boží v rámci testovací verze, nebyl důvod mít obavy z jejího používání. Dne 26. 4. 2017 bylo vydáno prohlášení [[Spe17](#)], ve kterém tým stojící za *Grsec* přenechává údržbu soudobých *Grsec* volně dostupných (testovacích) záplat komunitě a oznamuje, že jsou poslední. Dále se tým prý bude soustředit již jen na platící zákazníky. **Posledním jádrem, které lze zdarma opatřit patchem *Grsec*, byl jen v jeho testovací variantě, je jádro verze 4.9.** Přestože *Grsec* pro tuto verzi byl již vydán, z oficiálních stránek byl již 26. 4. 2017 stažen. Existuje možnost, že již zveřejněné testovací verze *Grsecurity* převezme jiný tým a ujme se jejich údržba a přidávání podpory pro novější verze jader. Autor *Grsec* – Brad Spengler – však neholdá tyto aktivity nijak podporovat [[Krc17](#)]. Vidina snadno čili zdarma nabytého nadstandardního zabezpečení serverů [CIV ZČU](#) se tak rázem rozplynula. Jsa soucitným se čtenářem, vedoucí práce – [Michal Švamberg](#) – pojal za potřebné poskytnout alespoň informaci o ceně bezpečnostního řešení, které dokument analyzuje a jehož dopad měří. Autorovi práce proto udělil pověření jednat jménem [CIV ZČU](#) ve věci podání žádosti o nabídku. Ke dni 17. 5. 2017 poskytl tým vyvíjející *Grsec* nabídku pro [CIV ZČU](#), o kterou byl nedlouho předtím požádán. Přesněji řečeno poskytl nabídky celkem čtyři. Všechny uvažují nasazení záplaty *Grsec* na 100 serverech patřících [CIV ZČU](#) a jsou uvedeny v tabulce [6.1](#).

Cena/rok [USD]	Cena/rok [Kč] ²	Produkt/služba
12400	297600	vždy aktuální zdrojové kódy Grsec
28000	672000	vždy aktuální zdrojové kódy Grsec + podpora
4960	119040	vždy aktuální zdrojové kódy Grsec (60 % sleva pro nekomerční/vzdělávací využití)
11200	268800	vždy aktuální zdrojové kódy Grsec + podpora (60 % sleva pro nekomerční/vzdělávací využití)

Tabulka 6.1: Nabídka *Grsec* poskytnutá [CIV ZČU](#) platná ke dni 17. 5. 2017

7. Srovnání vybraných nadstandardních bezpečnostních řešení

V kapitole 6.2.1 vyjmenované implementace MAC porovnává tabulka 7.1.

	Grsecurity	AppArmor	SELinux
Identifikace subjektů (a objektů)	cestou	cestou	značkou
Podpora rolí (⇒ RBAC)	✓	✗	✓
Poskytovaná funkcionality nad rámec AC	NX bit, ASLR, posílení Chroot, ...	✗	✗
Learning mode	✓	✓	✗
Existence grafických nadstavb nad konfiguračními nástroji	✗	✓	✓
Distribuce, ve kterých je nasazena (ve výchozím nastavení)	Hardened Gentoo	SUSE, Ubuntu [Háj15]	RHEL, Fedora
Využívá (rozhraní definovaná) LSM	✗	✓	✓
Snadno použitelná (pochopitelná) ²	✓	✓	✗
PaX či jiná forma zvýšené ochrany paměti	✓	✗	✗
Dostupné zdarma	✗ ¹	✓	✓

Tabulka 7.1: Srovnání vybraných implementací MAC

7.0.2 Volba bezpečnostního řešení pro podrobnější průzkum

Jedním z úkolů, jehož řešení by měla tato práce přinést, je návrh na zvýšení úrovně bezpečnosti výpočetního prostředí v rámci CIV za použití komponent analyzovaných řešení. Jelikož pro otestování možných analyzovaných řešení jsou k dispozici pouze omezené zdroje, je nutné provést a zdůvodnit jejich redukci.

Základní posílení bezpečnosti formou doplnění jádra o MAC představují všechny kapitolou 6.2.1 popisované patche, ze kterých však vyčnívá Grsecurity, a to především jím nad rámec MAC poskytovanou funkcionalitou. Grsec slibuje

- zesílení obrany proti převzetí kontroly nad procesem,
- posílení izolace subjektů běžících v chroot prostředí,
- ochranu /proc filesystému,
- a další.

Množství modifikací jádra prováděných patchem Grsecurity a zkušenost vedoucího této práce – Michala Švambergu – s jeho používáním představují hlavní důvody volby patche Grsec prostředkem pro plnění zadaných úkolů.

V rámci měření bylo použito jádro verze 4.8.16 a Grsec verze 201701062021 stažená z <https://grsecurity.net/test/grsecurity-3.1-4.8.16-201701062021.patch>.

¹Parametr se proměnil během psaní tohoto dokumentu. Více viz kapitola 6.6.1.

²Tento parametr je samozřejmě subjektivní, nicméně ve svých hodnoceních jej nezapomenou zmínit mnozí uživatelé/recenzenti [Viv09] [AGcomp].

8. Hrozby

Následující pojmy převzaté z [Čer09] jsou pro další pokračování podstatné.

- **Zranitelnost**
je označení pro zneužitelnou chybu v implementaci čehokoliv. Existence zranitelnosti zapříčiňuje existenci **hrozby**.
- **Hrozba**
je označení pro událost zneužívající **zranitelnost** a narušující tím bezpečnost.
- **Dopad**
je označuje škodu vzniklou v důsledku působení **hrozby**.
- **Riziko**
je pravděpodobnost, že dojde k uplatnění **hrozby** a vznikne škoda. **Hrozba** je tím pravděpodobnější, čím snadnější je určitou **zranitelnost** zneužít.
- **Exploit**
je sekvence příkazů, které využívají **zranitelnost** k provedení původně nezamýšlené činnosti typicky za účelem získání prospěchu útočníka.

Jakýkoliv útok vždy směřuje na proces. **Útočník má svůj zájem** přimět proces ke konání toho, co po něm útočník chce čili ovládnout jej čili **spustit kód dle svého přání**. Kapitoly 8.1 až 8.3 klasifikují útoky dle cesty, kterou útočník zvolil k ovládnutí procesu. Každý útok s cílem ovládnutí procesu postavený na manipulaci s **AS** onoho procesu vyžaduje zásah do toku instrukcí popisovaný v kapitole 8.4.

8.1 Zavedení a vykonání vlastního kódu

Hrozba zavedení (do **AS** procesu) a vykonání svého – z pohledu procesu tedy cizího – kódu je možná, a to v následujících variantách:

8.1.1 Vytvoření nového spustitelného **mapování v AS**

Vytvoření nového spustitelného **mapování v AS** není nic jiného než nahrání **mapování** ze souboru do paměti a jeho označení spustitelným ať už při spouštění souboru jako takového nebo při dynamickém nahrávání knihoven, se kterými je spustitelný soubor slinkován. Obojí podléhá kontrole přístupových oprávnění **AC** systémů. Obranou proti útoku tohoto typu je definice přístupových oprávnění na úrovni **FS**, na jejichž dodržování následně dohlíží **AC**. Pokud útočník disponuje oprávněním soubor spustit, pak jej spustí a nikdo mu v tom nezabrání.

8.1.2 Modifikace již existujícího zapisovatelného/spustitelného **mapování**

Útočník

- buďto **modifikuje obsah zapisovatelného a spustitelného mapování** nebo
- **modifikuje obsah pouze zapisovatelného mapování, které spustitelným následně učiní voláním `mprotect()`**.

V každém případě útok předpokládá

- **úspěšné zapsání vlastního kódu do **AS** procesu a**
Shellcode je pojmenování kódu vkládaného útočníkem do **AS** procesu. Ten se zpravidla pokouší o spuštění příkazového interpretu – shellu. Útočník by mohl operace, které chce provést, vpravit již do tohoto kódu, avšak jejich spuštění v samostatném příkazovém interpretu je pro útočníka mnohem snazší. Útočník může svůj **shellcode** umístit do jakéhokoliv **mapování**, kde k tomu dostane příležitost, nicméně pouze ve spustitelných **mapováních** mu bude **shellcode** platný.
- **ovlivnění toku instrukcí v původním programovém kódu útočníkem.**

Oběho útočník dosáhne technikou **buffer overflow** popsanou v kapitole 8.4. Útoky tohoto typu se nazývají **shellcode injection**. **Shellcode injection** je technika útoku, kdy útočník využije **exploit buffer overflow** podobně jako u útoku **return-to-lib**, avšak v tomto případě je **cílem skoku vlastní kód útočníka** [Pel07]. To předpokládá, že jej předtím byl schopen umístit do spustitelného **mapování**, anebo do **mapování**, které učinil spustitelným. Obranou proti **shellcode injection** útokům je omezení možnosti spouštění obsahu vybraných **mapování**, což však může způsobit nefunkčnost

některých aplikací (více viz kapitola 9.4).

8.2 Vykonání existujícího kódu mimo původní programové pořadí

Útoky, při kterých není útočníkem do AS procesu vpravován jeho vlastní strojový kód, avšak útočník zasahuje do toku programu se souhrnně označují jako *return-to-lib*. Útoky tohoto typu vyžadují

- **ovlivnění toku instrukcí v původním programovém kódu a**

Více viz kapitola 8.4.

- **alespoň částečnou znalost AS napadaného procesu.**

Útočník má obecně možnost chtít vykonávat obsah umístěný na libovolné adrese. Vzhledem k tomu, že programy používají dynamicky linkované knihovny, jejichž obsah je bez dodatečných bezpečnostních opatření víceméně neměnný a dobře známý, lze přepsáním návratové adresy dosáhnout volání požadované funkce, která ovšem musí v AS být přítomna.

Obranou proti tomuto útoku **nemůže být** technika **NOEXEC**, neboť útočníkem spouštěný kód je legálně-spustitelným kódem. Obranou je naopak **Address Space Layout Randomization**, neboť útok tohoto typu vyžaduje znalost podoby adresního prostoru aplikace.

8.3 Vykonání existujícího kódu v původním programovém pořadí s původními daty

Hrozby, které spadají do této kategorie předpokládají jediné – chybu v programovém kódu, čili nedostatečně ošetřený uživatelský vstup.

8.4 Možnosti ovlivnění toku instrukcí v původním programovém kódu

Jak může útočník donutit program k vykonávání jím určeného kódu? **Je-li program napsán správně, útočník ničeho takového obecně nemůže dosáhnout.** Pokud však program obsahuje chybu a umožní útočníkovi zápis vlastní hodnoty do paměti, kterou program následně použije jako adresu příští vykonávané instrukce – adresu skoku, potom pro útočníka existuje možnost, jak ovlivnit tok instrukcí v původním programovém kódu. Zápis vlastní hodnoty do paměti je možný díky technice zvané *buffer overflow*.

Přetečení bufferu, buffer overflow či *zápis mimo meze pole* je pojmenování **exploitu**, který zneužívá **zranitelnost** „nedostatečně ošetřený zápis do paměti (pole)“. Lépe však tuto **zranitelnost** pojmenovat jako „**nedostatečně ošetřené vstupy (obecně čehokoliv)**“, neboť jinak by k **buffer overflow** docházelo při každém vykonávání programu a nejednalo by se tak ani o zranitelnost, jako spíš o vlastnost onoho programu.

Při zápisu mimo meze pole je zapisováno mimo prostor k tomu vyhrazený. Typicky se jedná o zápis za jeho koncem. V jazyce C je tento jev velice snadno dosažitelný, neboť při běhu programu jím definovaném nejsou standardně prováděny žádné kontroly mezi úseky, kam je zapisováno. Existuje-li za pro zápis hodnoty nedostatečně velkým úsekem v paměti prostor procesu přístupný pro zápis, potom zápis pokračuje v něm. Dle **mapování**, ve kterém k zápisu mimo meze pole došlo se rozlišují

1. přetečení v **userspace-stack**,

Zápis do lokální proměnné, avšak mimo (čili „i za“) paměťový prostor pro ni vyhrazený vede obecně **k neoprávněné změně** hodnot proměnných, jejichž paměťová místa následují paměťová místa zapisované proměnné. V **mapování userspace-stack** jimi mohou být

- návratová adresa dané rozsahové jednotky,
- adresa předcházejícího aktivačního záznamu,
- v aktuální rozsahové jednotce lokální proměnné,
- a případné parametry aktuální funkce.

Navíc neoprávněný zápis hrozí i všem **AZ** předcházejícím aktuální **AZ**, nicméně složitost jejich napadání je výrazně vyšší nežli složitost napadení aktuálního **AZ**.

2. přetečení v **halda** a

Změna dynamicky alokované oblasti pro data.

3. přetečení v **BSS** či **data**.

Přetečení může vést maximálně k poškození dat.

Buffer overflow je jednou z nejčastěji **exploitovaných** zranitelností poslední dekády. Netýká se však zdaleka všech programů. Programy napsané v jazycích jako jsou Java, C# či Pascal přetečení na zásobníku detekují a vrhají výjimky. Existují však i jazyky, které kontroly, zda-li zápis náhodnou nesměřuje mimo meze, nedělají – typicky C či C++. Protože se však kontrolami podobného stříhu nezabývají, poskytují výkon a jsou proto součástí kódu většiny systémových nástrojů. Tyto nástroje jsou pak obecně náchylnější k výskytu zranitelností zneužitelných útokem **buffer overflow**. **Exploit** obvykle sestává z

- **payloadu a**

Strojový kód vkládaný útočníkem do **AS** napadaného procesu určený k vykonání.

- **injection vectoru (IV).**

Přesměrování toku instrukcí na výše zmíněný payload. Typicky se jedná o modifikaci hodnoty **RIP** v rámci **AZ**. Původní odkaz nesený **RIP** bývá přepsán tak, aby ukazoval zpět do přednějších pozic bufferu, pomocí něhož byla přepsána právě i hodnota **RIP**, kde útočník má možnost umístit svůj spustitelný kód. V případě nespustitelného zásobníku mu je však jeho kód v bufferu na zásobníku houby platný.

Běžně používaným vylepšením, vkládá-li útočník svůj vlastní kód a následně na něj i skáče, je tzv. *NOP sliding*. To jest pojmenování postupu, kdy útočník nevyužije bezesbýtku prostor daný mu pro jeho **shellcode**, nýbrž ne nepodstatnou část z něj vyplní prázdnými instrukcemi **NOP**. To útočníkovi usnadní skok do **shellcode**, neboť mnohdy má útočník možnost adresy pouze odhadovat, nikoliv znát.

8.4.1 Únosy aktivačního záznamu

Při každém volání podprogramu jsou na zásobník ukládány hodnoty **RIP** a **SFP** (viz kapitola 4.7). To je z pohledu útočníka nebyvalá situace, neboť možnost ovlivnit hodnotu registru **EIP** a tím i určit příští vykonávanou instrukci po dokončení **RJ** je zde velmi snadná, samozřejmě „relativně“ snadná.

8.4.1.1 Stack smashing

Útoky zahrnované do kategorie *stack smashing* jsou těmi nejjednoduššími možnými. Prvním zástupcem této kategorie byl Aleph One. Princip je jednoduchý:

1. Na zásobníku je přítomna lokální proměnná, do které je načítán vstup bez kontroly mezí, čili zápisem do této proměnné lze přepsat i paměťová místa za ní následující.
2. Zápisem dojde k přepsání **RIP**. Útočník typicky hodnotu v **RIP** – adresu paměti – nasměruje na počátek bufferu, kterým **RIP** také přepisoval, čímž dosáhne pokusu o vykonávání svých strojových instrukcí, které umístil na zásobník. Samozřejmě za předpokladu spustitelného zásobníku.

8.4.1.2 Off-by-ones & frame pointer overwrites

Off-by-ones je **buffer overflow** v rámci 1 B. Využívá chyb z nepozornosti, kdy typicky podmínka v cyklu umožní díky chybně napsanému porovnávání (např. $<n$ namísto $\leq n$) přístup k 1 B paměti. Pochopitelně neoprávněně. Na *off-by-ones* staví útok pojmenovaný jako *frame pointer overwrite*, což je pojmenování pro útok na první – nejméně významný – bit **SFP** v rámci **aktivačního záznamu**. **RIP** v případě tohoto útoku zůstává netknutý, neboť útočník nemá možnost jej díky **SFP**, který jej na zásobníku předchází, modifikovat.

8.4.2 Modifikace ukazatele na funkci

Chyba v programu umožňující přepsání hodnoty ukazatele na funkci představuje stejnou **zranitelnost** jako chyba v programu umožňující přepsání návratové adresy rozsahové jednotky na zásobníku, od které se liší tím, že ukazatele na funkce se mohou vyskytovat ve všech možných **mapováních** tedy nejen v **userspace-stack**. Jelikož útočník stěží může modifikovat programový kód, neboť ten nebývá zapisovatelný, vychází jako nejjednodušeji napadení instrukce **RET**. Instrukce **RET** totiž nemá žádný operand, neboť adresa, kam bude skončeno je čtena ze zásobníku. Útočníkovi tak stačí změnit ji. Útočník napadá obsah zásobníku. Nejčastěji dochází k napadení návratové adresy rozsahových jednotek.

8.4.3 Spuštění funkcí přítomných v AS procesu

Útočník má k dispozici ke spuštění jakékoliv funkce, které se nacházejí ve spustitelných mapováních v rámci **AS** procesu. Zejména se tedy jedná o

8.4.3.1 Funkce přítomné v mapování text

Útočník může spouštět funkce definované v rámci kódu vykonávaného programu. Zajímavějším cílem jsou však funkce obsažené ve sdílených knihovnách, neboť ty umožňují přímou manipulaci se zdroji či interakci s jinými procesy systému. Funkce v rámci programu sice také, avšak pouze zprostředkovanou právě funkcemi knihovnicemi.

8.4.3.2 Funkce přítomné v mapování MMS

Mapování **MMS** může být v rámci **AS** procesu obecně více. Jedná se o mapování obsahující sdílené knihovny, což znamená, že tyto jsou v hlavní paměti přítomny pouze jednou a procesy je sdílí. Informaci o tom, jaké sdílené knihovny ten který program používá podá program `/usr/bin/ldd` a to **včetně paměťových adres, na kterých jsou tyto knihovny do AS procesu nahrány**.

Kupříkladu takový `/bin/bash` používá

```
ldd /bin/bash
linux-vdso.so.1 (0x00007ffcf36f8000)
libcurses.so.5 => /lib/x86_64-linux-gnu/libcurses.so.5 (0x00007fc01389b000)
libtinfo.so.5 => /lib/x86_64-linux-gnu/libtinfo.so.5 (0x00007fc013671000)
libdl.so.2 => /lib/x86_64-linux-gnu/libdl.so.2 (0x00007fc01346d000)
libc.so.6 => /lib/x86_64-linux-gnu/libc.so.6 (0x00007fc0130c2000)
/lib64/ld-linux-x86-64.so.2 (0x00007fc013ac0000)
```

- **libdl.so.2**

Knihovna obsahující rutiny potřebné pro dynamické nahrávání sdílených objektů.

- **libc.so.6**

Standardní knihovna jazyka C, která poskytuje zapouzdření systémových volání a poskytuje základní knihovní funkce, tak jak je definuje standard jazyka C. Je nezbytná pro běh většiny uživatelských programů. Tato knihovna je velmi oblíbeným cílem útočníků, neboť poskytuje dobře zneužitelné funkce

- `system()` pro spuštění procesu z cesty,
- `execve()` pro nahrazení aktuálního procesu jiným či
- `write()` pro zápis do **FS** s přístupovými oprávněními procesu, v rámci něhož je volána.

- **ld-linux-x86-64.so.2**

Dynamický linker nutný pro přilinkování dynamických knihoven ke spuštěným programům.

K tomu, aby útočník donutil proces vykonat jím požadovanou funkci, potřebuje znát

- **umístění knihovny v AS procesu a**
- **offset požadované funkce v rámci knihovny.**

Tuto informaci může útočník získat z tabulky symbolů knihovny ve formátu **ELF**.

8.5 Převzetí kontroly nad během procesu

Zcizení uživatelské identity předpokládá **převzetí kontroly** nad během procesu, který disponuje požadovanou identitou, či identitou s oprávněními požadovanou identitu dodatečně získat – superuživatelskou identitou. Útočník převzme kontrolu nad během procesu v okamžiku, kdy jej donutí vykonávat kód, který by bez jeho přičinění proces nevykonával. Toho dosáhne modifikací cílové adresy v libovolné instrukci provádějící skok. Příležitost představují zejména

funkční ukazatele a

Jsou-li ve **VAS** procesu přítomny a používány ukazatele na funkce ležící na některé z **mapování**, vyjmenovaných v kapitole 4.6, která je zapisovatelná.

návratové adresy z rozsahové jednotky (RJ).

Návratová adresa je součástí každého **AZ** umístěného na zásobníku. Po ukončení provádění v rámci **RJ** se skáče do nadřazené **RJ**.

Přepsání návratové adresy se lze bránit různými způsoby, mezi něž se řadí

uživatelská kontrola mezi polí,

použití výhradně bezpečných funkcí pro práci s řetězci,

Funkcí, které nespolehají na přítomnost ukončovacího znaku řetězce – `strncpy()`, ...

použití jazyků bez přímých ukazatelů do paměti či

nasazení kanárka.

Kanárek je součástí mechanismu umožňujícího detekci přepsání návratové adresy (**NA**) aktivačního záznamu (**AZ**). Vykonávání kódu **rozsahové jednotky (RJ)** sestává z

prologu,

Mimo vytváření **AZ** se v této fázi umisťuje do **AZ** hodnota **kanárka**.

vykonávání kódu rozsahové jednotky a

V případě vyvinutí snahy o přepsání [NA](#) je přepsán i kanárek ležící těsně před ní.

epilogu.

Má-li kanárek hodnotu odlišnou od té, kterou byl inicializován, je detekován pokus o přepsání [NA](#).

Problémem tohoto mechanismu je fakt, že získá-li útočník hodnotu [kanárka](#), kterou byl inicializován, po změně [NA](#) jej může na danou hodnotu opět nastavit. Implementace mechanismu [kanárka](#) se tomuto konání snaží různými způsoby předejít, zatímco útočník se snaží všemožné ochrany hodnoty kanárka prolamovat. V konečném důsledku není na [kanárky](#) sto procentní spolehnutí [[H112](#)].

Modifikaci návratové adresy **lze považovat za převzetí kontroly** nad během procesu, nicméně skok na náhodnou adresu běh procesu s největší pravděpodobností akorát rychle ukončí, neboť na adrese ve [VAS](#) procesu může **vyjma instrukce provádějící volání** útočníkem požadované funkce ležet nic, data či náhodná (⇒ útočníkovi nehodící se) instrukce. Takový přístup do [VAS](#) v prvním případě vyvolá výjimku [Page fault](#), kterou obslouží jádro zasláním signálu procesu, který se pokoušel číst z nedostupných paměťových míst. Ve zbylých dvou případech běh procesu také nebude mít dlouhé trvání a skončí patrně na výjimce „neplatná instrukce“ či výjimkou [Page fault](#). Útočník musí adresu příští vykonávané instrukce volit s rozmyslem. Obecně má dvě možnosti:

- skok na vlastní kód nebo
- skok na v programu již existující funkci.

8.5.1 Skok na vlastní kód

Útočník může iniciovat vykonávání strojového kódu, jenž do [VAS](#) dostal svým vlastním přičiněním. Strojový kód může umístit do jakéhokoliv segmentu, do kterého je povolen zápis. Typicky bývá umísťován do staticky alokovaného prostoru pro proměnné na [zásobníku](#) či do dynamicky alokovaného prostoru na [haldě](#). Aby byl vložený kód k něčemu platný, musí pochopitelně respektovat instrukční sadu srozumitelnou procesoru, na němž je vykonáván napadený proces. Strojový kód vložený útočníkem do adresního prostoru procesu je označován jako „[shellcode](#)“.

8.5.2 Skok na v programu již existující funkci

Útočník též může skokem iniciovat vykonávání libovolné ve [VAS](#) již přítomné funkce. K tomuto musí naprosto přesně znát její adresu. Uspořádání [VAS](#) procesu však při nenasazení techniky [Address Space Layout Randomization \(ASLR\)](#) (viz kapitola [9.1](#)) je pokaždé stejné, navíc zjistitelné přečtením souboru `/proc/PID/maps`.

Útočník zpravidla vyhledává funkce, jejichž volání pro něj má nejvyšší „přidanou hodnotu“. Mezi takové patří například

system() či

Funkce `system()` z knihovny `libc` slouží ke spuštění příkazu zadaného jako její parametr v implicitním [shellu](#) uživatele. Program, z něhož byla funkce `system()` volána je uspán a znovu se začne vykonávat až po návratu z ní.

execve().

Funkce `execve()` z knihovny `libc` nahradí aktuálně prováděný proces jiným dle jí předaných parametrů.

8.6 Únik informace z [kernel-space-stack](#)

Ke každému vláknu v [User Space](#) existuje v [Kernel Space](#) právě jeden [kernel-space-stack](#) do něž jsou ukládány záznamy o systémových voláních týkajících se vykonávání daného vlákna. Jak se stane, že se z [kernel-space-stack](#) čili [Kernel Space](#) dostanou data do [User Space](#)?

1. Předpoklad: [Kernel-space-stack](#) obsahuje data, která v něm zůstala z poslední obsluhy systémového volání. Sice formálně nedostupná, avšak fyzicky nesmazaná.
2. Útočník vynutí opětovné systémové volání téhož vlákna. Do [kernel-space-stack](#) se tak dostane záznam odpovídající novému systémovému volání nesoucí jemu typickou datovou strukturu.
3. Není-li daná datová struktura řádně inicializována, může se stát že některá její komponenta či struktura **převzme data, která na zásobníku leží ještě z dob obsluhy předchozího systémového volání**, neb ta nebyla fakticky smazána.
4. Pokud jádro strukturu kopíruje do [User Space](#) jako součást svého výstupu, potom se útočník dostal k požadovaným datům.

Avšak data zbylá po obsluhách předchozích systémových volání nic právě zneužitelného zpravidla nenabízejí. Navíc jeho obsah není snadné predikovat. Co však [kernel-space-stack](#) obsahuje vždy jsou ukazatele, kterými si „udrží svou strukturu“. Z jakéhokoliv takového ukazatele, který se podaří útočníkovi získat si útočník může dopočítat adre-

su počátku zásobníku:

```
kstack_base = address & ~ (THREAD_SIZE - 1)
kstack_base = address & ~ (8192101 - 1)
kstack_base = address & ~ (00000000.00000000.00100000.000000002 - 1)
kstack_base = address & ~ 00000000.00000000.00011111.111111112
kstack_base = address & 11111111.11111111.11100000.000000002
```

Po získání adresy počátku **kernelspace-stack** pro dané vlákno má útočník adresu struktury `current_thread_info`, neboť ta je umístěna na samém dně zásobníku. Další možný postup útočníka využívá znalostí získaných z této datové struktury [OberRos].

8.7 Neoprávněné opuštění **chroot prostředí**

Existuje řada způsobů, jak opustit příkazem **chroot prostředí**:

8.7.1 Vytvořením vnořeného **chroot prostředí**

1. Uživatel v **chroot prostředí** získá identitu privilegovaného uživatele.
2. Uživatel vytvoří podadresář, na který zavolá `chroot()`.
3. Dojde ke změně **chroot prostředí**
4. Adresář nadřazený podadresáři na němž došlo k vytvoření nového **chroot prostředí** prostředí se již nachází mimo **chroot prostředí**.
5. Uživatel se může pohybovat po celém souborovém systému.

8.7.1.1 Připojením zařízení

Získá-li subjekt uzavřený v **chroot prostředí** identitu, která mu zajistí přístupové oprávnění číst soubor zařízení, může toto oprávnění využít k připojení zařízení, respektive k přístupu k objektům ležícím mimo **chroot prostředí**.

8.8 ROP

Return-Oriented Programming (ROP) je technika zřetězení tzv. **ROP gadgetů** do tzv. **ROP chainu**. Rozděluje **shellcode** na části a byla vynalezena za účelem **převzetí kontroly** nad procesem fungující i v případě aktivní ochrany proti vykonávání obsahu oblasti **userspace-stack** ve **VAS** daného procesu [Zah11]. Cílem **exploitů** postavených na technice **ROP** bývá volání funkce, která obsah **stacku** učiní opět spustitelným – `mprotect()`.

Podrobnější vysvětlení postupu při útoku **ROP** technikou lze nalézt v prezentaci pánů Buchanan, Roemera, Savageho a Shachama – Return-oriented Programming: Exploitation without Code Injection [Buc+08].

8.8.1 ROP chain

ROP chain je **posloupnost** [Zah11] sestávající z

- adres počátků **ROP gadgetů** a
- výplní sloužících pro `pop` instrukce v **epilog**.

Adresy počátků **ROP gadgetů** jsou ve vhodném pořadí umístěny na **zásobník** použitím instrukcí `push`.

8.8.2 ROP gadget

ROP gadget je **posloupnost instrukcí zakončená instrukcí** `ret` nacházející se ve spustitelné oblasti **VAS** využívaná technikou **ROP** k sestavení kódu **exploitu**. **ROP gadget** sestává z

epilog funkce a

Podoba epilogu funkce na architektuře **x86** je zachycena strojovým kódem **x86 8.1**, kde

- `%rbp` = ukazatel na začátek **AZ** ležící na vrcholu zásobníku,
- `%rsp` = ukazatel na vrchol zásobníku (konec téhož **AZ**),
- `movq %A %B` = přesun „quadword“ – 64 bitů – z registru **A** do registru **B**,
- `popq %rbp` = načtení „quadword“ hodnoty ze zásobníku a zvýšení jeho vrcholu – `%rsp` a
- `ret` = odebrání adresy ze zásobníku a skok na ni.

jedné instrukce před začátkem **epilog**.

Touto instrukcí může být libovolná instrukce včetně `call` knihovní funkce.

¹Velikost zásobníku vyhrazeného pro jedno vlákno bývá zpravidla 8 kB (či ojedinele 4 kB) [OberRos].

```

movq %rbp, %rsp
popq %rbp
ret

```

Strojový kód x86 8.1: Epilog funkce na architektuře x86

8.9 Zabezpečení Kernel Space

Útoků zaměřených výhradně na programy běžící v **user mode** ubývá [KPK14] a útočníci se čím dál tím více pokoušejí pro dosažení svých cílů využít, čili **exploitovat**, zranitelnosti v **Kernel Space** neboli zranitelnosti jádra samotného [OberRos]. Níže jsou zmíněny možné příčiny toho, proč dnes již útoky na programy běžící v **User Space** nejsou tak atraktivní jako byly dříve:

1. **Exploitování** procesů běžících v **user mode** je v důsledku nasazení dnes již mnoha všemožných ochran příliš náročné (v porovnání s **exploitováním** jádra samotného). Některé z ochran nasaditelných na **user mode** programech tento dokument zmiňuje:

- **ASLR** – znáhodňování některých mapování (viz kapitola 9.1),
- použití **kanárků** (viz kapitola 8.5),
- **NOEXEC** – nespustitelnost vybraných mapování (viz kapitola 9.2.1.1),
- **chroot** – izolace procesu do **chroot prostředí** (viz kapitola 5.4)
- a další ...

A mnohé ponechává bez povšimnutí:

- **RELocation Read-Only (RELRO)** – relokace vybraných mapování **ELF** souboru [Obe11] nikoliv nepodobná **RANDMMAP**.
- **FORTIFY_SOURCE** – detekce přetečení zásobníku v C/C++
- a mnoho dalších ...

Otázkou je, proč je zabezpečení **Kernel Space** pozadu za zabezpečením **User Space**? Odpověď viz body 2, 3 a 6.

2. Cílem útočnicka je získání superuživatelských oprávnění pro konkrétní proces běžící v **user mode**. Zpočátku mu k tomu stačilo exploitovat uživatelské procesy samotné. Exploitování jádra bylo zřejmě ve většině případů náročnější a úsilí do něj vložené se tak nevyplácelo a proto se nekladl důraz ani na jeho zabezpečení.
3. **Jádro** je dnes se svými 18,3 miliony řádků kódu [counter] natolik komplexním softwarem, že o zranitelnosti v něm není nouze².
4. Získání kontroly nad jádrem samotným představuje pro útočnicka vyšší potenciální zisk, neboť právě v **Kernel Space** jsou implementovány bezpečnostní mechanismy a je tedy možná i jejich centrální deaktivace.
5. **Jádro** již z principu nemůže být tak dokonale chráněno jako programy běžící v **user mode**, neb případné ochrany **kernel mode** mohou být umístěny pouze v **Kernel Space** a jejich obejití/deaktivace nemá možnost být tak dobře střežena – neexistuje žádná vyšší moc, která by hlídala dodržování přístupových oprávnění v jádře.
6. Každé rozhraní interagující s „vnějším prostředím“ poskytuje potenciální prostor pro vznik chyby a tedy i **zranitelnosti** zneužitelné útočnickem. Jádro poskytuje takových rozhraní nepřehledné množství³.
7. Odstranění zranitelnosti z jádra vyžaduje jeho výměnu, nejedná-li se o zranitelnost existující v rámci některého z jeho modulů. Výměna jádra je náročnější operací než výměna uživatelského programu a proto existuje vyšší pravděpodobnost, že zranitelnost bude déle k dispozici.

Výše zmíněné body představují nejpravděpodobnější příčiny většího počtu objevených zranitelností [CVE] a s ním spojeného většího počtu pokusů o jejich exploitování v posledních letech.

8.9.1 Jádro není cílem

Převzetí kontroly nad samotným **jádrem** je jistě pro mnohé zábavné, nicméně typickým cílem útočnicka kočírování jádra není. Útočnick chce jediné: získat pro svůj proces běžící v **user mode** superuživatelská oprávnění. Převzetí kontroly nad jádrem je pouze prostředkem k tomu, jak toho útočnick dosáhne. Útok na jádro má svá specifika. Útočnick si musí dát obzvláště pozor na skutečnost, že jakékoliv jeho pochybení bude potrestáno pádem celého systému. Postup útočnicka lze shrnout do těchto bodů:

1. Nalezení zranitelnosti v jádře.
2. Manipulace se vstupy jádra vedoucí k využití této zranitelnosti čili k **vykonání kódu dle volby útočnicka**.
3. Změna úrovně oprávnění procesu dle volby útočnicka.
4. Navození „řádného návratu“ do **user mode** čili do procesu, který manipuloval vstupy jádra v bodě 2.
5. Profit z běhu procesu, jemuž byla změněna úroveň oprávnění v bodě 3.

²Odhalených zranitelností v **linuxu** objevených v posledních letech stále přibývá [CVE]. Zvýšený počet odhalených zranitelností s sebou nese i zvýšený zájem tyto zranitelnosti **exploitovat**.

³Rozhraní, kterými komunikuje jádro se zbytkem systému, je spousta. Například systémová volání, ovladače zařízení, pseudo-filesystémy, atd.

8.9.2 Útok `ret2usr`

Útočník umísťuje kód, který chce, aby jádro vykonalo do `User Space`, neboť to je pro útočníka nejjednodušší možný způsob. Paměť uživatelského prostoru totiž zůstává namapovaná, i když procesor běží v `kernel mode`. Útočníkovi tedy stačí „pouze“ přesvědčit jádro, aby skočilo na adresu ležící v uživatelském prostoru [PKK14].

Return to userspace (`ret2usr`) útok je postavený na principu **přepsání ukazatele v rámci `Kernel Space` tak, aby směřoval do `User Space`**. Není podstatné zda-li modifikovaný ukazatel je ukazatelem na funkci či na data. V obou případech jde o `ret2usr` útok. Odkazovanou oblast v `User Space` má útočník možnost přizpůsobit konkrétním svým potřebám. Použije-li se obsah, na který ukazuje podvržený ukazatel z `Kernel Space`, jako kód funkce, potom je pochopitelně vykonáván s veškerými poctami náležícími kódu běžícímu v `Ring 0` – **nevztahují se na něj žádné kontroly** a může tedy provádět cokoli [PKK14]. Ochrana programů běžících v `user mode` před jádrem pochopitelně neexistuje, neb v systému není nikdo, kdo by ji byl schopen vymoci.

8.9.2.1 Útok `ret2dir`

Existuje celá řada ochrany, která efektivně brání provedení `ret2usr` útoku – viz kapitola 9.5. Existuje proto i varianta útoku `ret2usr`, proti které jsou ochrany (vyjma ochrany `XPFO`) neúčinné [PKK14]. Jmenuje se *Return to direct mapped memory* (`ret2dir`).

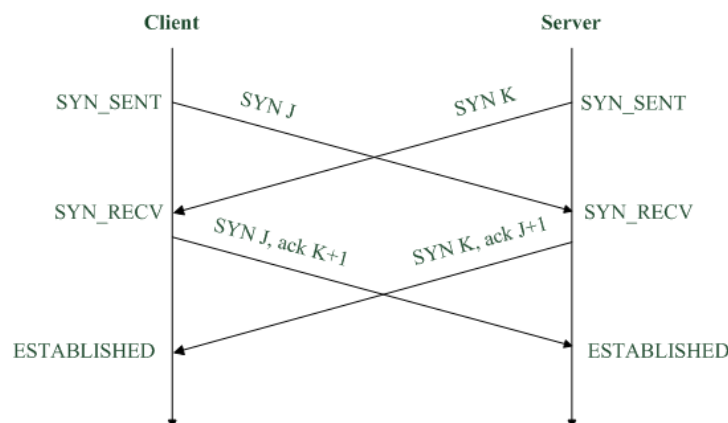
Paměť `User Space` je dostupná jádru prostřednictvím *tabulky stránek*. Bezpečnostní řešení vyjmenovaná v kapitole 9.5 blokují přístup do `User Space` právě na úrovni tabulky stránek [PKK14]. Útok `ret2dir` tyto ochrany obchází tím, že k přístupu do paměti nepoužívá tabulku stránek. Využívá faktu, že `x86-64`-kompatibilní jádra udržují lineární mapování celého rozsahu fyzické paměti – tzv. „přímé mapování“ v rámci `Kernel Space`. Dělají tak z různých důvodů včetně z důvodu potřeby správy paměti na úrovni stránek. Každá fyzická stránka přítomná v systému má vlastní adresu mapovanou v přímém mapování do `Kernel Space`, kde je její obsah vykonatelný jádrem. Přinutí-li útočník jádro skočit na přímo mapovanou adresu, mechanismy zabráňující přístupu do `User Space` toto ponechají bez povšimnutí, přestože cílová adresa odpovídá stránce v uživatelském prostoru. **Existence přímého mapování představuje zranitelnost, která umožňuje obejít/nezafungování ochrany proti útokům typu *Return to userspace*.**⁴

Útočník však musí vyvinout zvýšené úsilí oproti běžnému útoku `ret2usr`, neboť musí být schopen určit adresy fyzických stránek, které obsahují kód, jehož vykonání si přeje. Informace o fyzických adresách stránek procesu s daným PID lze⁶ zjistit ze souborového systému `/proc` v souboru `/proc/<PID>/page_map`.

8.10 Souběžné spojení

Souběžné spojení je `TCP` protokolem uznávaný způsob navázání spojení definovaný přímo v RFC 793. Znázorněný je na obrázku 8.1. Souběžné spojení nastane, když

- `TCP` spojení je ve stavu `SYN_SENT`
⇒ Čeká se na `SYN/ACK` paket od protistrany.
- a zároveň od protistrany přijde, namísto očekávaného `SYN/ACK` paketu, paket `SYN`.



Obrázek 8.1: Navázání spojení prostřednictvím `TCP` Simultaneous Connect

⁵Možnost přistupovat na libovolné místo v hlavní paměti skončila v jádře verze 3.9. Řešením pro útočníka na novějších jádrech je technika zvaná `ROP` popsána v kapitole 8.8.

⁷Tyto soubory lze pro běžné uživatele znepřístupnit, avšak pravidlem to není.

8.10.1 DoS útok na službu postavený na existenci TCP Simultaneous Connect

Možnosti souběžného navázání spojení lze využít k znepřístupnění služby běžící na několika málo veřejně známých adresách. Útok vypadá následovně:

1. Útočník zná adresu, na které je poskytována služba.
2. Útočník detekuje SYN paket klienta směřující na adresu služby.
3. Útočník klientovi následně pošle SYN paket vydávajíc se za server poskytující službu.
4. Klientovi útočnickův paket přijde ve chvíli, kdy je spojení na straně klienta ve stavu SYN_SENT.
⇒ Klient akceptuje sekvenční číslo „serveru“ bez jeho ověření.
5. Skutečné sekvenční číslo serveru klient následně již neakceptuje.

9. Grsecurity/PaX

Grsecurity (*Grsec*) je soubor modifikací *jádra* posilujících jeho bezpečnost distribuovaný formou patche. Jak v popisu, tak i v následném měření je uvažováno *Grsec* ve verzi 201701062021 aplikovatelné na *jádra* ve verzích 3.1 - 4.8.16. Kořenem veškerých nastavení dodaných patchem *Grsecurity* jádra je větev `/Security options/Grsecurity`. Modifikací jádra obsažených v *Grsec* je velmi mnoho a není zde prostor je všechny pojmut. Proto byly vybrány pouze ty „zajímavější“ z hlediska nasazení na *CIV*:

- *PaX* – soubor preventivně působících bezpečnostních technik týkajících se hlavní paměti (viz kapitoly 9.1 až 9.16),
- zvýšení zabezpečení *chroot prostředí*,
- přidání podpory *MAC/RBAC*,
- a několik dalších.

Page eXec project (*PaX*) je soubor technik, které aktivně brání možnému zneužití *zranitelností* v podobě softwarových chyb umožňujících útočníkovi získat neomezený přístup do adresního prostoru napadeného procesu. *PaX* obecně nezjišťuje zranitelnosti, pouze preventivně omezuje techniky, kterými lze těchto zranitelností zneužít. *PaX* sestává bezpečnostních technik rozdělitelných zhruba do čtyřech hlavních oblastí:

vylepšuje řízení přístupu (*AC*) k obsahu *VAS*,

Na architekturu *x86-32* přináší *PaX* možnost zamezit vykonávání obsahu *stránek* emulací *NX* bitu. Na novějších architekturách, kde je *NX* již přítomen, jej *PaX* využívá. Jím posílené *AC* ve výchozím nastavení odebírá oprávnění zapisovat do stránek obsahujících instrukce a oprávnění vykonávat obsah stránek obsahujících data.

činí obtížnějším útok *převzetí kontroly*,

Znáhodňováním adres počátků jednotlivých *mapování* (*ASLR*) v rámci *VAS PaX* znepříjemňuje doskok útočníka, který tak již nevystačí s pouhou znalostí umístění funkce ve *VAS*.

věnuje se i zabezpečení přímo v *Kernel Space* a

Preventivně maže *kernel-space-stack*, aby přešel datovým únikům z něj. Dále *PaX* do jisté míry znemožňuje provádění kódu umístěného v *User Space* v *kernel mode*. Dosahuje toho důsledným oddělením *User Space* a *Kernel Space*. Úspěchu útoků *ret2dir* však předejít nedokáže.

dokáže detekovat pokusy o neoprávněnou manipulaci s hlavní pamětí.

Iniciátora takové manipulace s hlavní pamětí ukončuje.

9.1 ASLR

ASLR (*Address Space Layout Randomization*) je technika znáhodňující [*Ass*] rozmístění jednotlivých *mapování* po *AS* procesu a tím *znesnadňující* zneužití zranitelnosti přetečení zásobníku. *ASLR* neodstraňuje příčinu zranitelnosti – chybný kód jednotlivých programů, nýbrž působí jako prevence, která znesnadní zneužití této zranitelnosti. Proto je *ASLR* potencionálně efektivní ochranou i proti doposud neznámým hrozbám. *ASLR* je podstatné v ochraně proti útokům vyžadujícím znalost adres v *AS* procesu jako např. adresy různých knihoven.

Útoky vedoucí k ovládnutí procesu vyžadují zpravidla předchozí znalost *AS* procesu. Počátek každého *mapování* je v rámci *AS* procesu proto volen náhodně při každém novém spuštění procesu, což zásadně snižuje šance útočníka na úspěšné převzetí kontroly nad procesem, neboť skok na adresu, kde se nenalézá předpokládaná instrukce, čili skok na adresu bez smysluplného obsahu povede spíše ke zhroucení procesu, nežli k převzetí kontroly nad procesem. Zhroucení procesu lze následně snadno detekovat a na něj reagovat. Náhodná volba adres jednotlivých *mapování* v *AS* procesu vede u mnoha pokusů o převzetí kontroly nad procesem k selhání procesu.

Předpovídatelnost rozložení paměti využívaná hrozbami 8.2 je při použití *PaX-ASLR* redukována náhodným umístováním počátků všech možných *mapování* v rámci *AS* pro každou jednu instanci programu.

Náhodné umístování *mapování* po *AS* procesu by za stavu, kdy pro útočníka není složité se dozvědět o *AS* jím napadeného procesu podrobnosti ze souborového systému `/proc`, nebylo až takovým přínosem. Proto *Grsecurity* posiluje bezpečnost i v tomto směru – viz kapitola 9.21.

9.1.1 ASLR není exkluzivní pro PaX

Technika *ASLR* existuje nezávisle na *PaXu*, nicméně v méně pokročilých formách [*Mül08*] (viz tabulka 9.1).

Nosič	První zaznamenaný výskyt	Komentář
Linux	verze 2.6.12 (cca červen 2005)	Znáhodňují se pozice pouze anonymních mapování – zásobníku a haldy.
jádro OS Windows	verze 6.0 (cca červen 2006)	Pouze pro explicitně označené spustitelné soubory.
PaX	2000	Znáhodnění počátku mapování je možné pro každé mapování. Vše se odvíjí od požadavků specifikovaných v Executable and Linking Format (ELF) hlavičkách spustitelných souborů, jejichž obsah bude vykonáván procesy, jejichž AS bude znáhodňován. PaX podíl „náhody“ na umístění jednotlivých mapování výrazně umocňuje.

Tabulka 9.1: Výskyt ASLR

9.1.2 PaX-ASLR funguje pouze u vybraných procesů

PaX-ASLR se aplikuje výhradně na procesy, které

- vykonávají spustitelné soubory ve formátu ELF a
- používají (dynamicky linkují) výhradně knihovny ve formátu ELF.

PaX dále předpokládá určitý formát spustitelného souboru, jež je procesem vykonáván, v závislosti na čemž následně randomizace funguje či nikoliv.

Position Independent Executable (PIE) je spustitelný soubor obsahující pozičně nezávislý kód (PIC).

Position Independent Code (PIC) je pozičně nezávislý kód je strojový kód, který je možné vykonat nezávisle na tom, na jaké adrese je v operační paměti umístěn.

9.1.2.1 Příklad

Příklad v rozdílném přístupu PaXu je zachycen C kódem 9.1 kompilovaným příkazy 9.1 a spuštěným v obou variantách na systému s PaX a bez něj s výsledkem uvedeným v tabulce 9.2.

```
#include <stdio.h>

void doit() { return 0 ; }

int main() {
    printf("main @ %p\n", main);
    printf("doit @ %p\n", doit);
    return 0;
}
```

C kód 9.1: Program pro demonstraci rozdílného mapování na systémech s/bez PaX

```
gcc -o aslr-test-withpie -pie aslr-test.c
```

```
gcc -o aslr-test-without aslr-test.c
```

Příkaz/y 9.1: Kompilace programu do formátu PIE a mimo něj

9.1.3 Příklad uspořádání AS procesu

Obsah AS lze vyčíst z pseudo-souborového systému /proc, konkrétně obsah vlastního AS je procesu dostupný v souboru /proc/self/maps. Příklad podoby AS pro konkrétní proces (vykonávající soubor /bin/dd) je uveden v příkazu 9.2. Popis jednotlivých oblastí je uveden v tabulce 9.3.

9.1.4 ASLR jako obrana proti útoku

Jednotlivá [mapování](#) jsou na sobě nezávislá. Díky tomu lze v rámci ASLR posouvat jednotlivá mapování nezávisle na sobě a dále tak snižovat pravděpodobnost úspěchu útočníka, neboť každá oblast může být posunuta o jinou „vzdálenost“ a útočník je nucen hádat více adres. Útočník se může dozvědět podrobnosti o AS procesu

Přítomnost PaX v systému	Program ve formátu PIE	Výstup programu
ne	ne	vždy stejný
ne	ano	vždy stejný
ano	ne	vždy stejný
ano	ano	vždy nestejný

Tabulka 9.2: Výstup programu zachyceném v C kódu 9.1 při opakovaném spuštění

```

$ $ /bin/dd if=/proc/self/maps of=/dev/stdout 2>/dev/null
A 00400000-0040e000 r-xp 00000000 08:11 788032 /bin/dd
B 0060d000-0060e000 r--p 0000d000 08:11 788032 /bin/dd
C 0060e000-0060f000 rw-p 0000e000 08:11 788032 /bin/dd
D 01c34000-01c55000 rw-p 00000000 00:00 0 [heap]
E 7efc11b15000-7efc11cb6000 r-xp 00000000 08:11 2626963
↳ /lib/x86_64-linux-gnu/libc-2.19.so
F 7efc11cb6000-7efc11eb6000 ---p 001a1000 08:11 2626963
↳ /lib/x86_64-linux-gnu/libc-2.19.so
G 7efc11eb6000-7efc11eba000 r--p 001a1000 08:11 2626963
↳ /lib/x86_64-linux-gnu/libc-2.19.so
H 7efc11eba000-7efc11ebc000 rw-p 001a5000 08:11 2626963
↳ /lib/x86_64-linux-gnu/libc-2.19.so
I 7efc11ebc000-7efc11ec0000 rw-p 00000000 00:00 0
J 7efc11ec0000-7efc11ee0000 r-xp 00000000 08:11 2626959
↳ /lib/x86_64-linux-gnu/ld-2.19.so
K 7efc12046000-7efc120bb000 r--p 00000000 08:11 1051449
↳ /usr/lib/locale/locale-archive
L 7efc120bb000-7efc120be000 rw-p 00000000 00:00 0
M 7efc120de000-7efc120e0000 rw-p 00000000 00:00 0
N 7efc120e0000-7efc120e1000 r--p 00020000 08:11 2626959
↳ /lib/x86_64-linux-gnu/ld-2.19.so
O 7efc120e1000-7efc120e2000 rw-p 00021000 08:11 2626959
↳ /lib/x86_64-linux-gnu/ld-2.19.so
P 7efc120e2000-7efc120e3000 rw-p 00000000 00:00 0
Q 7ffdc0f6c000-7ffdc0f8d000 rw-p 00000000 00:00 0 [stack]
R 7ffdc0f8f000-7ffdc0f91000 r-xp 00000000 00:00 0 [vdso]
S 7ffdc0f91000-7ffdc0f93000 r--p 00000000 00:00 0 [vvar]
T ffffffff600000-ffffffff601000 r-xp 00000000 00:00 0 [vsyscall]

```

Příkaz/y 9.2: Výpis oblastí přítomných v AS procesu /bin/dd. Velká písmena na počátku řádků jsou do výstupu příkazu /bin/dd doplněna za účelem snadnějšího odkazování se na ně.

Oblast	Význam
A	Čitelná a spustitelná oblast původem z <code>/bin/dd</code> . ⇒ Jedná se o mapování text obsahující strojový kód programu.
B	Čitelná oblast původem z <code>/bin/dd</code> . ⇒ Jedná se o mapování ??? obsahující konstanty.
C	Čitelná a zapisovatelná oblast původem z <code>/bin/dd</code> . ⇒ Data.
D	Halda (řečeno rovnou).
E	Mapování s právy <code>RX</code> původem z <code>libc-2.19.so</code> . ⇒ Kód knihovny <code>libc</code> .
F	Mapování bez práv původem z <code>libc-2.19.so</code> .
G	Mapování s právem <code>R</code> původem z <code>libc-2.19.so</code> . ⇒ Inicializovaná data knihovny <code>libc</code> .
H-I	Mapování s právy <code>RW</code> původem z <code>libc-2.19.so</code> . ⇒ Neinicializovaná data knihovny <code>libc</code> .
J	Mapování pro čtení a spouštění původem z <code>ld-2.19.so</code> . ⇒ Jedná se o kód dynamického linkeru .
K-M	Soubor <code>/usr/lib/locale/locale-archive</code> obsahuje národní verze řetězců. Jedná se o mapování určené pouze pro čtení.
N	Mapování pouze pro čtení původem z <code>ld-2.19.so</code> . ⇒ Jedná se o inicializovaná data dynamického linkeru .
O-P	Mapování pro čtení a zápis původem z <code>ld-2.19.so</code> . ⇒ Jedná se o neinicializovaná data dynamického linkeru .
Q	Zásobník (řečeno rovnou).

Tabulka 9.3: Oblasti mapované do AS procesu vykonávající soubor `/bin/dd`

- **díky chybě v programu,**

Z hlediska útočníka nejlepší stav. Proces na základě vnějších či dokonce i žádných stimulů útočnickovi vyrazí potřebné informace o svém **AS**. Útočnickovi v takovém případě pochopitelně **ASLR** nezabrání v jeho úmyslech.

- **hrubou silou nebo**

Útok *hrubou silou* je útok, při kterém je útočnickovi umožněno využití jeho znalostí nabytých v předchozích útocích na tentýž objekt zájmu čili útočník se může „učit“. Hrubou silou má smysl útočit v případě stále stejné randomizace **AS** procesu, např. na síťové demony, které při každém novém spojení zavolají pouze `fork()`, neboť `fork()` zkopíruje **AS** rodiče do **AS** potomka čili zachová randomizaci uspořádání z rodiče. Naproti tomu `execve()` pochopitelně randomizaci nahradí randomizací novou.

- **hádáním.**

Útok *hádáním* je ideální stavem (z pohledu obránce). K hádání se útočník uchýlí v případě, že není v jeho silách se „učit“. Jelikož uspořádání **mapování** v **AS** procesu je pokaždé jiné, útočník bude mít při každém útoku stejnou (nepatrnou) pravděpodobnost úspěchu.

9.1.4.1 Vyčíslení pravděpodobnosti úspěchu útoku

Nechť

R_s	je počet náhodně volených bitů v adrese počátku mapování zásobníku,
R_m	je počet náhodně volených bitů v adrese počátku mapování vzniklého voláním funkce <code>mmap()</code> ,
R_x	je počet náhodně volených bitů v adrese počátku mapování kódu,
L_s	je nejméně významná pozice z pozic náhodně volených bitů mapování zásobníku,
L_m	je nejméně významná pozice z pozic náhodně volených bitů mapování vzniklého voláním funkce <code>mmap()</code> ,
L_x	je nejméně významná pozice z pozic náhodně volených bitů mapování kódu,
A_s	je počet náhodně volených bitů mapování zásobníku napadených v jednom pokusu,
A_m	je počet náhodně volených bitů mapování vzniklého voláním funkce <code>mmap()</code> napadených v jednom pokusu,
A_x	je počet náhodně volených bitů mapování kódu napadených v jednom pokusu,
α	je počet provedených pokusů,
N	je celkový počet náhodně volených bitů, které musí útočník uhádnout,
$P_g(\alpha)$	je pravděpodobnost úspěchu útoku hádáním při α pokusech a
$P_b(\alpha)$	je pravděpodobnost úspěchu útoku hrubou silou při α pokusech.

Architektura	R_s	R_m	R_x	L_s	L_m	L_x
IA-32	24	16	16	4	12	12

Tabulka 9.4: Parametry ASLR pro různé architektury

V případě architektury IA-32 se v adrese počátku zásobníku (vzhledem k hodnotám uvedeným v tabulce 9.4) náhodně volí podtržené bity z následující posloupnosti bitů:

0, 1, 2, 3, 4, 5, 6, 7, 8, 9, 10, 11, 12, 13, 14, 15, 16, 17, 18, 19, 20, 21, 22, 23, 24, 25, 26, 27, 28, 29, 30, 31

Pro celkové množství náhodně volených bitů (entropii), které musí útočník uhádnout – N – platí:

$$N = (R_s - A_s) + (R_m - A_m) + (R_x - A_x)$$

9.1.4.2 Vyčíslení pravděpodobnosti úspěchu útoku při hádání

Nechť

- β je pravděpodobnost jevu uhádnutí jednoho bitu (z adresy),
- γ je pravděpodobnost jevu uhádnutí n bitů (z adresy) zároveň,
- δ je pravděpodobnost opačného jevu k předchozímu jevu čili neuhádnutí n bitů (z adresy).

Bit je binární veličina, z čehož plyne že jeho uhádnutí je pravděpodobné z 50 procent:

$$\beta = \frac{1}{2}$$

Uhádnutí n binárních čísel zároveň představuje uhádnutí každého jednoho z nich. To znamená, že pravděpodobnost γ bude sjednocením n pravděpodobností β :

$$\gamma = \left(\frac{1}{2}\right)^n$$

Veličinu γ lze zapsat také následovně:

$$\gamma = 2^{-n}$$

Má-li útočník na hádání α pokusů, potom je vhodné naformulovat δ :

$$\delta = 1 - 2^{-n}$$

Pravděpodobnost uhádnutí je 1 bez pravděpodobnosti neuhádnutí během α pokusů:

$$P_g(\alpha) = 1 - \delta^\alpha$$

Výsledný vzorec P_g je patrný z rovnosti 9.1. Pro různé hodnoty N a α vyčísluje P_g tabulka 9.5. Případné hodnoty 0 a 1 v ní uvedené jsou pouze aproximacemi jim velmi blízkých hodnot. Tabulka byla převzata z [03].

$$P_g(\alpha) = 1 - (1 - 2^{-N})^\alpha$$

Rovnost 9.1: Pravděpodobnost úspěchu útoku hádáním P_g při hádání N bitů adresy a α násobném opakování

9.1.4.3 Vyčíslení pravděpodobnosti úspěchu útoku hrubou silou

Při útoku hrubou silou lze vyjít z γ čili pravděpodobnosti jevu uhádnutí n bitů (z adresy) zároveň odvozeném výše:

$$\gamma = 2^{-n}$$

Útok hrubou silou předpokládá, že každý jeden útok závisí na útoku jemu předcházejícím, neboť každý případný neúspěch zmenšuje množinu možností pokusu dalšího čili pokusy mají paměť. Výsledný vzorec P_b je patrný z rovnosti 9.2.

Pro jednotlivá mapování existují různé modifikace ASLR:

hádaných bitů (N)	počet opakování útoku (α)													
	1	4	16	64	256	2 ¹⁰	2 ¹⁴	2 ¹⁸	2 ²⁰	2 ²⁴	2 ³²	2 ⁴⁰	2 ⁵⁶	2 ⁶⁴
1	0,50	0,94	1	1	1	1	1	1	1	1	1	1	1	1
2	0,25	0,68	0,99	1	1	1	1	1	1	1	1	1	1	1
4	0,06	0,23	0,64	0,98	1	1	1	1	1	1	1	1	1	1
8	0	0,02	0,06	0,22	0,63	0,98	1	1	1	1	1	1	1	1
16	0	0	0	0	0	0,02	0,22	0,98	1	1	1	1	1	1
24	0	0	0	0	0	0	0	0,02	0,06	0,63	1	1	1	1
32	0	0	0	0	0	0	0	0	0	0	0,63	1	1	1
40	0	0	0	0	0	0	0	0	0	0	0	0,63	1	1
56	0	0	0	0	0	0	0	0	0	0	0	0	0,63	1

Tabulka 9.5: Vyčíslení pravděpodobnosti úspěchu útoku hádáním $P_g(\alpha)$ pro různý počet hádaných bitů adresy N a různý počet opakování α

$$P_b(\alpha) = \alpha \cdot 2^{-N}$$

Rovnost 9.2: Pravděpodobnost úspěchu útoku hrubou silou P_b při hádání N bitů adresy a α násobném opakování

hádaných bitů (N)	počet opakování útoku (α)													
	1	4	16	64	256	2 ¹⁰	2 ¹⁴	2 ¹⁸	2 ²⁰	2 ²⁴	2 ³²	2 ⁴⁰	2 ⁵⁶	2 ⁶⁴
1	0,50	1	1	1	1	1	1	1	1	1	1	1	1	
2	0,25	1	1	1	1	1	1	1	1	1	1	1	1	
4	0,06	0,25	1	1	1	1	1	1	1	1	1	1	1	
8	0	0,02	0,06	0,25	1	1	1	1	1	1	1	1	1	
16	0	0	0	0	0	0,02	0,25	1	1	1	1	1	1	
24	0	0	0	0	0	0	0	0,02	0,06	1	1	1	1	
32	0	0	0	0	0	0	0	0	0	0	1	1	1	
40	0	0	0	0	0	0	0	0	0	0	0	1	1	
56	0	0	0	0	0	0	0	0	0	0	0	0	1	

Tabulka 9.6: Vyčíslení pravděpodobnosti úspěchu útoku hádáním $P_b(\alpha)$ pro různý počet hádaných bitů adresy N a různý počet opakování α

9.1.5 Implementace ASLR: RANDMMAP

RANDMMAP je implementace **Address Space Layout Randomization**, které je schopno znáhodňovat umístění jakýchkoliv mapování včetně **anonymních mapování**. Znáhodnění je dosaženo modifikací funkce `do_mmap()`, kde probíhá volba počátečních adres **mapování**. Znáhodnění jednotlivých **mapování** jsou nezávislá a proto pokud **exploit** ke svému chodu vyžaduje například vykonávání kódu na **zásobníku** a zároveň v **oblasti sdílených knihoven**, potom musí jeho autor uhádnout $24 + 16$ bitů [SJ04].

9.1.5.1 Požadavek na formát programu

Technika znáhodňování **RANDMMAP** funguje pouze pro spustitelné soubory, které jsou ve formátu **PIE**. Formát **PIE** dnes není samozřejmý. Ověření o jaký typ **ELF** souboru se jedná postačí příkaz `file <název-souboru>`. Je-li soubor ve formátu **PIE**, potom je v jeho výstupu obsažen řetězec **ELF 64-bit LSB shared object, x86-64**¹, v opačném případě **ELF 64-bit LSB executable, x86-64**¹.

Position Independent Executable (PIE) je formát **ELF** binárního souboru. Jedná se o formát umožňující relokaci jednotlivých oblastí procesu uložených v binárním souboru na náhodné adresy v rámci **AS** procesu. Tentýž formát je používán pro kompilaci dynamicky linkovaných (sdílených) knihoven. **PIE** je někdy též označován jako **etdyn**. Spustitelné soubory, které jsou ve formátu **etexec-ELF** lze znáhodňovat nanejvýš technikou **RANDEXEC** (viz kapitola 9.1.6). Do formátu **ELF-etexec** je zkompileována dnes většina programů. Tento formát neobsahuje dostatečné množství relokčních informací potřebných k jejich relokaci na jinou adresu v paměti, než tu v nich specifikovanou.

1

9.1.6 Implementace ASLR: RANDEXEC

RANDEXEC je implementace **ASLR** procesů vykonávajících programy uložené ve formátu **etexec**.

Metoda **RANDMMAP** poskytuje zcela vyhovující řešení **ASLR**. Jejím hlavním nedostatkem je požadavek na formát spustitelného souboru – **etdyn** – zmíněný v kapitole 9.1.5.1. Kompilace programu do formátu **etdyn** nemusí být vždy možná, například z důvodu nedostupnosti zdrojových kódů programu.

RANDEXEC je alternativou **RANDMMAP**, která nevyžaduje formát **etdyn**. **RANDEXEC** implementuje randomizaci **VAS** binárních souborů ve formátu **etexec**. Občas vyvolává falešné popluchy a byla vyvinuta pouze jako technologický pokus [SJ04].

9.1.6.1 Princip

Relokace spustitelného souboru, který pro relokaci nebyl navržen – **etexec** – nemůže dosahovat kvalit řešení. **RANDEXEC** pracuje na stejném principu jako **SEGMEEXEC**:

1. Obsah spustitelného souboru se nahraje na adresu v něm uvedenou čili na standardní pozici, kde své nahrání daný soubor očekává.
2. V tomto umístění se kód označí jako nespustitelný.
3. Obsah spustitelného souboru se nahraje do **AS** procesu ještě jednou a to do náhodně zvoleného umístění v **User Space** stejnými postupy jako v rámci **RANDMMAP**.
4. V tomto umístění se kód označí jako spustitelný.
5. Při vykonávání se program standardně pohybuje po svých původních adresách (uvedených v binárním souboru).
6. Každý pokus o spuštění kódu vyvolá výpadek stránky – **Page fault**.
7. Výpadek stránky vyhodnocuje funkce `do_page_fault()` modifikovaná patchem **PaX**.
8. Oprávněný přístup do paměti je přesměrován na adresu kopie, která spustitelná je.

RANDEXEC ochrana není ve výchozím stavu zapnuta. Zapíná se zvlášť pro každý program, který jí má být chráněn, nástrojem `paxctl` (viz kapitola 11.4.2.2).

9.1.7 Implementace ASLR: RANDUSTACK

RANDUSTACK je implementací **ASLR** pro **userspace-stack**.

Každý proces má v **User Space** zásobník. Tento zásobník je povinný a je vytvářen během volání `execve()`. Volání `fork()` jej pouze kopíruje do **AS** potomka. Standardní umístění zásobníku je na konci **User Space** a proto zásobník následně roste směrem k nižším adresám. Každé vlákno má vlastní **userspace-stack** vytvořené v **User Space** voláním funkce `mmap()`. **RANDUSTACK** znáhodňuje umístění každého **userspace-stack** hned dvakrát:

¹Platí v případě spustitelného souboru zkompileovaného pro procesorovou architekturu **x86-64**. V případě spustitelného souboru zkompileovaného pro jinou procesorovou architekturu se výstup příkazu `file` pochopitelně liší v jejím označení.

1. Ve funkci `do_execve()` v souboru `fs/exec.c` se vytváří dočasný ukazatel na zásobník. Zde PaX znáhodňuje bity 2-11, čímž dosahuje možného posunu počátku mapování v rámci AS o

$$2^{10} \cdot \text{velikost stránky} = 2^{10} \cdot 4\text{kB}$$

2. Druhá část posunu počátku mapování po AS procesu se odehrává v okamžiku zavolání funkce `setup_arg_pages()`. V této funkci se standardně mapují stránky získané pro `userspace-stack` v předěšlém kroku do AS procesu. Standardně se konec zásobníku zarovná na adresu definovanou v konstantě `STACK_TOP`. Page eXec project modifikuje tuto konstantu (umístěnou v `include/asm-i386/a.out.h`) o náhodný posun daný proměnnou `delta_stack` v bitech 12 až 27. Tento druhý krok zajistí, že díky RANDUSTACK je možné hýbat s `userspace-stack` po AS až o 256 MB.

9.1.8 Implementace ASLR: RANDKSTACK

Každý proces disponuje dvěma paměťovými stránkami v AS, ve kterých leží jeho `kernalspace-stack`. Tento zásobník slouží k podpoře obsluhy operací prováděných v `kernel mode`, jakými jsou systémová volání, hardwarová přerušení a výjimky vzniklé na CPU. Do `kernalspace-stack` se mimo jiné ukládá adresa instrukce ležící v `User Space`, která iniciovala přepnutí kontextu z `user mode` do `kernel mode`. Ukazatel na `kernalspace-stack` může být na rozdíl od ukazatele na `userspace-stack` randomizován při každém přepnutí kontextu [SJ04], neboť vždy vzniká „z ničeho“ čili prázdný. To umožňuje jej randomizovat při každém přepnutí kontextu znovu a nikoliv pouze jednou, jako je tomu v případě `userspace-stack` při spuštění procesu/vlákn. Posun, který PaX umožňuje pro `kernalspace-stack` je 128 B.

9.2 Důsledné vynucení nespustitelné paměti

Mnozí se útoky spadající do kategorie 8.1.2 přiměly návrháře procesorových architektur k tomu, aby do svých děl zakomponovali podporu pro nespustitelnou paměť. Dnes již je na většině procesorových architektur podpora pro nespustitelné stránky přítomna, stejně tak jako i v Linuxu. Vzhledem k tomu, že

- Linux je co se týče ne/spustitelnosti stránek nedůsledný a
- architektura IA-32 podporu ne/spustitelných stránek postrádá,

existuje zde prostor pro PaX, který se snaží výše uvedené napravit, což činí v rámci techniky pojmenované NO-EXEC.

9.2.1 Vylepšení ne/spustitelné paměti poskytované PaXem

Zatímco podpora nespustitelných stránek (např. v x86-64) hardwaru je již přítomna, stávající programové vybavení – jádro – ji zpravidla používá nedůsledně². Například distribuční jádro ve verzi 3.16 používané v Debian Jessie

- ochranou proti spuštění vybaví pouze některá mapování v AS procesu a `Userspace-stack` učiní nespustitelným, nicméně `halda`, jejíž spustitelnost představuje taktéž zranitelnost, byť o něco obtížněji zneužitelnou, ponechá spustitelnou.
- ponechá útočníkovi přístupné možnosti tuto ochranu deaktivovat. Útočník má možnost modifikovat přístupová oprávnění paměťové stránky voláním funkce `mprotect()` čili má možnost učinit jakoukoliv stránku dodatečně spustitelnou, podaří-li se mu zavolat `mprotect()`.

Dodatečná softwarová podpora nespustitelných stránek na x86-64 v podobě PaX tak má stále potenciál ochranu před nespustitelnými stránkami učinit výrazně silnější.

9.2.1.1 Vynucení ne/spustitelnosti na „jakémkoliv“ mapování (NOEXEC)

NOEXEC je technika ochrany proti útokům typu 8.1.2 vedeným skrze modifikaci v AS již existujícího mapování. Stejně tak, jako i v jiných oblastech bezpečnosti, i zde se uplatňuje princip minimálních privilegií čili jsou udělována minimální privilegia, která postačují ke správné funkci programu. Pakliže proces nevyžaduje ke svému chodu generování spustitelného kódu, neměl by jej být chopen. NOEXEC

- vynutí podporu pro nespustitelné stránky v jádře a `Anonymní mapování` budou již výhradně nespustitelná.
- vynutí zohledňování požadavků specifikovaných v hlavičce ELF spustitelných souborů. Spustitelné soubory ve formátu ELF budou mapovány do AS se spustitelným vždy jen tím ELF segmentem, který obsahuje programový kód. Ostatní ELF segmenty budou mapovány do AS jako nespustitelné, nebude-li v rámci ELF souboru řečeno jinak.

²Využití přítomnosti NX bitu se pochopitelně liší dle použitého jádra.

Výše zmíněná opatření by byla k ničemu bez záruky, že během vykonávání programu nedojde ke změně parametrů jednotlivých **mapování** (viz následující kapitola).

9.2.1.2 Znemožnění dodatečné modifikace ne/spustitelnosti **mapování** (**MPROTECT**)

Oprávnění paměťových stránek lze obecně určit

- voláním `mmap()` při umístování jednotlivých **mapování** do **AS** procesu či
- voláním `mprotect()`.

Tato volání jsou samozřejmě dostupná i útočníkovi. Aby technika **NOEXEC** fungovala, nesmí být možné paměťovým stránkám měnit jejich oprávnění. Proto se oprávnění jednotlivých paměťových stránek zamykají. Ochrana paměťových stránek **MPROTECT**

- **zabrání vytvoření **mapování**, které by bylo zapisovatelné a spustitelné zároveň,**
- **anonymní **mapování** učiní vždy pouze nespustitelným a**
- **zakáže přidělení spustitelnosti **mapování**, které dříve bylo či je zapisovatelné.**

Na systémech, kde je aktivována ochrana **MPROTECT** spuštění programu, jehož kód je uveden v C kódu 9.2 skončí neúspěchem. Příčinou selhání bude volání funkce `mmap()` čili v daném případě pokus o alokaci 1 kB velkého úseku paměti s právy zápisu i spouštění jeho obsahu, což **MPROTECT** ochrana nedovoluje.

```
#include <stdio.h>
#include <stdlib.h>
#include <sys/mman.h>
#include <errno.h>
#include <string.h>

int main()
{
    size_t* m;

    m = mmap( 0, 1024, PROT_WRITE | PROT_EXEC, MAP_PRIVATE | MAP_ANONYMOUS, -1, 0 );

    if( m == MAP_FAILED )
    {
        printf("mmap failed: %s\n", strerror(errno));
        return 1;
    }
    printf("mmap succeeded: %p\n", m);
    return 0;
}
```

C kód 9.2: Zdrojový kód programu, jež v systémech s aktivovaným **MPROTECT** nemůže skončit zdarem

9.2.2 Přidání ne/spustitelné paměti do **IA-32** systémů

Záznamy v **tabulce stránek** v **IA-32** nenesou informaci o ne/spustitelnosti stránky a proto **MMU** nemá informaci o tom, zda-li obsah nesený danou stránkou je přípustné spouštět či nikoliv. Naopak architektury jako **x86-64** či **ARMv6** podporu pro nespustitelné stránky v **MMU** mají, neboť v záznamu jejich tabulky stránek je vždy přítomen **NX** bit – příznak nespustitelnosti [**NXexp**]. Výrobci procesorů podporu ne/spustitelné paměti označují různě –

- Intel jako *eXecute Disable (XD)*,
- AMD jako *Enhanced Virus Protection (EVP)* a
- ARM jako *eXecute Never (XN)*.

PaX přidává na **IA-32** softwarovou emulaci ne/spustitelných stránek a to hned ve dvou možných variantách:

9.2.2.1 Implementace založená na stránkování (**PAGEEXEC**)

PAGEEXEC je jednou ze dvou technik **emulace ne/spustitelných stránek** pro procesorovou architekturu **IA-32**, které **PaX** nabízí. Tato emulace je postavena na existenci dvou **TLB**. Více **TLB** jednotek (viz kapitola 4.4.1.3) je v **x86**-kompatibilních procesorech standardem již od procesorů **i586**. Zavedeny v nich byly

- **instrukční TLB (ITLB)** a

TLB, do které se ukládají překlady nejčastěji přístupovaných paměťových stránek, k nimž je přístupováno s úmyslem je vykonávat. Předpokládá se, že tyto paměťové stránky obsahují strojové instrukce.

- **datová TLB (DTLB).**

TLB, do které se ukládají informace o nejčastěji přístupovaných stránkách, k nimž je přístupováno s úmyslem je nevykonávat. Předpokládá se, že tyto paměťové stránky obsahují data zpracovávaná programem.

Princip fungování PAGEEXEC je následující:

1. **Všechny stránky VAS, které mají být nespustitelné, mají v tabulce stránek nastaven buďto tzv. supervisor bit nebo „non present bit“.**

Supervisor bit (SB) je jedním z příznaků vedených při každém záznamu *tabulky stránek*, jehož případné nastavení zamezí každému přístupu k dané paměťové stránce s úrovní oprávnění *Ring 1* a nižší čili zamezí každému přístupu ke stránce, není-li veden z *Ring 0* (viz kapitola 5.1.1) čili *kernel mode* [Li]. V *user mode* se ke stránce s nastaveným *SB* dostat nelze.

2. **CPU chce přistoupit na konkrétní LA adresu³ v paměti.**

CPU disponuje *LA* adresou, která je pochopitelně k ničemu bez znalosti jejího mapování do fyzického adresního prostoru. Proto *MMU* započne hledání jejího „zobrazení“ do *LAS*.

3. **Překlad LA → VA MMU nalezne v tabulce segmentových deskriptorů.**

Nyní zbývá nalézt zobrazení *VA* → *PA*.

4. **Jelikož přístup do tabulky stránek je drahý, <PEKNE-BY-BYLO-CITOVAT> MMU nejprve ověřuje přítomnost překladu LA v příslušné TLB, která odpovídá typu přístupu do paměti.**

- Překlad je v ITLB/DTLB přítomen.

Překlad *LA* na *PA* byl v historii běhu programu již proveden a s ním proběhla i kontrola přístupových oprávnění. Je-li překlad již přítomen v *TLB*, potom je **přístup povolen**.

- Překlad není v ITLB/DTLB přítomen.

V takovém případě bude prohledávána tabulka stránek (viz bod 5). Nebude-li nalezen překlad, čili nebude-li stránka požadované *LA* existovat či nebude-li přístup ke stránce v souladu s přístupovými oprávněními, bude vržena výjimka *Page fault*.

5. **Přístup ke stránkám s nastaveným SB z kódu běžícím s oprávněním nižším nežli je Ring 0 vyvolá výjimku Page fault.**

Při přístupu do stránky paměti z kódu běžícím s oprávněním *Ring 0*, čili běžícím v *kernel mode*, je podmínka nutná pro přístup ke stránce – *supervisor bit* – splněna a k vržení výjimky nedochází.

6. **V rutinách obsluhujících tuto výjimku se vyhodnotí, zda-li přístup k paměti, který výjimku vyvolal byl veden z DTLB či ITLB.**

- Přístup byl veden skrz DTLB.

Příčinou přístupu do paměti nebyl úmysl vykonat její obsah. Není důvod procesoru bránit v načtení.

(a) *Supervisor bit* je odnastaven.

(b) Překlad *VA* → *PA* je nahrán do *DTLB*.

(c) *Supervisor bit* je nastaven.

- Přístup byl veden skrz ITLB.

Příčinou přístupu do paměti byl jednoznačně úmysl procesu načíst instrukci. Při obsluze výjimky *Page fault* jsou porovnávány

– adresa instrukce, při jejímž načítání došlo k vržení výjimky a

– adresa paměti, na které došlo k vržení výjimky.

Pokud se výše uvedené adresy shodují, výjimka *Page fault* byla zapříčiněna *PaXem* – v tomto případě jeho ochranou proti spouštění nespustitelných stránek *PAGEEXEC*.

Technika *PAGEEXEC* tedy v podstatě jen „přetěžuje význam *supervisor bitu*“ v *tabulce stránek*, kde tento bit zaručuje „nespustitelnost stránky“ pro jakýkoliv přístup k ní vedený v *user mode* čili lépe řečeno s oprávněním nižším nežli *Ring 0*. Datové přístupy *PAGEEXEC* nechává bez povšimnutí, neboť v takovém případě je *SB* automaticky pro přístupovanou stránku na dobu nezbytně nutnou odnastaven.

Technika *PAGEEXEC* existuje též ve variantě, kdy v tabulce stránek není přetěžován *supervisor bit*, nýbrž „non present bit“. Tato možnost je však v praxi nepoužívá, neboť instrukční přístupy vedené z *Ring 0* způsobují *Page fault* také, čímž dále systém zpomalují.

³ Čtenář byl s faktem, že CPU pracuje s *logická adresa (LA)* obeznámen již v kapitole 4.1.1.

9.2.2.2 Implementace založená na segmentaci (SEGMEXEC)

SEGMEXEC je jednou ze dvou technik emulace ne/spustitelných stránek pro procesorovou architekturu IA-32, které PaX nabízí. Tato technika emulace využívá toho, že

- **x86-kompatibilní procesory podporují segmentaci zatímco GNU Linux ji „nevyužívá“ (viz kapitola 4.5),**
- **pro každý přístup do paměti se provádí dvoufázový překlad adres a**
Popsán v kapitole 4.1.
- **Linux segmentaci v podstatě nepoužívá.**

Přesněji řečeno Linux segmentaci využívá, avšak pouze tím způsobem, aby „mu nepřekážela“ čili všechny segmenty začínají na téže adrese a plně se překrývají [03]. Tím se eliminuje význam komponenty LA zvané selektor segmentu. Druhá komponenta LA – offset v rámci segmentu – se tak stane jediným prvkem LA ne-soucím informací a v podstatě splyne s VA a jelikož obory zobrazení LA → VA se tak stanou shodnými, lze toto zobrazení nazvat identickým.

Celý aparát nachystaný v x86-kompatibilních procesorech a Linuxu pro podporu segmentace lze znásilnit pro realizaci jiných, původně nezamýšlených, cílů. Jedním z nich je právě emulace nespustitelných stránek dodávaná PaXem pod názvem SEGMEXEC.

Princip fungování SEGMEXEC je následující:

1. **US procesu je rozdělen na dva stejně velké segmenty.**
 - **Datový segment SEGMEXEC (SE-DS)** a
Část US pokrývající AS s nižšími adresami² určená pro uložení mapování pro datový přístup.
 - **Kódový segment SEGMEXEC (SE-KS).**
Část US pokrývající AS s vyššími adresami³ určená pro uložení mapování pro instrukční přístup.
2. **Všechny stránky původně rozeseté po celém US jsou umístěny výhradně v SE-DS.**
US procesu je tím omezen na 1/2 své původní velikosti.
3. **Stránkám, jejichž obsah má být spustitelný, jsou vytvořeny kopie v SE-KS.**
Tyto kopie jsou mapovány do AS takovým způsobem, aby byly vždy uloženy na adrese složené z adresy v SE-DS a pevně daného offsetu o velikosti poloviny⁴ US. Přičtení offsetu je spolehlivě posune do segmentu SE-KS.
4. **Program standardně přistupuje do SE-DS.**
Všechn obsah US je umístěn v SE-DS a proto přistupovaná adresa patří vždy do SE-DS.
5. **Datové a instrukční přístupy jsou rozlišeny při překladu.**
Za normálních okolností všechny přístupy do paměti podléhají témuž zobrazení LA → VA, neboť datový i kódový segment mají tentýž offset rovný hodnotě 0:

$$(\text{<datový segment>}, \text{<offset>}) \rightarrow 0 + \text{<offset>} \quad (9.1)$$

$$(\text{<kódový segment>}, \text{<offset>}) \rightarrow 0 + \text{<offset>} \quad (9.2)$$

Technika SEGMEXEC způsobí následující:

$$(\text{<datový segment>}, \text{<offset>}) \rightarrow 0 + \text{<offset>} \quad (9.3)$$

$$(\text{<kódový segment>}, \text{<offset>}) \rightarrow \frac{1}{2} \text{ AS} + \text{<offset>} \quad (9.4)$$

6. **Instrukční přístup směřující k nespustitelné stránce vyvolá Page fault výjimku.**

Instrukční přístup k nespustitelné stránce je mechanismem segmentace přesměrován z SE-DS do SE-KS, kde se však přistupovaná stránka nenachází. To způsobí výjimku Page fault. Obsluha této výjimky je modifikována tak, že dojde k závěru, že se jednalo o instrukční přístup k nespustitelné stránce a proces typicky ukončí.

Technika SEGMEXEC tedy v podstatě jen využívá aparát segmentace k emulaci podpory nespustitelných stránek.

¹Velikost US je při použití architektury IA-32 3 GiB.

²Lineární adresní prostor 0 - 1.5 GiB.

³Lineární adresní prostor 1.5 - 3 GiB.

⁴V případě architektury x86-32 je offset přičítaný k původní adrese délky 1.5 GiB.

9.2.2.3 Dopady emulace ne/spustitelných stránek

Nemá smysl se rozepisovat o pozitivních dopadech emulace ne/spustitelných stránek na architekturu, která by jinak než emulací na ne/spustitelné stránky nedosáhla. Zajímavější je porovnání dvou PaXem poskytovaných technik emulace co se týká jejich negativních vedlejších účinků na běh systému. Nabízí jej tabulka 9.7.

Dopady při nasazení PAGEEXEC	Dopady při nasazení SEGMEXEC
Spotřeba paměti nevzroste. Na rozdíl od SEGMEXEC nezmění PAGEEXEC VAS, jež má aplikace k dispozici.	Velikost využitelného VAS je nasazením SEGMEXEC zmenšena o polovinu ⁴ . Navíc spotřeba paměti vzroste, neboť některé oblasti VAS jsou v paměti uloženy dvakrát.
Růst spotřeby procesorového času. Vykonávání programu je zpomalené v důsledku častějšího vyvolávání Page fault výjimky.	Překlad adresy při instrukčním přístupu z adresy v SE-DS na adresu v SE-KS je prováděn automaticky a nespouští procesorový čas.

Tabulka 9.7: Porovnání dopadů emulací ne/spustitelných stránek pro IA-32

9.3 Nefunkčnost programů zapříčiněná PAGEEXEC/SEGMEXEC

Emulace NOEXEC není řádné NOEXEC. Emulace ze své podstaty musí mít nežádoucí účinky. Vyjma spotřeby určitého množství procesorového času s sebou emulace NOEXEC čili nasazení PAGEEXEC či SEGMEXEC přináší i další nechtěné efekty. Jedním z nich může být znemožnění správného chodu programů, které si generují části svého strojového kódu za běhu⁵.

9.3.1 Trampolíny

Trampolína je posloupnost strojových instrukcí generovaná v reálném čase (tzn. za běhu procesu) procesem samotným a umístovaná do *userspace-stack*. Proces ji generuje, neboť díky ní zpřístupní lokální proměnné deklarované v rámci jedné RJ v jiné RJ. Na zápisu sekvence strojových instrukcí na zásobník není nic závadného, a to ani pro PAGE-EXEC/SEGMEXEC. Pokus o spuštění této sekvence je však již těmito technikami vyhodnocen jako pokus o spuštění nespustitelného obsahu. Pro představu v ukázce C kódu 9.3 by proces generoval trampolínu – několik málo instrukcí strojového kódu – za účelem zpřístupnění proměnné `i` ve funkci `vypis()`, která je v daném případě volána mimo funkci `main()`. Vnořená funkce `vypis()` počítá s existencí lokální proměnné `i` na zásobníku a bez trampolíny se k ní nemá jak dostat.

9.3.1.1 Standardní řešení trampolín

1. V AZ funkce `main()` se vymezí prostor na *userspace-stack*, do kterého se vloží instrukce dané procesorové architektury představující

- přesun hodnoty z registru `EBP` do registru `ECX` a
- skok na funkci, jež vyžaduje přístup k lokálním proměnným jiné funkce (v C kódu 9.3 se jedná o funkci `vypis()`).

Tyto dvě instrukce spouštěné ze zásobníku se nazývají *trampolína*.

2. Ve funkci `proved()` dojde k provedení těchto dvou instrukcí.
3. K zpřístupnění lokálních proměnných funkce `main()` dojde prostřednictvím registru `ECX`.

9.3.1.2 Nestandardní řešení trampolín (EMULTRAP)

EMULTRAP je technika poskytovaná PaXem, která použití *trampolín* umožní i v případě aktivního PAGE-EXEC/SEGMEXEC. Aktivovat *EMULTRAP* lze na úrovni jednotlivých ELF spustitelných souborů pomocí značkování (viz kapitola 9.11). *EMULTRAP* emuluje vybrané (nejčastější/nejrozšířenější) *trampolíny*, čili generuje určitý strojový kód procesoru, z čehož vyplývá, že *EMULTRAP* je architekturně závislá. Implementace *EMULTRAP* zatím existuje pouze pro architekturu IA-32.

9.4 Značkování spustitelných souborů souborů pro PaX

V současnosti existují dvě metody, jak značkovat ELF soubory za účelem informování PaXu, jak má s nimi naložit:

⁵Vykonávání za běhu generovaného strojového kódu je vyžadováno např. při využívání vložených funkcí (tzv. „nested functions“) v jazyce C nebo některými JIT překladači.

```

#include <stdio.h>

typedef void (*fn_t) (void);

void proved(fn_t fn)
{
    (*fn)();
}

void main()
{
    int i;
    scanf("%d", &i);

    void vypis() // Vnořená definice funkce (podporováno překladačem GCC).
    {
        printf("i=%d\n", i);
    }

    proved(f2); // nastavení trampolíny pro vnořenou funkci f2()
    return 0;
}

```

C kód 9.3: Situace, kdy se za běhu programu vygenerují instrukce pro zpřístupnění proměnné `i`, tzv. `trampolína`

9.4.1 Značkování `PT_PAX`

Technika značkování `PT_PAX` ukládá značky přímo do `ELF` hlavičky zvané „`PAX_FLAGS`“ obsažené přímo v `ELF` souboru. Výhodou tohoto řešení je, že značky zůstávají pevně svázané s daným `ELF` souborem vždy a to i v případě, je-li kopírován. Nevýhodou tohoto přístupu je, že program musí disponovat `ELF` hlavičkou „`PAX_FLAGS`“, aby vůbec mohl být spuštěn. Většina linuxových distribucí tuto hlavičku nemá ve svých spustitelných souborech a knihovnách přítomnu a její dodatečné přidání je problematické. Použití `PT_PAX` je tak proto nedoporučováno, nicméně stále se jedná o podporovanou formu značkování spustitelných souborů.

9.4.2 Značkování `XATTR_PAX`

Technika značkování `XATTR_PAX` umísťuje značky do rozšířených atributů souboru. Výhodou tohoto řešení je, že není nutné nijak modifikovat původní `ELF` soubory. Nevýhodou je, že značky nejsou pevně svázané se spustitelným souborem, nýbrž jsou vloženy mimo něj v rámci `FS`. To přináší požadavky na nástroje, které s danými soubory manipulují – kopírují je, přesouvají je, archivují je, atp. Pro zachování nastavení značek musí nástroje manipulující se soubory zohledňovat existenci rozšířených atributů souborů (viz kapitola 6.5.2).

9.5 Obrana proti útoku `ret2usr` (UDEREF a `KERNEXEC`)

Jako obrana proti útokům popisovaným v kapitole 8.9.2 by úplně stačilo, kdyby jádro nemohlo přistupovat nestandardními cestami do `User Space` čili kdyby každý přístup do `User Space` musel být zprostředkován funkcemi k tomu určenými – `copy_to_user()`, `copy_from_user()` atp. Tento požadavek lze splnit a plní jej hned několik subjektů

- patch `Grsecurity/PaX` v podobě volby `KERNEXEC` (viz kapitola 9.5.1),
- patch `Grsecurity/PaX` v podobě volby `UDEREF` (viz kapitola 9.5.2),
- Intel v podobě technik `SMAP/SMEP` (viz kapitola 9.5.3),
- ARM technikou `Privileged Execute-Never (PXN)`,
- `kGuard` [[KPK12](#)]
- a zřejmě i řada dalších.

Princip všech výše vyjmenovaných technik obrany proti útoku `ret2usr` vždy spočívá v oddělení paměťových prostorů `Kernel Space` a `User Space` takovém, aby nebylo bezpodmínečně možné dereferencovat ukazatel směřující do `User Space`. Jmenované ochrany proti útoku `ret2usr` ať už v podání patche `Grsec/PaX` či jako `SMAP/SMEP` nejsou, bohužel, vše spásné, neboť byla vynalezena vylepšená verze `ret2usr` zvaná `Return to direct mapped memory (ret2dir)`, proti níž výše zmíněné ochrany nezafungují [[PKK14](#)].

9.5.1 Technika `KERNEXEC`

`KERNEXEC` je bezpečnostní technika, která

- datové stránky **Kernel Space** činí nespustitelnými a
- některé významné struktury jádra jako jsou např. **IDT**, **GDT**, vybrané komponenty **tabulky stránek** či **tabulku systémových volání** činí nezapísovateľnými.

9.5.1.1 Implementace KERNEXEC na x86-32

Na architektuře **x86-32** technika **KERNEXEC** svého cíle dosahuje **segmentací**. **Kernel Space** je mapován do 1 GB velkého segmentu. Pokud se kód umístěný do tohoto segmentu pokusí načíst data/instrukce z **User Space**, potom je vržena výjimka **Page fault**. Principem implementace je tedy **využití, Linuxem jinak nevyužívaného, mechanismu segmentace hlavní paměti**. Nasazením segmentace vzniká problém s chybným předpokladem jádra, že logická a lineární adresa splývají. Je proto zapotřebí provádět mezi nimi překlad.

9.5.1.2 Implementace KERNEXEC na x86-64

Na architektuře **x86-64** technika **KERNEXEC** svého cíle dosahuje vynucením používání **NX bitu** respektive upravením přístupových oprávnění vedených pro jednotlivá mapování jádra.

9.5.2 Technika UDEREF

UDEREF je technika, která zabraňuje neúmyslnému⁶ přístupu do **User Space** z jádra. Konkurencí jí je technika **SMAP** uvedená v procesorech Intel Haswell (více viz kapitola 9.5.3). Zabráni dereferencování ukazatelů ukazujících do **User Space** v situacích, kdy jsou přípustné pouze ukazatele ukazující do **Kernel Space**. K jejich rozlišení použije mechanismus segmentace [Luk14].

9.5.2.1 Implementace UDEREF

UDEREF každý vstup vykonávání z kódu uživatelského programu do kódu jádra obohatí o následující:

- Bezprostředně po vstupu do **kernel mode** se přemapují (virtuálně přesunou) všechna mapování **User Space** uživatelského procesu do jiné oblasti v paměti, kde budou označena jako nespustitelná.
- Pokusy o vykonání dat z této oblasti v **kernel mode** vyvolají výjimku.
- Před výstupem z **kernel mode** se obsah **User Space** přemapuje do původní jeho pozice.

Tímto opatřením **UDEREF** sice neznemožní dereferencovat ukazatele směřující do **User Space** obecně, nicméně **dosáhne nevykonatelnosti obsahu**, na něž tyto ukazatele ukazují. Jediným povoleným přístupem z **kernel mode** do **User Space** zůstanou funkce k tomu prvoplánově určené.

9.5.3 Technika SMAP/SMEP

Supervisor Mode Execution Protection neboli **SMEP** je technika zabraňující kódu běžícímu v **Ring 0/kernel mode** v instrukčních přístupech do **US** [Kit+15]. Poprvé byla přítomna v procesorech Intel IvyBridge. Na rozdíl od **KERNEXEC** není tato technika schopna zabránit modifikaci důležitých datových struktur jádra.

Supervisor Mode Access Protection neboli **SMAP** je technika zabraňující kódu běžícímu v **Ring 0/kernel mode** v datových přístupech do **US** [Kit+15]. Poprvé byla přítomna v procesorech Intel Haswell. Obě tyto ochrany při přístupu k paměťové stránce ležící v **User Space** vyvolají **Page fault** výjimku. **Nejedná se o součást PaXu, nicméně obě souvisí s ochranou proti útokům typu ret2usr/ret2dir.**

Jedná se o rozdělení paměťového prostoru, které je podpořené hardwarem, tudíž implementace je závislá na výrobci procesoru a funkčnost těchto technik vyžaduje doplnění podpory do **jádra**. Ta do něj byla pro **x86** procesory Intelu přidána v jeho verzi 3.7.

9.5.4 Technika XPFO

Proti útoku **ret2dir** je účinnou ochranou sada záplat jádra zvaná **exclusive Page Frame Ownership (XPFO)** [PKK14]. V citovaném dokumentu je též popsán princip jejich fungování. **Nejedná se o součást PaXu, nicméně souvisí s ochranou proti útokům typu ret2usr/ret2dir.**

XPFO čili „vynucení exkluzivního vlastnictví stránek“ odebírá jádru možnost přístupu k paměťovým stránkám prostřednictvím přímého mapování. Princip této techniky je následující:

1. Je alokována stránka v **User Space**.
2. Standardně je během této alokace vytvářeno přímé mapování na tuto stránku vedoucí.
3. Přítomnost **XPFO** vzápětí způsobí odstranění tohoto mapování.
4. Stránka v **User Space** je dealkována.

⁶Volba **UDEREF** tedy nezabraňuje přístupu do **User Space** obecně. Výjimka je udělena funkcím jádra pro tuto agendu prvoplánově určeným `copy_to_user()`, `copy_from_user()` atd.

Útočník bez existence záznamu o stránce v přímém mapování nebude moci skrze adresu přímého mapování k této stránce přistoupit. Jakýkoliv přístup skončí kvůli nedostatku přístupových oprávnění.

9.6 Volba PAX_SOFTMODE

Veškeré ochrany konfigurované v kapitole 9 budou standardně vypnuty, nicméně bude možné aktivovat uvedením příslušných příznaků v rámci GrSecurity ACL. Zapnutí této volby vyžaduje též zapnutí podpory pro PT_PAX_FLAGS nebo XATTR_PAX_FLAGS, aby bylo možno značkovat spustitelné soubory.

9.7 Volba PAX_EI_PAX

Aktivuje starší způsob uložení příznaků ovlivňujících činnost PaX – do ELF hlaviček. Příznaky nesou režijní informace PaXu:

- Vynucovat nespustitelné stránky? Ano. / Ne.
- Použitá realizace nespustitelných stránek? RANDMMAP / RANDEXEC

Zapnutí volby PAX_EI_PAX umožní pozdější určení voleb PaXu pro jednotlivé spustitelné soubory nástrojem chpax.

9.8 Volba PAX_PT_PAX_FLAGS

Příznaky ovlivňující chování PaX nad subjekt budou ukládány do speciální hlavičky v rámci ELF formátu. Tato implementace podporuje soft-mode běh PaX zmíněný v kapitole 9.6. Jedná se výchozí způsob uložení.

9.9 Volba PAX_MPROTECT

Znepřístupní aplikacím možnost si voláním funkce mprotect() vypnout některé části mechanismu vynucování nespustitelných stránek. Volání mprotect() totiž standardně umožňuje stanovit oprávnění k bloku paměti. Tato volba by v případě aktivace volby PAX_NOEXEC rozhodně měla být zapnuta.

9.10 Volba PAX_ELFRELOCS

Aktivace voleb

- PAX_NOEXEC a
- PAX_MPROTECT

představuje účinnou prevenci před vykonáváním útočníkem vloženého kódu – shellcode. Útočníkovi po jejich aktivaci zbývají ještě dvě příležitosti ke spuštění kódu:

ve VAS procesu již existující kód a

Vykonávání kódu v oblastech jakými jsou text a MMS je pro správné fungování programu nevyhnutelné a proto jej nelze omezovat.

kód do VAS procesu dodatečně připojený voláním mmap().

K účelu převzetí kontroly nad procesem potřebuje útočník knihovnu, která není ve formátu PIC.

Position Independent Code (PIC) je ELF formát souboru připravený na relokace v rámci VAS procesu.

Standardně Grsec neumožňuje relokovat ELF kód, respektive volba PAX_ELFRELOCS je vypnuta. Při načítání sdílených knihoven do VAS dochází k relokacím vždy. Zákaz tohoto typu relokací vyžaduje, aby jej žádná v systému přítomná knihovna nevyžadovala. Toho lze dosáhnout kompilací všech knihoven do PIC formátu.

Pro vynucení PIC formátu v gcc existuje přepínač -fpic. V případě, že se v systému vyskytují knihovny, které nejsou v PIC formátu, nemusí systém vůbec naběhnout. Formát dynamicky linkované knihovny zobrazí příkaz 9.3.

```
readelf -S <lib-name>
```

Příkaz/y 9.3: Příkaz, z jehož výstupu lze vyčíst informaci o formátu knihovny. Je-li v něm přítomen řetězec .rel.text, potom zkoumaná knihovna není v PIC formátu

9.11 Volba PAX_SOFTMODE

Techniky existující v rámci PaXu, které umožňují své zapnutí/vypnutí za běhu systému, mohou být vynucovány buďto

- **implicitně pro všechny spustitelné soubory v systému** nebo
Omezení daná PaXem jsou v tomto režimu aktivní pro veškeré spustitelné soubory. Jednotlivá omezení lze pro jednotlivé spustitelné soubory **vypínat**.
- **pouze pro explicitně vyjmenované spustitelné soubory**.
Tento režim běhu PaXu je označován jako **SOFTMODE**. Ochrany poskytované PaXem se v tomto případě musí explicitně **zapínat** pro jednotlivé spustitelné soubory.

Spustitelné soubory se vyjímají/zahrnutí z/do vlivu opatření PaXu pomocí voleb – přepínačů – uvedených v tabulce 9.8. Tyto přepínače jsou načítány **linuxem** při zavádění příslušného ELF souboru do paměti. Tímto způsobem se zpravidla redukuje restriktce PaXu, které znemožňují chod programu v **NOSOFTMODE**. Problém nastává ve chvíli, vyžaduje-li výjimku z opatření PaXu knihovna, kterou si ELF soubor dynamicky linkuje.

Přepínač vyjmutí (v NOSOFTMODE)	Přepínač zahrnutí (v SOFTMODE)	Dopad uvedení přepínače na spustitelný soubor
-p	-P	Aktivace, případně deaktivace techniky PAGEEXEC pro daný spustitelný soubor.
-e	-E	Aktivace, případně deaktivace techniky EMULTRAP pro daný spustitelný soubor.
-m	-M	Aktivace, případně deaktivace techniky MPROTECT pro daný spustitelný soubor.
-r	-R	Aktivace, případně deaktivace techniky RANDMMAP pro daný spustitelný soubor.
-s	-S	Aktivace, případně deaktivace techniky SEGMEXEC pro daný spustitelný soubor.

Tabulka 9.8: Přepínače používané pro vyjmutí/zahrnutí spustitelného souboru do PaXu

9.12 Volba PAX_PAGEEXEC

Grsecurity/PaX nabízí hned dvě možné implementace nespustitelných stránek:

- **PAGEEXEC** (viz kapitola 9.2.2.1) a
- **SEGMEXEC** (viz kapitola 9.2.2.2).

V případě nenastavení volby PAX_PAGEEXEC bude aktivována implementace **SEGMEXEC**. Prostředky spotřebované **PAGEEXEC** implementací nespustitelných stránek jsou platformně závislé:

Vysoké nároky x86-32 bez NX bitu.

Emulace NX bitu na procesorech starších Pentia 4 včetně je dopad na výkon natolik citelný, že se zapínání volby PAX_PAGEEXEC v tomto případě nedoporučuje [GrSecDoc].

Nízké nároky na x86-32 s NX bitem, x86-64, sparc, sparc64, ...

Dopad na výkonnost systému je zanedbatelný až žádný [GrSecDoc].

9.13 Volba PAX_MEMORY_SANITIZE

Jádro smaže obsah paměťových stránek v okamžiku jejich uvolnění z paměti. Proces, jehož paměťové stránky se namapují na tentýž prostor tak nedostane příležitost číst data, k nimž nemá a nikdy neměl přístupová oprávnění. Tato volba je užitečná zejména pro procesy, jejichž bytí je krátké. Pro dlouho-běžící také, ale pouze v případě, že se paměti s citlivými/zneužitelnými daty rychle zbavují. Data v „živých“ stránkách volba nijak nepostihne. To znamená, že obsah stránek, které jsou jen odstránkovány do odkládacího prostoru, zůstane.

9.14 Volba PAX_MEMORY_STACKLEAK

Jádro smaže `kernelfspace-stack` před návratem z obsluhy systémového volání. Tímto zredukuje životnost dat ležících na `kernelfspace-stack`. Toto opatření zmenší množství informací, které mohou uniknout [Luk14]. Původně byla tato ochrana implementována voláním fn `memset()` na celý `kernelfspace-stack` (cca 8 kB). Toto řešení bylo příliš pomalé. Volání `memset()` nyní neprobíhá nad celým `kernelfspace-stack`, nýbrž pouze nad jeho částí a to není dokonalé. Řešení, které přinesl PAX_MEMORY_STACKLEAK spočívá v existenci dvou `kernelfspace-stack`, z nichž jeden je používán pro kopírování hodnot do/z `kernelfspace` a druhý pro všechno ostatní. Chyba v jádře samotném může stále způsobit únik informací, které byly vloženy do `kernelfspace-stack` současným systémovým voláním. Předchozí systémová volání však díky volbě PAX_MEMORY_STACKLEAK již nejsou viditelná [GrSecDoc]. Tato volba je prevencí útoku uvedeného v kapitole 8.6.

9.15 Volba PAX_MEMORY_STRUCTLEAK

Volba STRUCTLEAK vynutí inicializaci všech proměnných jádra označených atributem `__user` nulovou hodnotou. Případný jejich výskyt na `kernelfspace-stack` tak po aktivaci volby STRUCTLEAK již nepředstavuje zranitelnost. Tato technika byla psána původně proti zranitelnosti CVE-2013-2141. Tato zranitelnost umožňuje neoprávněné získání hodnot proměnných jádra zneužitelné k dalším útokům (více o zranitelnosti viz [CVE13]). Hodnoty proměnných, kterých se dané opatření týká, se k uživateli čili do `User Space` dostávají naprosto standardní cestou – systémovými voláními. V případě CVE-2013-2141 se jedná o systémová volání `kill()` či `tgkill()` [CVE13]).

Funkcionalita poskytovaná volbou PAX_MEMORY_STRUCTLEAK byla do jádra přidána v jeho verzi 4.11 pod volbou `GCC_PLUGIN_STRUCTLEAK`.

9.16 RAP

Return Address Protection (RAP) je technika obrany proti útoku ROP. Aplikace RAP modifikuje [Pol16]

- **prolog** všech funkcí z podoby uvedené ve strojovém kódu `x86 9.1` do podoby uvedené ve strojovém kódu `x86 9.2 a`
- **epilog** všech funkcí z podoby uvedené ve strojovém kódu `x86 9.3` do podoby uvedené ve strojovém kódu `x86 9.4`.

Principem ochrany vůči ROP v podání RAP je obohacení **prologů** a **epilogů** všech funkcí o kód ověřující skutečnost, že během vykonávání funkce nebyla na vrchol zásobníku podstrčena jiná **NA**. **NA** se na začátku každé funkce zálohují na vrchol zásobníku do tzv. **RAP cookie** a na konci je ověřováno, že se na vrcholu zásobníku nachází tatáž hodnota.

```
push %ebp           ; Uložení hodnoty registru EBP -- SFP (ukazatele na začátek nadřazeného AZ) -- na
→ zásobník.
movl %esp,%ebp     ; Prohlášení adresy vrcholu zásobníku (uložené v ESP) za začátek aktuálního AZ
→ (uložením do EBP).
subl 16,%esp       ; Vymezení prostoru pro lokální proměnné na zásobníku (zde 16 B).
```

Strojový kód `x86 9.1`: Standardní **prolog** funkce na architektuře `x86-32`

```
push %ebp
movl %esp,%ebp
subl 16,%esp
xor %r12,%ebp      ; Uložení RAP kanárka -- XOR(<náhodná-hodnota-v-R12>,EBP) -- do registru EBP.
; Registr EBP neobsahuje skutečnou adresu začátku aktuálního AZ, nýbrž její zobrazení
→ XOR(R12,EBP).
```

Strojový kód `x86 9.2`: **Prolog** funkce na architektuře `x86-32` po aplikaci **RAP**

```
movl %ebp,%esp     ; Odstranění obsahu AZ změnou hodnoty registru ESP. Vrcholem zásobníku se stane
→ počátek AZ.
popl %ebp          ; Ukazatel na začátek AZ se změní na svou původní hodnotu, která byla doteď uložena
→ na zásobníku.
popl %eip          ; Vyzvednutí návratové adresy ze zásobníku a její uložení do registru EIP.
```

Strojový kód `x86 9.3`: Standardní **epilog** funkce na architektuře `x86-32`

```

xor %r12,%ebp      ; Rozšifrování původní NA hodnotou uloženou v R12 a její uložení do registru EBP.
cmp %ebp,24(%esp) ; Porovnání aktuální návratové adresy (uložené na adrese ESP-24) s původní adresou
↳ v uložení v EBP.
jnz .error        ; Jsou-li NA rozdílné => skok na návěští .error.
movl %ebp,%esp
popl %ebp
popl %eip
.error:
ud2               ; Útok detekován => ukončení procesu.

```

Strojový kód **x86 9.4: Epilog funkce na architektuře x86-32** po aplikaci **RAP**

RAP přepisuje **epilogy** všech funkcí tak, že před instrukcí `ret` (čili `popl %eip`) jsou vždy umístěny instrukce kontrolující **RAP cookie**, což znepřístupňuje nalezení vhodných **ROP gadgetů** pro sestavení **exploitu**. Hodnota registru `%R12` je volena náhodně. Útočník tak nemá možnost změny návratové adresy funkce. Technika **ROP není odolná vůči ASLR**, nicméně k jejímu úspěšnému nasazení stačí přítomnost alespoň jedné dynamicky linkované knihovny, na které není aplikováno **ASLR**.

9.17 Řešení nedostatků v zabezpečení chroot prostředí

Účelem vylepšení **Grsecurity** týkajících se **chroot prostředí** jsou redukce možností neoprávněného opuštění **chroot prostředí** a omezení **Inter-Process Communication (IPC)** mezi v **chroot prostředí** uzavřenými procesy a procesy běžícími vně daného **chroot prostředí**. Toho **Grsec** dosahuje znepřístupněním vybraných systémových volání vězněným procesům. Většina vylepšení je zaměřena na situaci, kdy nepřátelský subjekt běžící v **chroot prostředí** disponuje superuživatelskou identitou, bez které, vzhledem ke své, přestože nedokonalé, izolaci, nepřestavuje **hrozbu**. Nedostatky zabezpečení **chroot prostředí** včetně jejich řešení poskytnutými **Grsecem** jsou popsány v tabulce 9.9.

Tabulka 9.9: Volby poskytnuté při konfiguraci jádra obohaceného o **Grsecurity** pro posílení bezpečnosti **chroot prostředí**

Volba	Dopad zvolení volby
GRKERNSEC_CHROOT Chroot jail restrictions	Zpřístupní volby GrSec týkající se chroot prostředí , které, budou-li zapnuty, učiní únik z něj obtížnější. Standardně je skutečnost, že se proces nachází v chroot prostředí , reflektována pouze ve vybraných funkcích jádra manipulujících s FS . Grsec modifikuje funkce, které skutečnost, že se subjekt je volající nachází v chroot prostředí a že by je mohl zneužít pro interakci s objekty vně toto chroot prostředí , neberou v úvahu.
GRKERNSEC_CHROOT_MOUNT Deny mounts	Subjektům v chroot prostředí nebude přístupné systémové volání <code>mount()</code> , respektive nebudou moci si připojit zařízení (FS) do prostoru svého chroot prostředí [Buc15]. Subjekt voláním <code>chroot()</code> změní své chroot prostředí na jím připojený FS . S nastavením volby lze manipulovat z US nastavováním <code>sysctl</code> proměnné <code>kernel.grsecurity.chroot_deny_mount</code>
GRKERNSEC_CHROOT_DOUBLE Deny double-chroots	Procesy běžící uvnitř chroot prostředí ztratí možnost provádět systémové volání <code>chroot()</code> . Bez aplikace této ochrany se mohou subjekty vymanit z chroot prostředí vytvořením nového chroot prostředí mimo to stávající [Luk13].
GRKERNSEC_CHROOT_PIVOT Deny pivot_root in chroot	Subjekty v chroot prostředí nemohou použít systémové volání <code>pivot_root()</code> , které mění kořenový adresář. S nastavením volby lze manipulovat z US nastavováním <code>sysctl</code> proměnné <code>kernel.grsecurity.chroot_deny_chroot</code>

↓

Pokračování tabulky na další straně.

Volba	Dopad zvolení volby
GRKERNSEC_CHROOT_CHDIR Enforce chdir("/")	Volba vynutí přesun subjektu do kořene chroot prostředí ihned po provedení systémového volání <code>chroot()</code> . Zapnutí této volby znemožní opuštění chroot prostředí prováděné následujícím způsobem: <ol style="list-style-type: none"> 1. Subjekt v chroot prostředí získá superuživatelskou identitu. 2. Subjekt vytvoří adresář <code>mkdir <dir></code>. 3. Subjekt se uzavře do nového chroot prostředí – <code>chroot <dir></code>. 4. Subjekt tímto unikl z jeho předchozího chroot prostředí [Luk13]. S nastavením volby lze manipulovat z US nastavováním <code>sysctl</code> proměnné <pre>kernel.grsecurity.chroot_enforce_chdir</pre>
GRKERNSEC_CHROOT_CHMOD Deny (f)chmod +s	Subjekty nejsou schopny prostřednictvím příkazu <code>chmod</code> modifikovat přístupová oprávnění souborů v chroot prostředí za účelem aktivace SUID/SGID bitů na nich. S nastavením volby lze manipulovat z US nastavováním <code>sysctl</code> proměnné <pre>kernel.grsecurity.chroot_deny_chmod</pre>
GRKERNSEC_CHROOT_FCHDIR Deny fchdir out of chroot	Znemožní uvězněným subjektům volání <code>fchdir()</code> nad file deskriptorem ukazujícím do souboru ležícího mimo chroot prostředí [Luk13]. S nastavením volby lze manipulovat z US nastavováním <code>sysctl</code> proměnné <pre>kernel.grsecurity.chroot_deny_fchdir</pre>
GRKERNSEC_CHROOT_UNIX Deny access to abstract AF_UNIX sockets out of chroot	Subjekty v chroot prostředí se nebudou moci připojit k doménovým – <code>AF_UNIX</code> – socketům navázaným na subjekty běžící mimo chroot prostředí . S nastavením volby lze manipulovat z US nastavováním <code>sysctl</code> proměnné <pre>kernel.grsecurity.chroot_deny_unix</pre>
GRKERNSEC_CHROOT_FINDTASK Protect outside processes	Subjekty uvnitř chroot prostředí nemohou interagovat se subjekty mimo něj, a to ani vzájemným posíláním signálů. S nastavením volby lze manipulovat z US nastavováním <code>sysctl</code> proměnné <pre>kernel.grsecurity.chroot_findtask</pre>
GRKERNSEC_CHROOT_NICE Restrict priority changes	Subjekty v chroot prostředí nejsou oprávněny zvyšovat prioritu procesů běžících mimo chroot prostředí . S nastavením volby lze manipulovat z US nastavováním <code>sysctl</code> proměnné <pre>kernel.grsecurity.chroot_restrict_nice</pre>
GRKERNSEC_CHROOT_SYSCTL Deny sysctl writes	Odebere subjektům běžícím v chroot prostředí možnost modifikovat <code>sysctl</code> proměnná. Nebudou je moci modifikovat ani voláním <code>sysctl()</code> , ani zápisem do <code>proc FS</code> . S nastavením volby lze manipulovat z US nastavováním <code>sysctl</code> proměnné <pre>kernel.grsecurity.chroot_deny_sysctl</pre>

Konec tabulky.

9.18 Přidání podpory MAC/RBAC

Grsec přidává do **jádra** vlastní řešení **RBAC**, respektive **MAC**, které je postaveno na **ACL** v kontextu **Grsec** dále nazývaného **Grsecurity ACL**.

Grsecurity ACL jsou **procesně-orientovaná ACL**, která pracují s objekty, subjekty (viz kapitola 5.2) a **rolemi**.

9.18.1 Role

Role je množina operací, které smí subjekt provádět nad vybranými objekty, disponuje-li danou rolí.

Zavedením rolí se mění vlastník oprávnění, kterým již není subjekt nýbrž role. Role tak představují další vrstvu, která se nachází mezi přidělenými přístupovými oprávněními a subjekty zpřehledňující konfiguraci AC a umožňující specifikovat situace, ve kterých bude přístup subjektu povolen namísto povolení přístupu subjektu v jakýkoliv okamžik [Moš].

RBAC je o systém rolí obohacené MAC. RBAC práva používaná v GrSecurity jsou variantou MAC práv, jež pro odlišení jednotlivých nastavovaných subjektů využívají cestu k nim vedoucí v souborovém systému. Zatímco PaX má dopad na veškeré subjekty v systému, RBAC omezuje každý subjekt zvlášť prostřednictvím GrSecurity ACL.

Subjekt má vždy přiřazenu roli [Spe03]. Definice role má tvar uvedený v konfiguraci Grsec 9.1. Tato definice povinně

```
role <identifikátor-role> <volitelné-příznaky-role>
  [ role_transitions <role1> [<role2> ...] ]
  [ role_allow_ip <ip-adresa>/<maska-sítě> ]
```

Konfigurace GrSec 9.1: Struktura definice role v Grsec

obsahuje

<identifikátor-role>,

Role je identifikována řetězcem, jehož podoba se odvíjí od typu role. Možné identifikátory rolí jsou vyjmenovány v tabulce 9.10.

<volitelné-příznaky-role>

Umístěním jednoho z příznaků uvedených v tabulce 9.10 mezi tyto příznaky lze specifikovat typ role. Příznaky uvedeny v tabulce 9.11 lze dále specifikovat vlastnosti role.

a může obsahovat též

role_transitions <role1> [<role2> ...],

Výčtem definovaná množina rolí, do kterých Grsec umožní přechod účastníkovi dané role.

role_allow_ip <ip-adresa>/<maska-sítě> a

Určení IP adres uchazečů o danou roli, kterým bude žádost o ní akceptována.

definice subjektů.

Subjekty, respektive absolutní cesty k nim, uvedené za definicí role mají příslušnou roli nastavenou jako výchozí.

Název role	Požadována autentizace heslem	Identifikátor role	Příznak	Charakteristika role
uživatelská	NE	system username	u	Role se vztahuje na procesy běžící pod určitou uživatelskou identitou.
skupinová	NE	system groupname	g	Role se vztahuje na procesy běžící pod určitou skupinovou identitou.
standardní	NE	řetězec default	G	Role se vztahuje na procesy, které nepatří do žádné uživatelské role, které nepatří do žádné skupinové role a které se do žádné role neautorizovaly. Role tohoto typu vždy v systému existuje a vždy je pouze jedna.
speciální	ANO	???	s	Role, na kterou se nevztahuje vybrané restriktce.

Tabulka 9.10: Typy rolí rozpoznávané v AC Grsec RBAC

Příznak	Význam příznaku
N	Do role bude nutné se autentizovat, avšak bez zadávání hesla.
G	Oprávnění role budou rozšířena tak, aby bylo možné využít nástroje <code>gradm</code> za účelem autentizace do jiné role.
T	Na subjekty běžící v dané roli bude uplatňováno Trusted Path Execution (TPE) .
l	Subjekty běžící v dané roli mají zapnutý learning mode .

Tabulka 9.11: Příznaky upravující chování role [Spe03]

9.18.1.1 Přejechy mezi rolemi

Přiřazení role subjektu je prováděno následovně:

1. **Subjektu** je přiřazena uživatelská role, existuje-li. Pokud ne \Rightarrow 2.
2. **Subjektu** je přiřazena skupinová role, existuje-li. Pokud ne \Rightarrow 3.
3. **Subjektu** je přiřazena výchozí⁸ role.

Subjekty mohou přecházet mezi rolemi, avšak pouze ve směrech

(uživatelská|skupinová|defaultní) role \rightarrow speciální role
speciální role \rightarrow (uživatelská|skupinová|defaultní) role

9.18.1.2 Manipulace s rolemi

Pro manipulaci s rolemi poskytuje **Grsec** nástroj `gradm`, který umožňuje mimo jiné přihlášení uživatele do role, `gradm -a <název-role>` přihlášení uživatele do role nezabezpečené heslem či `gradm -n <název-role>` nastavení hesla zabezpečujícího získání role. `gradm -P <název-role>`

9.18.2 Konfigurace GrSecurity ACL

GrSecurity ACL jsou konfigurovány z **US** nástrojem `gradm` [Spe03]. Ten je standardně přístupný pouze subjektům s privilegovanou identitou. Modifikace **GrSecurity ACL** jsou chráněny vlastní autentizací subjektu heslem.

9.18.3 Grsec politika

Grsec politika (GRP) je označení pro záznam v **GrSecurity ACL**, respektive pro definici přístupových oprávnění **právě jednoho subjektu** v systému.

GRP jsou zapisovány v podobě obyčejných textových souborů do adresáře `/etc/grsec/acl`. Jejich parsování neprovádí jádro, nýbrž nástroje `lex` a `yacc` běžící v **User Space**, jejichž výstup je předán **jádro** prostřednictvím zápisu do souborového systému `/proc`.

9.18.3.1 Vytvoření politiky

GRP lze vytvořit libovolnému **subjektu** či **objektu**, který ani nemusí existovat [Moš]. **GRP**

- vztažená k **subjektu** bude dále označována jako **GRP-S** a
- vztažená k **objektu** analogicky – **GRP-O**.

GRP je možné zkonstruovat

ručně

Zapsání politiky ve tvaru vyobrazeném v **Grsec** konfiguraci 9.2.

nebo poloautomaticky.

Využití existence **learning mode**:

1. Systém je přepnut do **learning mode**.

Přepnutí do **learning mode** lze provést

pro celý systém

Přepnutí zajistí příkaz `gradm -F -L <cesta-k-souboru-s-logy>`

nebo pouze pro vybrané subjekty.

Přepnutí zajistí příkaz `gradm -L <cesta-k-souboru-s-logy>` v kombinaci s přidáním příznaku `l` ke všem subjektům, jejichž činnost má být zaznamenávána.

⁸Výchozí – řetězcem `default` identifikovaná – **Grsec** role vždy existuje.

Od okamžiku přepnutí do **learning mode** je započato zaznamenávání událostí.

2. Inicuje se aktivita subjektu, pro který je vytvářena politika.

Subjekt by během **learning mode** měl provést ideálně veškeré činnosti, které při svých běžích bude v budoucnu potřebovat. **Subjekt** je v tuto chvíli spuštěn **pod superuživatelskou identitou**.

3. Deaktivuje se **Learning mode** a vytvoří nové politiky.

Deaktivaci **learning mode** a vytvoření nových politik pro sledované subjekty na základě v něm zachycených dat zajistí příkaz `gradm -F -L <cesta-k-souboru-s-logy> -0 <cesta-k-souboru-s-novými-politikami>` respektive `gradm -L <cesta-k-souboru-s-logy> -0 <cesta-k-souboru-s-novými-politikami>`. **Grsec** vytváří politiku na základě předpokladu, že veškeré zaznamenané akce prováděné subjektem jsou oprávněné a potřebné pro jeho správné fungování.

5. Navržená politika je předložena člověku – administrátorovi – k validaci.

Pokud člověk **pojme podezření**, že zaznamenané aktivity subjektu jsou pro jeho běh nepotřebné, politiku typicky neschválí.

9.18.3.2 Struktura politiky

GRP-S je zapisována ve formátu zobrazeném v konfiguraci **Grsec 9.2**, ve kterém se mohou nacházet

```
<identifikátor-subjektu> <volitelné-příznaky-subjektu>
{
  <identifikátor-objektu-typu-soubor> <volitelné-příznaky-objektu-typu-soubor>

  [+|-] <identifikátor-capability>

  <identifikátor-systémového-zdroje> <soft-limit> <hard-limit>

  connect
  {
    <ip>/<netmask>:<low-port>-<high-port> <type> <protocol>
  }

  bind
  {
    <ip>/<netmask>:<low-port>-<high-port> <type> <protocol>
  }
}
```

Konfigurace **GrSec 9.2**: Struktura **GRP-S** [**Spe03**]. Červeně vyznačená část představuje umístění a syntaxi definice **GRP-O**

<identifikátor-subjektu>,

Absolutní adresa

adresáře

V případě adresáře se **GRP** vztahuje ke všem spustitelným souborům v něm obsaženým. Vůli **GRP** má šanci změnit pouze **GRP**, která specifikuje přesněji absolutní cestu k ovlivňovanému souboru.

či spustitelného souboru

Je-li identifikátorem subjektu v **GRP** přímo spustitelný soubor, má tato **GRP** rozhodující slovo v určování přístupových oprávnění daného subjektu.

v rámci **FS**.

<volitelné-příznaky-subjektu>,

Nejvýznamější příznaky, kterými lze modifikovat vlastnosti jednotlivých **subjektů** jsou uvedeny v tabulce 9.12.

<identifikátor-objektu-typu-soubor>,

Absolutní adresa souboru v rámci **FS**, k němuž je řízen přístup daného **subjektu Grsec**.

<volitelné-příznaky-objektu-typu-soubor>,

Definice **GRP** vztahující se k objektu – **GRP-O** – se uvádí vždy v rámci definice **GRP-S**.

Vybrané příznaky, kterými lze modifikovat vlastnosti jednotlivých objektů jsou uvedeny v tabulce 9.13.

<identifikátor-capability>,

Pojmenování **subjektu** udělené/odebrané **capability**. O **capabilities** se zmiňuje kapitola 5.5.

V zápisu **GRP** lze uvést **virtuální capability** `CAP_ALL`, jejíž přidělení/odebrání subjektu způsobí přidělení/odebrání všech **capabilities**.

<identifikátor-systémového-zdroje> <soft-limit> <hard-limit>,

Identifikátory systémových zdrojů jsou vyjmenovány na http://en.wikibooks.org/wiki/Grsecurity/Appendix/System_Resources. Pro příklad konfigurace **Grsec**

`RES_FSIZE 10K 20M`
 zapříčiní, že jí stížený proces nebude schopen vytvořit na **FS** soubor větší nežli 20 MB.
`<ip>/<netmask>:<low-port>-<high-port> <type> <protocol>`,
 Definice oprávnění **subjektu**

- navazovat komunikaci (connect) či
- naslouchat (bind)

na příslušných portech.

Příznak	Dopad uvedení příznaku na subjekt
p	Označí subjekt jako chráněný – tzn. že jím označený subjekt bude moci být ukončen pouze subjektem s příznakem k.
k	Subjekt jím označený získá pravomoc ukončovat chráněné subjekty .
d	Zabrání subjektu přístup k adresáři /proc/<pid>/fd a Adresář fd obsahuje subjektem používané file deskriptorem, což krom souborů mohou být například i sokety. souboru /proc/<pid>/mem. Informace o adresním prostoru procesu je pro útočníka velmi cenná. Tímto opatřením se procesu, a tím pádem i útočníkovi, zamezí v přístupu k jinak pro něj čitelné části souborového systému /proc.
K	Pokusí-li se subjekt o přístup k objektu , ke kterému nemá přístupová oprávnění, bude ukončen.
C	Pokusí-li se subjekt o přístup k objektu , ke kterému nemá přístupová oprávnění, bude ukončen nejen on, ale také všechny subjekty komunikující s toutéž IP.
h	Skryje subjekt před všemi ostatními subjekty , krom těch s příznakem v.
v	Subjekt jím označený uvidí též skryté subjekty .
l	Zapne learning mode pro daný subjekt.
o	Odebere subjektu případná přístupová oprávnění zděděná z méně specifických GRP-S . Všechna oprávnění subjektu jsou definována v maximálně specifickém GRP-S .
X	Zapne ¹ randomizaci adresního prostoru (ASLR) subjektu typu RANDEXEC (viz kapitola 9.1.6).
R	Vypne ² randomizaci adresního prostoru (ASLR) subjektu typu RANDMMAP (viz kapitola 9.1.5).
A	Znepřístupní sdílenou paměť subjektu všem subjektum, kteří nepředstavují instance téhož spustitelného souboru.
P	Vypne ³ vynucování nespustitelných stránek ve VAS subjektu PAGEEXEC (viz kapitola 9.2.2.1).

Tabulka 9.12: Vybrané příznaky akceptované v definici subjektu v **GRP-S**

9.18.4 Řízení změny identity subjektu

Grsec umožňuje specifikovat identity, do nichž může subjekt konvertovat [**Spe03**]. Formát zápisu pravidel omezujících změnu identity subjektu zachycuje konfigurace **Grsec 9.3** a konkrétní příklad pak konfigurace **Grsec 9.4**.

```
subject <identifikátor-subjektu>
  user_transition_allow <sys-username> [<sys-username> ...]
  group_transition_allow <sys-groupname> [<sys-groupname> ...]
```

Konfigurace **GrSec 9.3**: Syntaxe zápisu pravidla omezujícího možnost změny identity subjektu

9.18.4.1 Příklad

V **Grsec** konfiguraci 9.5 je uveden příklad jedné **GRP**, která

se vztahuje výhradně k programu `date`,

Řetězec `/bin/date` vztahuje celou **GRP** na procesy vykonávající obsah souboru `/bin/date`.

¹ASLR v podobě **RANDEXEC** je nutné aktivovat u každého **subjektu** zvlášť.

²ASLR v podobě **RANDMMAP** je aktivní pro všechny **subjekty** automaticky.

Příznak	Dopad uvedení příznaku na objekt
r	objekt lze číst
w	Do objektu lze zapisovat.
x	Obsah objektu lze vykonávat.
c	objekt lze vytvořit.
d	objekt lze odstranit.
s	Zamítnutí přístupu k objektu nebude logováno.
i	Subjekt vzniklý spuštěním objektu subjektem, v jehož GRP-S je obsažený GRP-O s daným příznakem, zdědí GRP-S svého rodiče.

Tabulka 9.13: Vybrané příznaky akceptované v GRP-O [Spe03]

```
subject /bin/su
  user_transition_allow root
  group_transition_allow root
```

Konfigurace GrSec 9.4: Příklad pravidla omezujícího možnost změny identity subjektu /bin/su pouze na uživatelskou (a skupinovou) identitu root

```
/bin/date oA
{
  /usr/share r
  /etc r
  /usr/lib rx
  /var/run/date.pid w
  ...
}
```



Konfigurace GrSec 9.5: Příklad GRP

odebírání zděděná přístupová oprávnění,

Volba o odebere přístupová oprávnění, zděděná z nadřazených adresářů.

uděluje přístupová oprávnění k vyjmenovaným souborům.

Proces vykonávající soubor /bin/date smí

- Čist obsah souboru /usr/share,
- Čist obsah souboru /etc,
- Čist a spouštět obsah souboru /usr/lib a
- zapisovat do souboru /usr/run/date.pid.

9.18.4.2 Podmínění platnosti

Platnost jednotlivých **GRP-S** lze podmínit identitou rodičovského **subjektu**. Syntaxe podmínky je uvedena v konfiguraci **Grsec 9.6**. Toto podmínění platnosti lze vnořovat (viz konfigurace **9.7**). Vnořené subjekty dědí **GRP-S** svých rodičů

```
subject <identifikátor-rodičovského-subjektu>:<identifikátor-subjektu> <příznaky>
{
  ...
}
```

Konfigurace **GrSec 9.6**: Syntaxe podmínky omezující platnost **GRP** pouze na případy, kdy je rodičem **subjektu** určitý konkrétní **subjekt**

```
subject <id-subjektu>:<id-subjektu>:<id-subjektu>:<id-subjektu> <příznaky>
{
  ...
}
```

Konfigurace **GrSec 9.7**: Syntaxe podmínky omezující platnost **GRP** rekurzivně vnořená

– subjektu, které je spustily.

9.18.5 Princip Grsec MAC

Princip **AC** bude vysvětlen na příkladu spuštění programu /bin/date.

1. **Subjekt** s identitou **U** iniciuje spuštění /bin/date.
2. Existuje **GRP-S** pro /bin/date? Ano. ⇒ **5**
3. Existuje **GRP-S** pro /bin? Ano. ⇒ **5**
4. Existuje¹ **GRP-S** pro /.
5. Pro **AC** – hledání **GRP-O** – daného **subjektu** použij nalezenou – nejvíce specifickou – **GRP-S**.
6. Právě spuštěný **subjekt** chce zapsat své **PID** do /var/run/date.pid.
7. Existuje **GRP-O** pro /var/run/date.pid? Ano. ⇒ **11**
8. Existuje **GRP-O** pro /var/run? Ano. ⇒ **11**
9. Existuje **GRP-O** pro /var? Ano. ⇒ **11**
10. Existuje¹ **GRP-O** pro /.
11. Dle nalezené – nejvíce specifické – **GRP-O** rozhodni o udělení oprávnění k přístupu k **objektu**.
12. Umožňuje **GRP-O** pro /var/run/date.pid zápis? Ne. ⇒ **14**
13. Přístup **subjektu** k **objektu** povolen **MAC**.
14. Přístup **subjektu** k **objektu** odepřen **MAC**.

9.18.5.1 Nastavení GrSecurity ACL

Konfiguraci **GrSecurity ACL** provádějící osoba může využít služeb nástroje **gradm** – nástroje jímž lze

- prohlížet logy **Grsec**,
- zapínat/vypínat **learning mode** či
- se přihlašovat do speciálních rolí.

¹**GRP-S** i **GRP-O** pro / existují vždy. **Subjekt** definovaný cestou / představuje v **Grsec** tzv. standardní subjekt. **Musí být definován** pro každou roli.

9.19 Zvýšení bezpečnosti síťového subsystému

Volby aktivující úpravy jádra [Grsecurity](#) týkající se síťového zásobníku jsou uvedeny v tabulce 9.14. Při konfiguraci jádra jsou umístěny v sekci „Network protections“.

Tabulka 9.14: Volby [Grsec](#) týkající se zabezpečení síťového zásobníku

Volba	Dopad zvolení volby
GRKERNSEC_BLACKHOLE TCP/UDP blackhole and LAST_ACK DoS prevention	<p><u>Zamezení odpovědí z portů, s nimiž není asociován žádný proces</u></p> <p>Zapnutí volby GRKERNSEC_BLACKHOLE zamezí praktikování následujících, standardních vzorců chování protokolového zásobníku na všech síťových rozhraních s výjimkou rozhraní loopback:</p> <ul style="list-style-type: none"> Počítač odešle TCP paket s nastaveným příznakem RST jako odpověď na paket směřující na port, s nímž není asociován žádný proces [RFC793]. Počítač odešle ICMP zprávu Destination unreachable jako odpověď na paket směřující na port, s nímž není asociován žádný proces [RFC792]. <p>V daných situacích tak nebude počítač činit nic. Důsledkem toho je</p> <ul style="list-style-type: none"> zvýšení odolnosti počítače proti DoS útokům, snížení viditelnosti počítače pro síťové skenery a menší spotřeba zdrojů v již zmiňovaných situacích. <p>Sysctl proměnnou, kterou lze tuto volbu nastavovat za běhu systému, je</p> <pre>kernel.grsecurity.ip_blackhole</pre>
GRKERNSEC_NO_SIMULT_CONNECT Disable TCP Simultaneous Connect	<p><u>Nedodržení TCP v zájmu bezpečnosti</u></p> <p>Zapnutí této volby odstraní zranitelnost plynoucí z důsledného dodržování definice TCP popsanou v kapitole 8.10. K odstranění této zranitelnosti provede GrSec jedinou úpravu ve funkci tcp_rcv_synsent_state_process().</p>
GRKERNSEC_SOCKET Socket restrictions	<p><u>Omezení přístupu procesů k socketům</u></p> <p>Zapnutí této volby zpřístupní volby týkající se omezení přístupu k socketům. Zapnutí některé z nich omezuje možnost procesů manipulovat se sockety (viz tabulka 9.15), jejichž vlastníky jsou uživatelé náležící do skupin specifikovaných GID. Pro deklaraci GID skupiny, na kterou se omezení dané volbou bude vázat, existuje vždy volba téhož názvu obohaceného o příponu _GID. Omezení mohou být následující:</p> <ul style="list-style-type: none"> Procesu není dovoleno připojit se k serverům běžícím na tomtéž počítači. ⇒ Proces nemůže být klientem v rámci počítače. Procesu není dovoleno naslouchat na jakémkoliv portu počítače. ⇒ Proces nemůže být serverem. <p>Uživatelé, jimiž jsou spouštěny v testech zúčastněné programy nejsou členy skupin, členství v nichž GrSec trestá.</p>
GRKERNSEC_SOCKET_ALL Deny any sockets to group	<p>Zapnutí této volby a následná specifikace GID skupiny ve volbě GRKERNSEC_SOCKET_ALL_GID má stejný dopad, jako současné zapnutí voleb</p> <ul style="list-style-type: none"> GRKERNSEC_SOCKET_CLIENT (viz volba „Deny client sockets to group“) a GRKERNSEC_SOCKET_SERVER (viz volba „Deny server sockets to group“). <p>pro skupinu s daným GID zároveň. Sysctl proměnné s touto volbou spjaté jsou</p> <pre>kernel.grsecurity.socket_all</pre> <p>a</p> <pre>kernel.grsecurity.socket_all_gid</pre>

↓

Pokračování tabulky na další straně.

Pokračování tabulky z předchozí strany.



Volba	Dopad zvolení volby
GRKERNSEC_SOCKET_CLIENT Deny client sockets to group	Zapnutí této volby zajistí, že kterýkoliv uživatel náležící do skupiny s GID uvedeným ve volbě GRKERNSEC_SOCKET_CLIENT_GID, nebude mít možnost se připojit k serverům běžícím na tomtéž počítači. Ve volbě obohacené suffixem _GID se specifikuje GID skupiny, které se omezení týká. Sysctl proměnné s touto volbou spjaté jsou <pre>kernel.grsecurity.socket_client</pre> a <pre>kernel.grsecurity.socket_client_gid</pre> .
GRKERNSEC_SOCKET_SERVER Deny server sockets to group	Zapnutí této volby zajistí, že kterýkoliv uživatel náležící do skupiny s GID uvedeným ve volbě GRKERNSEC_SOCKET_SERVER_GID, nebude mít možnost být serverem – naslouchat na libovolném portu počítače. Sysctl proměnné s touto volbou spjaté jsou <pre>kernel.grsecurity.socket_server</pre> a <pre>kernel.grsecurity.socket_server_gid</pre> .

Konec tabulky.

měřená konfigurace	možnost být lokálním klientem	možnost být serverem
GRKERNSEC_SOCKET_ALL	✘	✘
GRKERNSEC_SOCKET_CLIENT	✘	neřeší
GRKERNSEC_SOCKET_SERVER	neřeší	✘

Tabulka 9.15: Možnosti omezení nakládání se sockety poskytované patchem GrSec

9.20 Znemožnění přístupu k /dev/kmsg

Aktivace volby GRKERNSEC_DMESG z kategorie „Executable options“ způsobí, že neprivilegovanému uživateli budou viditelné pouze poslední 4 kB z /dev/kmsg. Příkaz dmesg bude tak moci používat i nadále, avšak pouze pro nejmladší historii událostí. Sysctl proměnná modifikující tuto volbu za běhu systému se jmenuje kernel.grsecurity.dmesg.

Podobnou funkcionalitu poskytuje i systémová proměnná kernel.dmesg_restrict zavedená roku 2010 do jádra (od verze jádra 2.6.37) [Ros10]. Tato volba znepřístupní /dev/kmsg neprivilegovaným uživatelům celý za základě požadavku na [capabilitu](#) CAP_SYS_ADMIN.

9.21 Řízení přístupu k souborovému systému /proc

Grsec přináší též ochranu souborového systému /proc. Jednotlivé volby a jejich dopad je popsán v tabulce 9.16.

Tabulka 9.16: Volby Grsec zabezpečující souborový systém /proc

Volba	Dopad zvolení volby
GRKERNSEC_PROC Proc restrictions	Zpřístupní zbylé volby omezující přístupová práva k virtuálnímu souborovému systému mapovanému do adresáře /proc. Dále omezí pohled každého jednotlivého uživatele na spuštěné procesy. Uživatel uvidí vždy pouze své procesy – procesy, jichž je (pra)rodičem. Toto omezení výrazně znesnadní situaci případného útočníka.

Pokračování tabulky na další straně.



Volba	Dopad zvolení volby
GRKERNSEC_PROC_USER Restrict /proc to user only	Aktivace této volby zapříčiní stav, kdy neprivilegovaní uživatelé uvidí výhradně své vlastní procesy .
GRKERNSEC_PROC_USERGROUP Allow special group	Uživatelé, kteří nejsou členy skupiny, jejíž GID je rovno hodnotě volby GRKERNSEC_PROC_GID uvidí pouze vlastní procesy.
GRKERNSEC_PROC_GID GID exempted from /proc restrictions	Umožní specifikovat GID skupiny, na jejíž členy se omezení dané GRKERNSEC_PROC_USER nebude vztahovat.
GRKERNSEC_PROC_ADD Additional restrictions	Omezí přístup neprivilegovaných uživatelů k souboru /proc/slabinfo, čímž tito uživatelé přijdou o možnost sledovat obsah cache jádra umístěné v Kernel Space , do které jsou ukládány nejčastěji přístupované inode , dentry a mnohé další objekty. Informace o v ní obsažených datech se považují za zneužitelné při exploitování řady zranitelností systému.

Konec tabulky.

9.22 Další drobná vylepšení bezpečnosti

Grsec vylepšuje zabezpečení v mnohých dalších oblastech. Volby, které byly vyhodnoceny jako „dostatečně zajímavé“ pro prostředí **CIV ZČU** jsou popsány v tabulce 9.17.

Tabulka 9.17: Další drobná vylepšení bezpečnosti v rámci **Grsec**

Volba	Dopad zvolení volby
GRKERNSEC_LINK Linking restrictions	V adresářích s nastaveným sticky bitem (typicky /tmp) znemožní následování symbolických odkazů odkazujících na soubor vlastněný jiným uživatelem. To je výhodné pro zamezení zneužití chyb souběhu (race condition) spojených s prací se soubory v programech. Typickým příkladem podobné chyby je situace, kdy SUID spustitelný soubor používá pro zápis dočasný soubor v adresáři /tmp, jehož název je ovšem předvídatelný a útočník předtím vytvoří v /tmp symbolický odkaz se stejným jménem, jako bude mít tento dočasný soubor. Útočníkem vytvořený odkaz pak ukazuje na zcela jiný soubor, do kterého by za normálních okolností neměl daný uživatel právo zapisovat. Nicméně takto děravý program zápis provede a tím umožní útočníkovi soubor přepsat. Tuto možnost útoku zapnutí volby GRKERNSEC_LINK znemožní. S nastavením této volby lze manipulovat prostřednictvím sysctl proměnné kernel.grsecurity.linking_restrictions za běhu Linuxu .
GRKERNSEC_FIFO FIFO restrictions	Zakáže zápis do rour v adresářích s nastaveným sticky bitem , které uživatel nevládní (typicky /tmp), není-li vlastníkem roury též vlastníkem adresáře, v němž roura leží. S nastavením volby lze manipulovat z US nastavováním sysctl proměnné kernel.grsecurity.fifo_restrictions.
GRKERNSEC_PROC_MEMMAP Harden ASLR against information leaks and entropy reduction	Zvyšuje bezpečnost randomizace adresního prostoru tím, že rozložení AS není možné zjistit výpisem speciálního souboru /proc/<pid>/maps.
GRKERNSEC_HIDESYM Hide kernel symbols	Zajistí, že aplikace bez sys. práva (capability) CAP_SYS_MODULE (viz kapitola 5.5) nebude mít možnost zjistit adresy jednotlivých funkcí v jádře, což může znesnadnit zneužití jaderných chyb.
GRKERNSEC_ACL_HIDEKERN Hide kernel processes	Při aktivovaném GrSec ACL systému dojde k zatajení existence procesů jádra uživatelským procesům.

Konec tabulky.

10. Srovnání úrovně zabezpečení GNU Linux

Kapitola 8 seznámila čtenáře s vybranými hrozbami. Kapitola 9 se následně pokusila vysvětlit možné techniky obrany vůči těmto hrozbám, které přináší patch **Grsec/PaX**, který byl zvolen k podrobnějšímu průzkumu v kapitole 7. V tabulce 10.1 je uveden dopad aplikace

Nasazení **PaXu** v částečné konfiguraci (např. **ASLR** bez **NOEXEC**) není právě výhodné, neboť eliminací pouze některých zranitelností hrozbě převzetí kontroly nad procesem obecně nelze předejít. Ochrany **NOEXEC** a **ASLR** je proto nanejvýš vhodné nasazovat zároveň, neboť samostatně jsou „obejitelné“.

Tabulka 10.1: Srovnání zabezpečení GNU Linux s a bez aplikovaného patche **Grsec/PaX**

Hrozba	Standardní zabezpečení systému (bez úprav jádra)	Nadstandardní zabezpečení systému (v podání Grsec)	Alternativní nadstandardní řešení
8.1.1 – vytvoření nového spustitelného mapování	Systém chráněn. Před danou hrozbou dokáže efektivně bránit i obyčejné DAC – standardní unixová práva (viz 5.3.3) či POSIX ACL (viz 5.3.4) dohlížející na přístupy k objektům.	Systém chráněn. Ochranu v tomto směru vylepšuje či lépe řečeno „činí pohodlnější pro její správu“ RBAC , který je součástí Grsec .	SELinux (viz kapitola 6.5), AppArmor (viz kapitola 6.4)
8.1.2 – shellcode injection na architektuře x86-64	Systém částečně chráněn. x86-64 -kompatibilní procesory hardwarovou podporou NX bitu v Memory Management Unit disponují. Jádro 3.16 např. ochranou proti spouštění vybaví pouze mapování userspace-stack a haldu ponechá nadále spustitelnou. Útočníkovi navíc stále zbývá možnost jakoukoliv paměťovou stránku učinit spustitelnou, pokud se mu podaří zavolat <code>mprotect()</code> . V nových verzích jádra	Systém chráněn. Hrozbám z této kategorie efektivně brání technika NOEXEC , kdy ač se útočníkovi podaří neoprávněně přepsat paměťový prostor (typicky je příčinou logická chyba samotného programu), tak se mu jej díky NOEXEC a také MPROTECT nepodaří spustit.	
8.1.2 – shellcode injection na architektuře x86-32	Systém nechráněn. x86 procesory bez podpory 64 bitových instrukcí či lépe řečeno jejich MMU nedisponují podporou NX bitu . Obsah všech mapování lze spustit.	Systém chráněn. Grsec přináší podporu nespustitelných stránek na x86-32 architekturu a to softwarovými emulacemi využívajícími existence mechanismů, jejichž původní účel byl původně jiný – PAGEEXEC a SEGMEEXEC .	Exec Shield
8.2 – vykonávání existujícího kódu mimo původní programové pořadí (útoky typu return-to-lib)	Systém částečně chráněn. Od Linuxu verze 2.6.12 jsou standardně znáhodňována umístění anonymních mapování – zásobníku a haldy.	Systém chráněn. Proti hrozbám této kategorie staví PaX techniku ASLR . Změna programového pořadí předpokládá změnu adresy skoku útočníkem. Obrana spočívá v utajení informace o uspořádání AS konkrétního procesu.	ASLR-NG

↓

Pokračování tabulky na další straně.

Pokračování tabulky z předchozí strany. ↑			
Hrozba	Standardní zabezpečení systému (bez úprav jádra)	Nadstandardní zabezpečení systému (v podání Grsec)	Alternativní nadstandardní řešení
8.3 – Vykonání existujícího kódu v původním programovém pořadí s původními daty	Systém nechráněn. Ochranou proti hrozbám tohoto typu je nepoužívat programy této kategorie.	Systém nechráněn.	
8.6 – únik informace z <code>kernel-space-stack</code>	Systém nechráněn.	Systém chráněn. Grsec únik informace tímto způsobem eliminuje, a to volbou <code>PAX_MEMORY_STACKLEAK</code> (viz kapitola 9.14).	
8.7 – neoprávněné opuštění chrootu	Systém nechráněn.	Systém chráněn. Po aktivaci voleb uvedených v kapitole 9.17 systém hrozbu eliminuje.	
8.8 – ROP (rozdělení shellcode do mnoha malých úseků)	Systém nechráněn. Hrozba obchází na 64 bitových systémech aktivní ochranu <code>userspace-stack</code> před vykonáváním jeho obsahu – <code>NX</code> .	Systém chráněn. Grsec přichází s technikou <code>RAP</code> (viz kapitola 9.16 , která zálohou návratové adresy útoku <code>ROP</code> čelí.	
8.9.2 – <code>ret2usr</code> (vykonávání kódu uloženého v <code>User Space</code> v režimu <code>CPL 0</code>)	Systém chráněn. Ovšem pouze za předpokladu, že běží na procesorech Intel Haswell či novějších – viz technika <code>SMAP/SMEP</code> v kapitole 9.5.3 a zároveň používá jádro 3.7 a novější, neb <code>SMAP/SMEP</code> by bez softwarové podpory nefungovalo.	Systém chráněn. Grsec nabízí proti <code>ret2usr</code> techniky <code>UDEREF</code> (viz kapitola 9.5.2) a <code>KERNEXEC</code> (viz kapitola 9.5.1). Obě se různými způsoby snaží oddělit jinak souvislý <code>User Space</code> a <code>Kernel Space</code> . Na <code>x86-32</code> k tomu používají <code>Linuxem</code> jinak zcela opomíjenou segmentaci. Na <code>x86-64</code> se již jejich přístup liší.	kGuard [KPK12]
8.9.2.1 – Return to direct mapped memory neboli <code>ret2usr</code> využívající přímé mapování	Systém nechráněn.	Systém nechráněn. Útok je postaven na přístupu přes přímé mapování, s jehož využitím ani jedna ze zmíněných zabezpečovací technik nepočítala.	9.5.4 – XPFO
8.10.1 – DoS díky důsledné implementaci <code>TCP</code> protokolu	Systém nechráněn. Minimálně <code>vanilla</code> jádro ctí definici <code>TCP – RFC 793</code> [RFC793] – a ponechává i nadále schopnost <code>TCP</code> souběžně navazovat spojení aktivovanou.	Systém chráněn. Volba <code>GRKERNSEC_NO_SIMULT_CONNECT</code> zakáže podporu souběžného spojení.	není známo

Konec tabulky.

11. Měřicí/měřené prostředí

Pro měření jsou k dispozici dva fyzické počítače – xenmv.civ.zcu.cz ([xenmv](#)) a metalist.civ.zcu.cz ([metalist](#)) – ležící ve stejné síti a komunikující přes neznámý počet přepínačů. Počítače tak nesdílí sice kolizní doménu, sdílí však doménu broadcastovou. Na [metalist](#) nedisponuje testující osoba možností výměny jádra, které tam je ve verzi 3.16.0 bez patche [GrSec](#). [Xenmv](#) možnost výměny jádra dává. Testy proběhnou na jádře 4.8.16 při různých jeho konfiguracích. Hardwarové parametry počítačů jsou uvedeny v tabulce 11.1. Na obrázku 11.1 je znázorněn vztah jednotlivých prvků účastnících se měření. Infrastruktura schovaná pod obláčkem svými parametry vysoce převyšuje na obrázku 11.1 vynesené spoje a nehrozí, že by mohla být úzkým hrdlem testu.

Nechť jakýkoliv další výskyt slova *prostředí* označuje právě nyní popsané měřené/měřící prostředí, není-li v bezprostřední blízkosti jeho výskytu uvedeno jinak.

jméno počítače	metalist	xenmv
jméno multiprocessoru	Xeon	Xeon E5-2620 v2 [IntelArk]
počet procesorů	4	6
počet vláken vykonavatelných zároveň	4	12 ¹
základní frekvence každého z procesorů	3,2 GHz	2,1 GHz
velikost hlavní paměti	8,195148 GB	16,382688 GB

Tabulka 11.1: Hardwarové parametry počítačů, které se zúčastní testování



Obrázek 11.1: Vizualizace měřícího/měřeného prostředí

11.1 Nejslabší článek spoje [xenmv](#) ↔ [metalist](#)

Několik testů uvedených v kapitole 13 zjišťuje právě propustnost spoje [xenmv](#) ↔ [metalist](#). Jsou to měření v kapitolách 13.4.2, 13.5.5 a 13.5.6. Žádný z nich nenaměřil rychlost vyšší nežli 0,96 Gb/s čili 0,894 Gib/s. Úzkým hrdlem je nejpomalejší prvek na spoji. Příkaz 11.1 usvědčuje ethernetový adaptér na počítači [xenmv](#) z toho, že je jedním z množiny nejpomalejších prvků na spoji. **Maximální teoretická propustnost spoje činí 1 Gb/s respektive 0,931 Gib/s.**

```

root@xenmv2:~# ethtool eno1 | grep Speed
Speed: 1000Mb/s
  
```

Příkaz/y 11.1: Rychlost síťového rozhraní na počítači [xenmv](#)

11.2 Redukce počtu procesorových jader

Autor dokumentu se po otestování jader odpovídajících konfiguracím, jejichž nastavení je uvedeno v tabulce 11.2, střetl s výsledky, které nelogicky znevýhodňovaly mnohé konfigurace, modifikující třeba jen síťový zásobník, ve výkonnostních testech škálujících přes počet do testu zapojených procesů. Vedoucí – [Michal Švamberg](#) – následně odhalil chybu, která byla příčinou: Za výkonnostním propadem stálo nastavení volby jádra `CONFIG_NR_CPUS`. U postižených konfigurací byla tato volba nastavena na hodnotu 8, zatímco ostatní konfigurace ji měly nastavenou na hodnotu 512. Volba svou hodnotou omezuje počet jader, které bude [Linux](#) s ní zkompileovaný schopen využít. Jelikož procesor na testovaném počítači ([xenmv](#)) disponoval 12 jádry, byly chybou stížené konfigurace handicapovány a to teoreticky až o 1/3 procesorového výkonu. Hodnotu 8 do volby `CONFIG_NR_CPUS` vpašovalo vypnutí volby `CONFIG_64BIT` během konstruování konfigurací pro kompilace jader. Vypnutí této volby bylo vynuceno sestavováním konfigurací `noexec-pageexec` a `noexec-segmexec` zachycujících volby jádra, které představují emulaci [NX bitu](#). Tato emulace je dostupná pouze pro jádra běžící v režimu [x86-32](#).

¹Procesor Xeon E5-2620 v2 disponuje podporou technologie [SMT](#) a je tak schopen na každém svém jádru vykonávat dvě vlákna zároveň.

Jelikož autor tohoto dokumentu není schopen zkompilovat [x86-32](#) jádro podporující více nežli 8 procesorových jader, vyvstal problém porovnání jednotlivých konfigurací. Proto je počet podporovaných jader – volba `CONFIG_NR_CPUS` – nastavena pro všechny konfigurace na hodnotu 8. Tímto se sice poněkud degraduje procesor testovaného stroje Intel E5-2620 v2, avšak jelikož pro všechny konfigurace stejně, nemá to na relativní srovnání jejich výkonnosti vliv.

11.3 Konfigurace měřeného prostředí

Konfigurace měřeného prostředí je definovaný stav testovaného prostředí (viz kapitola 11), do něhož bylo toto prostředí vmanipulováno předchozími jeho úpravami. Konfigurace měřeného prostředí se liší buďto [jádro](#)m použitým na počítači `xenmv` či nastavením `sysctl` proměnných (viz kapitola 11.4.2.1). Seznam konfigurací a výčet úprav v nich provedených je uveden v tabulce 11.2.

11.4 Příprava prostředí

Aby bylo co testovat, bude prostředí převáděno mezi různými stavy vyjmenovanými v tabulce 11.2. Převod prostředí do konkrétního stavu obnáší konkrétní požadavky. Určitý stav vyžaduje typicky

- **určitou verzi jádra,**
Vyžaduje-li stav určitou verzi jádra, je zapotřebí tuto verzi jádra nejprve vytvořit (viz kapitola 11.4.1.2) a následně zvolit toto jádro při spuštění systému.
- **určité nastavení `sysctl` proměnných a**
Mnohé volby, které jsou součástí stavu jsou nastavovány až dodatečně po naboování systému. Bylo by sice možné pro každý stav zkompilovat samostatné jádro, avšak to by bylo neúnosně časově náročné. Proto se některé volby nastavují až příkazem `sysctl` nad jádrem, které je společné pro několik stavů.
- **případné další nastavení.**
Je možné, že stav vyžaduje další modifikace a nastavení. Například běh testovacích skriptů pod privilegovanou identitou. O případných dalších nastaveních pro daný stav by měla v následujícím textu existovat zmínka.

Obecně lze úpravy, které jsou vyžadovány pro nastavení prostředí do stavu, rozdělit do dvou kategorií, které následují:

11.4.1 Úpravy prováděné před spuštěním měřicího/měřeného systému

11.4.1.1 Patch jádra

Zatímco [SELinux](#) a [AppArmor](#) jsou již ve [vanilla](#) jádře obsaženy, [GrSec](#) je nutné si do jádra dodatečně přidat, čehož lze v kořenovém adresáři se zdrojovými soubory jádra dosáhnout příkazem `patch`.

```
patch -p1 < soubor
```

C kód 11.1: Aplikace patche na jádro

11.4.1.2 Konfigurace jádra

Volby stanovené v rámci interakce uživatele s procesem spuštěným příkazem `make menuconfig` mohou být uloženy do souboru. Vzniknuvší konfigurační soubor má podobu seznamu voleb. Byla-li volba při konfiguraci zvolena, má v konfiguračním souboru vždy přiřazenou hodnotu. V opačném případě je zakomentována a doplněna dovětkem „`is not set`“.

```
# <KOMENTÁŘ>  
<POJMENOVANI-VOLBY>=<HODNOTA-VOLBY>  
# <POJMENOVANI-VOLBY> is not set
```

Konfigurace [GrSec](#) 11.1: Možné položky konfiguračního souboru vzešlého
z
`make menuconfig`

Veškeré volby mají prefix `CONFIG_`. Má-li uživatel konfigurační soubor k dispozici, nic mu nebrání měnit hodnoty přímo v něm. Nezakomentované volby jsou při kompilaci jádra nadefinovány jako makra preprocesoru

³Volba v dané konfiguraci takto nastavena povinně.

Pojmenování volby jádra	Jednotlivé konfigurace																
	original	autoconf_performance	autoconf_security	noexec	noexec_pageexec	noexec_segmemexec	sanitize	stackleak	structleak	uderef	rap	aslr_basic	aslr_randmmmap	rbac	blackhole	no_simult_connect	socket_limit
64BIT	✗	✓	✓	✓	✗	✗	✓	✓	✓	✓	✓	✓	✓	✓	✓	✓	✓
GRKERNSEC	✗	✓	✓	✓	✓	✓	✓	✓	✓	✓	✓	✓	✓	✓	✓	✓	✓
GRKERNSEC_CONFIG_AUTO	✗	✓	✓	✗	✗	✗	✗	✗	✗	✗	✗	✗	✗	✗	✗	✗	✗
GRKERNSEC_CONFIG_CUSTOM	✗	✗	✗	✓	✓	✓	✓	✓	✓	✓	✓	✓	✓	✓	✓	✓	✓
GRKERNSEC_CONFIG_SERVER	✗	✓	✓	✗	✗	✗	✗	✗	✗	✗	✗	✗	✗	✗	✗	✗	✗
GRKERNSEC_CONFIG_PRIORITY_PERF	✗	✓	✗	✗	✗	✗	✗	✗	✗	✗	✗	✗	✗	✗	✗	✗	✗
GRKERNSEC_CONFIG_PRIORITY_SECURITY	✗	✗	✓	✗	✗	✗	✗	✗	✗	✗	✗	✗	✗	✗	✗	✗	✗
PAX	✗	✓	✓	✓	✓	✓	✓	✓	✓	✓	?	✓	✓	✗	✗	✗	✗
PAX_NOEXEC	✗	✓	✓	✓	✓	✓	✗	✗	✗	✗	✗	✗	✗	✗	✗	✗	✗
PAX_PAGEEXEC	✗	✓	✓	✗	✓	✗	✗	✗	✗	✗	✗	✗	✗	✗	✗	✗	✗
PAX_SEGMEMEXEC	✗	✗	✗	✗	✗	✓	✗	✗	✗	✗	✗	✗	✗	✗	✗	✗	✗
PAX_EMUTRAMP	✗	✓	✓	✗	✓	✓	✗	✗	✗	✗	✗	✗	✗	✗	✗	✗	✗
PAX_MPROTECT	✗	✓	✓	✗	✓	✓	✗	✗	✗	✗	✗	✗	✗	✗	✗	✗	✗
PAX_ASLR	✗	✓	✓	✗	✗	✗	✗	✗	✗	✗	✗	✓	✓	✗	✗	✗	✗
PAX_RANDKSTACK	✗	✓	✓	✗	✗	✗	✗	✗	✗	✗	✗	✗	✗	✗	✗	✗	✗
PAX_RANDUSTACK	✗	✓	✓	✗	✗	✗	✗	✗	✗	✗	✗	✗	✗	✗	✗	✗	✗
PAX_RANDMMAP	✗	✓	✓	✗	✗	✗	✗	✗	✗	✗	✗	✓	✗	✗	✗	✗	✗
GRKERNSEC_PROC_MEMMAP	✗	✓	✓	✗	✗	✗	✗	✗	✗	✗	✗	✓	✗	✗	✗	✗	✗
GRKERNSEC_NO_RBAC	✗	✗	✗	✓	✓	✓	✓	✓	✓	✓	✓	✓	✓	✗	✗	✗	✗
GRKERNSEC_BLACKHOLE	✗	✓	✓	✗	✗	✗	✗	✗	✗	✗	✗	✗	✗	✗	✓	✗	✗
GRKERNSEC_NO_SIMULT_CONNECT	✗	✓	✓	✗	✗	✗	✗	✗	✗	✗	✗	✗	✗	✗	✗	✓	✗
GRKERNSEC_SOCKET	✗	✗	✗	✗	✗	✗	✗	✗	✗	✗	✗	✗	✗	✗	✗	✗	✓
GRKERNSEC_SOCKET_ALL	✗	✗	✗	✗	✗	✗	✗	✗	✗	✗	✗	✗	✗	✗	✗	✗	✓
GRKERNSEC_SYSCTL	✗	✓	✓	✗	✗	✗	✗	✗	✗	✗	✗	✗	✗	✗	✗	✗	✗
GRKERNSEC_DMESG	✗	✓	✓	✓	✓	✓	✓	✓	✓	✓	✓	✓	✓	✓	✓	✓	✓
PAX_MEMORY_SANITIZE	✗	✗	✓	✗	✗	✗	✓	✗	✗	✗	✗	✗	✗	✗	✗	✗	✗
PAX_MEMORY_STACKLEAK	✗	✗	✓	✗	✗	✗	✗	✓	✗	✗	✗	✗	✗	✗	✗	✗	✗
PAX_MEMORY_STRUCTLEAK	✗	✗	✓	✗	✗	✗	✗	✗	✓	✗	✗	✗	✗	✗	✗	✗	✗
PAX_MEMORY_UDEREF	✗	✗	✓	✗	✗	✗	✗	✗	✗	✓	✗	✗	✗	✗	✗	✗	✗
PAX_RAP	✗	✓	✓	✗	✗	✗	✗	✗	✗	✗	✓	✗	✗	✗	✗	✗	✗

Tabulka 11.2: Testované konfigurace systému čili volby jádra aktivované běžícího na stroji xenmv v době provádění testů

```
#define <POJMENOVANI-VOLBY> <HODNOTA-VOLBY>
```

C kód 11.2: Podoba volby při kompilaci

Existence (případně konkrétní hodnota) voleb následně při kompilaci podmiňuje překlad úseků v kódu jádra. Podmíněně překládaný úsek kódu obsahuje nezřídka jen několik málo příkazů.

```
if (sk->sk_state == TCP_TIME_WAIT) {
#ifdef CONFIG_GRKERNSEC_BLACKHOLE
ret = 2;
#endif
goto do_time_wait;
}
```

C kód 11.3: Konfigurační volby ovlivňují překlad prostřednictvím mechanismu podmíněného překladu

11.4.2 Úpravy prováděné po spuštění měřícího/měřeného systému

11.4.2.1 Konfigurace jádra za běhu

Zapnutí této volby `GRKERNSEC_SYSCTL` umožní změnu **vybraných** voleb **GrSec** za běhu (viz 11.4.2.1) tzn. bez nutnosti jádro znovu kompilovat příkazem `sysctl`. Možnost ovládat volby **GrSec** příkazem `sysctl` je pohodlná, ale zároveň představuje **zranitelnost**, neboť dostane-li se zneprátelený subjekt k privilegované identitě, potom si příkazem `sysctl` může deaktivovat mnohé z **Grsec** ochran. Proto je možné nastavení prováděné příkazem `sysctl` uzamknout – prohlásit za konečné – nastavením **sysctl proměnné**

```
kernel.grsecurity.grsec_lock
```

na hodnotu 1. **Zapnutí volby** `GRKERNSEC_SYSCTL` **způsobí vypnutí všech voleb GrSec** aktivovaných při konfiguraci jádra a zároveň přístupných aktivaci skrz příkaz `sysctl`. Zapnutí těchto voleb bude možné provést dodatečně:

V případě, že byla nastavena volba `GRKERNSEC_SYSCTL`, je možné měnit nastavení voleb **GrSec**, které to umožňují, za běhu. Změny se provádějí

- buďto zápisem do `/proc` (volby **GrSec** jsou umístěny v `/proc/sys/kernel/grsecurity`)
- nebo příkazem `sysctl` (viz posloupnost příkazů 11.1).

```
> sysctl -n <proměnná> # čtení aktuální hodnoty proměnné
> sysctl -w <proměnná>=<hodnota> # zápis hodnoty proměnné
```

Skript 11.1: Manipulace s konfigurací jádra za běhu

Pro všechny volby **GrSec**, které je možné měnit za běhu platí:

- Jejich ekvivalent pro příkaz `sysctl` začíná vždy prefixem „kernel.grsecurity.“.
- Pro jejich modifikaci je nutné, aby volba `kernel.grsecurity.grsec_lock` byla nastavena na 0. Změní-li hodnotu na !0, veškeré další změny **GrSec** voleb příkazem `sysctl` nebudou možné. Čili proměnná `kernel.grsecurity.grsec_lock` nevratně uzamyká možnost modifikace.

11.4.2.2 Nastavení voleb pro PaX

Významná část voleb **PaX** vyžaduje speciální softwarové vybavení pro využití poskytované funkcionality. Interagovat s **PaX** umožňuje nástroj `paxctl` či `chpax`. Nástroj je dostupný na adrese <http://www.grsecurity.net/download.php>. Závisí na zvoleném způsobu uložení příznaků pro **PaX**.

Nástroj `paxctl` slouží pro nastavení/odnastavení **PaX** konkrétního **PaX** příznaku pro konkrétní spustitelný soubor [**AddUti**]. Možné příznaky jsou vyjmenovány v tabulce 9.8. Nastavení **PaX** příznaku vyžaduje superuživatelské oprávnění. Syntaxe příkazu je

```
paxctl <volby-(čili-nastavované-příznaky)> <ovlivňované-soubory>
```

11.4.2.3 Ověření funkčnosti PaX v systému

paxtest je utilita určená k otestování funkčnosti konfigurace PaX [AddUti]. Provádí činnosti, kterým by měl správně nakonfigurovaný PaX zamezit. Mezi ně patří pokusy o spuštění kódu ve všech možných mapováních, pokusy o simulaci return-to-lib útoku a další podobné operace. Po každém nasazení PaX je jím vhodné otestovat systém. Jak může takové testování dopadnout je vidět na výstupech 11.2 a 11.3.

Výsledek je způsoben především tím, že gcc standardně netvoří spustitelné soubory typu etdyn, nýbrž etexec. Je-li zapnuta randomizace AS u etexec – RANDEXEC – potom jsou PaXem chráněny pouze ty spustitelné soubory, u kterých to ochranu explicitně vyžádáme příkazem paxctl.

```
$ paxtest kiddie
Executable anonymous mapping      : Killed
Executable bss                    : Killed
Executable data                   : Killed
Executable heap                   : Killed
Executable stack                  : Killed
Executable shared library bss     : Killed
Executable shared library data    : Killed
Executable anonymous mapping (mprotect) : Vulnerable
Executable bss (mprotect)         : Vulnerable
Executable data (mprotect)        : Vulnerable
Executable heap (mprotect)        : Vulnerable
Executable stack (mprotect)       : Vulnerable
Executable shared library bss (mprotect) : Vulnerable
Executable shared library data (mprotect): Vulnerable
Writable text segments           : Vulnerable
Anonymous mapping randomisation test : 28 bits (guessed)
Heap randomisation test (ET_EXEC)  : 14 bits (guessed)
Heap randomisation test (PIE)     : 28 bits (guessed)
Main executable randomisation (ET_EXEC) : 29 bits (guessed)
Main executable randomisation (PIE) : 28 bits (guessed)
Shared library randomisation test  : 29 bits (guessed)
Stack randomisation test (SEGMEEXEC) : 30 bits (guessed)
Stack randomisation test (PAGEEXEC) : 30 bits (guessed)
Arg/env randomisation test (SEGMEEXEC) : 22 bits (guessed)
Arg/env randomisation test (PAGEEXEC) : 22 bits (guessed)
Randomization under memory exhaustion @~0: 28 bits (guessed)
Randomization under memory exhaustion @0 : 29 bits (guessed)
Return to function (strcpy)        : paxtest: return address contains a NULL byte.
Return to function (memcpy)       : Return to function (strcpy, PIE) : paxtest: return
↪ address contains a NULL byte.
Return to function (memcpy, PIE)   :
```

Příkaz/y 11.2: Výstup nástroje paxtest na systému prostého PaX

11.4.2.4 Ověření nastavení PaX pro jednotlivé subjekty

Pro ověření nastavení PaX slouží příkaz pspax. Je schopný vypsat v systému běžící procesy společně s příznaky Grsec/PaX je ovlivňujících. Příklad výstupu nástroje pspax je uveden v příkazu 11.4.

```

$ paxtest
Executable anonymous mapping      : Killed
Executable bss                   : Killed
Executable data                  : Killed
Executable heap                  : Killed
Executable stack                 : Killed
Executable anonymous mapping (mprotect) : Killed
Executable bss (mprotect)       : Killed
Executable data (mprotect)      : Killed
Executable heap (mprotect)      : Killed
Executable shared library bss (mprotect) : Killed
Executable shared library data (mprotect): Killed
Executable stack (mprotect)     : Killed
Anonymous mapping randomisation test : 16 bits (guessed)
Heap randomisation test (ET_EXEC)  : 13 bits (guessed)
Heap randomisation test (ET_DYN)  : 25 bits (guessed)
Main executable randomisation (ET_EXEC) : 16 bits (guessed)
Main executable randomisation (ET_DYN) : 17 bits (guessed)
Shared library randomisation test  : 16 bits (guessed)
Stack randomisation test (SEGMEXEC) : 23 bits (guessed)
Stack randomisation test (PAGEEXEC) : 24 bits (guessed)
Return to function (strcpy)       : Vulnerable
Return to function (strcpy, RANDEXEC) : Killed
Return to function (memcpy)      : Vulnerable
Return to function (memcpy, RANDEXEC) : Killed
Executable shared library bss     : Killed
Executable shared library data    : Killed
Writable text segments           : Killed

```

Příkaz/y 11.3: Výstup nástroje paxtest na systému s nasazeným PaX. Zde si lze povšimnout detekovaných zranitelností vůči útoku „return to libc“

```

# pspax
USER  PID  PAX  MAPS  ETYPE  NAME  CAPS  ATTR
root  1    PeMRs w^x  ET_DYN  init  =ep
root  935  PeMRs w^x  ET_DYN  udevd  =ep
root  1371 PeMRs w^x  ET_DYN  udevd  =ep
root  1372 PeMRs w^x  ET_DYN  udevd  =ep
root  1555 PeMRs w^x  ET_DYN  syslogd =
root  1597 PeMRs w^x  ET_DYN  klogd  =
root  1683 PeMRs w^x  ET_DYN  crond  =ep
root  1689 PeMRs w^x  ET_DYN  ntpd   =cap_net_bind_service,cap_sys_time+ep
root  1703 PeMRs w^x  ET_DYN  login  =ep
root  1704 PeMRs w^x  ET_DYN  mingetty =ep
root  1705 PeMRs w^x  ET_DYN  mingetty =ep
root  1706 PeMRs w^x  ET_DYN  mingetty =ep

```

Příkaz/y 11.4: Výstup nástroje pspax, zobrazující volby, s nimiž běží jednotlivé procesy v rámci systému

12. Dokumentace

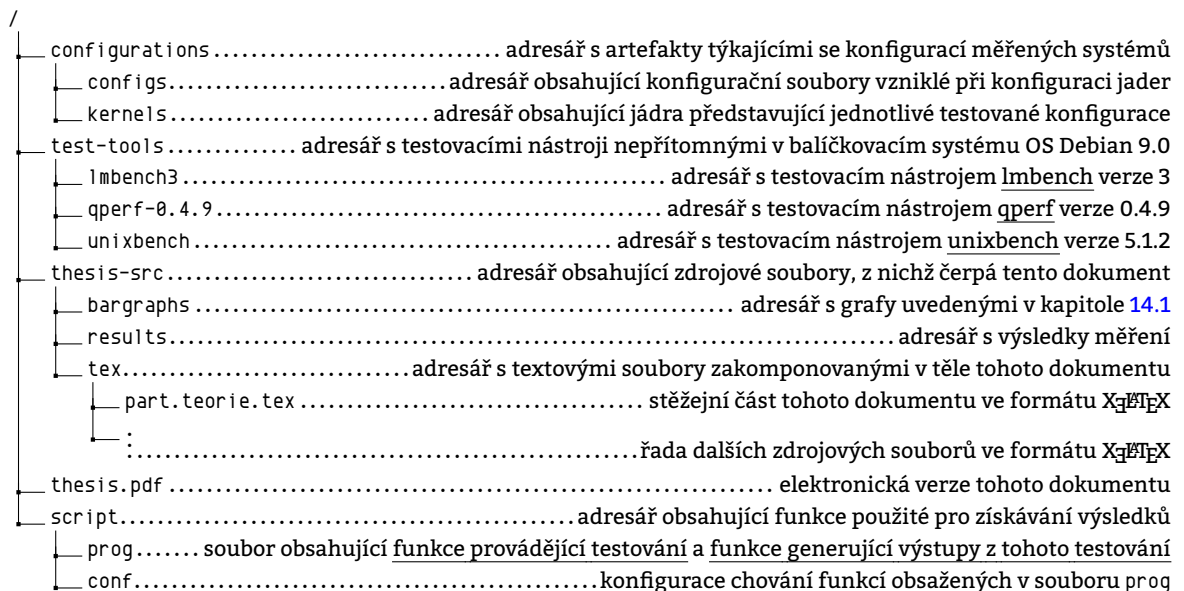
V této kapitole se čtenář seznámí se sadou funkcí, která byla použita pro získání a zpracování výsledků v tomto dokumentu prezentovaných. Všechny tyto funkce jsou umístěny v jediném souboru umístěném na dále označovaným jen slovem „Skript“. Skript lze charakterizovat těmito body:

- Je napsán v jazyce BASH 4.3.
- Je z větší části neinteraktivní.

Skript během svého vykonávání neinteraguje s uživatelem s výjimkou situace, kdy se nedaří zdárně dokončit nějaký z testů a existuje šance, že by to mohl změnit zásah uživatele – např. spuštěním serverové části testu.

12.1 Obsah příloženého CD

Obsah příloženého CD je zachycen obrázkem [12.1](#).



Obrázek 12.1: Stav FS umístěného na příloženém CD z pohledu jeho kořenového adresáře

12.2 Programátorská dokumentace

Všechn kód je až na výjimky vykonáván shellem nastaveném dle výpisu uvedeném v příkazu [12.1](#). Během získávání hodnot z testů nelze předpokládat o spuštěných testech absolutně nic. Některé testy posílají naměřené výsledky výhradně do `/dev/stderr`. Některé testy vrací nulové návratové kódy i v situaci, kdy jejich vykonávání selhalo. V takovém případě je zapotřebí jejich selhání detekovat jinak, nežli jen analýzou jejich návratové hodnoty. Obecně jakékoliv zpracování výstupu skriptem volaného programu je nakonec předmětem individuální konfigurace pro ten který program včetně reakcí na různé návratové kódy.

Proto Skript vykonává testy v prostředí uvedeném v ukázce kódu [12.1](#), ve kterém jsou odnastaveny atributy `pipefail` a `errexit`. Vysvětlení významu proměnných vyskytnuvších se ve skriptu [12.1](#) je uvedeno v tabulce [12.1](#).

12.2.1 Dva přístupy k ukončení funkce

Při návrhu skriptu byl kladen důraz především na jeho robustnost. Funkce v jazyce BASH 4.3 nedisponují mechanismem, který by po jejich ukončení automaticky smazal dočasné soubory a při jakémkoliv chybovém stavu je toto třeba provést ručně. Není-li daná činnost automatizována, je snadné na ni zapomenout. Proto ve Skriptu existuje nikoliv nepodstatná množina funkcí, jejichž volání odpovídá skriptu [12.2](#). Do jejich spuštění je vklíněna funkce `fn_subshell`, která má **zajistit nastavení prostředí pro volanou funkci** (dále již stále „volaná funkce“) a zároveň se snaží být maxi-

```

$ set +o
set +o allexport
set -o braceexpand
set +o emacs
set -o errexit
    \ Skončí jakmile nějaký příkaz skončí nenulovým návratovým kódem.
set -o errtrace
    \ Nastavení trap pro ERR dědění do funkcí shellu.
set +o functrace
set -o hashall
set +o histexpand
set +o history
set +o ignoreeof
set -o interactive-comments
set +o keyword
set +o monitor
set +o noclobber
set +o noexec
set +o noglob
set +o nolog
set +o notify
set -o nounset
    \ Při substituci považuje nenastavené proměnné za chybu.
set +o onecmd
set +o physical
set -o pipefail
    \ Návratová hodnota kolony je status posledního příkazu, který skončil s nenulovým kódem.
set +o posix
set +o privileged
set +o verbose
set +o vi
set +o xtrace

```

Příkaz/y 12.1: Nastavení shellu při vykonávání daného skriptu. Oproti „výchozímu nastavení“ změněné volby jsou okomentovány.

```

trap - ERR          # deaktivace volání (konkrétně fn. "fn_trap_err") v případě výskytu !0 návratové
↳ hodnoty
set +o pipefail     # => návratová hodnota kolony == návratová hodnota posledního jejího příkazu
set +o errexit     # => !0 návratová hodnota nezpůsobí konec příkazového interpretu
eval "( PATH=\${PATH_UPDATE}\ ; export ${VAR_FOR_EXPORT} ; auxfn_catret ${RET} <\${IN}\ | ${CMD}
↳ 1>\${OUT}\ 2>\${ERR}\ ; \
    echo \${PIPESTATUS[@]}\ >${PIPERET} )"
set -o pipefail     # => návratová hodnota kolony == návratová hodnota prvního příkazu v ní, který
↳ vrátí !0 hodnotu
set -o errexit     # => příkazový interpret skončí jakmile jakýkoliv proces jím spuštěný vrátí !0
↳ hodnotu
${TRAP_BACKUP}     # aktivace volání (konkrétně fn. "fn_trap_err") v případě výskytu !0 návratové
↳ hodnoty

```

Skript 12.1: Prostředí pro vykonávání testujícího programu, jehož jméno je uloženo v `${CMD}`

Proměnná	Význam
PATH_UPDATE	Nová hodnota proměnné prostředí PATH. Její hodnotu je vhodné měnit v případě, je-li testem spustitelný soubor či skript získaný stažením (a kompilací) čili obecně získaný mimo balíčkovací systém a není tak přítomen v umístěních definovaných v <code> \${PATH}</code> či tam přítomen je, avšak v jiné, nežli požadované verzi.
VAR_FOR_EXPORT	Proměnná obsahující řetězec <code><VAR>=<VAL> [<VAR>=<VAL> ..]</code> pro případný export proměnných, které jsou nutné pro běh příkazů. Vstupy formou proměnných prostředí nebyly při návrhu v podstatě vůbec uvažovány a proto také nebyly dostatečně rozmyšleny. Z toho důvodu je toto řešení poměrně nesystémové.
RET	Návratová hodnota předchozího příkazu v „pipeline“. Funkce <code>auxfn_catret()</code> zde představuje „replikaci“ standardního výstupu a návratové hodnoty předchozího příkazu.
IN	Standardní výstup předchozího příkazu „pipeline“.
CMD	Vykonávaný příkaz či posloupnost příkazů.
OUT	Název dočasného souboru pro zachytávání standardního výstupu.
ERR	Název dočasného souboru pro zachytávání standardního chybového výstupu.
PIPESTATUS	Proměnná nesoucí návratové hodnoty každého z příkazů poslední roury (zřetězení příkazů) běžící na popředí.
PIPERET	Název dočasného souboru pro zachytávání obsahu proměnné PIPESTATUS.

Tabulka 12.1: Význam proměnných vyskytujících se v „prostředí pro vykonávání kódu“

málně transparentní. Toto nastavení pochopitelně není samozřejmé¹. Sestává z následujících skutečností:

```
function <NÁZEV-FUNKCE> { fn_subshell ' ' UNPROTECTED_<NÁZEV-FUNKCE> "${@:-}" ; }
function UNPROTECTED_<NÁZEV-FUNKCE>
{
# ...
}
```

Skript 12.2: Formát definice řady funkcí umístěných ve Skriptu

1. Volaná funkce běží v shellu, který je pro její běh speciálně vytvořen (a přednastaven).

Tento subshell je volán v těle funkce `fn_subshell`. Poté je inicializován (viz body 2, 3, 4 a 5) a nakonec³ je v něm spuštěna „volaná funkce“.

2. Chování shellu je nastaveno dle příkazu⁵ 12.1.

Nastavením hodnot atributů shellu je zapotřebí dosáhnout požadovaného nastavení⁶ běhového prostředí pro volanou funkci.

3. Je vytvořen adresář pro uložení dočasných souborů vzniklých za běhu volané funkce.

Funkce `fn_subshell` volá

```
mktemp -d
```

. Výstupem tohoto volání je název adresáře, který `mktemp` vytvořil v dočasném adresáři. Výstup se obratem ukládá do proměnné `${TMPDIR}`, která je exportována do subshellů. Jelikož `mktemp` vytváří dočasné soubory v adresáři stanoveném proměnnou `${TMPDIR}`, je-li nastavena, je tímto zaručeno, že strom adresářů s dočasnými soubory bude kopírovat strom volání funkce `fn_subshell`.

4. Nastavení volání při zachycení signálu EXIT.

Funkce `fn_subshell` již v rámci subshellu, v němž bude vykonávána volaná funkce, volá

```
trap "${SUBSHELL_FN_TRAP}" EXIT
```

²Nelze se spolehnout na to, že shell, v němž budou funkce skriptu vykonávány bude nastaven stejně a proto je zapotřebí jej explicitně nastavit.

⁴Proto návratová hodnota „volané funkce“ představuje návratovou hodnotu celého subshellu. Přenos návratové hodnoty je tak navenek „transparentní“.

⁵To dlouho neplatilo až tak docela. Funkce `fn_subshell` měnila volby různé oproti výchozímu nastavení. Lepším řešením však je nastavení všech voleb, neboť není možné předjímat, jaké má uživatel, který ji spustil, výchozí nastavení shellu. Ve finální verzi skriptu bylo toto napraveno.

⁶Nastavení se do subshellu z rodičovského shellu totiž nedědí.

⁷Dočasným adresářem bývá zpravidla adresář `/tmp`.

čímž říká, že při ukončování aktuálního shellu nechť je volán příkaz/funkce, jehož jméno je uloženo v `${SUBSHELL_FN_TRAP}`. V této proměnné je uložen název funkce provádějící úklid. Při ukončení shellu, v němž volaná funkce běžela (či běží) přichází standardně signál EXIT. Funkce `fn_subshell` změnil výchozí stav, kdy se nevolá žádný příkaz, na stav, kdy je volána funkce `fn_trap_exit`, která smaže adresář, jehož jméno je uloženo v proměnné `${TMPDIR}`. Vzhledem k tomu, že strom adresářů s dočasnými soubory kopíruje strom volání funkcí, je při selhání kterékoliv funkce v rámci stromu smazán všechen obsah jí vytvořený včetně obsahu vytvořeného jejími potomky.

5. Nastavení volání při zachycení signálu ERR.

Signál ERR přichází při prvním nenulovém návratovém kódu vyskytnuvšího se ve vykonávání⁸. Funkce `fn_subshell` nastavuje jako reakci na tento signál volání funkce `fn_trap_err`. Tato funkce je tak volána po každé, když vykonávání v shellu skončí nenulovým návratovým kódem některého z příkazů.

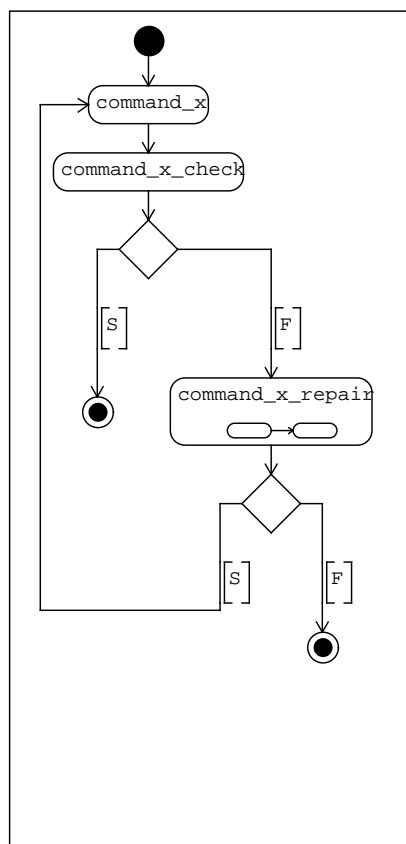
Příkaz volaný prostřednictvím funkce `fn_subshell` tak oproti příkazu volanému přímo

- neponechá v externí paměti žádné zapomenuté dočasné soubory,
- skončí při prvním výskytu nenulového návratového kódu,
- bude mít jasně definované podmínky dané mu nastavením atributů shellu
- a při nezdárném konci budou vypsané na `/dev/stderr` poslední tři volání vedoucí v zásobníku volání k selhávajícímu příkazu.

12.2.2 Implementované funkce

Funkce implementované ve Skriptu jsou opatřeny komentáři. Čtenář si je může prohlédnout v souboru `/script/proc` umístěném na příloženém CD. Většinou se jedná o funkce natolik rozsáhlé, že by nebylo vhodné je zde prezentovat nebo naopak tak drobné, že jejich ukázka by se bez dlouhosáhlého popisu kontextu tvořeného ostatními funkcemi neobešla.

12.3 Uživatelská



Obrázek 12.2: Základní blok pipeline získávající hodnotu

⁹Za předpokladu, že je shellu předtím nastaven atribut `err_exit`.

Skript provádějící testování – /prog – sestává z množiny funkcí, které je pochopitelně možné přímo spouštět. U většiny z nich to však nemá význam, neboť jejich spuštění zpravidla předpokládá existenci „kontextu“ – např. přítomnost souborů na určitých adresách FS či předchozí nastavení proměnných. Předpokládá se, že jakákoliv činnost, k níž skript poskytuje prostředky, bude uživatelem vyvolána voláním funkce `_main()` s příslušnými parametry. Výčet těchto parametrů je uveden v tabulce 12.2. Funkce programem používané lze buďto importovat do shellu či spustit v samostatném shellu – viz příkazy 12.2.

```
$ . prog           # import definic funkcí do aktuálního shellu
$ _main -h        # spuštění funkce '_main' s parametrem vynucujícím vypsání nápovědy
$ ./prog _main -h # totéž, avšak v samostatném shellu (subshellu)
```

Příkaz/y 12.2: Příkazy iniciující chod programu. V tomto případě pouze vypsání nápovědy k ovládání programu.

12.3.1 Konfigurační soubor

```
[section1]
option1 = value1
option2 = value2
# comment

[section2]
option1 = value3
```

Konfigurace 12.1: Syntaxe skriptem používaného konfiguračního souboru

Skript `_prog` ke svému běhu vyžaduje přítomnost konfiguračního souboru, neboť výhradně prostřednictvím něj¹⁰ lze Skriptu zadat většinu parametrů, dle kterých potom koná. Používá formát INI, jehož syntaxe je naznačena v konfiguraci 12.1. Každé přiřazení umístěné v konfiguračním souboru je transformováno v přiřazení hodnoty do lokální proměnné v jazyce BASH. Sekce obsažené v konfiguračním souboru lze rozlišit na

- **sekce nesoucí obecné konfigurace a**

Pojmenování těchto sekcí nezačíná číslem. Sekce `[configurations]` obsahuje množinu všech možných pojmenování konfigurací systému. Ta je používána pro prevenci zadání chybných pojmenování. Sekce `[script-settings]` obsahuje nastavení, která jsou globální napříč celým Skriptem čili pro všechna měření.

- **sekce nesoucí konfigurace určené ke zřetězení.**

Pojmenování těchto sekcí začíná číslem. Příklad sekce nesoucí konfiguraci ke zřetězení je vyobrazen v konfiguraci 12.2. Číslo v jejím názvu je podstatné. Udává totiž pořadí, v jakém se budou jednotlivé sekce nesoucí konfigurace určené ke zřetězení respektive konfigurace jimi nesené aplikovat.

```
[1100,iperf_local]
run_on           = tested
counterparty     = local
SERVERNODE       = localhost
```

Konfigurace 12.2: Příklad sekce nesoucí konfiguraci ke zřetězení

Na přiloženém CD se nachází konfigurační soubor v podobě, v jaké byl použit při získávání dat uvedených v tomto dokumentu.

12.3.1.1 Sdílení hodnot mezi měřeními

Při návrhu skriptu vyvstal **problém sdílení hodnot mezi jednotlivými měřeními**, neb měření se mnohdy liší jen v drobných detailech jako je např. použitý přenosový protokol. Cílem bylo vymyslet způsob, jak co nejjednodušeji sdílet různá nastavení různých měření. Po neúspěšných pokusech s asociativními poli bylo nalezeno prosté řešení. Toto řešení je postavené na skutečnosti, že každé nastavení hodnoty proměnné přepíše dřívější nastavení její hodnoty. Proto jsou konfigurace uspořádány do hierarchické struktury číselných hodnot zapisovaných v desítkové soustavě a aplikuje se nad nimi následující postup:

¹¹Toto řešení se záhy ukázalo jako dostatečně nepružné. Požadavek na změnu souboru při každém nepatrném ladění parametrů byl navýsost život otravující. Lépe by zřejmě bylo interně implementovat transformaci záznamů v INI souboru do podoby parametrů příkazu, kde parametry vygenerované z obsahu INI souboru by měly nižší prioritu nežli parametry předané klasickou cestou. Například by byly jen uvedeny dříve a proto jimi prováděné změny by mohly být pozdějšími řádnými parametry předefinovány. Leč toto nebylo promyšleno dostatečně včas a na pozdější úpravy již nebyl čas.

Nechť x je číslo měření, které má být vykonáno.

1. Aplikují se všechna přiřazení ze sekce s pořadovým číslem 0.
2. Aplikují se všechna přiřazení ze sekce s nejmenším pořadovým číslem s toutéž hodnotou nejvyššího řádu, jako má číslo x a zároveň s pořadovým číslem menším x .
3. Právě aplikovaná sekce se v příštím kroku ignoruje. Neexistuje-li žádná další konfigurace, která by se mohla v bodě 2 aplikovat, potom se pokračuje bodem 4. Jinak se pokračuje se bodem 2.
4. Aplikují se všechna přiřazení ze sekce s pořadovým číslem x ¹².

Mimo nečíslovaných sekci konfigurační soubor obsahuje dva typy sekcí číslovaných:

koncové sekce a

Jejich číselný kód vždy končí nenulovou cifrou. Představují poslední konfiguraci ve zřetězení konfigurací. V nich obsažené nastavení voleb má nejvyšší možnou prioritu.

konfigurační sekce.

Jejich číselný kód končí nulovou cifrou. Představují konfigurace na začátku/uprostřed řetězce konfigurací. Nastavení voleb v nich obsažené není definitivní, čili může být přepsáno v konfiguracích s vyšší prioritou.

Dejme tomu, že v konfiguračním souboru jsou přítomny konfigurace 0, 1, 1000, 1010, 1100, 1101, 1102. Při požadavku na provedení testu 1102 se aplikují konfigurace v tomto pořadí:

1. 0 – výchozí konfigurace
se aplikuje vždy pro každé měření,
2. 1000 – obecná konfigurace pro testy iperf
se aplikuje jako druhá, neboť má tentýž nejvyšší řád a zároveň je nejmenší,
3. 1100 – obecná konfigurace pro iperf na lokálním stroji
se aplikuje jako třetí, neboť má tentýž druhý nejvyšší řád a zároveň je nejmenší,
4. 1102 – konfigurace konkrétního testu
se aplikuje jako poslední a test se provede.

Jednotlivé volby obsažené v konfiguračním souboru představují potenciální definice proměnných v jazyce BASH. Skript si dle zadání postupně vybírá jednotlivé sekce a nastavuje všechny v nich obsažené proměnné. Tento princip umožnil sdílení hodnot mezi různými sekcemi. V případě skriptu `prog` je předpokládána existence sekcí `configurations` a `script-settings`. Sekce `configurations` je skriptem používána pro překlad

pojmenování konfigurace → kód konfigurace

Před prováděním každého testu se ověřuje, pro jakou konfiguraci bude daný test prováděn. Pokud pro pojmenování konfigurace (např. „original“) neexistuje kód, konfigurace není programu známa. Tímto dojde k odhalení překlepů, které by vedly k pracovním opravám v budoucím zpracování naměřených výsledků.

12.3.2 Postup práce se skriptem

Funkce skriptu `_main` poskytuje uživateli podporu od sběru hodnot přes jejich úpravu až po konečnou prezentaci. Činnost, kterou funkce `_main` započne, určuje uživatel prostřednictvím prepínačů vyjmenovaných v tabulce 12.2.

Následuje podrobnější popis jednotlivých akcí.

12.3.2.1 Akce iniciovaná prepínačem `--test`

Nejvýznamnější činností, kterou Skript vykonává je získávání výsledků, které je iniciováno prepínačem `--test`. Pro každou koncovou sekci, jejíž kód byl zadán prostřednictvím prepínače `--list` provede skript právě jedno volání funkce `fn_gen_test()`. V rámci ní se postupně volají příkazy uložené ve vybraných proměnných definovaných v konfiguraci daného testu. Tyto proměnné, vyjmenované v tabulce 12.3 a reprezentující jednotlivé úrovně zpracování měření získaných hodnot v pipeline, mohou nést

- **volání funkce definované v aktuálním prostředí,**

Funkce definované v rámci shellu, v němž probíhá testování představují vždy výchozí hodnotu v případě nenastavení proměnné. Těmito funkcemi jsou

- `default` snaží se „nedělat nic“ pouhým zkopírováním výstupu a návratové hodnoty jí předcházejícího programu/funkce v pipeline,

¹²Pokud taková neexistuje, potom měření nebude provedeno.

Přepínač	Očekávaná hodnota	Dopad na běh skriptu
-h, --help		Skript vypíše nápovědu a skončí.
--cfg	cesta ke konfiguračnímu souboru	Skript konfigurační soubor potřebuje ke každé své činnosti vyjma vypsání nápovědy a vypsání seznamu dostupných testů.
--offer		Skript vypíše seznam dostupných konfigurací (testů).
--list	seznam testů	Program vykoná všechny akce pro všechny testy uvedené v tomto seznamu. Seznam může obsahovat prvky oddělené čárkami. Těmito prvky mohou být <ul style="list-style-type: none"> čísla (např. „105“) či dvojice čísel oddělených pomlčkou (např. „108-112“). Seznam testů ve tvaru „105,108-112“ znamená požadavek na vykonání všech požadovaných akcí pro testy 105, 108, 109, 110, 111 a 112.
--confname	pojmenování konfigurace	Skript vyžaduje znát jméno konfigurace, pod kterou provádí testování. Jméno konfigurace je tak nutné pouze v případě uvedení přepínače --test.
--test		Skript provede testování všech testů ze seznamu testů.
--csv		Skript z výsledků jednotlivých testů sestaví csv soubory pro všechny testy ze seznamu testů.
--graph		Skript vygeneruje grafy z csv souborů pro všechny testy ze seznamu testů.
--tex		Skript vygeneruje výstup pro sazbu grafů a tabulek s výsledky v \LaTeX u.
--proc		Program se chová tak, jako kdyby byly zadány přepínače --csv, --graph a --tex zároveň.

Tabulka 12.2: Argumenty akceptované programem

- `default_check` provádějí testování, zda-li výstup z předchozího programu/funkce je správný či nikoliv dle zadaných přepínačů a
- `default_repair` pokoušející se o opravu chybového stavu.
- **volání spustitelného souboru dostupného v rámci FS** nebo
Do proměnných vyjmenovaných v tabulce 12.3 lze pochopitelně ukládat i volání běžných souborů ležících na FS.
- **něco úplně jiného.**
Pokud jakákoliv z proměnných vyjmenovaných v tabulce 12.3 nebude obsahovat validní volání, test skončí nezdarem.

Tabulka 12.3: Proměnné nesoucí volání vykonávané v pořadí, jakém jsou uvedeny v tabulce

Jméno proměnné	Význam volání uloženého v dané proměnné
<code>command_prepare</code>	Příprava prostředí pro test. Přípravou může být například zjištění, zda-li je přístroj dostupná (jedná-li se o test sítě) či zda-li existuje na FS soubor, který během testu existovat má čili s jehož existencí daný test počítá. <u>Výchozí hodnota:</u> <code>default</code> <u>Volání prováděno:</u> vždy
<code>command_prepare_check</code>	Zjištění, zda-li volání <code>command_prepare</code> proběhlo úspěšně. V případě nezdaru se dále volá funkce <code>command_prepare_repair</code> , aby se nezdár pokusila odstranit. ¹⁴ <u>Výchozí hodnota:</u> <code>default_check --err-ecode '[1-9]+'</code> <u>Volání prováděno:</u> vždy
↓	Pokračování tabulky na další straně.

Pokračování tabulky z předchozí strany. ↑	
Jméno proměnné	Význam volání uloženého v dané proměnné
command_prepare_repair	V případě že návratový kód funkce/program obsažený v proměnné command_prepare_check bude nenulový, bude volána funkce/program, jejíž název je uložen v proměnné command_prepare_repair. <u>Výchozí hodnota:</u> default_repair <u>Volání prováděno:</u> pouze v situaci, kdy volání uložené v command_prepare_check skončilo nezdarem
command_test	Název funkce/programu provádějící samotný sběr dat čili měření. <u>Výchozí hodnota:</u> default, nicméně nemá význam <u>Volání prováděno:</u> vždy
command_test_check	Funkce/program, jehož název je uložen v proměnné command_test_check je určena ke kontrole, zda-li testovací funkce/program z command_test proběhla správně či nikoliv. <u>Výchozí hodnota:</u> default_check --err-ecode '[1-9]+' ¹⁴ <u>Volání prováděno:</u> vždy
command_test_repair	Pokus o opravu „prostředí“ v případě, že test skončil nezdarem. <u>Výchozí hodnota:</u> default_repair <u>Volání prováděno:</u> pouze v situaci, kdy volání uložené v command_test_check skončilo nezdarem
command_clean	Úklid prostředí po testu. Volání by mělo zajistit smazání souborů vzniklých během testování na FS. <u>Výchozí hodnota:</u> default (v tomto „stavu“ se žádný úklid nekoná) <u>Volání prováděno:</u> vždy
command_clean_check	Kontrola, zda-li úklid prostředí proběhl správně. <u>Výchozí hodnota:</u> default_check --err-ecode '[1-9]+' ¹⁴ <u>Volání prováděno:</u> vždy
command_clean_repair	Pokus o opravu v případě, že úklid prostředí skončil nezdarem. <u>Výchozí hodnota:</u> default_repair <u>Volání prováděno:</u> pouze v situaci, kdy volání uložené v command_test_check skončilo nezdarem
command_postproc_crop	Volání zajišťující zpracování výstupu testu do jedné hodnoty. Cílem by mělo být vždy získání (typicky dekadického) čísla s ukončeným rozvojem. <u>Výchozí hodnota:</u> default_repair <u>Volání prováděno:</u> pouze v situaci, kdy volání uložené v command_test_check skončilo nezdarem

Konec tabulky.

Vstupy a výstupy těchto volání jsou vzájemně zřetězeny¹³ a tvoří tak v podstatě simulovanou rouru. Po provedeném testu na FS vznikne v adresáři adresářová struktura vyobrazená na obrázku 12.3.

12.3.2.2 Akce iniciovaná přepínačem --csv

Přepínač --csv předaný funkci _main způsobí, že se již naměřené hodnoty

1. převedou do požadované jednotky,

Požadovanou jednotku specifikuje uživatel v konfiguračním souboru (viz kapitola 12.3.1). Na FS již uložené hodnoty však zůstanou beze změny v původní jednotce. Převedení do jiné jednotky proběhne pouze v paměti

¹⁴ Pořadí zřetězení těchto volání je stejné jako pořadí proměnných v tabulce 12.3.

¹⁴ Při návrhu skriptu se počítalo s tím, že opravy budou různého druhu a budou spočívat v různých krocích. Nakonec jsou výsledkem tři druhy oprav: „Oprava odstraněním výsledku.“, „Oprava zásahem (lidské) obsluhy.“ a „Žádná oprava.“

¹⁴ Návrh skriptu počítal s tím, že cokoliv se „může nezdařit“ a proto skript musí být dostatečně robustní. U samotného testovacího příkazu umožněného v proměnné command_test jeho případný nezdár dává smysl a proto jsou command_test_check a command_test_repair na místě. Aby byl skript dostatečně obecný, princip „kontroly a opravy“ se rozkopíroval do všech možných úrovní včetně „přípravy prostředí“ a „úklidu prostředí“. Konfigurace těchto možností však ani zdaleka nevyužívá a obecnost při psaní skriptu zde tak je spíše na škodu a obtížnější orientaci v něm, nežli k užítku samému.

¹⁴ Díky nahraditelnosti volání lze úspěch definovat zcela jinak než jen jako „nulový návratový kód“.

¹⁴ Proměnná, jejíž hodnota je modifikovatelná prostřednictvím konfiguračního souboru.

a původní naměřené hodnoty tak nepostihně¹⁵.

2. umístí do tabulky ve formě CSV souboru,

CSV soubor takto vzniklý je umístěn v kořenovém adresáři pro výstup skriptu. Jeho pojmenování je `<testcode>.abs.csv`.

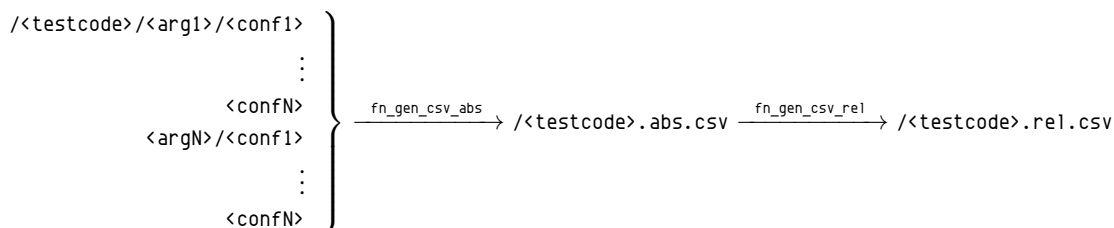
3. přepočtou na relativní vzhledem k referenční konfiguraci a

Za referenční se považuje k. `original`. Hodnoty naměřené pro ni budou v relativním svém vyjádření tak představovat vždy hodnotu 1. Hodnoty naměřené pro ostatní konfigurace budou k této hodnotě přepočteny.

4. tyto relativní umístí do druhého CSV souboru.

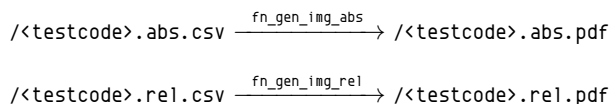
CSV soubor takto vzniklý je umístěn v kořenovém adresáři pro výstup skriptu. Jeho pojmenování je `<testcode>.rel.csv`.

Stručněji řečeno přepínač `--csv` způsobí následující:



12.3.2.3 Akce iniciovaná přepínačem `--graph`

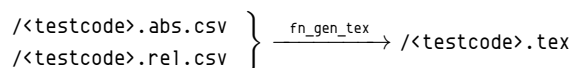
Přepínač `--graph` způsobí, že pro všechny testy vyjmenované přepínačem `--list` jsou volány funkce `fn_gen_img_abs` a `fn_gen_img_rel`, které provedou následující zobrazení:



Obě volají funkci `fn_gen_img`, která připravuje konfiguraci pro nástroj `gnuplot`, který následně volá. Jeho výstup je poté převeden z formátu SVG do formátu PDF nástrojem `convert`.

12.3.2.4 Akce iniciovaná přepínačem `--tex`

Přepínač `--tex` způsobí, že pro všechny testy vyjmenované přepínačem `--list` je volána funkce `fn_gen_tex`, která provede následující zobrazení:



Výstupem je soubor ve formátu `TEX` rozdělený na úseky oddělené vždy jedním řádkem obsahujícím zakomentovaný název následující „sekce“, např.

```

%----- table-rel
\begin{table}[ht!]
  \centering
  ...
%----- table-abs
  ...

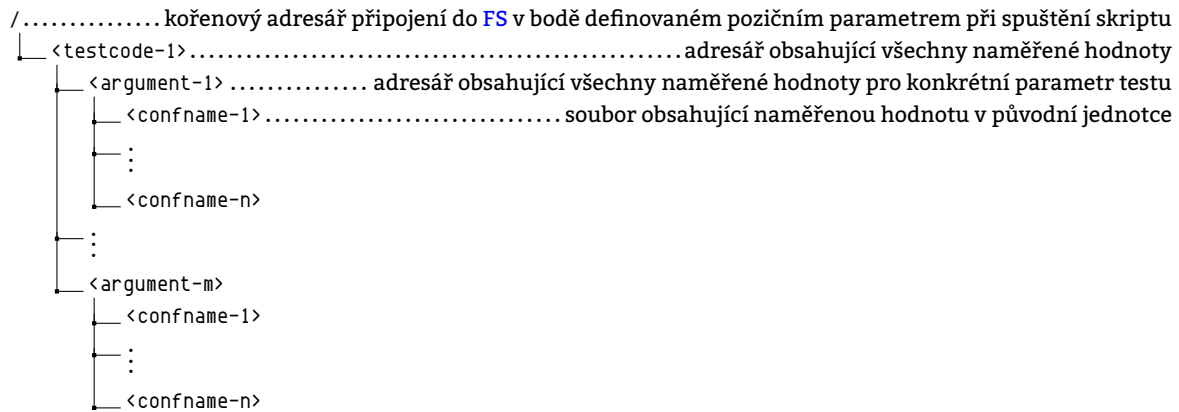
```

Jednotlivé sekce tímto postupem vzniklé následně byly vkládány do tohoto dokumentu jako některé podkapitoly (viz kapitoly 13).

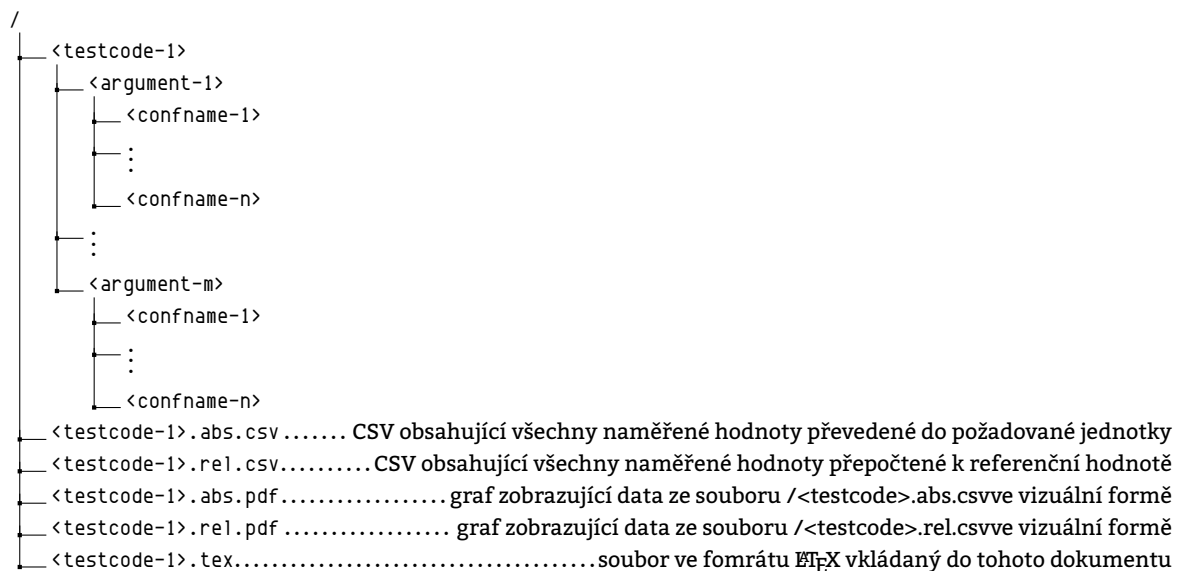
12.3.2.5 Akce `proc`

Přepínač `--proc` vyvolá tutéž reakci, jako kdyby byly funkci `_main` předány přepínače `--csv`, `--pdf` a `--tex` zároveň.

¹⁵Díky tomu je možné měnit prezentaci naměřených dat bez nutnosti opakovaného měření, neboť již jednou měřená data zůstávají stále stejná.



Obrázek 12.3: Stav FS z pohledu adresáře, do něhož jsou ukládány hodnoty získané měřením po provedení testu „<testcode-1>“ pro všechny argumenty $\langle 1, m \rangle$ v konfiguracích $\langle 1, n \rangle$



Obrázek 12.4: Stav FS z pohledu adresáře, do něhož jsou ukládány hodnoty získané měřením, po zpracování hodnot z měření vzešlých

13. Testy

Kapitola 13 prezentuje výsledky měření. Pro jejich lepší pochopení se předpokládá znalost pojmů

- **závisle proměnná veličina**,
Proměnná veličina, jejíž změny závisejí na dalších faktorech. Její hodnotu se snažíme nalézt. [Mec12]
- **nezávisle proměnná veličina** a
Proměnná veličina, která se mění nezávisle vzhledem k jiným faktorům. Manipulujeme jí záměrně. [Mec12]
- **referenční systém/konfigurace**.
Referenční systém či též referenční konfigurace systému představuje výchozí stav, vůči kterému jsou porovnávány naměřené hodnoty.

Měření jednotlivých veličin je možné provádět typicky opakovaným prováděním vlastního programu vykonávajícího určité elementární operace či specializovaného nástroje – benchmarku –, přičemž je zapotřebí

1. Zajistit neměnnost prostředí, ve kterém bude testování probíhat.
2. Stanovit veličiny, které jsou při provozu systému podstatné čili veličiny, které budou měřeny.
3. Pro každou veličinu:
 - (a) Změřit její hodnotu na systému prostém jakýchkoliv úprav čili na systému s referenční konfigurací.
 - (b) Změřit její hodnotu na systému s navrženými úpravami
 - (c) Změřit její hodnotu na témže systému s
4. Naměřené výsledky vhodně vizualizovat.

13.1 Popis měření

Každá číselná hodnota prezentovaná v tomto dokumentu jako výsledek (v grafu či tabulce) byla získána vlastním měřením. Není-li v rámci kapitoly, kde je tato hodnota prezentována uvedeno jinak, potom platí následující tvrzení:

13.1.1 Získávání hodnot

- **Hodnota je aritmetickým průměrem z 5 naměřených hodnot.**
Opatření vícenásobného měření má za cíl maximálně umenšit dopad možných odchylek při měření. 5 násobné opakování je v některých případech (13.3.1) málo a v některých případech (13.8.1) mnoho. Proto toto číslo nelze brát za konečné. Je pouze výchozím a může být pro konkrétní testy upraveno.
- **Hodnoty vzdálené od střední hodnoty o více jak 2σ jsou z výpočtů vyřazeny.**
Hodnoty měřené veličiny jsou získávány měřením, které je možné libovolně krát opakovat. Jedná se o získávání hodnot náhodné veličiny, které mohou být zatíženy chybami. Dle [17] je 95,45 % výsledků náhodně měřené veličiny ve vzdálenosti max. 2σ od její střední hodnoty. Zbylé výsledky, vzdálené od střední hodnoty o více jak 2σ , skript považuje za výsledky zatížené natolik velkou chybou, že je zahazuje a pokouší se získat další.

13.1.1.1 Postup získávání hodnot

Následující seznam zachycuje tok aktivit, tak jak je funkce `fn_gen_test` při měření veličiny X vykonává:

1. Test: Bylo získáno požadované množství hodnot?
Ano. → Přejdi na bod č. 3.
2. Získání jedné další hodnoty – běh pipeline.
Hodnota získána. → Přejdi na bod č. 1.
Hodnota nezískána. → Přejdi na bod č. 7.
3. Z množiny hodnot měřené veličiny se vypočtou
 - střední hodnota $E(X)$ čili v tomto případě aritmetický průměr ze všech hodnot měřené veličiny a
 - směrodatná odchylka σ .
4. Pro každou jednu hodnotu se provede následující:

⁰ Systém bez úprav bude v následné prezentaci výsledků figurovat jako systém referenční.

- (a) Vypočte se maximální přípustná vzdálenost jedné hodnoty náhodné veličiny X od střední hodnoty této veličiny $E(X)$.
- vstup: $E(X)$, σ , hodnota zadaná v `{threshold_coeficient}`¹⁴
 - výstup: hodnota leží/neleží v přípustné vzdálenosti
- (b) Test: Leží hodnota v přípustné vzdálenosti?
- Ne. → Hodnota se označí jako invalidní. V případě, že se v budoucnu nezmění střední hodnota, nebude s ní již dále počítáno.
- Ano. → Hodnota se v množině naměřených hodnot ponechá.
5. Test: Je v množině naměřených hodnot požadované množství hodnot?
- Ne. → Přejdi na bod č. 2.
6. Test byl vykonán úspěšně.
7. Test selhal. Na FS žádný výsledek uložen není.

13.1.2 Porovnávání hodnot

Hodnoty **nezávisle proměnné veličiny** se získávají pro různé *konfigurace testovaného prostředí* (viz kapitola 11.3). Takto získané uspořádané dvojice

(hodnota nezávisle proměnné veličiny, konfigurace testovaného prostředí)

se následně vůči sobě porovnávají. Porovnání je relativní. Pro porovnání je nutné, aby byla získána hodnota pro referenční konfiguraci, to jest pro konfiguraci prostou všech úprav – konfiguraci „original“. Naměřené absolutní hodnoty jsou převedeny na koeficienty vyjadřující změnu oproti absolutní hodnotě naměřené v konfiguraci „original“.

Konfigurace original je stav měřeného prostředí, ve kterém je na STROJI XENMV jádro ve verzi.

Pro všechna uskutečněná měření platí,

- že navzájem porovnávaná měření probíhají za „týchž podmínek“ a
- že srovnání hodnot naměřených ukazatelů je vždy relativní vzhledem k referenci.

Je zřejmé, že absolutně tytéž podmínky není možné zaručit. Na testovacích strojích **metalist** a **xenmv** se během testování žádná činnost nesouvisející s měřením nevyvíjí. Určitou nestabilitu měřeného prostředí může přinést síťové spojení, které není v moci měření provádějící osoby.

13.2 Nástroje použité pro testování

Verze jednotlivých nástrojů použitých pro testování jsou uvedeny v tabulce 13.1.

Nástroj	Verze	Původ
iperf	2.0.5+dfsg1-2	Balíček <code>iperf</code> z repozitáře OS Debian 8.6.
ping	2:1.9.2.39.3a460-3	Balíček <code>inetutils-ping</code> z repozitáře OS Debian 8.6.
lmbench	3	Stažen z adresy http://www.bitmover.com/lmbench/lmbench3.tar.gz . Následně rozbalen a zkompileován. Výsledkem kompilace více samostatných binárních souborů provádějících testování.
unixbench	5.1.2	Stažen z adresy http://github.com/kdlucas/byte-unixbench . Následně rozbalen a zkompileován. Výsledkem kompilace více samostatných binárních souborů provádějících testování.
qperf	0.4.9	Stažen z adresy https://www.openfabrics.org/downloads/qperf/qperf-0.4.9.tar.gz . Následně rozbalen a zkompileován. Výstupem kompilace je jeden spustitelný soubor <code>qperf</code> , který zastane jak serverovou, tak i klientskou roli.
sysbench	0.4.12	Balíček <code>sysbench</code> z repozitáře OS Debian 8.6.

Tabulka 13.1: Verze nástrojů použitých pro testování

13.3 Testy nástrojem ping

13.3.1 Test ping

Test `ping` měří dobu od odeslání zprávy protistraně do přijetí odpovědi, čili obousměrné zpoždění. Nezávisle proměnnou je velikost datové části `ICMP` paketu. Testováno je od velikosti datové části 16 B, neboť právě to je minimální velikost, při které nástroj `ping` podá informaci o zpoždění. Je měřeno obousměrné zpoždění `ICMP` Echo Request/Reply paketů.

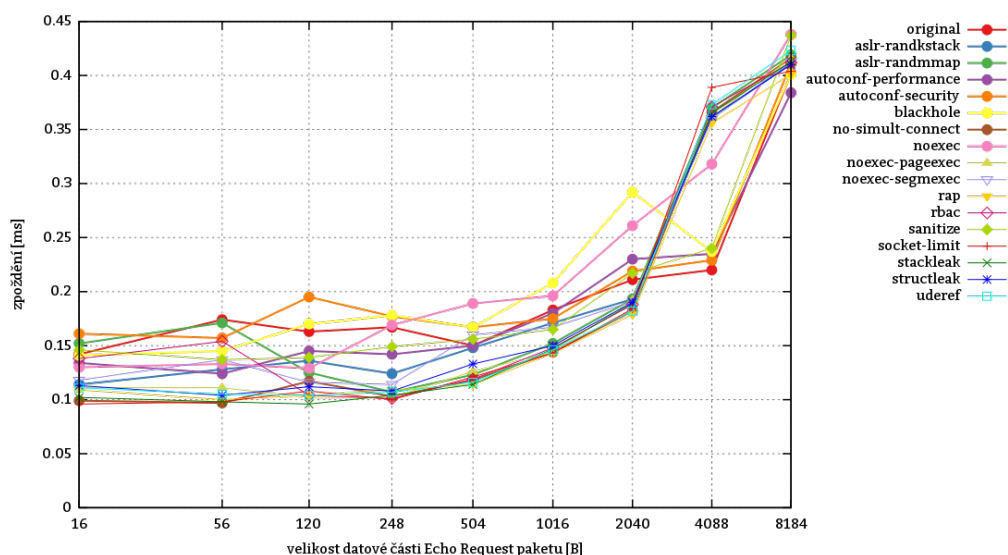
NZPV (x)	velikost datové části Echo Request paketu
jednotka NZPV	B
ZPV (y)	zpoždění
jednotka ZPV	ms
počet opakování měření	15
počítač spouštějící testovací příkaz	metalist
testovací příkaz	<code>ping -c 15 -s \${X} xenmv</code>

Tabulka 13.2: Charakteristiky testu `ping`

13.3.1.1 Naměřené hodnoty pro jednotlivé konfigurace

měřená konfigurace	velikost datové části Echo Request paketu [B]									
	16	56	120	248	504	1016	2040	4088	8184	
original	0,142	0,174	0,163	0,167	0,15	0,183	0,211	0,22	0,402	
aslr-randkstack	0,114	0,128	0,136	0,124	0,148	0,171	0,193	0,361	0,411	
aslr-randmmap	0,152	0,171	0,125	0,107	0,123	0,152	0,193	0,37	0,419	
autoconf-performance	0,134	0,124	0,145	0,142	0,15	0,18	0,23	0,235	0,384	
autoconf-security	0,161	0,157	0,195	0,177	0,167	0,175	0,219	0,229	0,411	
blackhole	0,141	0,145	0,17	0,178	0,167	0,208	0,292	0,237	0,401	
no-simult-connect	0,099	0,097	0,117	0,103	0,118	0,144	0,182	0,366	0,416	
noexec	0,13	0,133	0,129	0,169	0,189	0,196	0,261	0,318	0,438	
noexec-pageexec	0,111	0,111	0,102	0,102	0,126	0,144	0,192	0,362	0,416	
noexec-segmexec	0,118	0,137	0,116	0,114	0,16	0,167	0,191	0,36	0,413	
rap	0,109	0,1	0,104	0,109	0,114	0,143	0,179	0,356	0,401	
rbac	0,138	0,154	0,104	0,101	0,119	0,148	0,188	0,371	0,412	
sanitize	0,146	0,137	0,139	0,149	0,156	0,165	0,217	0,24	0,437	
socket-limit	0,096	0,098	0,108	0,1	0,121	0,143	0,184	0,389	0,404	
stackleak	0,102	0,098	0,096	0,104	0,114	0,147	0,189	0,365	0,413	
structleak	0,113	0,104	0,112	0,108	0,133	0,15	0,19	0,362	0,41	
uderef	0,111	0,105	0,104	0,107	0,116	0,146	0,182	0,373	0,423	

Tabulka 13.3: Absolutní srovnání konfigurací

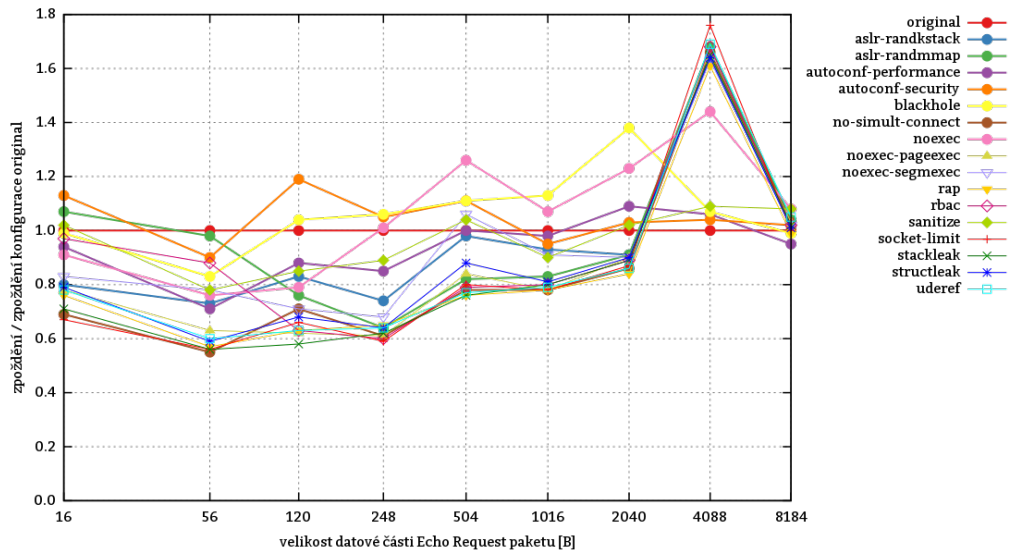


Obrázek 13.1: Absolutní srovnání konfigurací

13.3.1.2 Srovnání konfigurací

měřená konfigurace	velikost datové části Echo Request paketu [B]									průměr
	16	56	120	248	504	1016	2040	4088	8184	
original	1	1	1	1	1	1	1	1	1	1
aslr-randkstack	0,8	0,73	0,83	0,74	0,98	0,93	0,91	1,64	1,02	0,95
aslr-randmmap	1,07	0,98	0,76	0,64	0,82	0,83	0,91	1,68	1,04	0,97
autoconf-performance	0,94	0,71	0,88	0,85	1	0,98	1,09	1,06	0,95	0,94
autoconf-security	1,13	0,9	1,19	1,05	1,11	0,95	1,03	1,04	1,02	1,04
blackhole	0,99	0,83	1,04	1,06	1,11	1,13	1,38	1,07	0,99	1,06
no-simult-connect	0,69	0,55	0,71	0,61	0,78	0,78	0,86	1,66	1,03	0,85
noexec	0,91	0,76	0,79	1,01	1,26	1,07	1,23	1,44	1,08	1,06
noexec-pageexec	0,78	0,63	0,62	0,61	0,84	0,78	0,9	1,64	1,03	0,87
noexec-segmexec	0,83	0,78	0,71	0,68	1,06	0,91	0,9	1,63	1,02	0,94
rap	0,76	0,57	0,63	0,65	0,76	0,78	0,84	1,61	0,99	0,84
rbac	0,97	0,88	0,63	0,6	0,79	0,8	0,89	1,68	1,02	0,91
sanitize	1,02	0,78	0,85	0,89	1,04	0,9	1,02	1,09	1,08	0,96
socket-limit	0,67	0,56	0,66	0,59	0,8	0,78	0,87	1,76	1	0,85
stackleak	0,71	0,56	0,58	0,62	0,76	0,8	0,89	1,65	1,02	0,84
structleak	0,79	0,59	0,68	0,64	0,88	0,81	0,9	1,64	1,01	0,88
uderef	0,78	0,6	0,63	0,64	0,77	0,79	0,86	1,69	1,05	0,86

Tabulka 13.4: Relativní srovnání konfigurací vůči referenční konfiguraci original



Obrázek 13.2: Relativní srovnání konfigurací vůči referenční konfiguraci original

13.3.1.3 Zhodnocení testu

Většina `Grsec` úprav snižuje odezvu `ICMP` paketů do velikosti cca 2048 B složeného z následujících komponent:

$$\begin{array}{rclcl} \text{ICMP paket} = & & \text{IP hlavička} + & & \text{ICMP hlavička} + & & \text{ICMP data} \\ 2048 = & & 20 + & & 8 + & & 2040 \end{array}$$

Příkazem `ifconfig` bylo zjištěno, že MTU přímo připojené sítě je 1500. Na obrázku 13.2 patrný zlom v hodnotě 2040 B tak s fragmentací IP paketu nesouvisí. Rozdíly mohou být dány do značné míry různými časy, kdy probíhaly testy jednotlivých konfigurací. Poněkud lepší výsledky autor očekával od konfigurací obsahujících aktivované volby modifikující síťový zásobník. Kupříkladu konfigurace `blackhole`, která deaktivuje odpovědi z portů na nichž nikdo nenaslouchá (viz kapitola 9.19) se však umístila spíše hůře.

Z testů 13.5.1, 13.5.2 či 13.4.2 vyplývá, že propustnost spoje je dostatečná. Růstová tendence je patrná. Vzhledem k tomu, že se jedná o měření veličiny silně závislé na prostředí sítě, lze rozdíly jednotlivých konfigurací částečně svalit na nestálost testovaného prostředí (NMMP), nicméně hlavní chyba v tomto případě je patrně již v samotném měření a to v nedostatečně velkém statistickém vzorku.

13.4 Testy nástrojem iperf

`Iperf` je nástroj k měření propustnosti komunikačního kanálu mezi dvěma počítači. Program může běžet buďto v serverovém či v klientském režimu. Během testu komunikují vždy právě dvě instance programu běžící v nestejném režimu. Prostřednictvím `TCP` či `UDP` se snaží přenést co největší objem dat. Server naslouchá standardně na všech dostupných adresách na portu 5001. Tabulka 13.5 vysvětluje význam jednotlivých argumentů předávaných nástroji `iperf` v rámci testů uvedených v této kapitole.

Parametr	Význam
<code>--parallel</code>	počet paralelně prováděných přenosů (výsledkem je vždy součet jejich propustností)
<code>--time</code>	doba trvání testu (v sekundách)
<code>--reportstyle</code>	ovlivnění výstupu nástroje <code>iperf</code> (typicky je požadován formát CSV pro snadné strojové zpracování)
<code>--client</code>	jméno protistrany čili počítače, na kterém běží serverová část nástroje <code>iperf</code>
<code>--udp</code>	volba přenosového protokolu <code>UDP</code> (namísto výchozího <code>TCP</code>)
<code>--bandwidth</code>	omezení generovaného toku (má smysl pouze při použití přenosového protokolu <code>UDP</code>)

Tabulka 13.5: Parametry příkazu `iperf`

13.4.1 Test `iperf_local_tcp`

Test propustnosti síťového zásobníku testovaného počítače n TCP spojeními zároveň. Měřena je propustnost pouze v jednom směru TCP spoje. Obě zúčastněné strany běží na téže počítači – na `xenmv`. Jedno měření trvá 10 s.

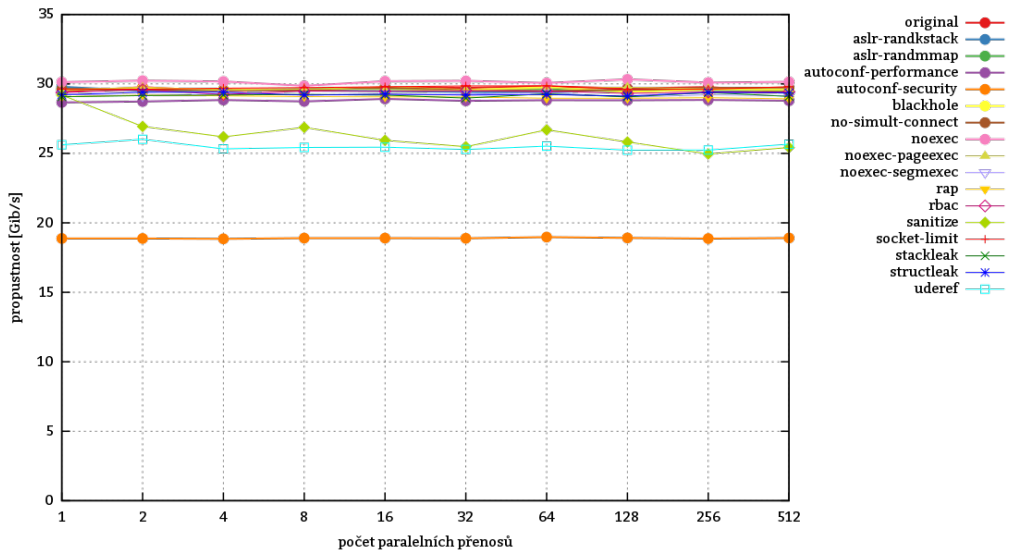
NZPV (x)	počet paralelních přenosů
jednotka NZPV	není (bezrozměrná veličina)
ZPV (y)	propustnost
jednotka ZPV	Gib/s
počet opakování měření	7
počítač spouštějící testovací příkaz	xenmv
testovací příkaz	<code>iperf --parallel $\\$X$ --time 10 --reportstyle c -w 416K --client ↵ localhost</code>
počítač spouštějící pomocný příkaz	metalist
pomocný příkaz	<code>iperf -s</code>

Tabulka 13.6: Charakteristiky testu `iperf_local_tcp`

13.4.1.1 Naměřené hodnoty pro jednotlivé konfigurace

měřená konfigurace	počet paralelních přenosů										
	1	2	4	8	16	32	64	128	256	512	
original	29,43	29,76	29,48	29,61	29,74	29,71	29,83	29,67	29,77	29,42	
aslr-randkstack	29,79	29,50	29,56	29,52	29,48	29,42	29,38	29,60	29,53	29,36	
aslr-randmmap	29,65	29,55	29,56	29,63	29,65	29,55	29,61	29,43	29,62	29,50	
autoconf-performance	28,66	28,73	28,84	28,73	28,92	28,78	28,83	28,82	28,85	28,79	
autoconf-security	18,87	18,87	18,84	18,90	18,89	18,88	18,97	18,91	18,86	18,90	
blackhole	29,55	29,70	29,59	29,57	29,75	29,57	29,75	29,43	29,58	29,58	
no-simult-connect	29,63	29,59	29,54	29,52	29,73	29,54	29,47	29,59	29,71	29,72	
noexec	30,12	30,23	30,17	29,86	30,19	30,21	30,06	30,32	30,09	30,14	
noexec-pageexec	29,58	29,76	29,51	29,64	29,60	29,53	29,67	29,76	29,64	29,64	
noexec-segmexec	29,25	29,13	29,28	29,19	29,21	29,26	29,37	29,05	29,21	29,15	
rap	29,07	29,19	29,14	29,08	29,06	29,05	28,97	28,97	29,01	28,92	
rbac	29,38	29,57	29,24	29,48	29,47	29,50	29,48	29,31	29,41	29,43	
sanitize	29,19	26,93	26,19	26,87	25,93	25,48	26,68	25,82	24,95	25,42	
socket-limit	29,63	29,61	29,69	29,73	29,79	29,85	29,85	29,60	29,61	29,79	
stackleak	29,07	29,16	29,19	29,24	29,19	28,97	29,28	29,06	29,38	29,10	
structleak	29,22	29,39	29,40	29,20	29,27	29,20	29,23	29,13	29,37	29,35	
uderef	25,62	26,01	25,32	25,42	25,44	25,28	25,51	25,23	25,24	25,66	

Tabulka 13.7: Absolutní srovnání konfigurací

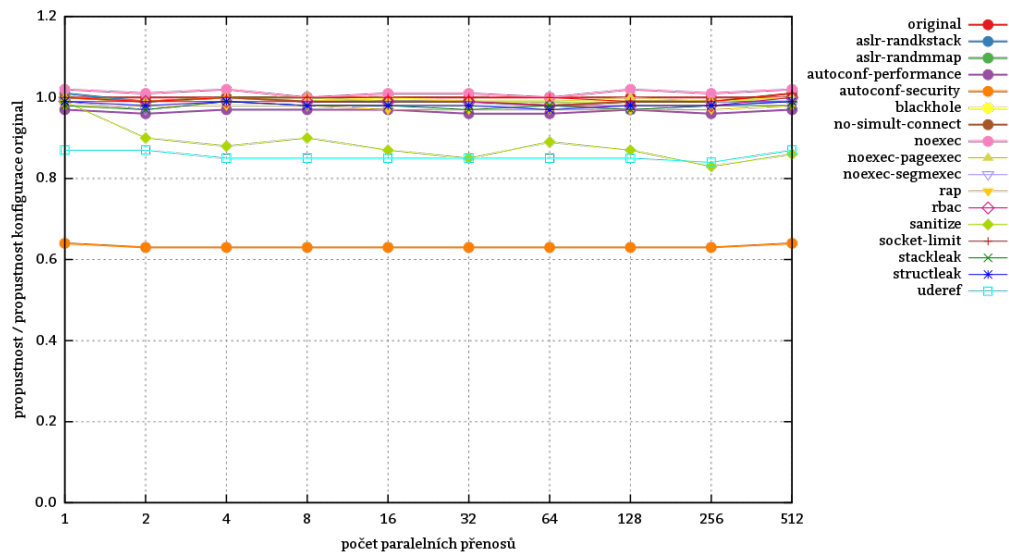


Obrázek 13.3: Absolutní srovnání konfigurací

13.4.1.2 Srovnání konfigurací

měřená konfigurace	počet paralelních přenosů											průměr
	1	2	4	8	16	32	64	128	256	512		
original	1	1	1	1	1	1	1	1	1	1	1	1
aslr-randkstack	1,01	0,99	1	0,99	0,99	0,99	0,99	0,98	0,99	0,99	0,99	0,99
aslr-randmmap	1	0,99	1	1	0,99	0,99	0,99	0,99	0,99	0,99	1	0,99
autoconf-performance	0,97	0,96	0,97	0,97	0,97	0,96	0,96	0,96	0,97	0,96	0,97	0,96
autoconf-security	0,64	0,63	0,63	0,63	0,63	0,63	0,63	0,63	0,63	0,63	0,64	0,63
blackhole	1	0,99	1	0,99	1	0,99	0,99	0,99	0,99	0,99	1	0,99
no-simult-connect	1	0,99	1	0,99	0,99	0,99	0,99	0,98	0,99	0,99	1,01	0,99
noexec	1,02	1,01	1,02	1	1,01	1,01	1	1,02	1,01	1,02	1,02	1,01
noexec-pageexec	1	0,99	1	1	0,99	0,99	0,99	1	0,99	1	1	0,99
noexec-segmexec	0,99	0,97	0,99	0,98	0,98	0,98	0,98	0,98	0,97	0,98	0,99	0,98
rap	0,98	0,98	0,98	0,98	0,97	0,97	0,97	0,97	0,97	0,97	0,98	0,97
rbac	0,99	0,99	0,99	0,99	0,99	0,99	0,98	0,98	0,98	0,98	1	0,98
sanitize	0,99	0,9	0,88	0,9	0,87	0,85	0,89	0,87	0,83	0,86	0,86	0,88
socket-limit	1	0,99	1	1	1	1	1	1	0,99	0,99	1,01	0,99
stackleak	0,98	0,97	0,99	0,98	0,98	0,97	0,98	0,97	0,98	0,98	0,98	0,97
structleak	0,99	0,98	0,99	0,98	0,98	0,98	0,97	0,98	0,98	0,98	0,99	0,98
uderef	0,87	0,87	0,85	0,85	0,85	0,85	0,85	0,85	0,85	0,84	0,87	0,85

Tabulka 13.8: Relativní srovnání konfigurací vůči referenční konfiguraci original



Obrázek 13.4: Relativní srovnání konfigurací vůči referenční konfiguraci original

13.4.1.3 Zhodnocení testu

Test je sice prvoplánově cílen na síť, ale **testovaným subjektem se stala hlavní paměť**, jejíž propustnost – až cca 30 Gib/s – se projevila jako úzké hrdlo bránící TCP paketům plynout rychleji. **Propustnost při použití Grsecurity** vyjma konfigurací `uderef`, `sanitize` a `autoconf-security` prakticky **neklesala**. Na síťové prostředí orientovaná konfigurace `no-simult-connect` test prakticky nemohla ovlivnit. Potlačuje totiž možnost souběžně navazovat spojení a v daném testu se spojení vytváří pouze jednou a pak se již jen používá po celou dobu trvání testu. Dopad na propustnost TCP čili v tomto konkrétním případě na propustnost hlavní paměti test prokázal konfiguracím `uderef`, `sanitize` a `autoconf-security`. Jedinou podstatnou volbou, kterou konfigurace `sanitize` obsahuje je `PAX_MEMORY_SANITIZE` (viz kapitola 9.13). Fyzické mazání obsahu dealokovaných paměťových stránek způsobuje propad propustnosti hlavní paměti o průměrně 12 %. Volba `PAX_MEMORY_UDEREF` (viz kapitola 9.5.2) zachází s výkonnostní penalizací až na 15 %. No a konečně konfigurace `autoconf-security` mimo jiné obě tyto volby obsahuje a systém jí postižený je od referenčního systému vzdálen, co se týče výkonnosti, o průměrných 37%. Test jednoznačně ukázal, že **v systémech, kde je propustnost paměti kritická, není příliš vhodné volit volby `PAX_MEMORY_SANITIZE` a `PAX_MEMORY_UDEREF`**. Ostatní volby propustnost paměti nelimitují.

13.4.2 Test `iperf_remote_tcp`

Test jednosměrné propustnosti proudu dat protokolem TCP. Délka trvání testu je 10 s. Do testu jsou zapojeny dva počítače: `xenmv` na němž běží serverová instance programu `iperf` a `metalist` provozující instanci klientskou.

NZPV (x)	počet paralelních přenosů
jednotka NZPV	není (bezrozměrná veličina)
ZPV (y)	propustnost
jednotka ZPV	Gib/s
počet opakování měření	7
počítač spouštějící testovací příkaz	metalist
testovací příkaz	<code>iperf --parallel $\\${X}$ --time 10 --reportstyle c -w 416K --client ↵ xenmv</code>
počítač spouštějící pomocný příkaz	xenmv
pomocný příkaz	<code>iperf -s</code>

Tabulka 13.9: Charakteristiky testu `iperf_remote_tcp`

13.4.2.1 Naměřené hodnoty pro jednotlivé konfigurace

měřená konfigurace	počet paralelních přenosů									
	1	2	4	8	16	32	64	128	256	512
original	0,876	0,876	0,876	0,876	0,876	0,876	0,876	0,876	0,876	0,876
aslr-randkstack	0,876	0,876	0,876	0,876	0,876	0,876	0,876	0,876	0,876	0,876
aslr-randmmap	0,876	0,876	0,876	0,876	0,876	0,876	0,876	0,876	0,876	0,876
autoconf-performance	0,876	0,876	0,876	0,876	0,876	0,876	0,876	0,876	0,876	0,876
autoconf-security	0,876	0,876	0,876	0,876	0,876	0,876	0,876	0,876	0,876	0,876
blackhole	0,876	0,876	0,876	0,876	0,876	0,876	0,876	0,876	0,876	0,876
no-simult-connect	0,876	0,876	0,876	0,876	0,876	0,876	0,876	0,876	0,876	0,876
noexec	0,876	0,876	0,876	0,876	0,877	0,876	0,876	0,876	0,876	0,876
noexec-pageexec	0,876	0,876	0,876	0,876	0,876	0,876	0,876	0,876	0,876	0,876
noexec-segmexec	0,876	0,876	0,876	0,876	0,876	0,876	0,876	0,876	0,876	0,876
rap	0,878	0,878	0,878	0,878	0,878	0,878	0,878	0,878	0,878	0,878
rbac	0,876	0,876	0,876	0,876	0,876	0,876	0,876	0,876	0,876	0,876
sanitize	0,878	0,878	0,878	0,878	0,878	0,878	0,878	0,878	0,878	0,878
socket-limit	0,876	0,876	0,876	0,876	0,876	0,876	0,876	0,876	0,876	0,876
stackleak	0,876	0,876	0,876	0,876	0,876	0,876	0,876	0,876	0,877	0,876
structleak	0,876	0,876	0,876	0,876	0,876	0,876	0,876	0,876	0,876	0,876
uderef	0,876	0,876	0,876	0,876	0,876	0,876	0,876	0,876	0,876	0,876

Tabulka 13.10: Absolutní srovnání konfigurací

13.4.2.2 Srovnání konfigurací

měřená konfigurace	počet paralelních přenosů										průměr
	1	2	4	8	16	32	64	128	256	512	
original	1	1	1	1	1	1	1	1	1	1	1
aslr-randkstack	1	1	1	1	1	1	1	1	1	1	1
aslr-randmmap	1	1	1	1	1	1	1	1	1	1	1
autoconf-performance	1	1	1	1	1	1	1	1	1	1	1
autoconf-security	1	1	1	1	1	1	1	1	1	1	1
blackhole	1	1	1	1	1	1	1	1	1	1	1
no-simult-connect	1	1	1	1	1	1	1	1	1	1	1
noexec	1	1	1	1	1	1	1	1	1	1	1
noexec-pageexec	1	1	1	1	1	1	1	1	1	1	1
noexec-segmexec	1	1	1	1	1	1	1	1	1	1	1
rap	1	1	1	1	1	1	1	1	1	1	1
rbac	1	1	1	1	1	1	1	1	1	1	1
sanitize	1	1	1	1	1	1	1	1	1	1	1
socket-limit	1	1	1	1	1	1	1	1	1	1	1
stackleak	1	1	1	1	1	1	1	1	1	1	1
structleak	1	1	1	1	1	1	1	1	1	1	1
uderef	1	1	1	1	1	1	1	1	1	1	1

Tabulka 13.11: Relativní srovnání konfigurací vůči referenční konfiguraci original

13.4.2.3 Zhodnocení testu

Všechny konfigurace v testu dopadly podobně a to natolik, že v tabulce 13.10 díky zaokrouhlení není zřetelný na-prosto žádný rozdíl. Na rozdíl od testu v kapitole 13.4.1 zde jako úzké hrdlo nefiguruje **hlavní paměť**, nýbrž nejslabší článek spoje (viz kapitola 11.1), který má přenosovou kapacitu natolik nízkou, že **nároky kladené na výkonnost systému byly dostatečně malé na to, aby nebyl nikdy svou konfigurací limitován**. Přenosová rychlost 0,876 Gib/s čili 0,94 Gb/s koresponduje i s maximální teoretickou propustností spoje 1 Gb/s dle kapitoly 11.1.

13.5 Testy nástrojem qperf

qperf je nástroj pro zjišťování parametrů síťových spojů, který v době měření nebyl součástí standardního repozitáře pro Debian 8. qperf k měření vyžaduje vždy běh dvou svých instancí. Měřeno je vždy jednosměrné zpoždění či jednosměrná propustnost vždy ve směru klient → server.

13.5.1 Test qperf_local_bw_tcp

Test qperf_local_bw_tcp zjišťuje jednosměrnou propustnost síťového subsystému při použití protokolu TCP. Testu se účastní dvě instance programu qperf – jedna v roli serveru přijímajícího data a druhá v roli klienta. Test trvá 10 s.

měřená veličina	propustnost
jednotka měřené veličiny	Gb/s
počet opakování měření	7
počítač spouštějící testovací příkaz	xenmv
testovací příkaz	qperf 127.0.0.1 --precision 10 --time 10 --unify_units ↪ --use_bits_per_sec tcp_bw
počítač spouštějící pomocný příkaz	metalist
pomocný příkaz	qperf

Tabulka 13.12: Charakteristiky testu qperf_local_bw_tcp

13.5.1.1 Naměřené hodnoty pro jednotlivé konfigurace

měřená konfigurace	propustnost [Gb/s]
original	29,20
aslr-randkstack	31,37
aslr-randmmap	31,33
autoconf-performance	29,79
autoconf-security	20,27
blackhole	32,02
no-simult-connect	32,24
noexec	32,24
noexec-pageexec	30,51
noexec-segmexec	31,96
rap	30,80
rbac	31,24
sanitize	30,51
socket-limit	32,14
stackleak	30,88
structleak	30,93
uderef	26,29

Tabulka 13.13: Absolutní srovnání konfigurací

13.5.1.2 Srovnání konfigurací

měřená konfigurace	propustnost [Gb/s]
original	1
aslr-randkstack	1,07
aslr-randmmap	1,07
autoconf-performance	1,01
autoconf-security	0,69
blackhole	1,09
no-simult-connect	1,1
noexec	1,1
noexec-pageexec	1,04
noexec-segmexec	1,09
rap	1,05
rbac	1,06
sanitize	1,04
socket-limit	1,1
stackleak	1,05
structleak	1,05
uderef	0,9

Tabulka 13.14: Relativní srovnání konfigurací vůči referenční konfiguraci original

13.5.1.3 Zhodnocení testu

Propustnost cca 30 Gb/s představuje stejně tak, jako i v testu uvedeném v kapitole 13.4.1, propustnost **hlavní paměti**, neboť právě ta je úzkým hrdlem v případě komunikace zasílané TCP proudem na virtuální síťové rozhraní „localhost“. V některých konfiguracích je pozorovatelné dokonce mírné zlepšení oproti referenční konfiguraci, nicméně to bude velmi pravděpodobně způsobeno **NMMP**. Výrazněji zaostávají pouze konfigurace **uderef** a **autoconf-security**. Vztah k. **uderef** vzhledem ke k. **autoconf-security** byl již popsán v kapitole 13.4.1 a proto již není překvapením, proč dané konfigurace dopadly, jak dopadly. Pro čtenáře obeznámeného s výsledky dosaženými v testu uvedeném v kapitole 13.4.1 je však překvapivé jistě to, že konfigurace **sanitize** s sebou do systému nepřinesla žádnou výkonnostní ztrátu, jak tomu bylo v testu 13.4.1. Jak je to možné? Testovací nástroj **qperf** se patrně v takové míře nezbavuje již jednou mu přidělené paměti. Buďto ji používá opakovaně, nebo si ji prostě jen drží a nedealokuje ji. Jádro tak nepřiděluje práci s jejím „nulováním“ a **hlavní paměť** se tak může plně věnovat čtení a zápisu přenášených dat. Oddělení paměťových prostorů **Kernel Space** a **User Space** v podání konfigurace **uderef** však testovací nástroj obejít nedokázal. Po celou dobu běžel v **user mode**, čili využíval **User Space**, a síťový zásobník v držení jádra a tudíž i kopírování dat mezi **User Space** a **Kernel Space** si vybrali svou daň v podobě snížení propustnosti **hlavní paměti** o 10 %. **Chce-li čtenář nasažit Grsecurity na systému, kde propustnost paměti hraje prim, tak nechť raději dvakrát rozmyslí aktivaci voleb PAX_MEMORY_UDEREF a GRKERNSEC_CONFIG_PRIORITY_SECURITY.**

13.5.2 Test qperf_local_bw_udp

Test **qperf_local_bw_udp** je obdobou testu uvedeného v kapitole 13.5.1. Jedinou odlišností je protokol použitý pro přenos dat. V případě tohoto testu je jím **UDP**.

13.5.2.1 Naměřené hodnoty pro jednotlivé konfigurace

měřená veličina	propustnost
jednotka měřené veličiny	Gb/s
počet opakování měření	7
počítač spouštějící testovací příkaz	xenmv
testovací příkaz	qperf 127.0.0.1 --precision 10 --time 10 --unify_units ↪ --use_bits_per_sec udp_bw
počítač spouštějící pomocný příkaz	metalist
pomocný příkaz	qperf

Tabulka 13.15: Charakteristiky testu `qperf_local_bw_udp`

měřená konfigurace	propustnost [Gb/s]
original	33,70
aslr-randkstack	34,98
aslr-randmmap	34,76
autoconf-performance	36,84
autoconf-security	22,39
blackhole	32,48
no-simult-connect	32,73
noexec	34,98
noexec-pageexec	33,18
noexec-segmexec	38,13
rap	34,27
rbac	34,10
sanitize	34,94
socket-limit	33,38
stackleak	36,40
structleak	33,35
uderef	34,46

Tabulka 13.16: Absolutní srovnání konfigurací

13.5.2.2 Srovnání konfigurací

měřená konfigurace	propustnost [Gb/s]
original	1
aslr-randkstack	1,03
aslr-randmmap	1,03
autoconf-performance	1,09
autoconf-security	0,66
blackhole	0,96
no-simult-connect	0,97
noexec	1,03
noexec-pageexec	0,98
noexec-segmexec	1,13
rap	1,01
rbac	1,01
sanitize	1,03
socket-limit	0,99
stackleak	1,08
structleak	0,98
uderef	1,02

Tabulka 13.17: Relativní srovnání konfigurací vůči referenční konfiguraci original

13.5.2.3 Zhodnocení testu

Propustnost cca 34 Gb/s představuje propustnost **hlavní paměti**, neboť právě ta je úzkým hrdlem v případě komunikace zasílané **UDP** proudem na virtuální síťové rozhraní „localhost“. Za povšimnutí rozhodně stojí fakt, že propustnost **hlavní paměti** naměřená **UDP** proudem je o cca 13 % vyšší nežli její propustnost naměřená **TCP** spojením. Konfiguraci **uderef** test neprokázal zpomalení systému, jako tomu bylo v předcházejícím testu. Zajímavého výkonostního posunu – +13 % – bylo dosaženo s konfigurací **noexec-segmexec**. Vzhledem k počtu opakování testu by **NMMP** 13 % rozdílu udělat nemělo, nicméně autor tento stav neumí logicky vysvětlit. Nějaké zvláštní doporučení však konfiguraci **noexec-segmexec** neudělí, neboť ta byla do měření zahrnuta výhradně pro zjištění dopadu emulace **NX bitu** a nasazování **x86** systémů bez podpory 64 bitových instrukcí se příliš nepředpokládá.

13.5.3 Test qperf_local_lat_tcp

Test `qperf_local_lat_tcp` zjišťuje jednosměrné zpoždění paketů od jejich odeslání jednou instancí programu `qperf` až do přijetí druhou instancí programu `qperf`. Měřené zpoždění tak zahrnuje i prodlevy v rámci síťového zásobníku. Pro přenos je využit protokol **TCP**. Vše probíhá v rámci počítače **xenmv**.

měřená veličina	zpoždění
jednotka měřené veličiny	µs
počet opakování měření	7
počítač spouštějící testovací příkaz	xenmv
testovací příkaz	<code>qperf 127.0.0.1 --precision 10 --time 10 --unify_units ↪ --use_bits_per_sec tcp_lat</code>
počítač spouštějící pomocný příkaz	metalist
pomocný příkaz	qperf

Tabulka 13.18: Charakteristiky testu `qperf_local_lat_tcp`

13.5.3.1 Naměřené hodnoty pro jednotlivé konfigurace

měřená konfigurace	zpoždění [µs]
original	10,105
aslr-randkstack	10,549
aslr-randmmap	10,759
autoconf-performance	10,708
autoconf-security	11,443
blackhole	10,412
no-simult-connect	10,423
noexec	10,127
noexec-pageexec	10,847
noexec-segmexec	10,815
rap	11,137
rbac	10,989
sanitize	10,571
socket-limit	10,397
stackleak	11,369
structleak	10,723
uderef	12,14

Tabulka 13.19: Absolutní srovnání konfigurací

13.5.3.2 Srovnání konfigurací

měřená konfigurace	zpoždění [µs]
original	1
aslr-randkstack	1,04
aslr-randmmap	1,06
autoconf-performance	1,05
autoconf-security	1,13
blackhole	1,03
no-simult-connect	1,03
noexec	1
noexec-pageexec	1,07
noexec-segmexec	1,07
rap	1,1
rbac	1,08
sanitize	1,04
socket-limit	1,02
stackleak	1,12
structleak	1,06
uderef	1,2

Tabulka 13.20: Relativní srovnání konfigurací vůči referenční konfiguraci original

13.5.3.3 Zhodnocení testu

V jednosměrném zpoždění při komunikaci protokolem **TCP** se od referenční konfigurace výrazněji odchýlily pouze konfigurace **uderef** (pokles o 22 %), **autoconf-security** (pokles o 19 %) a **stackleak** (pokles o 13 %). Oddělení paměťových prostorů jednotlivých ringů zapříčiněné k. **uderef**, zdá se, vyžaduje určitý nezanedbatelný čas navíc k přenosu informace z **Kernel Space** do **User Space**. Zároveň čištění **kernelpspace-stack** při každém návratu ze systémového volání (konfigurace **stackleak**) také brzdí přenos **TCP** paketů. Ostatní konfigurace neměly na odezvu **TCP** paketů dopad a jejich rozptyl lze přičíst na vrub **NMMP**.

13.5.4 Test qperf_local_lat_udp

Test **qperf_local_lat_udp** zjišťuje jednosměrné zpoždění paketů čili dobu od jejich odeslání jednou instancí programu **qperf** až do přijetí druhou instancí programu **qperf**. Měřené zpoždění tak zahrnuje i prodlevy v rámci síťového zásobníku. Pro přenos je využit protokol **UDP**. Test trvá 10 s.

měřená veličina	zpoždění
jednotka měřené veličiny	µs
počet opakování měření	7
počítač spouštějící testovací příkaz	xenmv
testovací příkaz	qperf 127.0.0.1 --precision 10 --time 10 --unify_units ↪ --use_bits_per_sec udp_lat
počítač spouštějící pomocný příkaz	metalist
pomocný příkaz	qperf

Tabulka 13.21: Charakteristiky testu `qperf_local_lat_udp`

13.5.4.1 Naměřené hodnoty pro jednotlivé konfigurace

měřená konfigurace	zpoždění [µs]
original	7,951
aslr-randkstack	8,307
aslr-randmmap	8,522
autoconf-performance	8,634
autoconf-security	9,536
blackhole	8,828
no-simult-connect	8,586
noexec	8,37
noexec-pageexec	9,009
noexec-segmexec	8,933
rap	8,692
rbac	8,597
sanitize	8,599
socket-limit	8,647
stackleak	9,026
structleak	8,895
uderef	9,734

Tabulka 13.22: Absolutní srovnání konfigurací

13.5.4.2 Srovnání konfigurací

měřená konfigurace	zpoždění [µs]
original	1
aslr-randkstack	1,04
aslr-randmmap	1,07
autoconf-performance	1,08
autoconf-security	1,19
blackhole	1,11
no-simult-connect	1,07
noexec	1,05
noexec-pageexec	1,13
noexec-segmexec	1,12
rap	1,09
rbac	1,08
sanitize	1,08
socket-limit	1,08
stackleak	1,13
structleak	1,11
uderef	1,22

Tabulka 13.23: Relativní srovnání konfigurací vůči referenční konfiguraci original

13.5.4.3 Zhodnocení testu

Test ukázal obdobné výsledky jako test uvedený v kapitole 13.5.3. Zde je zajímavé si všimnout též rozdílu ve zpoždění přenosu TCP paketu a UDP paketu. Ten činí cca 2,3 µs ve prospěch UDP. V testu nejvíce zaostávají tak jako i dříve systémy s konfiguracemi `uderef` a `autoconf-security`.

13.5.5 Test `qperf_remote_bw_tcp`

Test `qperf_remote_bw_tcp` zjišťuje jednosměrnou propustnost síťového subsystému při použití protokolu TCP. Testu se účastní dvě instance programu `qperf` – jedna v roli serveru přijímajícího data a druhá v roli klienta. Test trvá 10 s. Klientská instance programu `qperf` běží na jiném počítači nežli její protějšek.

měřená veličina	propustnost
jednotka měřené veličiny	Gb/s
počet opakování měření	7
počítač spouštějící testovací příkaz	metalist
testovací příkaz	<code>qperf xenmv --precision 10 --time 10 --unify_units</code> ↪ <code>--use_bits_per_sec tcp_bw</code>
počítač spouštějící pomocný příkaz	xenmv
pomocný příkaz	qperf

Tabulka 13.24: Charakteristiky testu `qperf_remote_bw_tcp`

13.5.5.1 Naměřené hodnoty pro jednotlivé konfigurace

měřená konfigurace	propustnost [Gb/s]
original	0,941
aslr-randkstack	0,941
aslr-randmmap	0,941
autoconf-performance	0,94
autoconf-security	0,941
blackhole	0,941
no-simult-connect	0,941
noexec	0,941
noexec-pageexec	0,94
noexec-segmexec	0,941
rap	0,941
rbac	0,941
sanitize	0,941
socket-limit	0,941
stackleak	0,941
structleak	0,941
uderef	0,941

Tabulka 13.25: Absolutní srovnání konfigurací

13.5.5.2 Srovnání konfigurací

měřená konfigurace	propustnost [Gb/s]
original	1
aslr-randkstack	1
aslr-randmmap	1
autoconf-performance	0,99
autoconf-security	1
blackhole	1
no-simult-connect	1
noexec	1
noexec-pageexec	0,99
noexec-segmexec	1
rap	1
rbac	1
sanitize	1
socket-limit	1
stackleak	1
structleak	1
uderef	1

Tabulka 13.26: Relativní srovnání konfigurací vůči referenční konfiguraci original

13.5.5.3 Zhodnocení testu

Test prokázal, že jedním TCP spojením využitelná přenosová kapacita spoje mezi počítači `xenmv` a `metalist` je na nejvýš 0,941 Gb/s. Žádná konfigurace zjišťovanou veličinu nijak nepoznamenala. Úzkým hrdlem je v tomto případě nejpomalejší prvek na spoji (viz kapitola 11.1).

13.5.6 Test `qperf_remote_bw_udp`

Test `qperf_remote_bw_udp` je obdobou testu uvedeného v kapitole 13.5.1. Jedinou odlišností je protokol použitý pro přenos dat. V případě tohoto testu je jím UDP.

13.5.6.1 Naměřené hodnoty pro jednotlivé konfigurace

měřená veličina	propustnost
jednotka měřené veličiny	Gb/s
počet opakování měření	7
počítač spouštějící testovací příkaz	metalist
testovací příkaz	qperf xenmv --precision 10 --time 10 --unify_units ↔ --use_bits_per_sec udp_bw
počítač spouštějící pomocný příkaz	xenmv
pomocný příkaz	qperf

Tabulka 13.27: Charakteristiky testu `qperf_remote_bw_udp`

měřená konfigurace	propustnost [Gb/s]
original	0,958
aslr-randkstack	0,959
aslr-randmmap	0,96
autoconf-performance	0,96
autoconf-security	0,959
blackhole	0,96
no-simult-connect	0,96
noexec	0,959
noexec-pageexec	0,96
noexec-segmexec	0,959
rap	0,958
rbac	0,959
sanitize	0,96
socket-limit	0,96
stackleak	0,96
structleak	0,96
uderef	0,96

Tabulka 13.28: Absolutní srovnání konfigurací

13.5.6.2 Srovnání konfigurací

měřená konfigurace	propustnost [Gb/s]
original	1
aslr-randkstack	1
aslr-randmmap	1
autoconf-performance	1
autoconf-security	1
blackhole	1
no-simult-connect	1
noexec	1
noexec-pageexec	1
noexec-segmexec	1
rap	1
rbac	1
sanitize	1
socket-limit	1
stackleak	1
structleak	1
uderef	1

Tabulka 13.29: Relativní srovnání konfigurací vůči referenční konfiguraci original

13.5.6.3 Zhodnocení testu

Test prokázal, že jedním UDP spojením využitelná přenosová kapacita spoje mezi počítači [xenmv](#) a [metalist](#) je nanejvýš 0,96 Gb/s¹. Žádná konfigurace zjišťovanou veličinu nijak nepoznamenala. Úzkým hrdlem je tak i v tomto případě použitý hardware (viz kapitola 11.1).

13.5.7 Test qperf_remote_lat_tcp

Test `qperf_remote_lat_tcp` zjišťuje jednosměrné zpoždění paketů od jejich odeslání jednou instancí programu `qperf` až do přijetí druhou instancí programu `qperf`. Měřené zpoždění tak zahrnuje i prodlevy v rámci síťových zásobníků strojů účastnících se měření – [xenmv](#) a [metalist](#). Pro přenos je využit protokol TCP.

měřená veličina	zpoždění
jednotka měřené veličiny	μs
počet opakování měření	7
počítač spouštějící testovací příkaz	metalist
testovací příkaz	<code>qperf xenmv --precision 10 --time 10 --unify_units</code> ↪ <code>--use_bits_per_sec tcp_lat</code>
počítač spouštějící pomocný příkaz	xenmv
pomocný příkaz	qperf

Tabulka 13.30: Charakteristiky testu `qperf_remote_lat_tcp`

13.5.7.1 Naměřené hodnoty pro jednotlivé konfigurace

měřená konfigurace	zpoždění [µs]
original	49,93
aslr-randkstack	49,92
aslr-randmmap	49,92
autoconf-performance	49,92
autoconf-security	49,92
blackhole	49,93
no-simult-connect	49,92
noexec	49,92
noexec-pageexec	49,92
noexec-segmexec	49,92
rap	49,93
rbac	49,92
sanitize	49,92
socket-limit	49,98
stackleak	49,92
structleak	50,40
uderef	49,95

Tabulka 13.31: Absolutní srovnání konfigurací

13.5.7.2 Srovnání konfigurací

měřená konfigurace	zpoždění [µs]
original	1
aslr-randkstack	0,99
aslr-randmmap	0,99
autoconf-performance	0,99
autoconf-security	0,99
blackhole	0,99
no-simult-connect	0,99
noexec	0,99
noexec-pageexec	0,99
noexec-segmexec	0,99
rap	0,99
rbac	0,99
sanitize	0,99
socket-limit	1
stackleak	0,99
structleak	1
uderef	1

Tabulka 13.32: Relativní srovnání konfigurací vůči referenční konfiguraci original

13.5.7.3 Zhodnocení testu

Test neprokázal sebemenší vliv jednotlivých konfigurací systému na jednosměrné zpoždění TCP paketů. Poslouží tedy alespoň pro srovnání jednosměrných zpoždění:

- ~ 10,5 µs pro cestu: `xenmv` $\xrightarrow{\text{TCP}}$ `xenmv`
- ~ 49,9 µs pro cestu: `metalist` $\xrightarrow{\text{TCP}}$ přepínač $\xrightarrow{\text{TCP}}$ `xenmv`

Zpoždění paketu, který neopustí `xenmv` a projde jen jeho loopbackem je 5 krát menší nežli zpoždění paketu jdoucího skrze přepínač do `metalist`. Zpoždění způsobené síťovým prvkem je tedy cca 40 µs.

13.5.8 Test qperf_remote_lat_udp

Test qperf_remote_lat_udp zjišťuje jednosměrné zpoždění paketů od jejich odeslání jednou instancí programu qperf až do přijetí druhou instancí programu qperf. Měření zpoždění tak zahrnuje i prodlevy v rámci síťového zásobníku. Pro přenos je využit protokol UDP.

měřená veličina	zpoždění
jednotka měřené veličiny	µs
počet opakování měření	7
počítač spouštějící testovací příkaz	metalist
testovací příkaz	qperf xenmv --precision 10 --time 10 --unify_units ↪ --use_bits_per_sec udp_lat
počítač spouštějící pomocný příkaz	xenmv
 pomocný příkaz	qperf

Tabulka 13.33: Charakteristiky testu qperf_remote_lat_udp

13.5.8.1 Naměřené hodnoty pro jednotlivé konfigurace

měřená konfigurace	zpoždění [µs]
original	49,915
aslr-randkstack	49,918
aslr-randmmap	49,911
autoconf-performance	49,878
autoconf-security	49,899
blackhole	49,918
no-simult-connect	49,9
noexec	49,912
noexec-pageexec	49,924
noexec-segmexec	49,919
rap	49,919
rbac	49,918
sanitize	49,991
socket-limit	49,965
stackleak	49,932
structleak	49,92
uderef	49,971

Tabulka 13.34: Absolutní srovnání konfigurací

13.5.8.2 Srovnání konfigurací

měřená konfigurace	zpoždění [µs]
original	1
aslr-randkstack	1
aslr-randmmap	0,99
autoconf-performance	0,99
autoconf-security	0,99
blackhole	1
no-simult-connect	0,99
noexec	0,99
noexec-pageexec	1
noexec-segmexec	1
rap	1
rbac	1
sanitize	1
socket-limit	1
stackleak	1
structleak	1
uderef	1

Tabulka 13.35: Relativní srovnání konfigurací vůči referenční konfiguraci original

13.5.8.3 Zhodnocení testu

Test neprokázal sebemenší vliv jednotlivých konfigurací systému na jednosměrné zpoždění UDP paketů.

13.6 Testy nástrojem lmbench

lmbench je multiplatformní benchmark psaný v jazyce ANSI C. Obsahuje řadu testů, z nichž některé byly použity v rámci této práce. V systému Debian 8.6 standardně přítomen není a bylo jej proto potřeba získat z oficiálních stránek testu <http://www.bitmover.com/lmbench/>. Jedním z parametrů, které přebírá je počet procesů provádějících test. V případě více do testu zapojených procesů každý proces představuje instanci téhož programu a zjišťuje tutěž NZPV [Sta02]. Každý proces měřením dojde k určité hodnotě. Výslednou hodnotu pak představuje průměr ze všech hodnot naměřených jednotlivými procesy. Účelem parametrizace testu počtem procesů je zjištění, jak daný systém škáluje se zvyšující se zátěží.

13.6.1 Test `lmbench_lat_connect_local`

Program `lat_connect` měří dobu potřebnou pro navázání spojení mezi dvěma procesy běžícími na témže počítači prostřednictvím AF_INET socketu. Měřená doba zahrnuje čas, který uplyne od iniciování TCP spojení na klientské straně do přechodu spojení do stavu Established u obou komunikujících stran [SM94]. Test nezahrnuje čas strávený překladem jména.

měřená veličina	čas potřebný pro navázání spojení prostřednictvím TCP socketu
jednotka měřené veličiny	µs
počet opakování měření	21
počítač spouštějící testovací příkaz	xenmv
testovací příkaz	<code>lat_connect -N 5 localhost 2>&1 tee /dev/stderr</code>
počítač spouštějící pomocný příkaz	metalist
pomocný příkaz	<code>lat_connect -s</code>

Tabulka 13.36: Charakteristiky testu `lmbench_lat_connect_local`

13.6.1.1 Naměřené hodnoty pro jednotlivé konfigurace

měřená konfigurace	čas potřebný pro navázání spojení prostřednictvím TCP socketu [μs]
original	34,32
aslr-randkstack	33,53
aslr-randmmap	35,66
autoconf-performance	35,46
autoconf-security	35,94
blackhole	32,63
no-simult-connect	24,75
noexec	32,47
noexec-pageexec	34,07
noexec-segmexec	34,50
rap	34,58
rbac	33,39
sanitize	33,41
socket-limit	33,00
stackleak	41,48
structleak	33,16
uderef	35,71

Tabulka 13.37: Absolutní srovnání konfigurací

13.6.1.2 Srovnání konfigurací

měřená konfigurace	čas potřebný pro navázání spojení prostřednictvím TCP socketu [μs]
original	1
aslr-randkstack	0,97
aslr-randmmap	1,03
autoconf-performance	1,03
autoconf-security	1,04
blackhole	0,95
no-simult-connect	0,72
noexec	0,94
noexec-pageexec	0,99
noexec-segmexec	1
rap	1
rbac	0,97
sanitize	0,97
socket-limit	0,96
stackleak	1,2
structleak	0,96
uderef	1,04

Tabulka 13.38: Relativní srovnání konfigurací vůči referenční konfiguraci original

13.6.1.3 Zhodnocení testu

Měření ukázalo, že **Grsec** navazování spojení skrz AF_INET sockety nijak nedegraduje vyjma konfigurace **stackleak**. Navázání spojení probíhá nejrychleji na konfiguraci **no-simult-connect** – odstranění podpory souběžného spojení z TCP (viz kapitola 9.19) zde přineslo vedlejší efekt v podobě zkrácení doby potřebné pro navázání spojení o 28 %.

13.6.2 Test `lmbench_lat_connect_remote`

Program `lat_connect` měří dobu potřebnou pro navázání spojení mezi dvěma procesy běžícími na **dvou různých počítačích** prostřednictvím AF_INET socketu. Měřená doba zahrnuje čas, který uplyne od iniciování TCP spojení na klientské straně do přechodu spojení do stavu Established u obou komunikujících stran [SM94]. Test nezahrnuje čas strávený překladem jména.

měřená veličina	čas potřebný pro navázání spojení prostřednictvím TCP socketu
jednotka měřené veličiny	µs
počet opakování měření	21
počítač spouštějící testovací příkaz	metalist
testovací příkaz	lat_connect -N 5 xenmv 2>&1 tee /dev/stderr
počítač spouštějící pomocný příkaz	xenmv
pomocný příkaz	lat_connect -s

Tabulka 13.39: Charakteristiky testu `lmbench_lat_connect_remote`

13.6.2.1 Naměřené hodnoty pro jednotlivé konfigurace

měřená konfigurace	čas potřebný pro navázání spojení prostřednictvím TCP socketu [µs]
original	2148,69
aslr-randkstack	2146,96
aslr-randmmap	2140,35
autoconf-performance	2137,21
autoconf-security	2139,81
blackhole	2140,91
no-simult-connect	2141,79
noexec	2148,45
noexec-pageexec	2148,95
noexec-segmexec	2135,68
rap	2135,44
rbac	2129,35
sanitize	2147,04
socket-limit	2144,20
stackleak	2149,57
structleak	2150,50
uderef	2162,56

Tabulka 13.40: Absolutní srovnání konfigurací

13.6.2.2 Srovnání konfigurací

měřená konfigurace	čas potřebný pro navázání spojení prostřednictvím TCP socketu [μs]
original	1
aslr-randkstack	0,99
aslr-randmmap	0,99
autoconf-performance	0,99
autoconf-security	0,99
blackhole	0,99
no-simult-connect	0,99
noexec	0,99
noexec-pageexec	1
noexec-segmexec	0,99
rap	0,99
rbac	0,99
sanitize	0,99
socket-limit	0,99
stackleak	1
structleak	1
uderef	1

Tabulka 13.41: Relativní srovnání konfigurací vůči referenční konfiguraci original

13.6.2.3 Zhodnocení testu

Test nezjistil rozdíly mezi jednotlivými konfiguracemi. Naměřené absolutní hodnoty jsou o dva řády vyšší nežli v testu kapitoly 13.6.1, kde se nějaké rozdíly mezi konfiguracemi projevily.

13.6.3 Test `lmbench_lat_unix_connect`

Měření `lmbench_lat_unix_connect` měří čas strávený navazováním spojení skrze socket rodiny AF_UNIX. V rámci jednoho testu je spuštěna dvojice procesů. Měří se doba vytvoření AF_UNIX socketu včetně navázání spojení s protistranou. Příkaz iniciující testování upravuje pouze počet dvojic procesů, které budou komunikovat „zároveň“ – **NZPV** v rámci daného měření. Socket je během testování mapován na dočasný soubor ležící v adreáři `/tmp`.

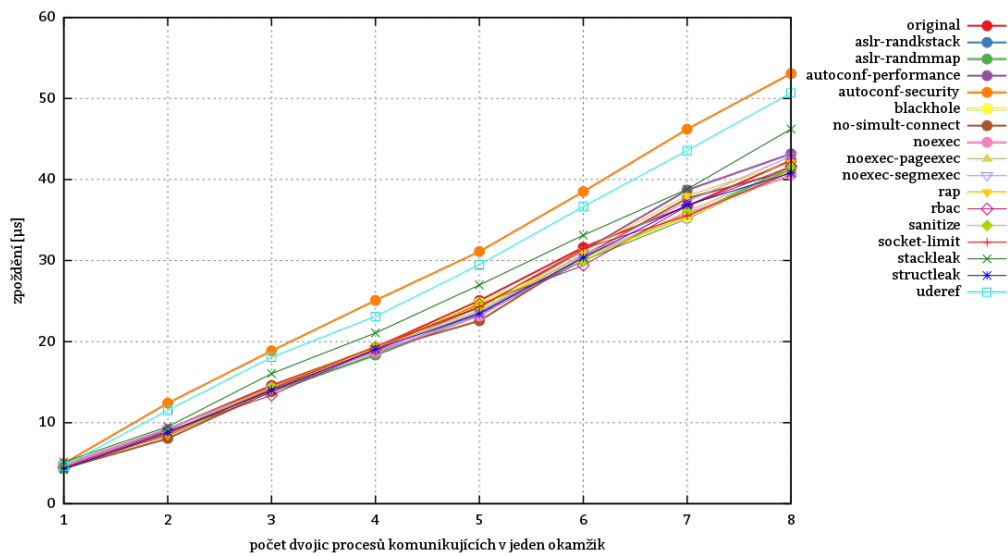
NZPV (x)	počet dvojic procesů komunikujících v jeden okamžik
jednotka NZPV	není (bezrozměrná veličina)
ZPV (y)	zpoždění
jednotka ZPV	μs
počet opakování měření	7
počítač spouštějící testovací příkaz	xenmv
testovací příkaz	<code>lat_unix_connect -P \${X} -N 5 2>&1 tee /dev/stderr</code>
počítač spouštějící pomocný příkaz	metalist
pomocný příkaz	<code>lat_unix_connect -s</code>

Tabulka 13.42: Charakteristiky testu `lmbench_lat_unix_connect`

13.6.3.1 Naměřené hodnoty pro jednotlivé konfigurace

měřená konfigurace	počet dvojic procesů komunikujících v jeden okamžik							
	1	2	3	4	5	6	7	8
original	4,655	9,18	14,584	19,28	25,06	31,63	36,71	42,36
aslr-randkstack	4,321	8,72	13,837	18,33	23,31	30,06	35,23	41,24
aslr-randmmap	4,388	8,50	13,819	18,39	23,62	30,23	35,40	41,61
autoconf-performance	4,744	8,41	14,367	19,00	24,26	31,20	38,69	43,17
autoconf-security	4,97	12,40	18,87	25,08	31,11	38,51	46,21	53,07
blackhole	4,44	8,53	14,211	18,95	24,81	30,19	35,32	40,99
no-simult-connect	4,37	8,04	13,922	18,86	22,56	30,52	37,69	41,12
noexec	4,885	9,23	14,276	18,70	23,16	30,51	35,82	40,57
noexec-pageexec	4,727	8,94	14,104	19,35	23,79	30,80	35,38	41,15
noexec-segmexec	4,61	9,24	14,044	19,11	23,62	30,75	37,29	42,87
rap	4,567	8,49	13,978	19,20	23,83	31,15	38,01	42,10
rbac	4,457	8,99	13,403	19,08	24,62	29,39	36,74	41,61
sanitize	4,288	8,77	14,405	19,40	24,48	29,94	36,07	41,33
socket-limit	4,389	8,58	14,151	19,41	24,29	31,46	35,53	40,91
stackleak	5,151	9,50	16,061	21,07	26,99	33,13	38,81	46,23
structleak	4,252	8,83	13,986	19,03	23,45	30,37	36,86	40,81
uderef	4,628	11,53	18,084	23,11	29,49	36,65	43,57	50,68

Tabulka 13.43: Absolutní srovnání konfigurací

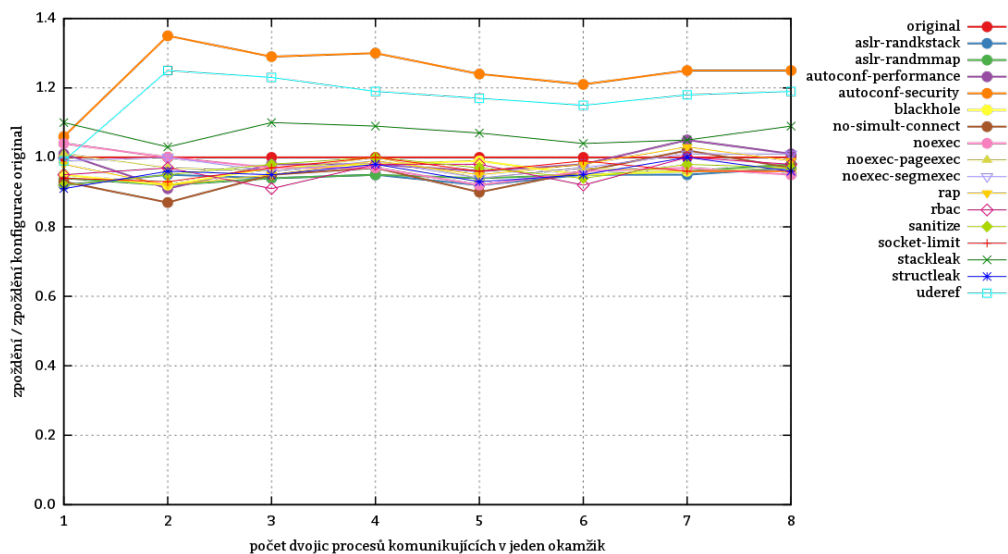


Obrázek 13.5: Absolutní srovnání konfigurací

13.6.3.2 Srovnání konfigurací

měřená konfigurace	počet dvojic procesů komunikujících v jeden okamžik								průměr
	1	2	3	4	5	6	7	8	
original	1	1	1	1	1	1	1	1	1
aslr-randkstack	0,92	0,95	0,94	0,95	0,92	0,95	0,95	0,97	0,94
aslr-randmmap	0,94	0,92	0,94	0,95	0,94	0,95	0,96	0,98	0,94
autoconf-performance	1,01	0,91	0,98	0,98	0,96	0,98	1,05	1,01	0,98
autoconf-security	1,06	1,35	1,29	1,3	1,24	1,21	1,25	1,25	1,24
blackhole	0,95	0,92	0,97	0,98	0,99	0,95	0,96	0,96	0,96
no-simult-connect	0,93	0,87	0,95	0,97	0,9	0,96	1,02	0,97	0,94
noexec	1,04	1	0,97	0,97	0,92	0,96	0,97	0,95	0,97
noexec-pageexec	1,01	0,97	0,96	1	0,94	0,97	0,96	0,97	0,97
noexec-segmexec	0,99	1	0,96	0,99	0,94	0,97	1,01	1,01	0,98
rap	0,98	0,92	0,95	0,99	0,95	0,98	1,03	0,99	0,97
rbac	0,95	0,97	0,91	0,98	0,98	0,92	1	0,98	0,96
sanitize	0,92	0,95	0,98	1	0,97	0,94	0,98	0,97	0,96
socket-limit	0,94	0,93	0,97	1	0,96	0,99	0,96	0,96	0,96
stackleak	1,1	1,03	1,1	1,09	1,07	1,04	1,05	1,09	1,07
structleak	0,91	0,96	0,95	0,98	0,93	0,95	1	0,96	0,95
uderef	0,99	1,25	1,23	1,19	1,17	1,15	1,18	1,19	1,16

Tabulka 13.44: Relativní srovnání konfigurací vůči referenční konfiguraci original



Obrázek 13.6: Relativní srovnání konfigurací vůči referenční konfiguraci original

13.6.3.3 Zhodnocení testu

Z měření vyplynulo, že navazování spojení přes AF_UNIX sockety přítomnost **Grsec** neovlivňuje s výjimkou konfigurací **autoconf-security** (zhoršení o 24 %), **uderef** (zhoršení o 16 %) a **stackleak** (zhoršení o 7 %). První zmíněná je nadmnožinou zbylých dvou a její výsledek tomu i odpovídá. Velký rozptyl naměřených hodnot jednotlivých konfigurací pro jednu dvojici procesů vyšel i při tří násobném zvýšení počtu opakování testu a může za něj **NMMP**. **Systémům citlivým na zpoždění nelze doporučit použití voleb PAX_MEMORY_UDEREF, GRKERNSEC_CONFIG_PRIORITY_SECURITY a časově i PAX_MEMORY_STACKLEAK.**

13.6.4 Test `lmbench_bw_file_read_io_only`

Program `bw_file_rd` testuje rychlost přístupu k **externí paměti**. Před testem je příkazem

```
dd if=/dev/urandom of=filename bs=1G
```

vytvořen soubor. Program `bw_file_rd` následně čte náhodně 300 MB z daného souboru po 64 kB blocích. Načtená data dále bere za posloupnost 4 B celých čísel, která **sčítá v číslo jedno**. Program využívá rozhraní poskytovaného systémem ke čtení souboru – systémové volání `read` – čili přesun souboru z **Kernel Space** do **User Space** obstarává jádro. **NZPV** představuje počet paralelně běžících procesů použitých pro sčítání. Nakonec řetězec `io_only` značí, že do měření jsou zahrnuty pouze I/O operace bez otevírání a zavírání souboru. Každý proces zapojený do měření provádí nezávisle čtení daného souboru. Rychlosti dosažené jednotlivými procesy se nakonec sčítají v rychlost jedinou.

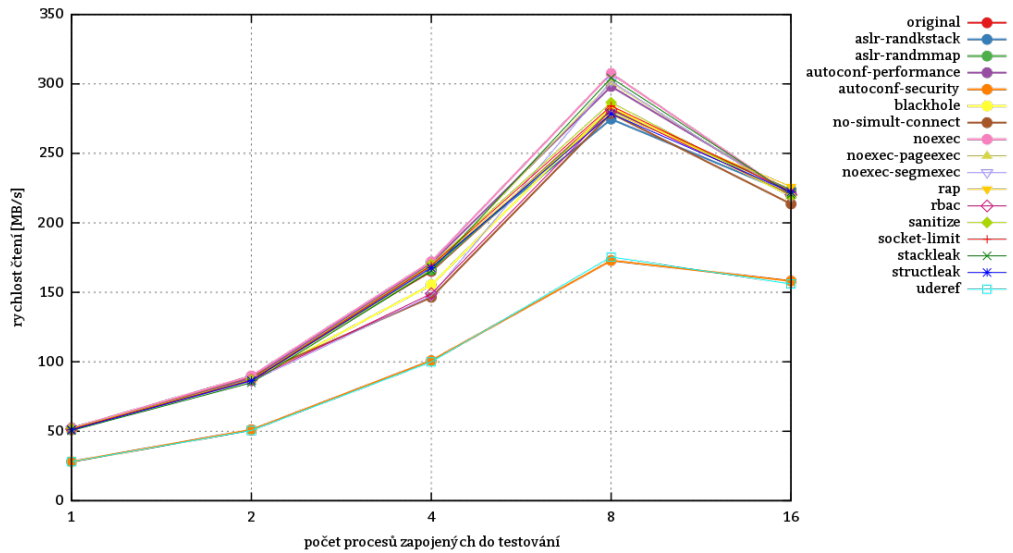
NZPV (x)	počet procesů zapojených do testování
jednotka NZPV	není (bezrozměrná veličina)
ZPV (y)	rychlost čtení
jednotka ZPV	MB/s
počet opakování měření	7
počítač spouštějící testovací příkaz	xenmv
testovací příkaz	<code>bw_file_rd -P $\\${X}$ -N 7 300M io_only testfile</code>

Tabulka 13.45: Charakteristiky testu `lmbench_bw_file_read_io_only`

13.6.4.1 Naměřené hodnoty pro jednotlivé konfigurace

měřená konfigurace	počet procesů zapojených do testování				
	1	2	4	8	16
original	52,05	88,52	165,1	282,1	223,4
aslr-randkstack	51,99	87,11	168,9	274,6	220,9
aslr-randmmap	50,90	88,00	165,8	281,2	223,4
autoconf-performance	52,05	88,49	170,9	298,2	221,0
autoconf-security	28,06	51,05	100,8	172,9	158,1
blackhole	51,38	86,58	155,3	283,3	219,3
no-simult-connect	51,62	89,57	146,3	278,7	213,5
noexec	52,25	89,81	172,0	307,5	219,9
noexec-pageexec	51,33	85,79	166,5	300,9	219,4
noexec-segmexec	51,35	86,01	147,5	301,9	218,4
rap	51,39	86,81	169,	279,2	226,0
rbac	51,57	86,85	149,0	281,4	220,2
sanitize	52,09	87,12	170,0	286,6	219,3
socket-limit	51,56	86,72	169,2	284,1	222,3
stackleak	50,53	84,96	165,5	304,3	220,4
structleak	50,96	86,45	167,6	278,5	222,0
uderef	28,04	50,55	99,9	175,4	155,9

Tabulka 13.46: Absolutní srovnání konfigurací

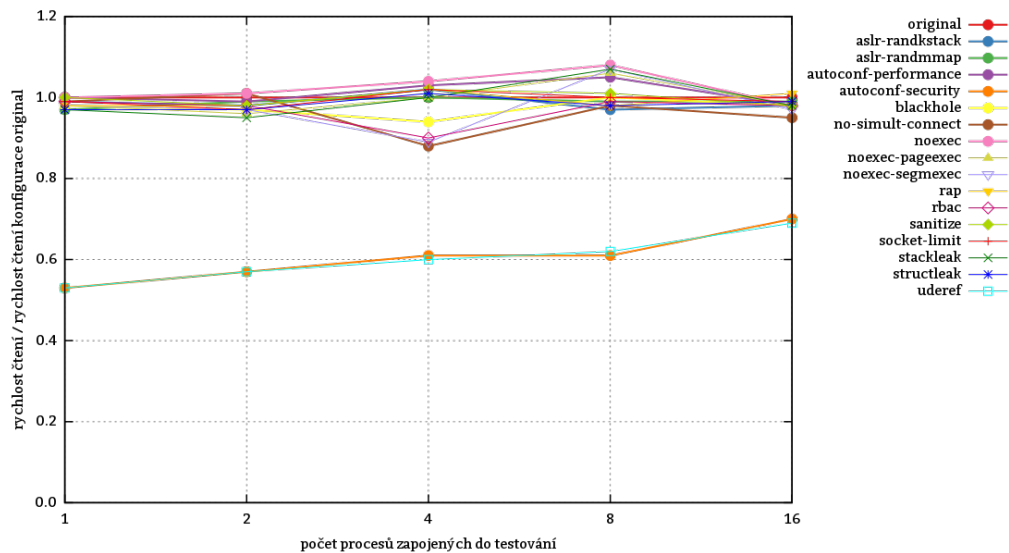


Obrázek 13.7: Absolutní srovnání konfigurací

13.6.4.2 Srovnání konfigurací

měřená konfigurace	počet procesů zapojených do testování					průměr
	1	2	4	8	16	
original	1	1	1	1	1	1
aslr-randkstack	0,99	0,98	1,02	0,97	0,98	0,98
aslr-randmmap	0,97	0,99	1	0,99	0,99	0,98
autoconf-performance	1	0,99	1,03	1,05	0,98	1,01
autoconf-security	0,53	0,57	0,61	0,61	0,7	0,6
blackhole	0,98	0,97	0,94	1	0,98	0,97
no-simult-connect	0,99	1,01	0,88	0,98	0,95	0,96
noexec	1	1,01	1,04	1,08	0,98	1,02
noexec-pageexec	0,98	0,96	1	1,06	0,98	0,99
noexec-segmexec	0,98	0,97	0,89	1,07	0,97	0,97
rap	0,98	0,98	1,02	0,98	1,01	0,99
rbac	0,99	0,98	0,9	0,99	0,98	0,96
sanitize	1	0,98	1,02	1,01	0,98	0,99
socket-limit	0,99	0,97	1,02	1	0,99	0,99
stackleak	0,97	0,95	1	1,07	0,98	0,99
structleak	0,97	0,97	1,01	0,98	0,99	0,98
uderef	0,53	0,57	0,6	0,62	0,69	0,6

Tabulka 13.47: Relativní srovnání konfigurací vůči referenční konfiguraci original



Obrázek 13.8: Relativní srovnání konfigurací vůči referenční konfiguraci original

13.6.4.3 Zhodnocení testu

Konfigurace `autoconf-security` a `uderef`, čili volba `PAX_MEMORY_UDEREF` rychlost čtení z **externí paměti** redukuje o průměrně 40%. Rychlost čtení kulminuje při **NZPV** rovné 8. To dává smysl, neb testovaný počítač – `xenmv` – disponuje právě 8 jádry (viz kapitola 11.2). 16 procesů již nedokáže přistupovat k **externí paměti** stejně efektivně jako 8. **Každopádně opět se potvrdil zásadní negativní dopad volby `PAX_MEMORY_UDEREF` na výkonnost systému.**

13.6.5 Test `lmbench_bw_mem_rd`

Program `bw_mem` testuje rychlost přístupu k **hlavní paměti**. V rámci tohoto měření alokuje blok o velikosti právě 1 MB, který následně opakovaně souvisle čte a měří přitom propustnost. Celkem je během testu přečteno 150 MB dat.

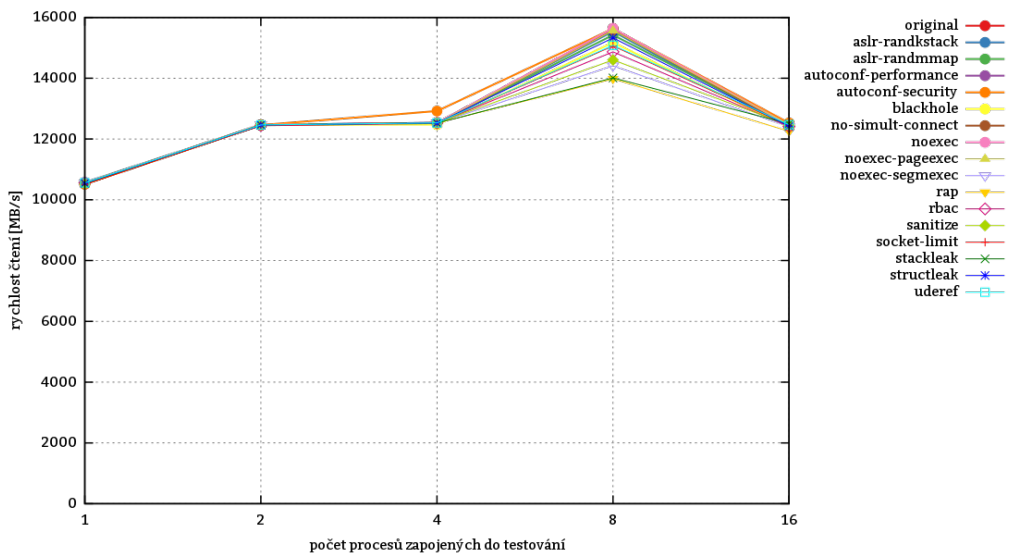
NZPV (x)	počet procesů zapojených do testování
jednotka NZPV	není (bezrozměrná veličina)
ZPV (y)	rychlost čtení
jednotka ZPV	MB/s
počet opakování měření	1
počítač spouštějící testovací příkaz	<code>xenmv</code>
testovací příkaz	<code>bw_mem -P $\\${X}$ 150M rd</code>

Tabulka 13.48: Charakteristiky testu `lmbench_bw_mem_rd`

13.6.5.1 Naměřené hodnoty pro jednotlivé konfigurace

měřená konfigurace	počet procesů zapojených do testování				
	1	2	4	8	16
original	10515,2	12460,18	12520,8	15568	12499,6
aslr-randkstack	10572,45	12466,85	12533,2	15540	12375,6
aslr-randmmap	10553,06	12458,64	12527,9	15420	12459,9
autoconf-performance	10539,16	12467,09	12530,8	15633	12453,1
autoconf-security	10515,91	12461,02	12919,7	15630	12527,9
blackhole	10544,58	12465,81	12476,2	15171	12388,5
no-simult-connect	10542,48	12450,18	12524,5	15588	12432,4
noexec	10555,43	12464,8	12531,9	15639	12462,7
noexec-pageexec	10571,74	12470,16	12530,9	15566	12476,2
noexec-segmexec	10551,18	12465,92	12527,4	14409	12408,9
rap	10549,54	12460,66	12526,2	13978	12256,2
rbac	10553,77	12441,52	12527,3	14867	12410,7
sanitize	10520,13	12464,4	12532,2	14598	12458,0
socket-limit	10502,90	12451,74	12529,6	15063	12441,9
stackleak	10532,81	12466,16	12525,7	14008	12498,4
structleak	10545,06	12461,83	12526,5	15328	12419,5
uderef	10557,15	12462,77	12528,8	15084	12468,6

Tabulka 13.49: Absolutní srovnání konfigurací

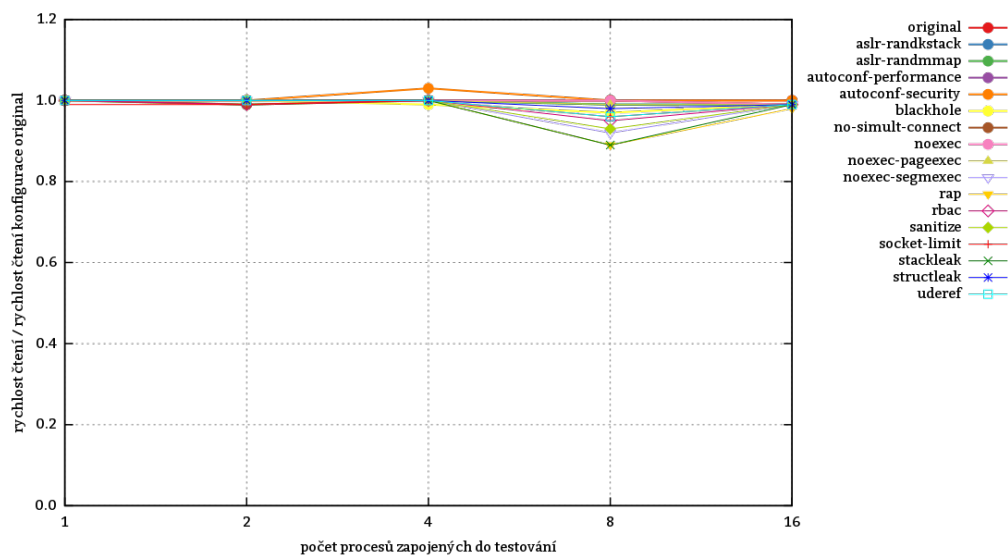


Obrázek 13.9: Absolutní srovnání konfigurací

13.6.5.2 Srovnání konfigurací

měřená konfigurace	počet procesů zapojených do testování					průměr
	1	2	4	8	16	
original	1	1	1	1	1	1
aslr-randkstack	1	1	1	0,99	0,99	0,99
aslr-randmmap	1	0,99	1	0,99	0,99	0,99
autoconf-performance	1	1	1	1	0,99	0,99
autoconf-security	1	1	1,03	1	1	1
blackhole	1	1	0,99	0,97	0,99	0,99
no-simult-connect	1	0,99	1	1	0,99	0,99
noexec	1	1	1	1	0,99	0,99
noexec-pageexec	1	1	1	0,99	0,99	0,99
noexec-segmexec	1	1	1	0,92	0,99	0,98
rap	1	1	1	0,89	0,98	0,97
rbac	1	0,99	1	0,95	0,99	0,98
sanitize	1	1	1	0,93	0,99	0,98
socket-limit	0,99	0,99	1	0,96	0,99	0,98
stackleak	1	1	1	0,89	0,99	0,97
structleak	1	1	1	0,98	0,99	0,99
uderef	1	1	1	0,96	0,99	0,99

Tabulka 13.50: Relativní srovnání konfigurací vůči referenční konfiguraci original



Obrázek 13.10: Relativní srovnání konfigurací vůči referenční konfiguraci original

13.6.5.3 Zhodnocení testu

Propustnost **hlavní paměti** při čtení je takřka nezávislá na zvolené konfiguraci vyjma situace, kdy je počet procesů zapojených do měření roven počtu systému dostupných procesorových jader (viz kapitola 11.2).

13.6.6 Test lmbench_bw_mem_wr

Program `bw_mem` testuje rychlost přístupu k hlavní paměti. V tomto měření alokuje 1 MB, do něhož opakovaně zapisuje a měří přitom propustnost. Během testu se запиše 150 MB dat.

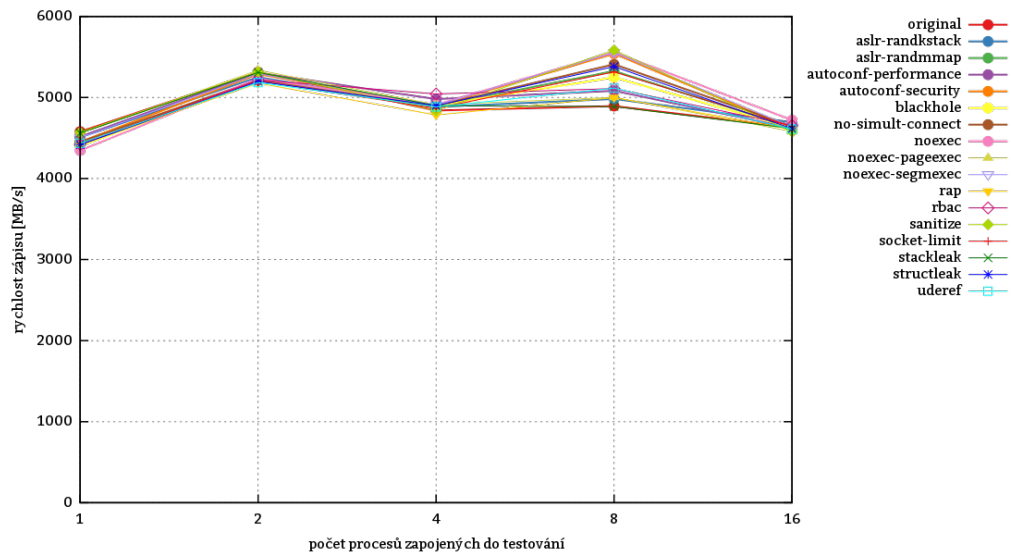
13.6.6.1 Naměřené hodnoty pro jednotlivé konfigurace

NZPV (x)	počet procesů zapojených do testování
jednotka NZPV	není (bezrozměrná veličina)
ZPV (y)	rychlost zápisu
jednotka ZPV	MB/s
počet opakování měření	1
počítač spouštějící testovací příkaz	xenmv
testovací příkaz	bw_mem -P $\{X\}$ 150M wr

Tabulka 13.51: Charakteristiky testu `lmbench_bw_mem_wr`

měřená konfigurace	počet procesů zapojených do testování				
	1	2	4	8	16
original	4578,9	5311,7	4839	4894	4630,9
aslr-randkstack	4509,3	5251,5	4883	4982	4693,8
aslr-randmmap	4412,5	5214,4	4895	5327	4631,4
autoconf-performance	4515,8	5305,7	4980	5083	4620,8
autoconf-security	4451,8	5287,7	4899	5540	4617,3
blackhole	4402,	5207,4	4904	5247	4625,0
no-simult-connect	4452,8	5217,8	4899	5409	4646,1
noexec	4346,7	5233,0	4909	5557	4720,3
noexec-pageexec	4558,3	5335,4	4912	4999	4582,1
noexec-segmexec	4504,7	5291,4	4905	5553	4638,6
rap	4416,6	5176,2	4783	4999	4608,5
rbac	4419,8	5216,5	5043	5110	4652,8
sanitize	4570,5	5317,8	4839	5583	4575,4
socket-limit	4435,6	5202,8	4866	5314	4640,5
stackleak	4561,2	5309,5	4899	4888	4617,2
structleak	4417,5	5197,1	4900	5381	4615,3
uderef	4435,9	5183,4	4884	5115	4609,9

Tabulka 13.52: Absolutní srovnání konfigurací

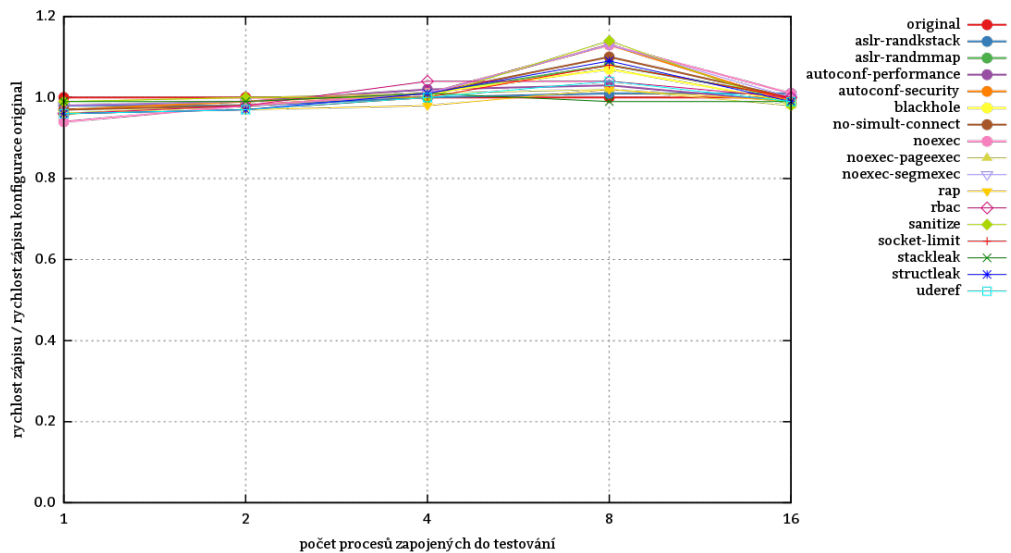


Obrázek 13.11: Absolutní srovnání konfigurací

13.6.6.2 Srovnání konfigurací

měřená konfigurace	počet procesů zapojených do testování					průměr
	1	2	4	8	16	
original	1	1	1	1	1	1
aslr-randkstack	0,98	0,98	1	1,01	1,01	0,99
aslr-randmmap	0,96	0,98	1,01	1,08	1	1
autoconf-performance	0,98	0,99	1,02	1,03	0,99	1
autoconf-security	0,97	0,99	1,01	1,13	0,99	1,01
blackhole	0,96	0,98	1,01	1,07	0,99	1
no-simult-connect	0,97	0,98	1,01	1,1	1	1,01
noexec	0,94	0,98	1,01	1,13	1,01	1,01
noexec-pageexec	0,99	1	1,01	1,02	0,98	1
noexec-segmexec	0,98	0,99	1,01	1,13	1	1,02
rap	0,96	0,97	0,98	1,02	0,99	0,98
rbac	0,96	0,98	1,04	1,04	1	1
sanitize	0,99	1	1	1,14	0,98	1,02
socket-limit	0,96	0,97	1	1,08	1	1
stackleak	0,99	0,99	1,01	0,99	0,99	0,99
structleak	0,96	0,97	1,01	1,09	0,99	1
uderef	0,96	0,97	1	1,04	0,99	0,99

Tabulka 13.53: Relativní srovnání konfigurací vůči referenční konfiguraci original



Obrázek 13.12: Relativní srovnání konfigurací vůči referenční konfiguraci original

13.6.6.3 Zhodnocení testu

Výsledek obdobný jako v testu 13.6.5. V podstatě se liší jen dosažené absolutní hodnoty. V 13.6.5 šlo o test rychlosti čtení hlavní paměti, zatímco tento test do ní zapisuje. Tomu odpovídá i pokles rychlosti: Tam, kde 1 vlákno dokázalo číst 10515 MB/s, se při zápisu přeneslo jen 4578 MB/s.

13.7 Testy nástrojem unixbench

Unixbench je, stejně tak jako *LMbench*, souborem jednoúčelových testů – mikrobenchmarků. Jednotlivé mikrobenchmarky provádějí nízkourovňové operace.

13.7.1 Test `unixbench_pipe`

Necht' cyklus sestává ze

1. zapsání 512 B do roury a
2. přečtení těchto 512 B z druhého jejího konce.

Test `unixbench_pipe` zjišťuje, kolik těchto cyklů stihne vykonat jeden proces za 10 s. Testu se účastní jediný proces, který zprávy zasílá sám sobě.

měřená veličina	počet cyklů, které 1 proces stihne provést za 10 s
jednotka měřené veličiny	není (bezrozměrná veličina)
počet opakování měření	7
počítač spouštějící testovací příkaz	xenmv
testovací příkaz	<code>pipe 10 2>&1 tee /dev/stderr</code>

Tabulka 13.54: Charakteristiky testu `unixbench_pipe`

13.7.1.1 Naměřené hodnoty pro jednotlivé konfigurace

měřená konfigurace	počet cyklů, které 1 proces stihne provést za 10 s
original	18973647
aslr-randkstack	18339600
aslr-randmmap	19198212
autoconf-performance	18217627
autoconf-security	6347094
blackhole	20483032
no-simult-connect	19898579
noexec	19518807
noexec-pageexec	18807727
noexec-segmexec	18850635
rap	19571610
rbac	20516665
sanitize	20261066
socket-limit	20249876
stackleak	10162906
structleak	20417535
uderef	7682116

Tabulka 13.55: Absolutní srovnání konfigurací

13.7.1.2 Srovnání konfigurací

měřená konfigurace	počet cyklů, které 1 proces stihne provést za 10 s
original	1
aslr-randkstack	0,96
aslr-randmmap	1,01
autoconf-performance	0,96
autoconf-security	0,33
blackhole	1,07
no-simult-connect	1,04
noexec	1,02
noexec-pageexec	0,99
noexec-segmexec	0,99
rap	1,03
rbac	1,08
sanitize	1,06
socket-limit	1,06
stackleak	0,53
structleak	1,07
uderef	0,4

Tabulka 13.56: Relativní srovnání konfigurací vůči referenční konfiguraci original

13.7.1.3 Zhodnocení testu

[Grsec](#) výkonnost meziprocesové komunikace může významně ovlivnit, zejména pak v konfiguracích [autoconf-security](#), [stackleak](#) a [uderef](#).

Po vytvoření roury

```
pipe(pvec);
```

se neustále opakují funkce standardní knihovny jazyka C

```
write(pvec[1], buf, sizeof(buf)) != sizeof(buf)
```

a

```
read(pvec[0], buf, sizeof(buf)) != sizeof(buf)
```

transformující se na systémová volání. To zesiluje vliv volby `PAX_MEMORY_STACKLEAK`, která nutí jádro po každém systémovém volání čistit `kerneldspace-stack`. Dále se významně negativně projeví konfigurace `uderef` a též `autoconf-security` obsahující jak `PAX_MEMORY_UDEREF`, tak i `PAX_MEMORY_STACKLEAK`. Pokles výkonnosti způsobený těmito volbami je až 67%.

13.7.2 Test `unixbench_execl`

Test `unixbench_execl` měří počet volání `execl()` uskutečnitelných na daném systému za 10 s. Funkce `execl()` provádí obdobnou činnost jako `execve()` – nahrazuje proces procesem novým, což dokládá závěrečná část funkce `main()` tohoto testu zobrazená v C kódu 13.1. Výstupem tohoto testu je počet úspěšně provedených nahrazení procesu – úspěšných volání `execl()` – za 10 s.

```
/* ... */
sprintf(count_str, "%lu", ++iter); /* increment the execl counter */
sprintf(start_str, "%lu", (unsigned long) start_time);
time(&this_time);
if (this_time - start_time >= duration) { /* time has run out */
    fprintf(stderr, "COUNT%lu|1|ps\n", iter);
    exit(0);
}
execl(fullpath, fullpath, "0", dur_str, count_str, start_str, (void *) 0);
fprintf(stderr, "Exec failed at iteration %lu\n", iter);
perror("Reason");
exit(1);
}
```

C kód 13.1: Nahrazení stávajícího procesu voláním funkce `execl()` v rámci testu `unixbench_execl`

měřená veličina	počet úspěšně provedených nahrazení procesu
jednotka měřené veličiny	není (bezrozměrná veličina)
počet opakování měření	7
počítač spouštějící testovací příkaz	xenmv
testovací příkaz	<code>execl 10 2>&1 tee /dev/stderr</code>

Tabulka 13.57: Charakteristiky testu `unixbench_execl`

13.7.2.1 Naměřené hodnoty pro jednotlivé konfigurace

měřená konfigurace	počet úspěšně provedených nahrazení procesu
original	39493
aslr-randkstack	40469
aslr-randmmap	40082
autoconf-performance	35075
autoconf-security	29426
blackhole	41134
no-simult-connect	39752
noexec	38262
noexec-pageexec	36755
noexec-segmexec	37759
rap	39527
rbac	39939
sanitize	40486
socket-limit	40465
stackleak	38626
structleak	39829
uderef	33066

Tabulka 13.58: Absolutní srovnání konfigurací

13.7.2.2 Srovnání konfigurací

měřená konfigurace	počet úspěšně provedených nahrazení procesu
original	1
aslr-randkstack	1,02
aslr-randmmap	1,01
autoconf-performance	0,88
autoconf-security	0,74
blackhole	1,04
no-simult-connect	1
noexec	0,96
noexec-pageexec	0,93
noexec-segmexec	0,95
rap	1
rbac	1,01
sanitize	1,02
socket-limit	1,02
stackleak	0,97
structleak	1
uderef	0,83

Tabulka 13.59: Relativní srovnání konfigurací vůči referenční konfiguraci original

13.7.2.3 Zhodnocení testu

Počet volání `exec1()` uskutečnitelných na daném systému za 10 s [Grsecurity](#) snižuje. Výrazněji pak v konfiguracích `uderef` a `autoconf-security`.

13.7.3 Test `unixbench_context1`

Test `unixbench_context1` vytvoří dva procesy. Následně měří, kolikrát se tyto procesy vystřídají v inkrementaci celého čísla, které si vzájemně posílají prostřednictvím roury. Po přečtení hodnoty ji proces vždy inkrementuje a ihned odesílá skrze rouru zpět. Test probíhá 10 s. Na počátku má jimi předávané číslo hodnotu 0, na konci představuje výsledek testu.

13.7.3.1 Naměřené hodnoty pro jednotlivé konfigurace

měřená veličina	počet výměn hodnoty skrze rouru za 10 s
jednotka měřené veličiny	není (bezrozměrná veličina)
počet opakování měření	7
počítač spouštějící testovací příkaz	xenmv
testovací příkaz	context1 10 2>&1 tee /dev/stderr

Tabulka 13.60: Charakteristiky testu `unixbench_context1`

měřená konfigurace	počet výměn hodnoty skrze rouru za 10 s
original	1332799
aslr-randkstack	1378279
aslr-randmmap	1376239
autoconf-performance	1196598
autoconf-security	998291
blackhole	1386173
no-simult-connect	1359749
noexec	1193432
noexec-pageexec	1160789
noexec-segmexec	1161787
rap	1379779
rbac	1387079
sanitize	1372651
socket-limit	1371357
stackleak	1223656
structleak	1323867
uderef	1086590

Tabulka 13.61: Absolutní srovnání konfigurací

13.7.3.2 Srovnání konfigurací

měřená konfigurace	počet výměn hodnoty skrze rouru za 10 s
original	1
aslr-randkstack	1,03
aslr-randmmap	1,03
autoconf-performance	0,89
autoconf-security	0,74
blackhole	1,04
no-simult-connect	1,02
noexec	0,89
noexec-pageexec	0,87
noexec-segmexec	0,87
rap	1,03
rbac	1,04
sanitize	1,02
socket-limit	1,02
stackleak	0,91
structleak	0,99
uderef	0,81

Tabulka 13.62: Relativní srovnání konfigurací vůči referenční konfiguraci original

13.7.3.3 Zhodnocení testu

Střídání dvojice procesů v inkrementaci celého čísla patch [Grsecurity](#) nezrychluje. Největší negativní výkonnostní dopad má, jako i ve většině předešlých testech, volba `PAX_MEMORY_UDEREF`. Poprvé se však negativně projevíly dosud nevýrazné konfigurace `noexec`, `noexec-pageexec` a `noexec-segmexec`. Tyto by měly přinášet podporu **NX bitu** čili nespustitelných stránek respektive v případě systému s podporou [x86-64](#) instrukcí ji vynutit v praxi používat.

13.7.4 Test `unixbench_spawn`

Test `unixbench_spawn` měří počet procesů, které 1 proces v daném časovém limitu (10s) stihne vytvořit voláním `fork()`. Potomci procesu jsou po svém úspěšném vytvoření ihned ukončeni.

měřená veličina	počet procesů vytvořených voláním <code>fork</code> za 10 s
jednotka měřené veličiny	není (bezrozměrná veličina)
počet opakování měření	7
počítač spouštějící testovací příkaz	xenmv
testovací příkaz	<code>spawn 10 2>&1 tee /dev/stderr</code>

Tabulka 13.63: Charakteristiky testu `unixbench_spawn`

13.7.4.1 Naměřené hodnoty pro jednotlivé konfigurace

měřená konfigurace	počet procesů vytvořených voláním fork za 10 s
original	105935
aslr-randkstack	106829
aslr-randmmap	104403
autoconf-performance	90246
autoconf-security	82409
blackhole	106906
no-simult-connect	108566
noexec	93760
noexec-pageexec	92895
noexec-segmexec	92341
rap	106407
rbac	105463
sanitize	105211
socket-limit	108866
stackleak	100176
structleak	109220
uderef	94535

Tabulka 13.64: Absolutní srovnání konfigurací

13.7.4.2 Srovnání konfigurací

měřená konfigurace	počet procesů vytvořených voláním fork za 10 s
original	1
aslr-randkstack	1
aslr-randmmap	0,98
autoconf-performance	0,85
autoconf-security	0,77
blackhole	1
no-simult-connect	1,02
noexec	0,88
noexec-pageexec	0,87
noexec-segmexec	0,87
rap	1
rbac	0,99
sanitize	0,99
socket-limit	1,02
stackleak	0,94
structleak	1,03
uderef	0,89

Tabulka 13.65: Relativní srovnání konfigurací vůči referenční konfiguraci original

13.7.4.3 Zhodnocení testu

Výsledek je podobný výsledku dosaženému měřením v kapitole 13.7.3. V tomto případě není dopad volby PAX_MEMORY_UDEREF na výkonnost tak patrný jako ve zmíněném měření. Patrně to bude způsobeno faktem, že v tomto případě přece jen proběhne o poznání méně systémových volání a tedy i výměn dat mezi [User Space](#) a [Kernel Space](#), které právě volba PAX_MEMORY_UDEREF brzdí. Konfigurace nějakým způsobem spjaté s [NX bitem](#) způsobují zhoršení výkonnosti o cca 13 %.

13.7.5 Test unixbench_syscall

V rámci testu `unixbench_syscall` jednoduchý program opakovaně volá

- **funkci `close()`,**
- ```
while (1) { close(dup(0)); iter++; }
```

- funkci `getpid()`,

```
while (1) { getpid(); iter++; }
```

- funkci `exec()` nebo

```
while (1) {
 pid_t pid = fork();
 if (pid < 0) {
 fprintf(stderr, "%s: fork failed\n", argv[0]);
 exit(1);
 } else if (pid == 0) {
 execl("/bin/true", "/bin/true", (char *) 0);
 fprintf(stderr, "%s: exec /bin/true failed\n", argv[0]);
 exit(1);
 } else {
 if (waitpid(pid, NULL, 0) < 0) {
 fprintf(stderr, "%s: waitpid failed\n", argv[0]);
 exit(1);
 }
 }
 iter++;
}
```

- všechny výše uvedené funkce při přibližně stejné četnosti volání každé z nich.

```
while (1) { close(dup(0)); getpid(); getuid(); umask(022); iter++; }
```

Na jejich volání má omezený čas. Výstupem testu je **počet dokončených volání za 10 s**. Pochopitelně zde platí přímá úměra: Čím je počet dokončených volání v daném čase menší, tím větší jsou náklady na přepnutí z **user mode** do **kernel mode** a zase zpět.

|                                             |                                              |
|---------------------------------------------|----------------------------------------------|
| <b>NZPV</b> ( $x$ )                         | typ systémových volání                       |
| <b>jednotka NZPV</b>                        | není (bezrozměrná veličina)                  |
| <b>ZPV</b> ( $y$ )                          | počet dokončených volání daného typu za 10 s |
| <b>jednotka ZPV</b>                         | není (bezrozměrná veličina)                  |
| <b>počet opakování měření</b>               | 7                                            |
| <b>počítač spouštějící testovací příkaz</b> | xenmv                                        |
| <b>testovací příkaz</b>                     | syscall 10 \${X} 2>&1   tee /dev/stderr      |

Tabulka 13.66: Charakteristiky testu `unixbench_syscall`

### 13.7.5.1 Naměřené hodnoty pro jednotlivé konfigurace

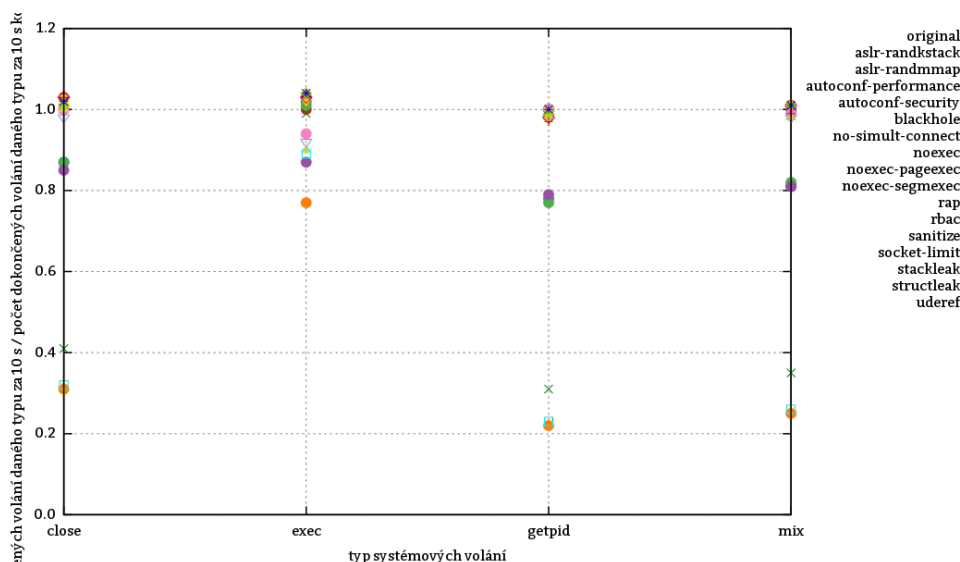
| měřená konfigurace   | typ systémových volání |       |           |          |
|----------------------|------------------------|-------|-----------|----------|
|                      | close                  | exec  | getpid    | mix      |
| original             | 52973925               | 31035 | 169258450 | 28084062 |
| aslr-randkstack      | 46224722               | 31933 | 132360318 | 22926830 |
| aslr-randmmap        | 46375352               | 31465 | 131079846 | 23081849 |
| autoconf-performance | 45438179               | 27097 | 133987421 | 22948095 |
| autoconf-security    | 16616653               | 24039 | 37957026  | 7196484  |
| blackhole            | 54519547               | 32271 | 167216810 | 28489886 |
| no-simult-connect    | 55059974               | 32161 | 169811437 | 28486342 |
| noexec               | 53438172               | 29196 | 170822437 | 28051658 |
| noexec-pageexec      | 53455420               | 28011 | 166794907 | 27725934 |
| noexec-segmexec      | 52186998               | 28741 | 166332191 | 27798614 |
| rap                  | 54881484               | 31835 | 169919531 | 28394941 |
| rbac                 | 54875862               | 32125 | 166310413 | 28482315 |
| sanitize             | 53848868               | 32292 | 167835331 | 28519992 |
| socket-limit         | 54789769               | 32569 | 164659031 | 28044317 |
| stackleak            | 21917115               | 30806 | 53731186  | 9949681  |
| structleak           | 54342763               | 32301 | 169996077 | 28461844 |
| uderef               | 17405268               | 27896 | 39851823  | 7565131  |

Tabulka 13.67: Absolutní srovnání konfigurací

## 13.7.5.2 Srovnání konfigurací

| měřená konfigurace   | typ systémových volání |      |        |      | průměr |
|----------------------|------------------------|------|--------|------|--------|
|                      | close                  | exec | getpid | mix  |        |
| original             | 1                      | 1    | 1      | 1    | 1      |
| aslr-randkstack      | 0,87                   | 1,02 | 0,78   | 0,81 | 0,87   |
| aslr-randmmap        | 0,87                   | 1,01 | 0,77   | 0,82 | 0,86   |
| autoconf-performance | 0,85                   | 0,87 | 0,79   | 0,81 | 0,83   |
| autoconf-security    | 0,31                   | 0,77 | 0,22   | 0,25 | 0,38   |
| blackhole            | 1,02                   | 1,03 | 0,98   | 1,01 | 1,01   |
| no-simult-connect    | 1,03                   | 1,03 | 1      | 1,01 | 1,01   |
| noexec               | 1                      | 0,94 | 1      | 0,99 | 0,98   |
| noexec-pageexec      | 1                      | 0,9  | 0,98   | 0,98 | 0,96   |
| noexec-segmexec      | 0,98                   | 0,92 | 0,98   | 0,98 | 0,96   |
| rap                  | 1,03                   | 1,02 | 1      | 1,01 | 1,01   |
| rbac                 | 1,03                   | 1,03 | 0,98   | 1,01 | 1,01   |
| sanitize             | 1,01                   | 1,04 | 0,99   | 1,01 | 1,01   |
| socket-limit         | 1,03                   | 1,04 | 0,97   | 0,99 | 1      |
| stackleak            | 0,41                   | 0,99 | 0,31   | 0,35 | 0,51   |
| structleak           | 1,02                   | 1,04 | 1      | 1,01 | 1,01   |
| uderef               | 0,32                   | 0,89 | 0,23   | 0,26 | 0,42   |

Tabulka 13.68: Relativní srovnání konfigurací vůči referenční konfiguraci original



Obrázek 13.13: Relativní srovnání konfigurací vůči referenční konfiguraci original

### 13.7.5.3 Zhodnocení testu

Počet dokončených volání za 10 s [Grsec](#) zpravidla snižuje. Konfigurace [stackleak](#), [uderef](#) a [autoconf-security](#) mají naprosto zásadní dopad na rychlost obsluhy systémových volání vyjma volání `exec()` a dokáží výkonnost systému ponížít až na 38 % jeho původní výkonnosti. Poprvé se v měření výrazněji projevila konfigurace [aslr-randmmap](#), která má za úkol znáhodňovat umístění jakýchkoliv mapování programů včetně [mapování anonymních](#). Více viz kapitola [9.1.5](#).

### 13.7.6 Test `unixbench_fstime`

Test `unixbench_fstime` zjišťuje datový tok při kopírování za tímto účelem vytvořeného dočasného souboru do jiného umístění na disku při různých velikostech bloku. Nezávisle proměnnou v tomto testu je právě velikost bloku. Kopírování trvá 10 s.

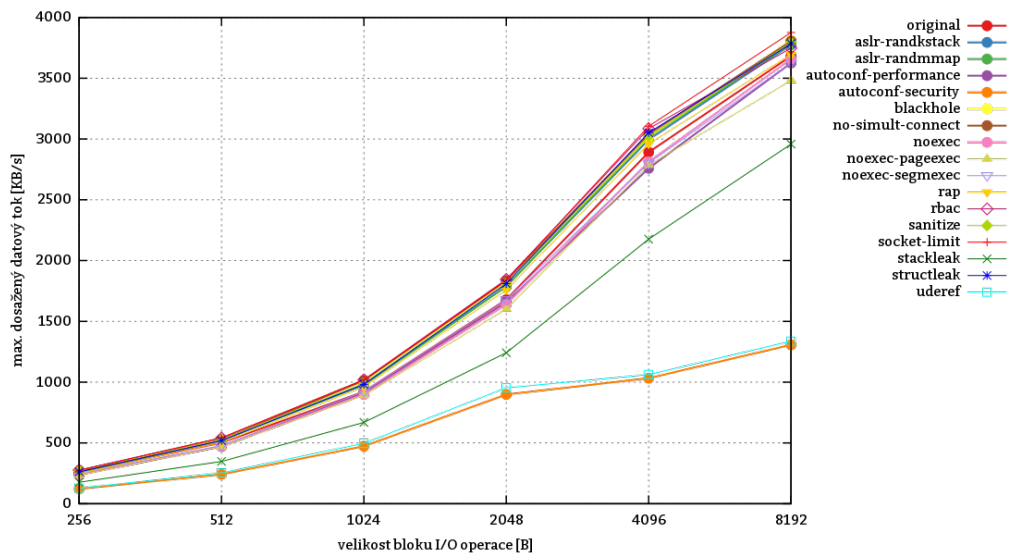
|                                             |                                                                                   |
|---------------------------------------------|-----------------------------------------------------------------------------------|
| <b>NZPV (<math>x</math>)</b>                | velikost bloku I/O operace                                                        |
| <b>jednotka NZPV</b>                        | B                                                                                 |
| <b>ZPV (<math>y</math>)</b>                 | max. dosažený datový tok                                                          |
| <b>jednotka ZPV</b>                         | KB/s                                                                              |
| <b>počet opakování měření</b>               | 3                                                                                 |
| <b>počítač spouštějící testovací příkaz</b> | xenmv                                                                             |
| <b>testovací příkaz</b>                     | <code>fstime -c -b <math>\\${X}</math> -t 10 2&gt;&amp;1   tee /dev/stderr</code> |

Tabulka 13.69: Charakteristiky testu `unixbench_fstime`

#### 13.7.6.1 Naměřené hodnoty pro jednotlivé konfigurace

| měřená konfigurace   | velikost bloku I/O operace [B] |       |      |      |      |      |
|----------------------|--------------------------------|-------|------|------|------|------|
|                      | 256                            | 512   | 1024 | 2048 | 4096 | 8192 |
| original             | 257,3                          | 502,1 | 921  | 1678 | 2891 | 3682 |
| aslr-randkstack      | 263,5                          | 520,7 | 984  | 1789 | 2994 | 3775 |
| aslr-randmmap        | 259,9                          | 522,1 | 976  | 1786 | 3015 | 3781 |
| autoconf-performance | 239,8                          | 471,8 | 913  | 1656 | 2758 | 3625 |
| autoconf-security    | 122,6                          | 242,1 | 473  | 898  | 1032 | 1306 |
| blackhole            | 273,1                          | 524,0 | 1010 | 1824 | 3019 | 3811 |
| no-simult-connect    | 271,2                          | 526,2 | 1013 | 1835 | 3039 | 3804 |
| noexec               | 240,4                          | 471,1 | 898  | 1639 | 2811 | 3659 |
| noexec-pageexec      | 233,3                          | 469,4 | 891  | 1600 | 2785 | 3480 |
| noexec-segmexec      | 247,8                          | 479,1 | 923  | 1679 | 2801 | 3627 |
| rap                  | 249,8                          | 503,5 | 961  | 1759 | 2959 | 3694 |
| rbac                 | 277,2                          | 540,7 | 1019 | 1846 | 3085 | 3747 |
| sanitize             | 272,0                          | 528,0 | 990  | 1811 | 3022 | 3793 |
| socket-limit         | 274,0                          | 543,0 | 1018 | 1838 | 3105 | 3875 |
| stackleak            | 176,3                          | 347,4 | 668  | 1242 | 2176 | 2958 |
| structleak           | 262,3                          | 519,5 | 981  | 1809 | 3052 | 3784 |
| uderef               | 128,9                          | 253,8 | 497  | 953  | 1062 | 1337 |

Tabulka 13.70: Absolutní srovnání konfigurací

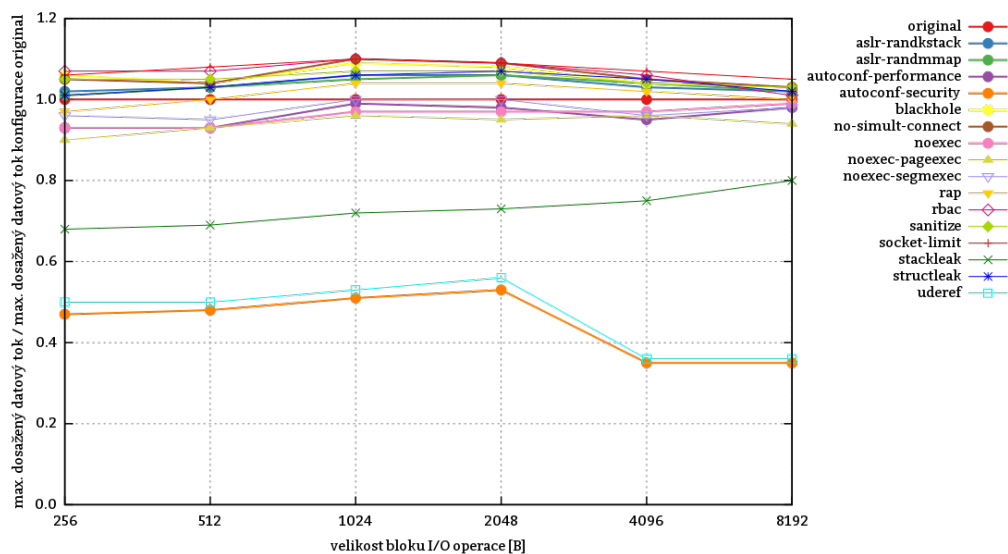


Obrázek 13.14: Absolutní srovnání konfigurací

### 13.7.6.2 Srovnání konfigurací

| měřená konfigurace   | velikost bloku I/O operace [B] |      |      |      |      |      | průměr |
|----------------------|--------------------------------|------|------|------|------|------|--------|
|                      | 256                            | 512  | 1024 | 2048 | 4096 | 8192 |        |
| original             | 1                              | 1    | 1    | 1    | 1    | 1    | 1      |
| aslr-randkstack      | 1,02                           | 1,03 | 1,06 | 1,06 | 1,03 | 1,02 | 1,03   |
| aslr-randmmap        | 1,01                           | 1,03 | 1,05 | 1,06 | 1,04 | 1,02 | 1,03   |
| autoconf-performance | 0,93                           | 0,93 | 0,99 | 0,98 | 0,95 | 0,98 | 0,96   |
| autoconf-security    | 0,47                           | 0,48 | 0,51 | 0,53 | 0,35 | 0,35 | 0,44   |
| blackhole            | 1,06                           | 1,04 | 1,09 | 1,08 | 1,04 | 1,03 | 1,05   |
| no-simult-connect    | 1,05                           | 1,04 | 1,1  | 1,09 | 1,05 | 1,03 | 1,06   |
| noexec               | 0,93                           | 0,93 | 0,97 | 0,97 | 0,97 | 0,99 | 0,96   |
| noexec-pageexec      | 0,9                            | 0,93 | 0,96 | 0,95 | 0,96 | 0,94 | 0,94   |
| noexec-segmexec      | 0,96                           | 0,95 | 1    | 1    | 0,96 | 0,98 | 0,97   |
| rap                  | 0,97                           | 1    | 1,04 | 1,04 | 1,02 | 1    | 1,01   |
| rbac                 | 1,07                           | 1,07 | 1,1  | 1,09 | 1,06 | 1,01 | 1,06   |
| sanitize             | 1,05                           | 1,05 | 1,07 | 1,07 | 1,04 | 1,03 | 1,05   |
| socket-limit         | 1,06                           | 1,08 | 1,1  | 1,09 | 1,07 | 1,05 | 1,07   |
| stackleak            | 0,68                           | 0,69 | 0,72 | 0,73 | 0,75 | 0,8  | 0,72   |
| structleak           | 1,01                           | 1,03 | 1,06 | 1,07 | 1,05 | 1,02 | 1,04   |
| uderef               | 0,5                            | 0,5  | 0,53 | 0,56 | 0,36 | 0,36 | 0,46   |

Tabulka 13.71: Relativní srovnání konfigurací vůči referenční konfiguraci original



Obrázek 13.15: Relativní srovnání konfigurací vůči referenční konfiguraci original

### 13.7.6.3 Zhodnocení testu

Přítomnost [Grsecurity](#) v některých konfiguracích přinesla dokonce nárůst výkonnosti. Vyjma konfigurací [uderef](#) a [stackleak](#) však lze odchytky od výsledku referenční konfigurace přičíst [NMMP](#). Významnější dopad je pozorovatelný u konfigurací [stackleak](#), [uderef](#) a [autoconf-security](#).

Konfigurace [uderef](#) obsahuje aktivovanou volbu `PAX_MEMORY_UDEREF`. Tato volba má naprosto zásadní vliv na výkonnost I/O operací, kdy aktivace jí samotné srazí výkon na 46 %. Konfigurace [stackleak](#) vynucením mazání [kernel-space-stack](#) před každým předáním obsluhy uživatelskému programu způsobuje taktéž zpomalení, avšak průměrně jen o 28 %.

## 13.8 Testy nástrojem sysbench

Nástroj sysbench poskytuje funkce pro testování celé škály systémových komponent. Příkazy vyskytující se v této kapitole přejímají mnohé parametry. Z důvodu úspory prostoru se popis jejich významu vyskytuje v tomto dokumentu pouze jednou a to v tabulce [13.72](#).

| Přepínač           | Význam                                                                                |
|--------------------|---------------------------------------------------------------------------------------|
| --test             | určení testu z množiny všech testů poskytovaných nástrojem sysbench                   |
| --file-num         | počet souborů, nad kterými bude prováděn test                                         |
| --file-total-size  | celková velikost souborů, nad kterými bude prováděn test                              |
| --file-block-size  | velikost bloku, kterým budou prováděny jednotlivé operace                             |
| --max-time         | omezení trvání testu shora (v sekundách)                                              |
| --file-extra-flags | Volba „direct“ minimalizuje vliv mezipaměti při přístupu k souboru, který se používá. |
| --file-test-mode   | charakteristika přístupu k souboru (náhodné/sekvenční čtení/zápis)                    |
| --max-requests     | omezení počtu operací                                                                 |

Tabulka 13.72: Parametry příkazu sysbench

### 13.8.1 Test sysbench\_cpu

Test sysbench\_cpu nechá jím prověřovaný počítač hledat největší prvočíslo menší než 100000. Algoritmus hledání nejvyššího prvočísla, který program používá je následující:

1. Program vezme číslo  $n$  a to se pokouší postupně dělit číslem  $m$ , přičemž  $m \in (2, \sqrt{n})^3$ .
2. Vyjde-li podíl  $\frac{n}{m}$  pro alespoň jedno  $m$  beze zbytku, potom program našel dělitele čísla  $n$  a číslo  $n$  proto není prvočíslo. V ten okamžik program končí se zkoumáním čísla  $n$ .
3. Nevyjde-li podíl pro žádné  $m$  beze zbytku, potom číslo  $n$  není prvočíslo. Po vyzkoušení všech  $m$  program končí se zkoumáním čísla  $n$ .
4. Nebylo-li  $n$  posledním zkoumaným číslem, potom program přechází k číslu  $n + 1$  a pokračuje opět bodem 1.

|                                             |                                                                    |
|---------------------------------------------|--------------------------------------------------------------------|
| <b>NZPV (<math>x</math>)</b>                | počet úlohu zpracovávajících vláken                                |
| <b>jednotka NZPV</b>                        | není (bezrozměrná veličina)                                        |
| <b>ZPV (<math>y</math>)</b>                 | doba potřebná k nalezení max. prvočísla < 100000                   |
| <b>jednotka ZPV</b>                         | s                                                                  |
| <b>počet opakování měření</b>               | 3                                                                  |
| <b>počítač spouštějící testovací příkaz</b> | xenmv                                                              |
| <b>testovací příkaz</b>                     | sysbench --test=cpu --cpu-max-prime=100000 --num-threads=\${X} run |

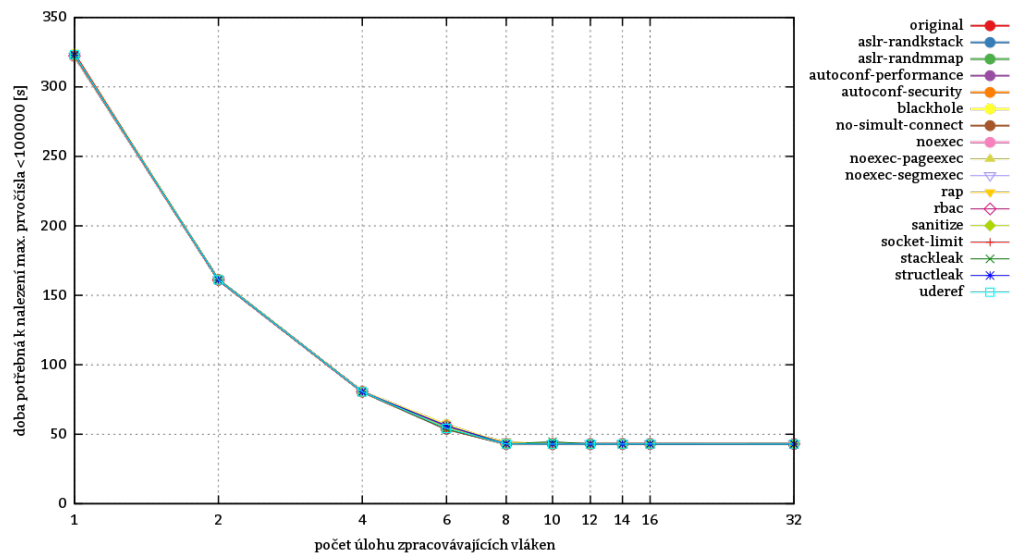
Tabulka 13.73: Charakteristiky testu sysbench\_cpu

#### 13.8.1.1 Naměřené hodnoty pro jednotlivé konfigurace

<sup>3</sup>Program postupně vybírá  $m$  od nejmenšího možného po největší možné.

| měřená konfigurace   | počet úlohu zpracovávajících vláken |         |        |        |        |        |        |        |        |        |
|----------------------|-------------------------------------|---------|--------|--------|--------|--------|--------|--------|--------|--------|
|                      | 1                                   | 2       | 4      | 6      | 8      | 10     | 12     | 14     | 16     | 32     |
| original             | 322,348                             | 161,011 | 80,511 | 53,686 | 43,01  | 42,971 | 42,956 | 42,955 | 42,962 | 42,97  |
| aslr-randkstack      | 322,817                             | 161,282 | 80,54  | 53,69  | 43,07  | 42,968 | 42,96  | 42,959 | 42,952 | 42,95  |
| aslr-randmmap        | 322,185                             | 161,278 | 80,607 | 54,586 | 43,087 | 42,987 | 42,954 | 42,96  | 42,953 | 42,98  |
| autoconf-performance | 322,722                             | 161,073 | 80,67  | 56,019 | 42,991 | 42,953 | 42,958 | 42,958 | 42,952 | 42,953 |
| autoconf-security    | 322,025                             | 161,021 | 80,518 | 56,029 | 42,97  | 42,973 | 42,963 | 42,959 | 42,959 | 42,971 |
| blackhole            | 323,653                             | 161,197 | 80,691 | 56,994 | 43,131 | 42,953 | 42,953 | 42,954 | 42,957 | 43,004 |
| no-simult-connect    | 322,67                              | 161,007 | 80,509 | 53,784 | 42,986 | 42,999 | 43,03  | 43,022 | 42,989 | 42,961 |
| noexec               | 321,99                              | 161,009 | 80,502 | 56,026 | 42,991 | 42,973 | 42,961 | 42,957 | 42,955 | 42,955 |
| noexec-pageexec      | 322,366                             | 160,999 | 80,505 | 54,58  | 43,024 | 42,966 | 42,957 | 42,958 | 42,955 | 42,96  |
| noexec-segmexec      | 322,143                             | 161,079 | 80,509 | 54,472 | 43,008 | 42,977 | 42,957 | 42,955 | 42,958 | 42,956 |
| rap                  | 323,341                             | 161,055 | 80,506 | 54,571 | 44,514 | 42,953 | 42,952 | 43,032 | 43,014 | 42,966 |
| rbac                 | 322,353                             | 160,988 | 80,529 | 56,019 | 43,017 | 42,95  | 42,953 | 42,989 | 43,014 | 43,018 |
| sanitize             | 322,12                              | 161,01  | 80,506 | 56,05  | 43,007 | 42,962 | 42,957 | 43,041 | 43,041 | 43,008 |
| socket-limit         | 324,507                             | 161,002 | 80,509 | 53,723 | 43,116 | 42,985 | 42,956 | 42,954 | 42,958 | 42,95  |
| stackleak            | 323,147                             | 161,373 | 80,503 | 53,718 | 43,095 | 44,606 | 42,955 | 42,98  | 42,96  | 43,012 |
| structleak           | 322,842                             | 160,998 | 80,504 | 56,029 | 43,131 | 42,961 | 42,952 | 42,953 | 42,972 | 42,97  |
| uderef               | 323,224                             | 161,13  | 80,531 | 54,183 | 43,03  | 42,968 | 42,957 | 42,961 | 42,995 | 42,96  |

Tabulka 13.74: Absolutní srovnání konfigurací



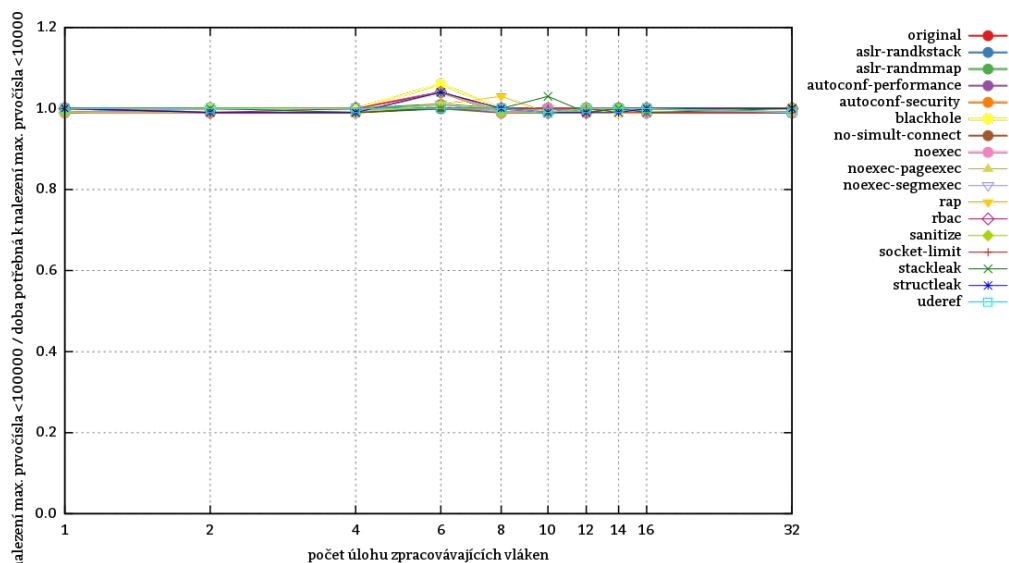
Obrázek 13.16: Absolutní srovnání konfigurací



### 13.8.1.2 Srovnání konfigurací

| měřená konfigurace   | počet úlohu zpracovávajících vláken |      |      |      |      |      |      |      |      |      |      | průměr |
|----------------------|-------------------------------------|------|------|------|------|------|------|------|------|------|------|--------|
|                      | 1                                   | 2    | 4    | 6    | 8    | 10   | 12   | 14   | 16   | 32   |      |        |
| original             | 1                                   | 1    | 1    | 1    | 1    | 1    | 1    | 1    | 1    | 1    | 1    | 1      |
| aslr-randkstack      | 1                                   | 1    | 1    | 1    | 1    | 1    | 0,99 | 1    | 1    | 0,99 | 0,99 | 0,99   |
| aslr-randmmap        | 0,99                                | 1    | 1    | 1,01 | 1    | 1    | 0,99 | 1    | 0,99 | 1    | 0,99 | 0,99   |
| autoconf-performance | 1                                   | 1    | 1    | 1,04 | 0,99 | 0,99 | 1    | 1    | 0,99 | 0,99 | 1    | 1      |
| autoconf-security    | 0,99                                | 1    | 1    | 1,04 | 0,99 | 1    | 1    | 1    | 0,99 | 1    | 1    | 1      |
| blackhole            | 1                                   | 1    | 1    | 1,06 | 1    | 0,99 | 0,99 | 0,99 | 0,99 | 1    | 1    | 1      |
| no-simult-connect    | 1                                   | 0,99 | 0,99 | 1    | 0,99 | 1    | 1    | 1    | 1    | 0,99 | 0,99 | 0,99   |
| noexec               | 0,99                                | 0,99 | 0,99 | 1,04 | 0,99 | 1    | 1    | 1    | 0,99 | 0,99 | 0,99 | 0,99   |
| noexec-pageexec      | 1                                   | 0,99 | 0,99 | 1,01 | 1    | 0,99 | 1    | 1    | 0,99 | 0,99 | 0,99 | 0,99   |
| noexec-segmexec      | 0,99                                | 1    | 0,99 | 1,01 | 0,99 | 1    | 1    | 1    | 0,99 | 0,99 | 0,99 | 0,99   |
| rap                  | 1                                   | 1    | 0,99 | 1,01 | 1,03 | 0,99 | 0,99 | 1    | 1    | 0,99 | 1    | 1      |
| rbac                 | 1                                   | 0,99 | 1    | 1,04 | 1    | 0,99 | 0,99 | 1    | 1    | 1    | 1    | 1      |
| sanitize             | 0,99                                | 0,99 | 0,99 | 1,04 | 0,99 | 0,99 | 1    | 1    | 1    | 1    | 1    | 0,99   |
| socket-limit         | 1                                   | 0,99 | 0,99 | 1    | 1    | 1    | 1    | 0,99 | 0,99 | 0,99 | 0,99 | 0,99   |
| stackleak            | 1                                   | 1    | 0,99 | 1    | 1    | 1,03 | 0,99 | 1    | 0,99 | 1    | 1    | 1      |
| structleak           | 1                                   | 0,99 | 0,99 | 1,04 | 1    | 0,99 | 0,99 | 0,99 | 1    | 1    | 0,99 | 0,99   |
| uderef               | 1                                   | 1    | 1    | 1    | 1    | 0,99 | 1    | 1    | 1    | 0,99 | 0,99 | 0,99   |

Tabulka 13.75: Relativní srovnání konfigurací vůči referenční konfiguraci original



Obrázek 13.17: Relativní srovnání konfigurací vůči referenční konfiguraci original

### 13.8.1.3 Zhodnocení testu

Test nezjistil mezi konfiguracemi rozdíl větší, nežli by mohla být chyba měření. Výpočet škáluje s počtem procesorových jader. Přidávání vláken po dosažení počtu systému dostupných procesorových jader již nepřináší žádný užitek.

### 13.8.2 Test sysbench\_fileio\_rndrd\_s

Test sysbench\_fileio\_rndrd\_s měří datovou propustnost při přístupu k souborům. Je prováděno 100000 přístupů/operací nad náhodně volenými soubory. Jedná se o 100 za tímto účelem vytvořených souborů. Každý jeden soubor je velký 2 kB. Po ukončení testu jsou z FS odstraněny. NZPV je velikost bloku – 512, 1024, 1536<sup>4</sup> a 2048. Vzhledem k tomu, že mezi hodnotami NZPV je tak zařazena jedna, která pravděpodobně způsobí pokles výkonu, bylo přijato rozhodnutí, že hodnoty v grafech reprezentujících naměřená data budou spojeny pouze přerušovanými čarami, což by mělo čtenáři připomenout, že spojnice mezi naměřenými hodnotami „nemají význam“ a byly zachovány pouze v zájmu

jeho lepší orientace.

|                                             |                                                                                                                                                                                                 |
|---------------------------------------------|-------------------------------------------------------------------------------------------------------------------------------------------------------------------------------------------------|
| <b>NZPV</b> ( $x$ )                         | velikost bloku                                                                                                                                                                                  |
| <b>jednotka NZPV</b>                        | B                                                                                                                                                                                               |
| <b>ZPV</b> ( $y$ )                          | propustnost                                                                                                                                                                                     |
| <b>jednotka ZPV</b>                         | Mb/s                                                                                                                                                                                            |
| <b>počet opakování měření</b>               | 3                                                                                                                                                                                               |
| <b>počítač spouštějící testovací příkaz</b> | xenmv                                                                                                                                                                                           |
| <b>testovací příkaz</b>                     | <pre>sysbench --test=fileio --file-num=100 --file-total-size=200K ↪ --max-requests=100000 --max-time=200 ↪ --file-extra-flags=direct --file-block-size=\${X} ↪ --file-test-mode=rndrd run</pre> |

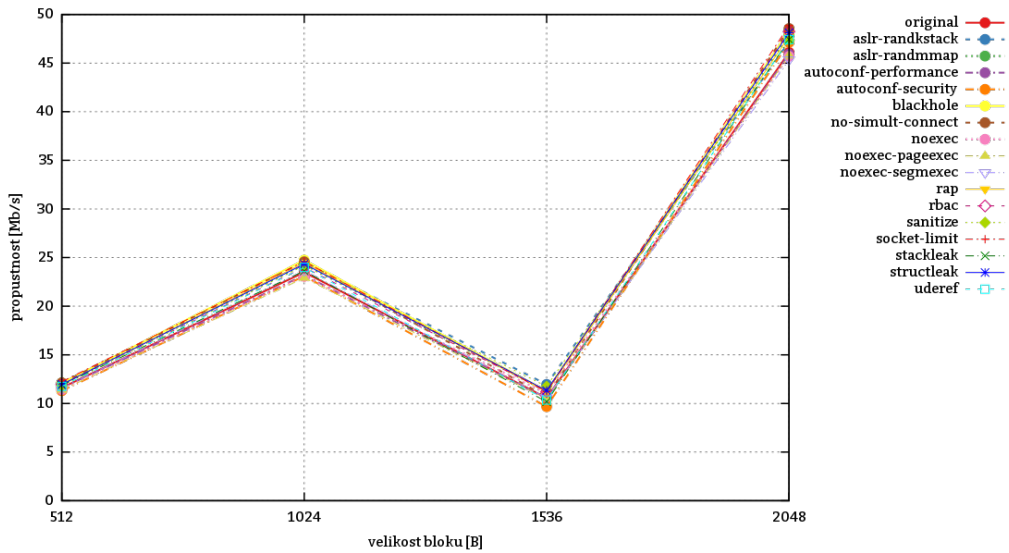
Tabulka 13.76: Charakteristiky testu `sysbench_fileio_rndrd_s`

### 13.8.2.1 Naměřené hodnoty pro jednotlivé konfigurace

| měřená konfigurace   | velikost bloku [B] |        |       |        |
|----------------------|--------------------|--------|-------|--------|
|                      | 512                | 1024   | 1536  | 2048   |
| original             | 11,626             | 23,492 | 10,56 | 46,091 |
| aslr-randkstack      | 12,091             | 24,539 | 11,95 | 47,206 |
| aslr-randmmap        | 12,05              | 24,271 | 11,25 | 47,857 |
| autoconf-performance | 11,61              | 23,18  | 10,49 | 45,928 |
| autoconf-security    | 11,305             | 23,095 | 9,67  | 47,131 |
| blackhole            | 12,111             | 24,737 | 11,26 | 48,336 |
| no-simult-connect    | 12,121             | 24,566 | 10,68 | 48,552 |
| noexec               | 11,422             | 23,071 | 11,05 | 45,696 |
| noexec-pageexec      | 11,399             | 22,916 | 10,49 | 45,771 |
| noexec-segmexec      | 11,579             | 23,66  | 10,57 | 45,347 |
| rap                  | 11,93              | 24,481 | 11,18 | 47,732 |
| rbac                 | 11,948             | 23,999 | 11,23 | 48,236 |
| sanitize             | 11,859             | 24,188 | 11,75 | 47,342 |
| socket-limit         | 12,24              | 24,594 | 11,20 | 48,851 |
| stackleak            | 11,875             | 23,63  | 10,17 | 47,423 |
| structleak           | 11,953             | 24,343 | 11,33 | 48,114 |
| uderef               | 11,753             | 23,987 | 10,35 | 47,413 |

Tabulka 13.77: Absolutní srovnání konfigurací

<sup>4</sup>Velikost bloku 1536 byla doplněna až na dodatečně. Autor, jsa vědom toho, že velikost bloku, která není mocninou dvou, se v praxi nepoužívá, neboť práce s ní bude z principu značně neefektivní, dostal explicitní požehnání k jeho zařazení do testu od vedoucího této práce. Oba se shodli na tom, že naměřený výsledek bude přínosný minimálně v tom, že ukáže, jak moc poklesne výkonost systému.

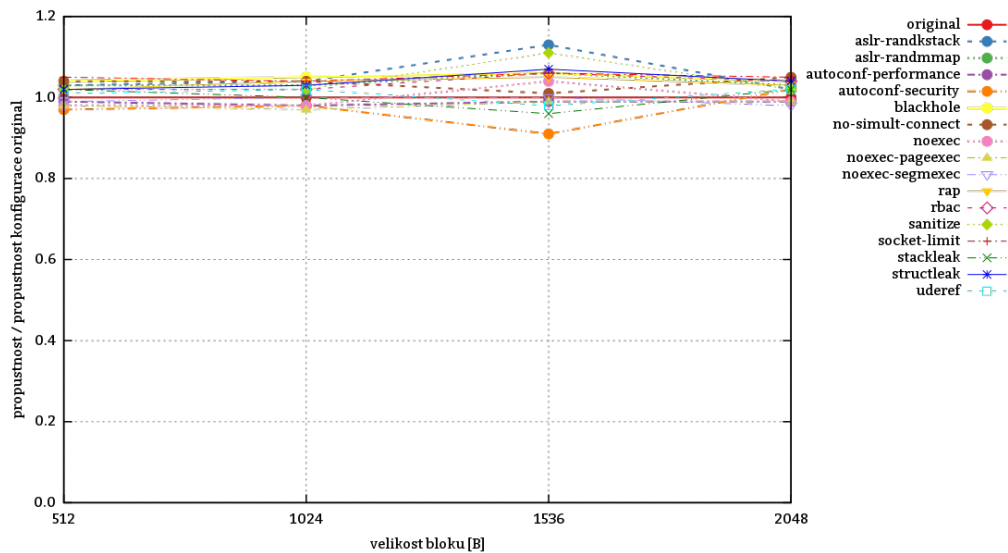


Obrázek 13.18: Absolutní srovnání konfigurací

### 13.8.2.2 Srovnání konfigurací

| měřená konfigurace   | velikost bloku [B] |      |      |      | průměr |
|----------------------|--------------------|------|------|------|--------|
|                      | 512                | 1024 | 1536 | 2048 |        |
| original             | 1                  | 1    | 1    | 1    | 1      |
| aslr-randkstack      | 1,03               | 1,04 | 1,13 | 1,02 | 1,05   |
| aslr-randmmap        | 1,03               | 1,03 | 1,06 | 1,03 | 1,03   |
| autoconf-performance | 0,99               | 0,98 | 0,99 | 0,99 | 0,98   |
| autoconf-security    | 0,97               | 0,98 | 0,91 | 1,02 | 0,97   |
| blackhole            | 1,04               | 1,05 | 1,06 | 1,04 | 1,04   |
| no-simult-connect    | 1,04               | 1,04 | 1,01 | 1,05 | 1,03   |
| noexec               | 0,98               | 0,98 | 1,04 | 0,99 | 0,99   |
| noexec-pageexec      | 0,98               | 0,97 | 0,99 | 0,99 | 0,98   |
| noexec-segmexec      | 0,99               | 1    | 1    | 0,98 | 0,99   |
| rap                  | 1,02               | 1,04 | 1,05 | 1,03 | 1,03   |
| rbac                 | 1,02               | 1,02 | 1,06 | 1,04 | 1,03   |
| sanitize             | 1,02               | 1,02 | 1,11 | 1,02 | 1,04   |
| socket-limit         | 1,05               | 1,04 | 1,06 | 1,05 | 1,05   |
| stackleak            | 1,02               | 1    | 0,96 | 1,02 | 1      |
| structleak           | 1,02               | 1,03 | 1,07 | 1,04 | 1,04   |
| uderef               | 1,01               | 1,02 | 0,98 | 1,02 | 1      |

Tabulka 13.78: Relativní srovnání konfigurací vůči referenční konfiguraci original



Obrázek 13.19: Relativní srovnání konfigurací vůči referenční konfiguraci original

### 13.8.2.3 Zhodnocení testu

Test ukázal, že propustnost při náhodném čtení velkého množství malých souborů limituje něco zcela jiného nežli **Grsec**. Patrně propustnost disku. To, že test neprokázal odlišnosti nevyklučuje, že by se při použití rychlejšího disku – např. SSD – situace nezměnila a **Grsec** se neukázal být brzdou datové propustnosti.

### 13.8.3 Test sysbench\_fileio\_rndwr\_s

Test 13.8.3 je odvozen od 13.8.2. Liší se od něj v tom, že tentokrát nad danými soubory neprobíhá náhodné čtení, ale náhodný zápis.

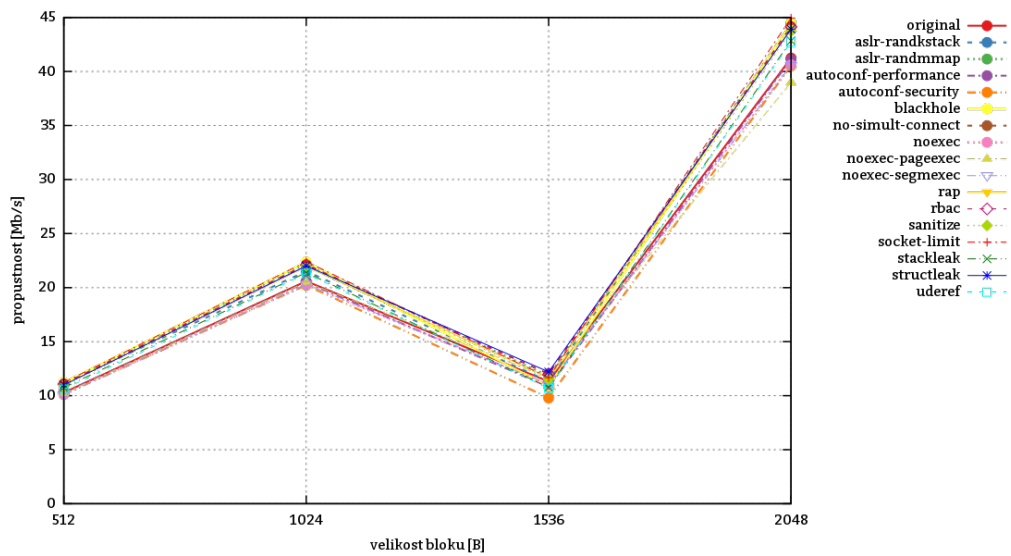
|                                             |                                                                                                                                                                                                 |
|---------------------------------------------|-------------------------------------------------------------------------------------------------------------------------------------------------------------------------------------------------|
| <b>NZPV (x)</b>                             | velikost bloku                                                                                                                                                                                  |
| <b>jednotka NZPV</b>                        | B                                                                                                                                                                                               |
| <b>ZPV (y)</b>                              | propustnost                                                                                                                                                                                     |
| <b>jednotka ZPV</b>                         | Mb/s                                                                                                                                                                                            |
| <b>počet opakování měření</b>               | 3                                                                                                                                                                                               |
| <b>počítač spouštějící testovací příkaz</b> | xenmv                                                                                                                                                                                           |
| <b>testovací příkaz</b>                     | <pre>sysbench --test=fileio --file-num=100 --file-total-size=200K ↪ --max-requests=100000 --max-time=200 ↪ --file-extra-flags=direct --file-block-size=\${X} ↪ --file-test-mode=rndwr run</pre> |

Tabulka 13.79: Charakteristiky testu sysbench\_fileio\_rndwr\_s

#### 13.8.3.1 Naměřené hodnoty pro jednotlivé konfigurace

| měřená konfigurace   | velikost bloku [B] |        |       |       |
|----------------------|--------------------|--------|-------|-------|
|                      | 512                | 1024   | 1536  | 2048  |
| original             | 10,281             | 20,592 | 11,29 | 41,24 |
| aslr-randkstack      | 11,118             | 21,523 | 11,31 | 44,46 |
| aslr-randmmap        | 11,127             | 22,202 | 11,82 | 44,39 |
| autoconf-performance | 10,279             | 20,505 | 10,82 | 41,13 |
| autoconf-security    | 10,128             | 20,226 | 9,79  | 40,52 |
| blackhole            | 11,214             | 22,367 | 10,88 | 44,45 |
| no-simult-connect    | 11,09              | 22,119 | 12,02 | 44,14 |
| noexec               | 10,127             | 20,278 | 11,00 | 40,62 |
| noexec-pageexec      | 10,214             | 20,508 | 11,69 | 38,99 |
| noexec-segmexec      | 10,089             | 20,323 | 11,05 | 40,56 |
| rap                  | 11,004             | 21,94  | 11,68 | 44,04 |
| rbac                 | 11,066             | 22,095 | 11,99 | 44,13 |
| sanitize             | 10,921             | 21,968 | 11,51 | 43,73 |
| socket-limit         | 11,223             | 22,403 | 11,66 | 44,94 |
| stackleak            | 10,745             | 21,388 | 10,76 | 42,83 |
| structleak           | 10,989             | 22,007 | 12,19 | 43,91 |
| uderef               | 10,6               | 21,307 | 10,68 | 42,70 |

Tabulka 13.80: Absolutní srovnání konfigurací

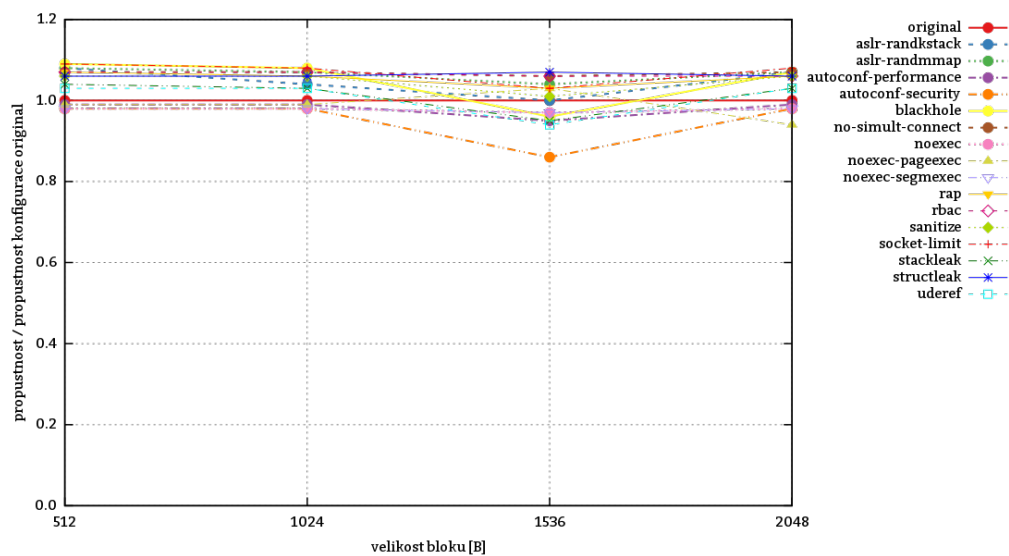


Obrázek 13.20: Absolutní srovnání konfigurací

### 13.8.3.2 Srovnání konfigurací

| měřená konfigurace   | velikost bloku [B] |      |      |      | průměr |
|----------------------|--------------------|------|------|------|--------|
|                      | 512                | 1024 | 1536 | 2048 |        |
| original             | 1                  | 1    | 1    | 1    | 1      |
| aslr-randkstack      | 1,08               | 1,04 | 1    | 1,07 | 1,04   |
| aslr-randmmap        | 1,08               | 1,07 | 1,04 | 1,07 | 1,06   |
| autoconf-performance | 0,99               | 0,99 | 0,95 | 0,99 | 0,98   |
| autoconf-security    | 0,98               | 0,98 | 0,86 | 0,98 | 0,95   |
| blackhole            | 1,09               | 1,08 | 0,96 | 1,07 | 1,05   |
| no-simult-connect    | 1,07               | 1,07 | 1,06 | 1,07 | 1,06   |
| noexec               | 0,98               | 0,98 | 0,97 | 0,98 | 0,97   |
| noexec-pageexec      | 0,99               | 0,99 | 1,03 | 0,94 | 0,98   |
| noexec-segmexec      | 0,98               | 0,98 | 0,97 | 0,98 | 0,97   |
| rap                  | 1,07               | 1,06 | 1,03 | 1,06 | 1,05   |
| rbac                 | 1,07               | 1,07 | 1,06 | 1,06 | 1,06   |
| sanitize             | 1,06               | 1,06 | 1,01 | 1,06 | 1,04   |
| socket-limit         | 1,09               | 1,08 | 1,03 | 1,08 | 1,07   |
| stackleak            | 1,04               | 1,03 | 0,95 | 1,03 | 1,01   |
| structleak           | 1,06               | 1,06 | 1,07 | 1,06 | 1,06   |
| uderef               | 1,03               | 1,03 | 0,94 | 1,03 | 1      |

Tabulka 13.81: Relativní srovnání konfigurací vůči referenční konfiguraci original



Obrázek 13.21: Relativní srovnání konfigurací vůči referenční konfiguraci original

### 13.8.3.3 Zhodnocení testu

Naměřené absolutní hodnoty jsou nižší, nežli v testu 13.8.2. Výsledek srovnání jednotlivých konfigurací je však stejný. Test ukázal, že na propustnost při náhodném zápisu velkého množství malých souborů nemá *Grsec* při použití daného úložiště vliv čili že úzkým hrdlem se v tomto případě stala patrně propustnost disku samotného.

## 13.8.4 Test `sysbench_fileio_rndwr_l`

Test `sysbench_fileio_rndwr_l` testuje propustnost při náhodném zápisu do 5 přibližně stejně velkých souborů s celkovou velikostí 1 GiB. Přepínačem `--file-extra-flags=direct` jsou deaktivovány mezipaměti, které je program deaktivovat schopen.

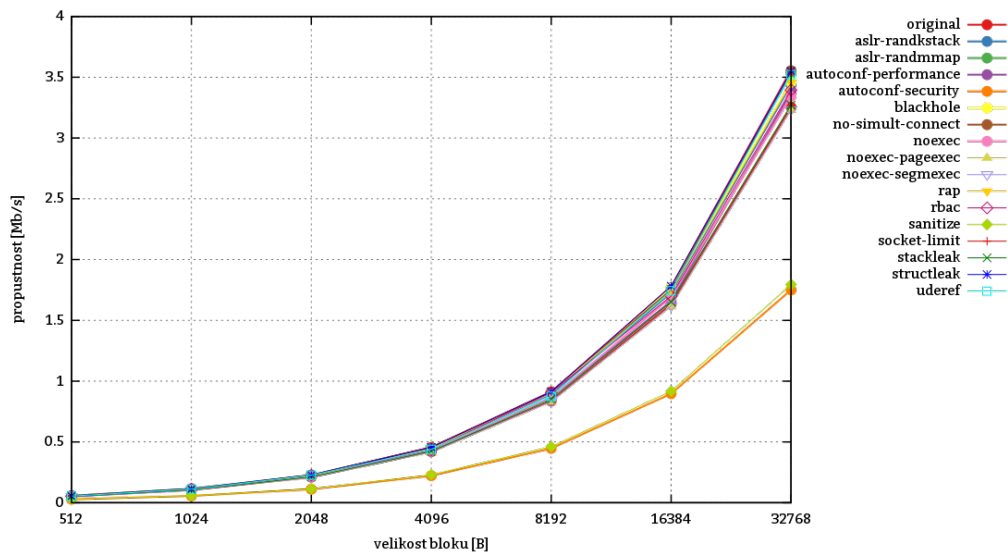
### 13.8.4.1 Naměřené hodnoty pro jednotlivé konfigurace

|                                             |                                                                                                                                                                                             |
|---------------------------------------------|---------------------------------------------------------------------------------------------------------------------------------------------------------------------------------------------|
| <b>NZPV (<math>x</math>)</b>                | velikost bloku                                                                                                                                                                              |
| <b>jednotka NZPV</b>                        | B                                                                                                                                                                                           |
| <b>ZPV (<math>y</math>)</b>                 | propustnost                                                                                                                                                                                 |
| <b>jednotka ZPV</b>                         | Mb/s                                                                                                                                                                                        |
| <b>počet opakování měření</b>               | 3                                                                                                                                                                                           |
| <b>počítač spouštějící testovací příkaz</b> | xenmv                                                                                                                                                                                       |
| <b>testovací příkaz</b>                     | <pre>sysbench --test=fileio --file-num=5 --file-total-size=1G ↪ --max-requests=100000 --max-time=200 ↪ --file-extra-flags=direct --file-block-size=\${X} ↪ --file-test-mode=rndwr run</pre> |

Tabulka 13.82: Charakteristiky testu `sysbench_fileio_rndwr_1`

| měřená konfigurace   | velikost bloku [B] |       |       |       |       |       |       |
|----------------------|--------------------|-------|-------|-------|-------|-------|-------|
|                      | 512                | 1024  | 2048  | 4096  | 8192  | 16384 | 32768 |
| original             | 0,052              | 0,105 | 0,21  | 0,42  | 0,836 | 1,633 | 3,254 |
| aslr-randkstack      | 0,056              | 0,111 | 0,225 | 0,447 | 0,893 | 1,727 | 3,437 |
| aslr-randmmap        | 0,057              | 0,114 | 0,227 | 0,455 | 0,91  | 1,769 | 3,531 |
| autoconf-performance | 0,054              | 0,108 | 0,216 | 0,433 | 0,863 | 1,659 | 3,374 |
| autoconf-security    | 0,028              | 0,056 | 0,111 | 0,222 | 0,447 | 0,897 | 1,75  |
| blackhole            | 0,056              | 0,111 | 0,221 | 0,444 | 0,905 | 1,769 | 3,458 |
| no-simult-connect    | 0,057              | 0,114 | 0,227 | 0,454 | 0,913 | 1,751 | 3,554 |
| noexec               | 0,054              | 0,108 | 0,215 | 0,433 | 0,865 | 1,69  | 3,342 |
| noexec-pageexec      | 0,052              | 0,104 | 0,208 | 0,415 | 0,829 | 1,614 | 3,229 |
| noexec-segmexec      | 0,052              | 0,104 | 0,208 | 0,417 | 0,832 | 1,618 | 3,233 |
| rap                  | 0,057              | 0,113 | 0,22  | 0,444 | 0,911 | 1,735 | 3,457 |
| rbac                 | 0,054              | 0,112 | 0,227 | 0,436 | 0,906 | 1,7   | 3,395 |
| sanitize             | 0,029              | 0,057 | 0,115 | 0,23  | 0,461 | 0,917 | 1,794 |
| socket-limit         | 0,057              | 0,114 | 0,228 | 0,459 | 0,915 | 1,783 | 3,566 |
| stackleak            | 0,052              | 0,106 | 0,213 | 0,424 | 0,849 | 1,652 | 3,271 |
| structleak           | 0,056              | 0,114 | 0,228 | 0,456 | 0,913 | 1,781 | 3,55  |
| uderef               | 0,055              | 0,112 | 0,227 | 0,439 | 0,876 | 1,744 | 3,522 |

Tabulka 13.83: Absolutní srovnání konfigurací



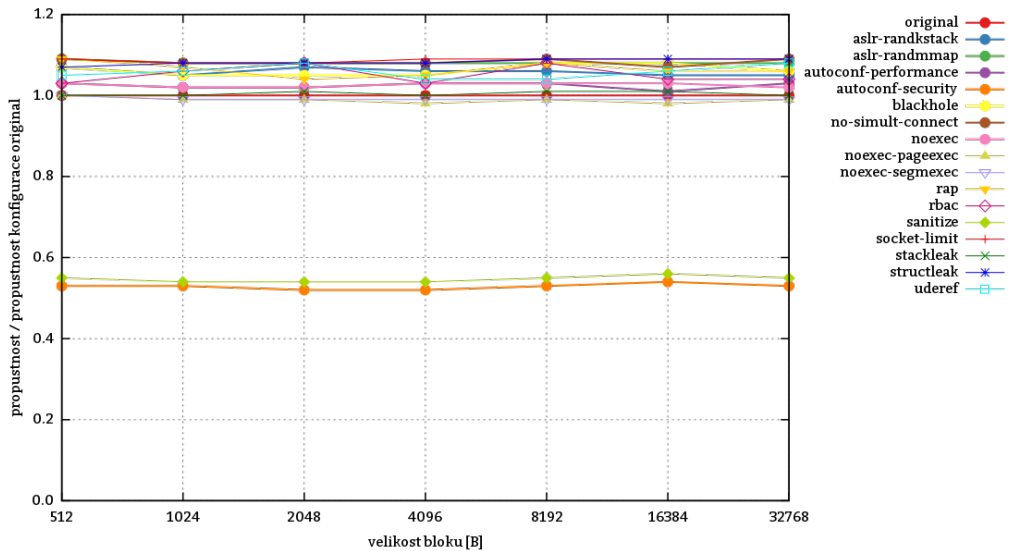
Obrázek 13.22: Absolutní srovnání konfigurací

13.8.4.2 Srovnání konfigurací

| měřená konfigurace   | velikost bloku [B] |      |      |      |      |       |       | průměr |
|----------------------|--------------------|------|------|------|------|-------|-------|--------|
|                      | 512                | 1024 | 2048 | 4096 | 8192 | 16384 | 32768 |        |
| original             | 1                  | 1    | 1    | 1    | 1    | 1     | 1     | 1      |
| aslr-randkstack      | 1,07               | 1,05 | 1,07 | 1,06 | 1,06 | 1,05  | 1,05  | 1,05   |
| aslr-randmmap        | 1,09               | 1,08 | 1,08 | 1,08 | 1,08 | 1,08  | 1,08  | 1,08   |
| autoconf-performance | 1,03               | 1,02 | 1,02 | 1,03 | 1,03 | 1,01  | 1,03  | 1,02   |
| autoconf-security    | 0,53               | 0,53 | 0,52 | 0,52 | 0,53 | 0,54  | 0,53  | 0,52   |
| blackhole            | 1,07               | 1,05 | 1,05 | 1,05 | 1,08 | 1,08  | 1,06  | 1,06   |
| no-simult-connect    | 1,09               | 1,08 | 1,08 | 1,08 | 1,09 | 1,07  | 1,09  | 1,08   |
| noexec               | 1,03               | 1,02 | 1,02 | 1,03 | 1,03 | 1,03  | 1,02  | 1,02   |
| noexec-pageexec      | 1                  | 0,99 | 0,99 | 0,98 | 0,99 | 0,98  | 0,99  | 0,98   |
| noexec-segmexec      | 1                  | 0,99 | 0,99 | 0,99 | 0,99 | 0,99  | 0,99  | 0,99   |
| rap                  | 1,09               | 1,07 | 1,04 | 1,05 | 1,08 | 1,06  | 1,06  | 1,06   |
| rbac                 | 1,03               | 1,06 | 1,08 | 1,03 | 1,08 | 1,04  | 1,04  | 1,05   |
| sanitize             | 0,55               | 0,54 | 0,54 | 0,54 | 0,55 | 0,56  | 0,55  | 0,54   |
| socket-limit         | 1,09               | 1,08 | 1,08 | 1,09 | 1,09 | 1,09  | 1,09  | 1,08   |
| stackleak            | 1                  | 1    | 1,01 | 1    | 1,01 | 1,01  | 1     | 1      |
| structleak           | 1,07               | 1,08 | 1,08 | 1,08 | 1,09 | 1,09  | 1,09  | 1,08   |
| uderef               | 1,05               | 1,06 | 1,08 | 1,04 | 1,04 | 1,06  | 1,08  | 1,05   |

Tabulka 13.84: Relativní srovnání konfigurací vůči referenční konfiguraci original





Obrázek 13.23: Relativní srovnání konfigurací vůči referenční konfiguraci original

### 13.8.4.3 Zhodnocení testu

Propustnost při náhodném zápisu do velkých souborů s patchem `Grsec` zůstává v blízkosti propustnosti systému v referenční konfiguraci. Zásadní zpomalení je pozorovatelné u systému v konfiguracích `sanitize` a `autoconf-security`. Za pokles propustnosti je odpovědná volba `PAX_MEMORY_SANITIZE`, která je obsažena v obou zmíněných konfiguracích.

Testovací nástroj alokuje prostor v hlavní paměti, kterého se následně zbavuje – dealokuje jej. V tu chvíli musí zakročít jádro s aktivovanou volbou `PAX_MEMORY_SANITIZE`, které obsah této paměti smaže, čímž dosáhne toho, že se obsah ležící na dané paměti stane pro jakýkoliv další proces, který se k ní dostane, bezcenným.

### 13.8.5 Test `sysbench_fileio_seqrd_1`

Test `sysbench_fileio_seqrd_1` testuje propustnost při sekvenčním čtení 5 přibližně stejně velkých souborů s celkovou velikostí 1 GiB. Přepínačem `--file-extra-flags=direct` jsou deaktivovány mezipaměti, které je program deaktivovat schopen.

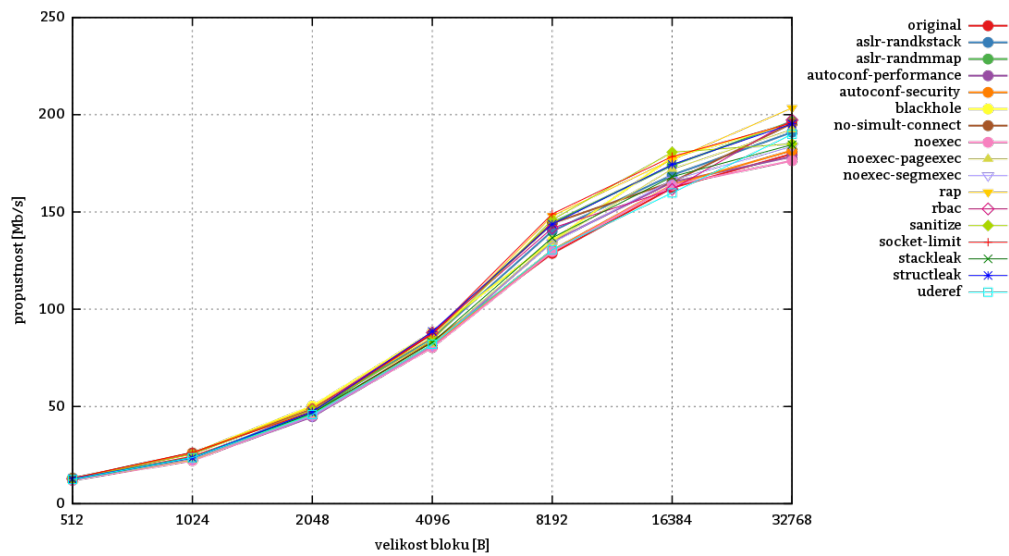
|                                             |                                                                                                                                                                                             |
|---------------------------------------------|---------------------------------------------------------------------------------------------------------------------------------------------------------------------------------------------|
| <b>NZPV (<math>x</math>)</b>                | velikost bloku                                                                                                                                                                              |
| <b>jednotka NZPV</b>                        | B                                                                                                                                                                                           |
| <b>ZPV (<math>y</math>)</b>                 | propustnost                                                                                                                                                                                 |
| <b>jednotka ZPV</b>                         | Mb/s                                                                                                                                                                                        |
| <b>počet opakování měření</b>               | 3                                                                                                                                                                                           |
| <b>počítač spouštějící testovací příkaz</b> | xenmv                                                                                                                                                                                       |
| <b>testovací příkaz</b>                     | <pre>sysbench --test=fileio --file-num=5 --file-total-size=1G ↪ --max-requests=100000 --max-time=200 ↪ --file-extra-flags=direct --file-block-size=\${X} ↪ --file-test-mode=seqrd run</pre> |

Tabulka 13.85: Charakteristiky testu `sysbench_fileio_seqrd_1`

#### 13.8.5.1 Naměřené hodnoty pro jednotlivé konfigurace

| měřená konfigurace   | velikost bloku [B] |        |       |        |        |        |       |
|----------------------|--------------------|--------|-------|--------|--------|--------|-------|
|                      | 512                | 1024   | 2048  | 4096   | 8192   | 16384  | 32768 |
| original             | 12,435             | 24,216 | 45,86 | 83,384 | 128,69 | 162,4  | 179,8 |
| aslr-randkstack      | 13,074             | 23,606 | 47,49 | 85,172 | 140,20 | 168,94 | 190,9 |
| aslr-randmmap        | 13,069             | 23,537 | 46,18 | 87,575 | 144,43 | 173,96 | 196,5 |
| autoconf-performance | 12,164             | 22,528 | 44,68 | 80,812 | 134,71 | 165,36 | 178,4 |
| autoconf-security    | 12,195             | 22,506 | 45,56 | 81,533 | 130,30 | 163,91 | 181,6 |
| blackhole            | 12,905             | 26,036 | 50,23 | 88,118 | 135,15 | 177,98 | 195,6 |
| no-simult-connect    | 12,96              | 26,099 | 48,69 | 87,227 | 144,12 | 165,44 | 195,5 |
| noexec               | 12,035             | 22,173 | 45,26 | 80,321 | 129,65 | 163,75 | 176,3 |
| noexec-pageexec      | 12,144             | 22,477 | 45,86 | 82,038 | 134,80 | 172,05 | 192,3 |
| noexec-segmexec      | 11,979             | 23,07  | 45,05 | 81,376 | 134,16 | 166,37 | 183,6 |
| rap                  | 12,846             | 26,029 | 49,60 | 85,528 | 147,96 | 176,8  | 203,4 |
| rbac                 | 12,723             | 25,645 | 48,45 | 87,94  | 141,7  | 161,61 | 197,2 |
| sanitize             | 12,9               | 25,509 | 48,33 | 84,046 | 146,06 | 180,69 | 185,0 |
| socket-limit         | 13,13              | 26,373 | 47,36 | 87,351 | 148,98 | 178,47 | 195,8 |
| stackleak            | 12,428             | 23,555 | 46,61 | 82,968 | 136,72 | 168,14 | 184,5 |
| structleak           | 12,865             | 23,557 | 47,21 | 88,554 | 143,72 | 174,41 | 195,3 |
| uderef               | 12,493             | 23,687 | 45,82 | 81,995 | 130,57 | 159,80 | 190,0 |

Tabulka 13.86: Absolutní srovnání konfigurací

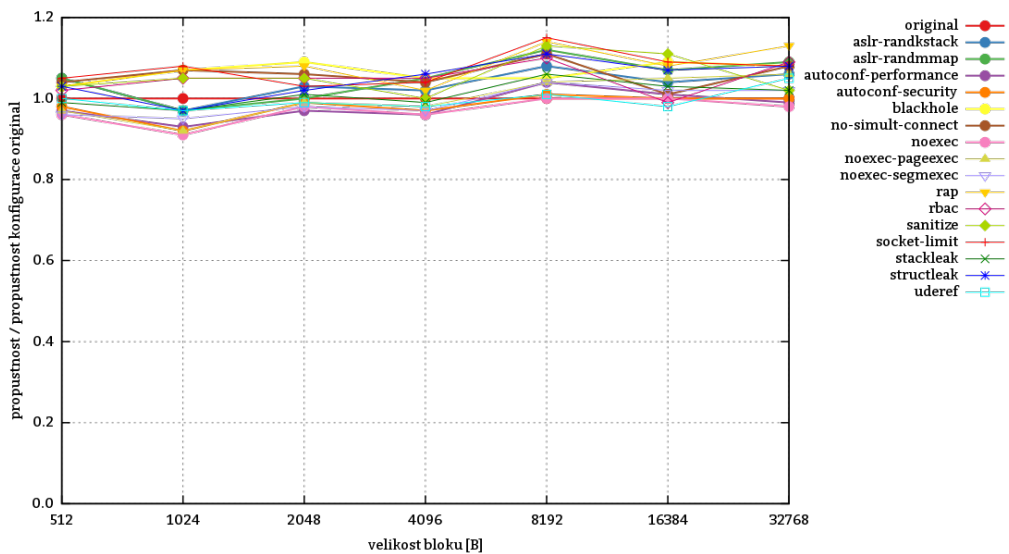


Obrázek 13.24: Absolutní srovnání konfigurací

### 13.8.5.2 Srovnání konfigurací

| měřená konfigurace   | velikost bloku [B] |      |      |      |      |       |       | průměr |
|----------------------|--------------------|------|------|------|------|-------|-------|--------|
|                      | 512                | 1024 | 2048 | 4096 | 8192 | 16384 | 32768 |        |
| original             | 1                  | 1    | 1    | 1    | 1    | 1     | 1     | 1      |
| aslr-randkstack      | 1,05               | 0,97 | 1,03 | 1,02 | 1,08 | 1,04  | 1,06  | 1,03   |
| aslr-randmmap        | 1,05               | 0,97 | 1    | 1,05 | 1,12 | 1,07  | 1,09  | 1,05   |
| autoconf-performance | 0,97               | 0,93 | 0,97 | 0,96 | 1,04 | 1,01  | 0,99  | 0,98   |
| autoconf-security    | 0,98               | 0,92 | 0,99 | 0,97 | 1,01 | 1     | 1     | 0,98   |
| blackhole            | 1,03               | 1,07 | 1,09 | 1,05 | 1,05 | 1,09  | 1,08  | 1,06   |
| no-simult-connect    | 1,04               | 1,07 | 1,06 | 1,04 | 1,11 | 1,01  | 1,08  | 1,05   |
| noexec               | 0,96               | 0,91 | 0,98 | 0,96 | 1    | 1     | 0,98  | 0,97   |
| noexec-pageexec      | 0,97               | 0,92 | 0,99 | 0,98 | 1,04 | 1,05  | 1,06  | 1      |
| noexec-segmexec      | 0,96               | 0,95 | 0,98 | 0,97 | 1,04 | 1,02  | 1,02  | 0,99   |
| rap                  | 1,03               | 1,07 | 1,08 | 1,02 | 1,14 | 1,08  | 1,13  | 1,07   |
| rbac                 | 1,02               | 1,05 | 1,05 | 1,05 | 1,1  | 0,99  | 1,09  | 1,05   |
| sanitize             | 1,03               | 1,05 | 1,05 | 1    | 1,13 | 1,11  | 1,02  | 1,05   |
| socket-limit         | 1,05               | 1,08 | 1,03 | 1,04 | 1,15 | 1,09  | 1,08  | 1,07   |
| stackleak            | 0,99               | 0,97 | 1,01 | 0,99 | 1,06 | 1,03  | 1,02  | 1,01   |
| structleak           | 1,03               | 0,97 | 1,02 | 1,06 | 1,11 | 1,07  | 1,08  | 1,04   |
| uderef               | 1                  | 0,97 | 0,99 | 0,98 | 1,01 | 0,98  | 1,05  | 0,99   |

Tabulka 13.87: Relativní srovnání konfigurací vůči referenční konfiguraci original



Obrázek 13.25: Relativní srovnání konfigurací vůči referenční konfiguraci original

### 13.8.5.3 Zhodnocení testu

Propustnost při sekvenčním čtení velkých souborů není patchem [Grsec](#) příliš dotčena.

## 13.8.6 Test `sysbench_fileio_seqwr_1`

Test `sysbench_fileio_seqwr_1` testuje propustnost při sekvenčním zápisu do 5 přibližně stejně velkých souborů s celkovou velikostí 1 GiB. Přepínačem `--file-extra-flags=direct` jsou deaktivovány mezipaměti, které je program deaktivovat schopen.

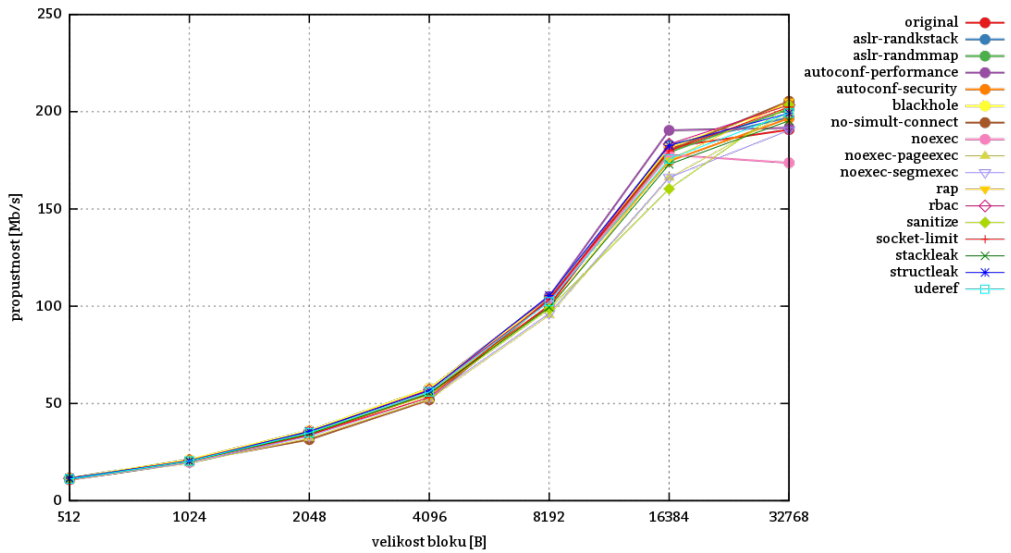
### 13.8.6.1 Naměřené hodnoty pro jednotlivé konfigurace

|                                             |                                                                                                                                                                                             |
|---------------------------------------------|---------------------------------------------------------------------------------------------------------------------------------------------------------------------------------------------|
| <b>NZPV</b> ( $x$ )                         | velikost bloku                                                                                                                                                                              |
| <b>jednotka NZPV</b>                        | B                                                                                                                                                                                           |
| <b>ZPV</b> ( $y$ )                          | propustnost                                                                                                                                                                                 |
| <b>jednotka ZPV</b>                         | Mb/s                                                                                                                                                                                        |
| <b>počet opakování měření</b>               | 3                                                                                                                                                                                           |
| <b>počítač spouštějící testovací příkaz</b> | xenmv                                                                                                                                                                                       |
| <b>testovací příkaz</b>                     | <pre>sysbench --test=fileio --file-num=5 --file-total-size=1G ↳ --max-requests=100000 --max-time=200 ↳ --file-extra-flags=direct --file-block-size=\${X} ↳ --file-test-mode=seqwr run</pre> |

Tabulka 13.88: Charakteristiky testu `sysbench_fileio_seqwr_1`

| měřená konfigurace   | velikost bloku [B] |       |        |        |       |        |       |  |
|----------------------|--------------------|-------|--------|--------|-------|--------|-------|--|
|                      | 512                | 1024  | 2048   | 4096   | 8192  | 16384  | 32768 |  |
| original             | 10,818             | 19,79 | 33,872 | 55,013 | 100,3 | 181,8  | 190,7 |  |
| aslr-randkstack      | 11,479             | 20,68 | 35,579 | 57,302 | 103,8 | 182,95 | 197,0 |  |
| aslr-randmmap        | 11,517             | 20,86 | 35,443 | 57,618 | 102,7 | 179,21 | 201,4 |  |
| autoconf-performance | 11,061             | 20,28 | 35,329 | 57,197 | 105,  | 190,4  | 191,6 |  |
| autoconf-security    | 10,917             | 19,92 | 34,339 | 55,328 | 103,5 | 174,60 | 196,6 |  |
| blackhole            | 11,598             | 21,17 | 36,026 | 57,678 | 103,5 | 181,57 | 203,8 |  |
| no-simult-connect    | 11,355             | 20,29 | 31,448 | 51,865 | 103,6 | 180,07 | 205,3 |  |
| noexec               | 10,995             | 19,91 | 34,281 | 55,86  | 102,7 | 177,76 | 173,7 |  |
| noexec-pageexec      | 10,663             | 19,27 | 32,204 | 52,194 | 95,3  | 166,02 | 199,8 |  |
| noexec-segmexec      | 10,737             | 19,50 | 33,154 | 53,009 | 96,2  | 166,20 | 190,4 |  |
| rap                  | 11,396             | 20,06 | 34,412 | 56,319 | 99,3  | 175,02 | 205,2 |  |
| rbac                 | 11,397             | 20,83 | 35,589 | 57,017 | 102,7 | 183,31 | 203,4 |  |
| sanitize             | 11,39              | 20,63 | 34,719 | 54,329 | 98,6  | 160,33 | 203,5 |  |
| socket-limit         | 11,54              | 20,58 | 33,848 | 53,145 | 103,6 | 179,87 | 202,4 |  |
| stackleak            | 11,06              | 20,33 | 34,28  | 55,097 | 99,4  | 172,97 | 195,3 |  |
| structleak           | 11,634             | 20,41 | 35,721 | 56,605 | 105,5 | 182,6  | 199,2 |  |
| uderef               | 11,192             | 20,41 | 34,943 | 55,945 | 102,3 | 175,70 | 199,3 |  |

Tabulka 13.89: Absolutní srovnání konfigurací

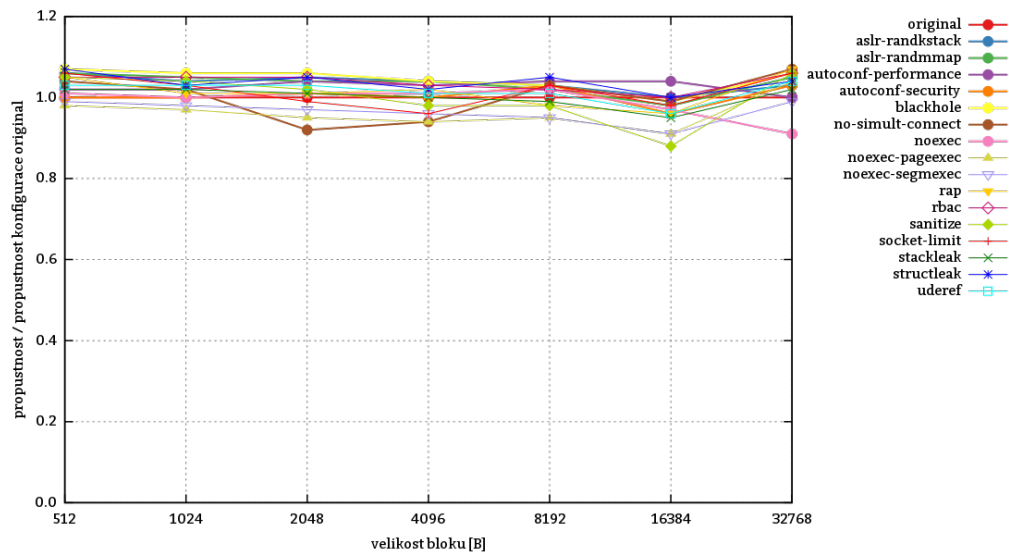


Obrázek 13.26: Absolutní srovnání konfigurací

13.8.6.2 Srovnání konfigurací

| měřená konfigurace   | velikost bloku [B] |      |      |      |      |       |       | průměr |
|----------------------|--------------------|------|------|------|------|-------|-------|--------|
|                      | 512                | 1024 | 2048 | 4096 | 8192 | 16384 | 32768 |        |
| original             | 1                  | 1    | 1    | 1    | 1    | 1     | 1     | 1      |
| aslr-randkstack      | 1,06               | 1,04 | 1,05 | 1,04 | 1,03 | 1     | 1,03  | 1,03   |
| aslr-randmmap        | 1,06               | 1,05 | 1,04 | 1,04 | 1,02 | 0,98  | 1,05  | 1,03   |
| autoconf-performance | 1,02               | 1,02 | 1,04 | 1,03 | 1,04 | 1,04  | 1     | 1,02   |
| autoconf-security    | 1                  | 1    | 1,01 | 1    | 1,03 | 0,96  | 1,03  | 1      |
| blackhole            | 1,07               | 1,06 | 1,06 | 1,04 | 1,03 | 0,99  | 1,06  | 1,04   |
| no-simult-connect    | 1,04               | 1,02 | 0,92 | 0,94 | 1,03 | 0,99  | 1,07  | 1      |
| noexec               | 1,01               | 1    | 1,01 | 1,01 | 1,02 | 0,97  | 0,91  | 0,99   |
| noexec-pageexec      | 0,98               | 0,97 | 0,95 | 0,94 | 0,95 | 0,91  | 1,04  | 0,96   |
| noexec-segmexec      | 0,99               | 0,98 | 0,97 | 0,96 | 0,95 | 0,91  | 0,99  | 0,96   |
| rap                  | 1,05               | 1,01 | 1,01 | 1,02 | 0,98 | 0,96  | 1,07  | 1,01   |
| rbac                 | 1,05               | 1,05 | 1,05 | 1,03 | 1,02 | 1     | 1,06  | 1,03   |
| sanitize             | 1,05               | 1,04 | 1,02 | 0,98 | 0,98 | 0,88  | 1,06  | 1      |
| socket-limit         | 1,06               | 1,03 | 0,99 | 0,96 | 1,03 | 0,98  | 1,06  | 1,01   |
| stackleak            | 1,02               | 1,02 | 1,01 | 1    | 0,99 | 0,95  | 1,02  | 1      |
| structleak           | 1,07               | 1,03 | 1,05 | 1,02 | 1,05 | 1     | 1,04  | 1,03   |
| udef                 | 1,03               | 1,03 | 1,03 | 1,01 | 1,01 | 0,96  | 1,04  | 1,01   |

Tabulka 13.90: Relativní srovnání konfigurací vůči referenční konfiguraci original



Obrázek 13.27: Relativní srovnání konfigurací vůči referenční konfiguraci original

### 13.8.6.3 Zhodnocení testu

Test ukázal, že propustnost při sekvenčním zápisu do několika velkých souborů není patchem Grsec příliš dotčena.

### 13.8.7 Test sysbench\_memory\_write\_seq

Test sysbench\_memory\_write\_seq zjišťuje propustnost hlavní paměti při sekvenčním zápisu 50 GB dat. Tento zápis je prováděn po blocích a právě velikost bloku vstupuje do testu jako NZPV. Zápis provádí jedno vlákno. Systém, na němž testování probíhalo disponuje 16,796 GB hlavní paměti. Test v hlavní paměti alokuje jemu předepsanou velikost bloku, do které následně zapisuje. Největší velikost bloku v testu – 10000000 kB – zabírá 0,595 hlavní paměti testovaného systému.

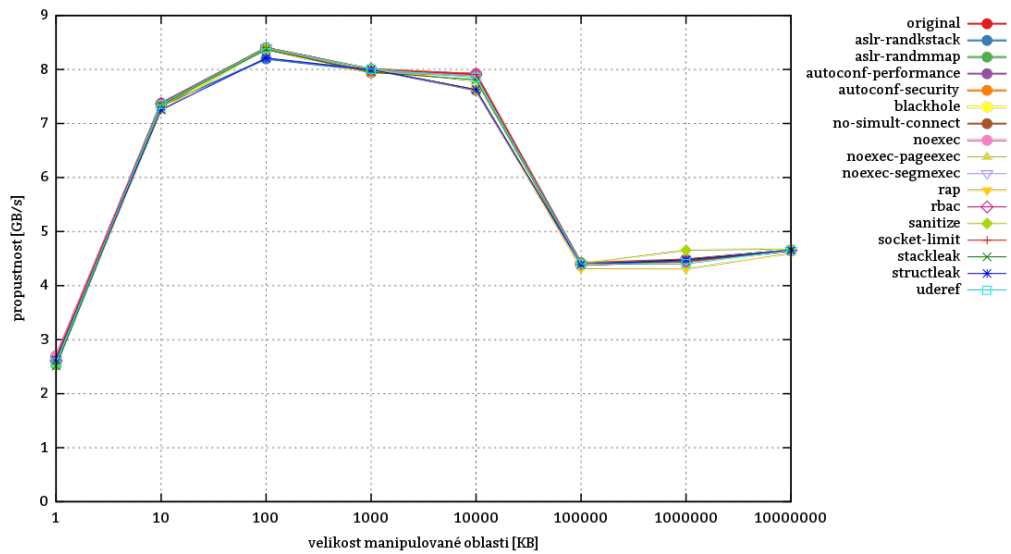
|                                             |                                                                                                                                                      |
|---------------------------------------------|------------------------------------------------------------------------------------------------------------------------------------------------------|
| <b>NZPV (<i>x</i>)</b>                      | velikost manipulované oblasti                                                                                                                        |
| <b>jednotka NZPV</b>                        | KB                                                                                                                                                   |
| <b>ZPV (<i>y</i>)</b>                       | propustnost                                                                                                                                          |
| <b>jednotka ZPV</b>                         | GB/s                                                                                                                                                 |
| <b>počet opakování měření</b>               | 3                                                                                                                                                    |
| <b>počítač spouštějící testovací příkaz</b> | xenmv                                                                                                                                                |
| <b>testovací příkaz</b>                     | sysbench --test=memory --num-threads=1 --memory-oper=write<br>↪ --memory-access-mode=seq --memory-block-size=\${X}K<br>↪ --memory-total-size=50G run |

Tabulka 13.91: Charakteristiky testu sysbench\_memory\_write\_seq

#### 13.8.7.1 Naměřené hodnoty pro jednotlivé konfigurace

| měřená konfigurace   | velikost manipulované oblasti [KB] |       |       |       |       |        |         |          |  |
|----------------------|------------------------------------|-------|-------|-------|-------|--------|---------|----------|--|
|                      | 1                                  | 10    | 100   | 1000  | 10000 | 100000 | 1000000 | 10000000 |  |
| original             | 2,695                              | 7,332 | 8,398 | 8,004 | 7,912 | 4,382  | 4,451   | 4,65     |  |
| aslr-randkstack      | 2,534                              | 7,329 | 8,196 | 7,979 | 7,898 | 4,397  | 4,468   | 4,656    |  |
| aslr-randmmap        | 2,68                               | 7,366 | 8,38  | 8,006 | 7,914 | 4,395  | 4,459   | 4,655    |  |
| autoconf-performance | 2,664                              | 7,378 | 8,395 | 8,004 | 7,614 | 4,385  | 4,455   | 4,652    |  |
| autoconf-security    | 2,613                              | 7,362 | 8,374 | 7,941 | 7,89  | 4,396  | 4,438   | 4,653    |  |
| blackhole            | 2,672                              | 7,364 | 8,384 | 8,008 | 7,912 | 4,383  | 4,487   | 4,658    |  |
| no-simult-connect    | 2,672                              | 7,366 | 8,403 | 7,979 | 7,919 | 4,421  | 4,486   | 4,656    |  |
| noexec               | 2,695                              | 7,36  | 8,396 | 7,998 | 7,91  | 4,394  | 4,472   | 4,655    |  |
| noexec-pageexec      | 2,632                              | 7,238 | 8,387 | 7,99  | 7,783 | 4,394  | 4,477   | 4,657    |  |
| noexec-segmexec      | 2,597                              | 7,367 | 8,402 | 7,951 | 7,902 | 4,398  | 4,471   | 4,655    |  |
| rap                  | 2,539                              | 7,252 | 8,405 | 7,991 | 7,633 | 4,311  | 4,305   | 4,599    |  |
| rbac                 | 2,605                              | 7,367 | 8,394 | 8,005 | 7,91  | 4,403  | 4,443   | 4,653    |  |
| sanitize             | 2,525                              | 7,308 | 8,396 | 8,004 | 7,618 | 4,409  | 4,655   | 4,679    |  |
| socket-limit         | 2,673                              | 7,367 | 8,406 | 8,006 | 7,912 | 4,404  | 4,477   | 4,647    |  |
| stackleak            | 2,511                              | 7,344 | 8,371 | 7,951 | 7,808 | 4,39   | 4,459   | 4,655    |  |
| structleak           | 2,622                              | 7,252 | 8,212 | 7,997 | 7,629 | 4,392  | 4,48    | 4,656    |  |
| uderef               | 2,581                              | 7,354 | 8,398 | 8,005 | 7,851 | 4,399  | 4,403   | 4,649    |  |

Tabulka 13.92: Absolutní srovnání konfigurací

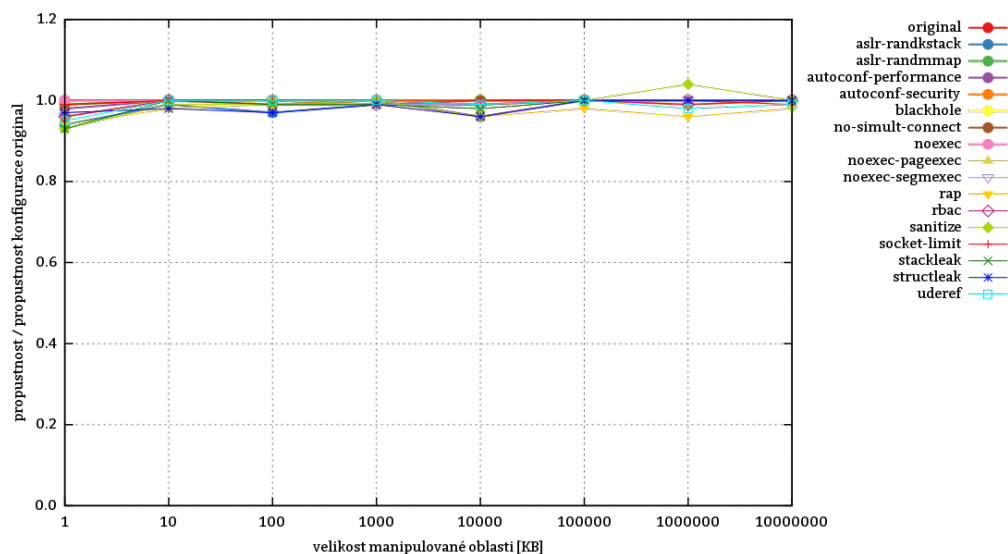


Obrázek 13.28: Absolutní srovnání konfigurací

## 13.8.7.2 Srovnání konfigurací

| měřená konfigurace   | velikost manipulované oblasti [KB] |      |      |      |       |        |         |          |      | průměr |
|----------------------|------------------------------------|------|------|------|-------|--------|---------|----------|------|--------|
|                      | 1                                  | 10   | 100  | 1000 | 10000 | 100000 | 1000000 | 10000000 |      |        |
| original             | 1                                  | 1    | 1    | 1    | 1     | 1      | 1       | 1        | 1    | 1      |
| aslr-randkstack      | 0,94                               | 0,99 | 0,97 | 0,99 | 0,99  | 1      | 1       | 1        | 1    | 0,98   |
| aslr-randmmap        | 0,99                               | 1    | 0,99 | 1    | 1     | 1      | 1       | 1        | 1    | 0,99   |
| autoconf-performance | 0,98                               | 1    | 0,99 | 1    | 0,96  | 1      | 1       | 1        | 1    | 0,99   |
| autoconf-security    | 0,96                               | 1    | 0,99 | 0,99 | 0,99  | 1      | 0,99    | 1        | 1    | 0,99   |
| blackhole            | 0,99                               | 1    | 0,99 | 1    | 1     | 1      | 1       | 1        | 1    | 0,99   |
| no-simult-connect    | 0,99                               | 1    | 1    | 0,99 | 1     | 1      | 1       | 1        | 1    | 0,99   |
| noexec               | 1                                  | 1    | 0,99 | 0,99 | 0,99  | 1      | 1       | 1        | 1    | 0,99   |
| noexec-pageexec      | 0,97                               | 0,98 | 0,99 | 0,99 | 0,98  | 1      | 1       | 1        | 1    | 0,98   |
| noexec-segmexec      | 0,96                               | 1    | 1    | 0,99 | 0,99  | 1      | 1       | 1        | 1    | 0,99   |
| rap                  | 0,94                               | 0,98 | 1    | 0,99 | 0,96  | 0,98   | 0,96    | 0,98     | 0,98 | 0,97   |
| rbac                 | 0,96                               | 1    | 0,99 | 1    | 0,99  | 1      | 0,99    | 1        | 1    | 0,99   |
| sanitize             | 0,93                               | 0,99 | 0,99 | 1    | 0,96  | 1      | 1,04    | 1        | 1    | 0,98   |
| socket-limit         | 0,99                               | 1    | 1    | 1    | 1     | 1      | 1       | 0,99     | 1    | 0,99   |
| stackleak            | 0,93                               | 1    | 0,99 | 0,99 | 0,98  | 1      | 1       | 1        | 1    | 0,98   |
| structleak           | 0,97                               | 0,98 | 0,97 | 0,99 | 0,96  | 1      | 1       | 1        | 1    | 0,98   |
| uderef               | 0,95                               | 1    | 1    | 1    | 0,99  | 1      | 0,98    | 0,99     | 1    | 0,98   |

Tabulka 13.93: Relativní srovnání konfigurací vůči referenční konfiguraci original



Obrázek 13.29: Relativní srovnání konfigurací vůči referenční konfiguraci original

## 13.8.7.3 Zhodnocení testu

Propustnost hlavní paměti při sekvenčním zápisu jednoho jejího úseku je neohledně na konfiguraci testovaného systému optimální při velikosti bloku 100 kB. Srovnatelná pak v intervalu 10 kB až 10000 kB. Při ostatních velikostech bloků je práce s hlavní pamětí neefektivní, avšak možná.

## 13.8.8 Test sysbench\_memory\_write\_seq

Test sysbench\_memory\_write\_seq zjišťuje propustnost paměti při sekvenčním zápisu 50 GB dat po blocích velikosti 1 kB.

## 13.8.8.1 Naměřené hodnoty pro jednotlivé konfigurace

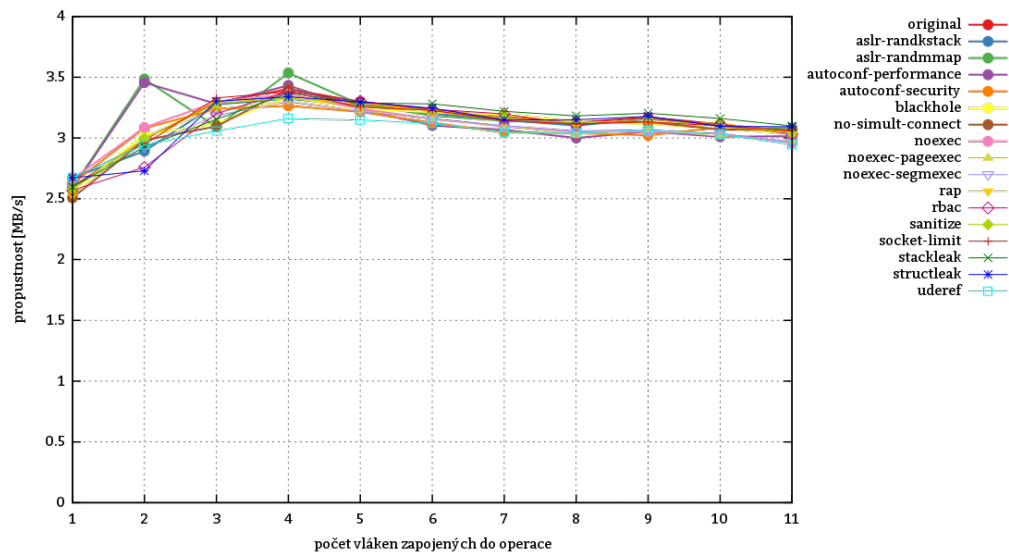


|                                             |                                                                                                                                                      |
|---------------------------------------------|------------------------------------------------------------------------------------------------------------------------------------------------------|
| <b>NZPV (<math>x</math>)</b>                | počet vláken zapojených do operace                                                                                                                   |
| <b>jednotka NZPV</b>                        | není (bezrozměrná veličina)                                                                                                                          |
| <b>ZPV (<math>y</math>)</b>                 | propustnost                                                                                                                                          |
| <b>jednotka ZPV</b>                         | MB/s                                                                                                                                                 |
| <b>počet opakování měření</b>               | 3                                                                                                                                                    |
| <b>počítač spouštějící testovací příkaz</b> | xenmv                                                                                                                                                |
| <b>testovací příkaz</b>                     | sysbench --test=memory --num-threads=\${X} --memory-oper=write<br>↪ --memory-access-mode=seq --memory-block-size=1K<br>↪ --memory-total-size=50G run |

Tabulka 13.94: Charakteristiky testu `sysbench_memory_write_seq`

| měřená konfigurace   | počet vláken zapojených do operace |       |       |       |       |       |       |       |       |       |       |
|----------------------|------------------------------------|-------|-------|-------|-------|-------|-------|-------|-------|-------|-------|
|                      | 1                                  | 2     | 3     | 4     | 5     | 6     | 7     | 8     | 9     | 10    | 11    |
| original             | 2,596                              | 2,989 | 3,293 | 3,403 | 3,297 | 3,231 | 3,174 | 3,127 | 3,17  | 3,113 | 3,054 |
| aslr-randkstack      | 2,672                              | 2,893 | 3,278 | 3,323 | 3,266 | 3,202 | 3,147 | 3,103 | 3,156 | 3,102 | 3,03  |
| aslr-randmmap        | 2,589                              | 3,485 | 3,09  | 3,535 | 3,276 | 3,184 | 3,142 | 3,126 | 3,129 | 3,076 | 3,083 |
| autoconf-performance | 2,583                              | 3,455 | 3,281 | 3,432 | 3,235 | 3,103 | 3,067 | 3,    | 3,053 | 3,01  | 3,015 |
| autoconf-security    | 2,627                              | 3,081 | 3,238 | 3,265 | 3,215 | 3,126 | 3,046 | 3,04  | 3,022 | 3,086 | 3,047 |
| blackhole            | 2,565                              | 3,026 | 3,118 | 3,336 | 3,241 | 3,212 | 3,192 | 3,135 | 3,114 | 3,079 | 3,036 |
| no-simult-connect    | 2,508                              | 2,982 | 3,096 | 3,402 | 3,275 | 3,229 | 3,152 | 3,129 | 3,131 | 3,07  | 3,066 |
| noexec               | 2,664                              | 3,086 | 3,296 | 3,359 | 3,24  | 3,156 | 3,095 | 3,051 | 3,052 | 3,035 | 2,96  |
| noexec-pageexec      | 2,577                              | 2,997 | 3,24  | 3,303 | 3,225 | 3,157 | 3,097 | 3,031 | 3,068 | 3,014 | 2,978 |
| noexec-segmexec      | 2,597                              | 2,926 | 3,187 | 3,297 | 3,217 | 3,158 | 3,102 | 3,058 | 3,068 | 3,033 | 2,969 |
| rap                  | 2,53                               | 2,998 | 3,301 | 3,32  | 3,296 | 3,218 | 3,144 | 3,134 | 3,125 | 3,124 | 3,041 |
| rbac                 | 2,57                               | 2,76  | 3,2   | 3,382 | 3,304 | 3,236 | 3,198 | 3,109 | 3,156 | 3,109 | 3,033 |
| sanitize             | 2,575                              | 2,998 | 3,283 | 3,33  | 3,27  | 3,227 | 3,171 | 3,119 | 3,154 | 3,1   | 3,044 |
| socket-limit         | 2,674                              | 2,946 | 3,33  | 3,378 | 3,256 | 3,227 | 3,142 | 3,116 | 3,132 | 3,1   | 3,06  |
| stackleak            | 2,599                              | 2,926 | 3,155 | 3,371 | 3,288 | 3,281 | 3,219 | 3,182 | 3,204 | 3,161 | 3,099 |
| structleak           | 2,673                              | 2,73  | 3,302 | 3,339 | 3,297 | 3,245 | 3,148 | 3,15  | 3,178 | 3,095 | 3,093 |
| uderef               | 2,675                              | 2,943 | 3,058 | 3,16  | 3,148 | 3,12  | 3,049 | 3,039 | 3,064 | 3,033 | 2,945 |

Tabulka 13.95: Absolutní srovnání konfigurací

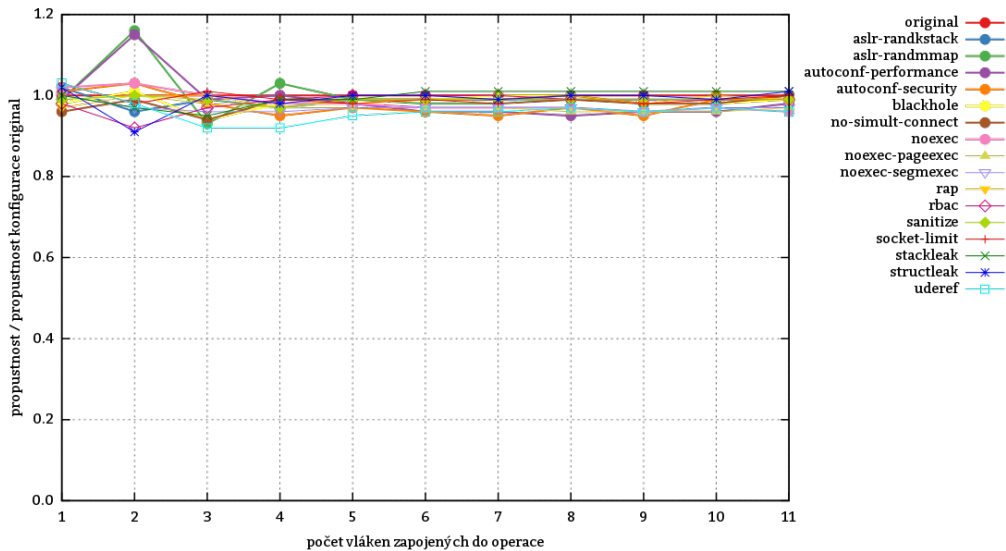


Obrázek 13.30: Absolutní srovnání konfigurací

13.8.8.2 Srovnání konfigurací

| měřená konfigurace   | počet vláken zapojených do operace |      |      |      |      |      |      |      |      |      |      | průměr |      |
|----------------------|------------------------------------|------|------|------|------|------|------|------|------|------|------|--------|------|
|                      | 1                                  | 2    | 3    | 4    | 5    | 6    | 7    | 8    | 9    | 10   | 11   |        |      |
| original             | 1                                  | 1    | 1    | 1    | 1    | 1    | 1    | 1    | 1    | 1    | 1    | 1      | 1    |
| aslr-randkstack      | 1,02                               | 0,96 | 0,99 | 0,97 | 0,99 | 0,99 | 0,99 | 0,99 | 0,99 | 0,99 | 0,99 | 0,99   | 0,98 |
| aslr-randmmap        | 0,99                               | 1,16 | 0,93 | 1,03 | 0,99 | 0,98 | 0,98 | 0,98 | 0,99 | 0,98 | 0,98 | 1      | 1    |
| autoconf-performance | 0,99                               | 1,15 | 0,99 | 1    | 0,98 | 0,96 | 0,96 | 0,95 | 0,96 | 0,96 | 0,96 | 0,98   | 0,98 |
| autoconf-security    | 1,01                               | 1,03 | 0,98 | 0,95 | 0,97 | 0,96 | 0,95 | 0,97 | 0,95 | 0,99 | 0,99 | 0,99   | 0,97 |
| blackhole            | 0,98                               | 1,01 | 0,94 | 0,98 | 0,98 | 0,99 | 1    | 1    | 0,98 | 0,98 | 0,99 | 0,98   | 0,98 |
| no-simult-connect    | 0,96                               | 0,99 | 0,94 | 0,99 | 0,99 | 0,99 | 0,99 | 1    | 0,98 | 0,98 | 1    | 0,98   | 0,98 |
| noexec               | 1,02                               | 1,03 | 1    | 0,98 | 0,98 | 0,97 | 0,97 | 0,97 | 0,96 | 0,97 | 0,96 | 0,97   | 0,98 |
| noexec-pageexec      | 0,99                               | 1    | 0,98 | 0,97 | 0,97 | 0,97 | 0,97 | 0,96 | 0,96 | 0,96 | 0,97 | 0,97   | 0,97 |
| noexec-segmexec      | 1                                  | 0,97 | 0,96 | 0,96 | 0,97 | 0,97 | 0,97 | 0,97 | 0,96 | 0,97 | 0,97 | 0,97   | 0,97 |
| rap                  | 0,97                               | 1    | 1    | 0,97 | 0,99 | 0,99 | 0,99 | 1    | 0,98 | 1    | 0,99 | 0,98   | 0,98 |
| rbac                 | 0,98                               | 0,92 | 0,97 | 0,99 | 1    | 1    | 1    | 0,99 | 0,99 | 0,99 | 0,99 | 0,99   | 0,98 |
| sanitize             | 0,99                               | 1    | 0,99 | 0,97 | 0,99 | 0,99 | 0,99 | 0,99 | 0,99 | 0,99 | 0,99 | 0,99   | 0,98 |
| socket-limit         | 1,03                               | 0,98 | 1,01 | 0,99 | 0,98 | 0,99 | 0,98 | 0,99 | 0,98 | 0,99 | 1    | 0,99   | 0,99 |
| stackleak            | 1                                  | 0,97 | 0,95 | 0,99 | 0,99 | 1,01 | 1,01 | 1,01 | 1,01 | 1,01 | 1,01 | 1,01   | 0,99 |
| structleak           | 1,02                               | 0,91 | 1    | 0,98 | 1    | 1    | 0,99 | 1    | 1    | 0,99 | 1,01 | 0,99   | 0,99 |
| uderef               | 1,03                               | 0,98 | 0,92 | 0,92 | 0,95 | 0,96 | 0,96 | 0,97 | 0,96 | 0,97 | 0,96 | 0,96   | 0,96 |

Tabulka 13.96: Relativní srovnání konfigurací vůči referenční konfiguraci original



Obrázek 13.31: Relativní srovnání konfigurací vůči referenční konfiguraci original

### 13.8.8.3 Zhodnocení testu

Test ukázal, že nasazení `Grsec` ve zkoumané disciplíně příliš nemá vliv.

### 13.8.9 Test `sysbench_db_readonly`

Test `sysbench_db_readonly` měří výkon databáze MySQL, k čemuž je potřeba především její přítomnost. Proto byla na `xenmv` pro účely měření doinstalována a byla v ní vytvořena databáze:

```
aptitude install mysql-server
mysql -u root -p -e 'create database db;'
```

Test vytvoří tabulku odpovídající dotazu

```
CREATE TABLE 'sctest' (
 'id' int(10) unsigned NOT NULL auto_increment,
 'k' int(10) unsigned NOT NULL default '0',
 'c' char(120) NOT NULL default '',
 'pad' char(60) NOT NULL default '',
 PRIMARY KEY ('id'),
 KEY 'k' ('k');
)
```

Nad touto tabulkou následně provádí čtení a zápis. Význam jednotlivých přepínačů testovacího příkazu je popsán v tabulce 13.97. Na databázi během testu směřují **výhradně SELECT dotazy**. Z databáze se tak data pouze čtou. Zamě-

| Přepínač                       | Význam                                                  |
|--------------------------------|---------------------------------------------------------|
| <code>--oltp-table-size</code> | Počet řádků tabulky.                                    |
| <code>--num-threads</code>     | Počet vláken přistupujících k tabulce.                  |
| <code>--max-requests</code>    | Maximální počet požadavků. Hodnota 0 značí „neomezený“. |
| <code>--max-time</code>        | Maximální trvání testu v sekundách.                     |

Tabulka 13.97: Parametry příkazu `sysbench` v měření `sysbench_db`

ření testu na čtení vylučuje použití transakcí, které proto byly deaktivovány (přepínačem `--oltp-skip-trx`). Testovací nástroj s databází komunikuje prostřednictvím socketu mapovaného do souboru `/var/run/mysql/d/mysql.sock`.

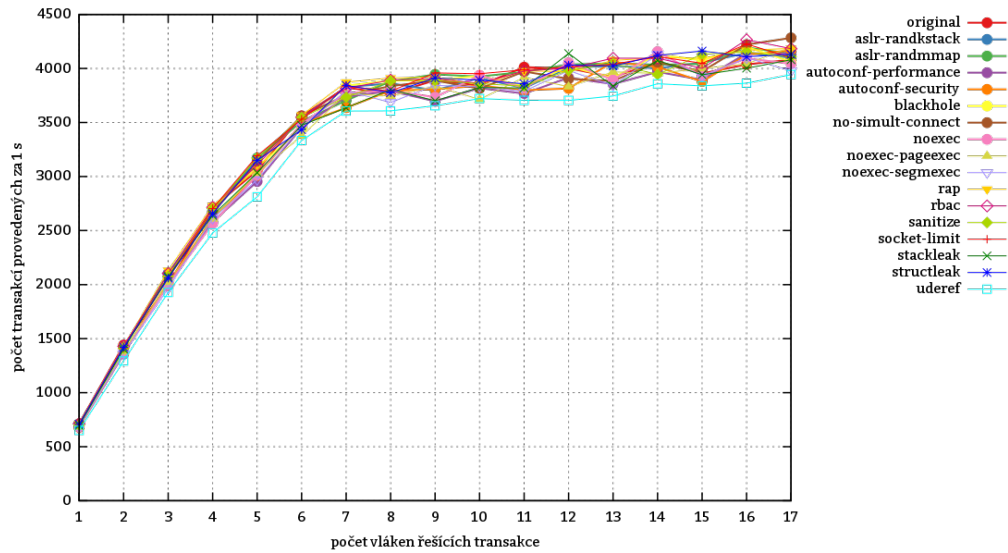
#### 13.8.9.1 Naměřené hodnoty pro jednotlivé konfigurace

|                                             |                                                                                                                                                                                                                                                             |
|---------------------------------------------|-------------------------------------------------------------------------------------------------------------------------------------------------------------------------------------------------------------------------------------------------------------|
| <b>NZPV</b> ( $x$ )                         | počet vláken řešících transakce                                                                                                                                                                                                                             |
| <b>jednotka NZPV</b>                        | není (bezrozměrná veličina)                                                                                                                                                                                                                                 |
| <b>ZPV</b> ( $y$ )                          | počet transakcí provedených za 1 s                                                                                                                                                                                                                          |
| <b>jednotka ZPV</b>                         | není (bezrozměrná veličina)                                                                                                                                                                                                                                 |
| <b>počet opakování měření</b>               | 1                                                                                                                                                                                                                                                           |
| <b>počítač spouštějící testovací příkaz</b> | xenmv                                                                                                                                                                                                                                                       |
| <b>testovací příkaz</b>                     | <pre>sysbench --test=oltp --mysql-db=db --mysql-user=root ↳ --mysql-password=+ --oltp-table-size=1000000 --max-requests=0 ↳ --db-driver=mysql --oltp-read-only=on --oltp-skip-trx ↳ --oltp-nontrx-mode=select --max-time=20 --num-threads=\${X} ↳ run</pre> |

Tabulka 13.98: Charakteristiky testu sysbench\_db\_readonly

| měřená konfigurace   | počet vláken řešících transakce |        |      |        |      |        |        |        |        |        |      |      |      |      |      |      |      |
|----------------------|---------------------------------|--------|------|--------|------|--------|--------|--------|--------|--------|------|------|------|------|------|------|------|
|                      | 1                               | 2      | 3    | 4      | 5    | 6      | 7      | 8      | 9      | 10     | 11   | 12   | 13   | 14   | 15   | 16   | 17   |
| original             | 712,6                           | 1440,8 | 1991 | 2715,5 | 3052 | 3561,0 | 3823,9 | 3763,9 | 3891,4 | 3843,  | 4011 | 4001 | 3920 | 4057 | 3953 | 4037 | 4080 |
| aslr-randkstack      | 693,2                           | 1417,6 | 2105 | 2673,4 | 3170 | 3544,0 | 3827,0 | 3862,3 | 3798,0 | 3912,0 | 3817 | 4007 | 4024 | 4000 | 4054 | 4142 | 4100 |
| aslr-randmmap        | 711,                            | 1423,4 | 2077 | 2680,2 | 3169 | 3509,8 | 3703,7 | 3881,0 | 3945,1 | 3925,4 | 3968 | 4036 | 4047 | 4035 | 4041 | 4194 | 4135 |
| autoconf-performance | 680,3                           | 1357,3 | 2020 | 2580,7 | 2953 | 3453,9 | 3737,7 | 3791,6 | 3697,1 | 3818,9 | 3768 | 3914 | 3855 | 3968 | 3895 | 4140 | 4138 |
| autoconf-security    | 680,3                           | 1366,  | 2013 | 2614,8 | 3008 | 3485,4 | 3637,0 | 3794,9 | 3807,6 | 3840,5 | 3798 | 3814 | 4061 | 4014 | 3879 | 4126 | 4167 |
| blackhole            | 704,7                           | 1421,5 | 2050 | 2714,3 | 3086 | 3444,6 | 3841,0 | 3887,5 | 3890,5 | 3932,3 | 3836 | 4018 | 3912 | 4129 | 4074 | 4200 | 4062 |
| no-simult-connect    | 708,0                           | 1418,8 | 2074 | 2669,0 | 3132 | 3561,1 | 3753,5 | 3836,1 | 3888,  | 3814,5 | 3972 | 3904 | 3884 | 4058 | 3973 | 4220 | 4283 |
| noexec               | 682,9                           | 1366,1 | 1997 | 2565,0 | 3014 | 3486,4 | 3774,2 | 3795,5 | 3733,7 | 3936,9 | 3817 | 4053 | 3894 | 4155 | 3930 | 4094 | 4042 |
| noexec-pageexec      | 682,5                           | 1377,0 | 2019 | 2608,0 | 3033 | 3376,0 | 3765,7 | 3745,3 | 3837,3 | 3713,2 | 3918 | 3831 | 3968 | 3953 | 3999 | 4042 | 4199 |
| noexec-segmutex      | 682,9                           | 1360,6 | 1964 | 2611,7 | 2969 | 3464,4 | 3791,1 | 3686,4 | 3843,8 | 3830,9 | 3790 | 3980 | 3842 | 4129 | 3928 | 4098 | 3977 |
| rap                  | 713,9                           | 1429,5 | 2130 | 2731,1 | 3067 | 3567,7 | 3873,2 | 3910,8 | 3923,4 | 3849,7 | 3978 | 3970 | 4074 | 4099 | 4094 | 4168 | 4186 |
| rbac                 | 713,1                           | 1429,3 | 2103 | 2715,4 | 3104 | 3548,2 | 3815,8 | 3892,9 | 3903,0 | 3862,0 | 3976 | 4002 | 4094 | 4095 | 4001 | 4265 | 4183 |
| sanitize             | 699,3                           | 1412,5 | 2074 | 2702,1 | 3172 | 3547,9 | 3733,2 | 3885,1 | 3890,2 | 3860,0 | 3836 | 3982 | 4045 | 3943 | 4131 | 4153 | 4108 |
| socket-limit         | 706,8                           | 1414,7 | 2063 | 2703,5 | 3191 | 3530,0 | 3836,6 | 3790,0 | 3958,7 | 3951,0 | 3987 | 4014 | 4039 | 4109 | 4047 | 4225 | 4099 |
| stackleak            | 695,5                           | 1401,7 | 2072 | 2639,6 | 3035 | 3474,0 | 3635,2 | 3806,1 | 3701,7 | 3823,8 | 3819 | 4139 | 3837 | 4073 | 3941 | 4002 | 4080 |
| structleak           | 708,2                           | 1419,8 | 2060 | 2656,9 | 3148 | 3433,  | 3843,8 | 3775,4 | 3911,8 | 3892,4 | 3858 | 4031 | 4023 | 4120 | 4161 | 4107 | 4130 |
| uderef               | 650,9                           | 1293,6 | 1927 | 2478,4 | 2811 | 3333,3 | 3606,2 | 3608,3 | 3655,3 | 3721,9 | 3705 | 3704 | 3744 | 3858 | 3839 | 3863 | 3943 |

Tabulka 13.99: Absolutní srovnání konfigurací

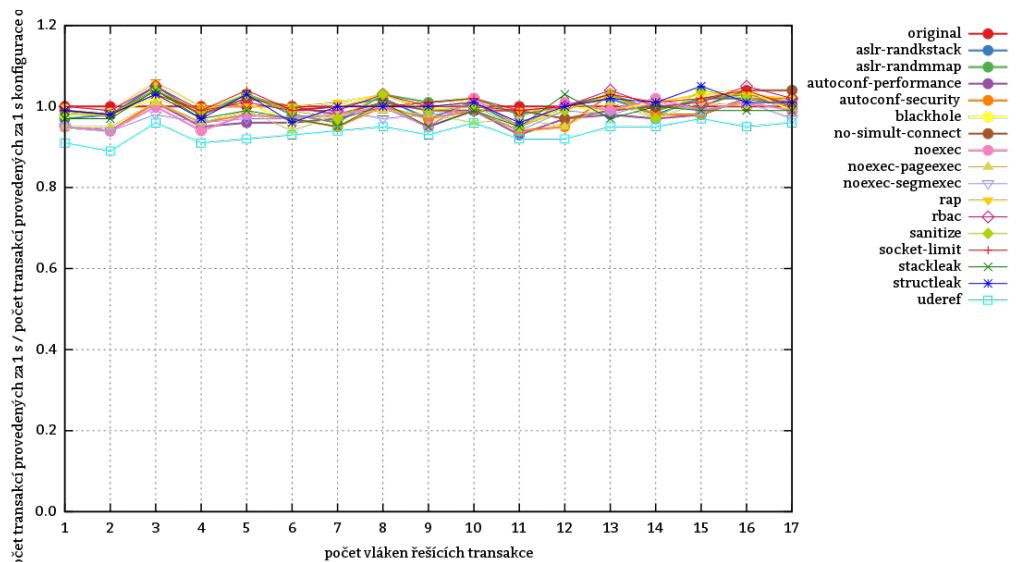


Obrázek 13.32: Absolutní srovnání konfigurací

13.8.9.2 Srovnání konfigurací

| měřená konfigurace   | počet vláken řešících transakce |      |      |      |      |      |      |      |      |      |      |      |      |      |      |      |      | průměr |
|----------------------|---------------------------------|------|------|------|------|------|------|------|------|------|------|------|------|------|------|------|------|--------|
|                      | 1                               | 2    | 3    | 4    | 5    | 6    | 7    | 8    | 9    | 10   | 11   | 12   | 13   | 14   | 15   | 16   | 17   |        |
| original             | 1                               | 1    | 1    | 1    | 1    | 1    | 1    | 1    | 1    | 1    | 1    | 1    | 1    | 1    | 1    | 1    | 1    | 1      |
| aslr-randkstack      | 0,97                            | 0,98 | 1,05 | 0,98 | 1,03 | 0,99 | 1    | 1,02 | 0,97 | 1,01 | 0,95 | 1    | 1,02 | 0,98 | 1,02 | 1,02 | 1    | 0,99   |
| aslr-randmmap        | 0,99                            | 0,98 | 1,04 | 0,98 | 1,03 | 0,98 | 0,96 | 1,03 | 1,01 | 1,02 | 0,98 | 1    | 1,03 | 0,99 | 1,02 | 1,03 | 1,01 | 1      |
| autoconf-performance | 0,95                            | 0,94 | 1,01 | 0,95 | 0,96 | 0,96 | 0,97 | 1    | 0,95 | 0,99 | 0,93 | 0,97 | 0,98 | 0,97 | 0,98 | 1,02 | 1,01 | 0,97   |
| autoconf-security    | 0,95                            | 0,94 | 1,01 | 0,96 | 0,98 | 0,97 | 0,95 | 1    | 0,97 | 0,99 | 0,94 | 0,95 | 1,03 | 0,98 | 0,98 | 1,02 | 1,02 | 0,97   |
| blackhole            | 0,98                            | 0,98 | 1,02 | 0,99 | 1,01 | 0,96 | 1    | 1,03 | 0,99 | 1,02 | 0,95 | 1    | 0,99 | 1,01 | 1,03 | 1,04 | 0,99 | 0,99   |
| no-simult-connect    | 0,99                            | 0,98 | 1,04 | 0,98 | 1,02 | 1    | 0,98 | 1,01 | 0,99 | 0,99 | 0,99 | 0,97 | 0,99 | 1    | 1    | 1,04 | 1,04 | 1      |
| noexec               | 0,95                            | 0,94 | 1    | 0,94 | 0,98 | 0,97 | 0,98 | 1    | 0,95 | 1,02 | 0,95 | 1,01 | 0,99 | 1,02 | 0,99 | 1,01 | 0,99 | 0,98   |
| noexec-pageexec      | 0,95                            | 0,95 | 1,01 | 0,96 | 0,99 | 0,94 | 0,98 | 0,99 | 0,98 | 0,96 | 0,97 | 0,95 | 1,01 | 0,97 | 1,01 | 1    | 1,02 | 0,97   |
| noexec-segmexec      | 0,95                            | 0,94 | 0,98 | 0,96 | 0,97 | 0,97 | 0,99 | 0,97 | 0,98 | 0,99 | 0,94 | 0,99 | 0,98 | 1,01 | 0,99 | 1,01 | 0,97 | 0,97   |
| rap                  | 1                               | 0,99 | 1,06 | 1    | 1    | 1    | 1,01 | 1,03 | 1    | 1    | 0,99 | 0,99 | 1,03 | 1,01 | 1,03 | 1,03 | 1,02 | 1,01   |
| rbac                 | 1                               | 0,99 | 1,05 | 0,99 | 1,01 | 0,99 | 0,99 | 1,03 | 1    | 1    | 0,99 | 1    | 1,04 | 1    | 1,01 | 1,05 | 1,02 | 1      |
| sanitize             | 0,98                            | 0,98 | 1,04 | 0,99 | 1,03 | 0,99 | 0,97 | 1,03 | 0,99 | 1    | 0,95 | 0,99 | 1,03 | 0,97 | 1,04 | 1,02 | 1    | 1      |
| socket-limit         | 0,99                            | 0,98 | 1,03 | 0,99 | 1,04 | 0,99 | 1    | 1    | 1,01 | 1,02 | 0,99 | 1    | 1,03 | 1,01 | 1,02 | 1,04 | 1    | 1      |
| stackleak            | 0,97                            | 0,97 | 1,04 | 0,97 | 0,99 | 0,97 | 0,95 | 1,01 | 0,95 | 0,99 | 0,95 | 1,03 | 0,97 | 1    | 0,99 | 0,99 | 0,99 | 0,98   |
| structleak           | 0,99                            | 0,98 | 1,03 | 0,97 | 1,03 | 0,96 | 1    | 1    | 1    | 1,01 | 0,96 | 1    | 1,02 | 1,01 | 1,05 | 1,01 | 1,01 | 1      |
| uderef               | 0,91                            | 0,89 | 0,96 | 0,91 | 0,92 | 0,93 | 0,94 | 0,95 | 0,93 | 0,96 | 0,92 | 0,92 | 0,95 | 0,95 | 0,97 | 0,95 | 0,96 | 0,93   |

Tabulka 13.100: Relativní srovnání konfigurací vůči referenční konfiguraci original



Obrázek 13.33: Relativní srovnání konfigurací vůči referenční konfiguraci original

**13.8.9.3 Zhodnocení testu**

Měření ukázalo, že úpravy prováděné Grsecem mají jen mírný dopad na výkonnost DBMS: Největší dopad na výkonnost potvrdila, tak jako i v předešlých testech, konfigurace `uderef`, při jejíž aplikaci klesá výkon systému k průměrně 93 % výkonu systému s referenční konfigurací. Prudký růst počtu provedených transakcí se zastavuje u 7 do vláken řešících transakce. Poté roste již jen mírně. Příčinou tohoto zlomu je počet jader, kterými testovaný stroj disponuje. Na rozdíl od testu uvedeném v kapitole 13.8.1 zde však počet jader procesoru nepředstavuje ostrý limit a počet provedených transakcí stále stoupá a to přibližně lineárně.

**13.8.10 Test sysbench\_db\_readwrite**

Test `sysbench_db_readwrite` zjišťuje počet transakcí, které je databáze schopna vykonat za 1 s. Na rozdíl od testu 13.8.9 je v tomto testu do databáze také zapisováno. Dotazy tak již nejsou výhradně jen `SELECT`, ale i transakce, čili `BEGIN .. END`.

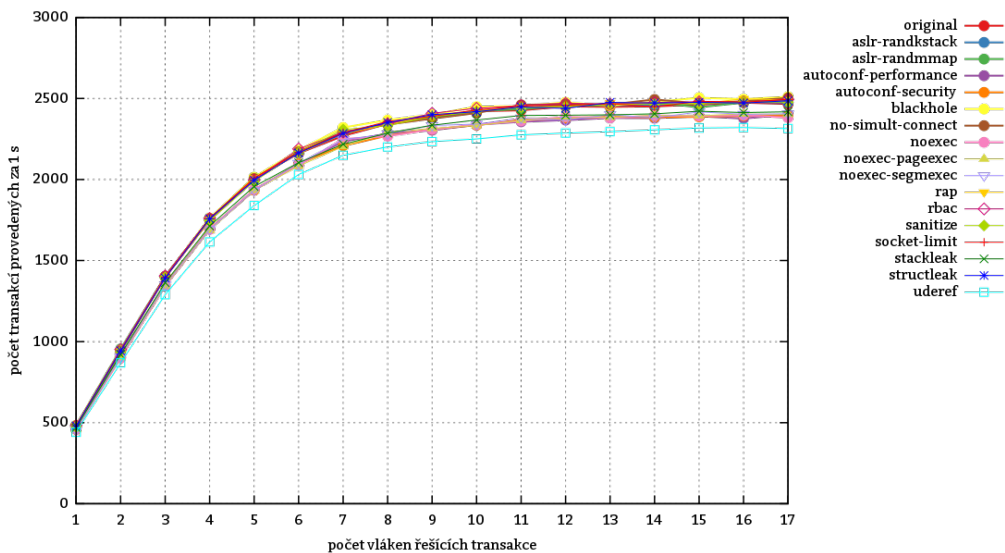
|                                             |                                                                                                                                                                                                                  |
|---------------------------------------------|------------------------------------------------------------------------------------------------------------------------------------------------------------------------------------------------------------------|
| <b>NZPV (x)</b>                             | počet vláken řešících transakce                                                                                                                                                                                  |
| <b>jednotka NZPV</b>                        | není (bezrozměrná veličina)                                                                                                                                                                                      |
| <b>ZPV (y)</b>                              | počet transakcí provedených za 1 s                                                                                                                                                                               |
| <b>jednotka ZPV</b>                         | není (bezrozměrná veličina)                                                                                                                                                                                      |
| <b>počet opakování měření</b>               | 1                                                                                                                                                                                                                |
| <b>počítač spouštějící testovací příkaz</b> | xenmv                                                                                                                                                                                                            |
| <b>testovací příkaz</b>                     | <pre>sysbench --test=oltp --mysql-db=db --mysql-user=root ↪ --mysql-password=+ --oltp-table-size=1000000 --max-requests=0 ↪ --db-driver=mysql --oltp-read-only=off --max-time=20 ↪ --num-threads=\${X} run</pre> |

Tabulka 13.101: Charakteristiky testu `sysbench_db_readwrite`

**13.8.10.1 Naměřené hodnoty pro jednotlivé konfigurace**

| mšfená konfigurace   | počet vláken řešících transakce |       |        |        |      |        |        |        |        |        |        |        |        |        |        |        |        |
|----------------------|---------------------------------|-------|--------|--------|------|--------|--------|--------|--------|--------|--------|--------|--------|--------|--------|--------|--------|
|                      | 1                               | 2     | 3      | 4      | 5    | 6      | 7      | 8      | 9      | 10     | 11     | 12     | 13     | 14     | 15     | 16     | 17     |
| original             | 480,36                          | 938,6 | 1398,3 | 1750,3 | 2004 | 2161,6 | 2269,4 | 2343,7 | 2389,0 | 2421,3 | 2427,1 | 2450,7 | 2448,9 | 2451,6 | 2462,2 | 2474,7 | 2466,2 |
| aslr-randstack       | 477,                            | 940,8 | 1399,7 | 1757,1 | 2006 | 2163,6 | 2283,1 | 2352,0 | 2377,6 | 2427,3 | 2436,4 | 2467,  | 2458,0 | 2460,7 | 2468,5 | 2478,3 | 2474,2 |
| aslr-randmmap        | 482,6                           | 954,6 | 1402,5 | 1758,1 | 2013 | 2171,4 | 2283,4 | 2343,8 | 2382,2 | 2421,9 | 2434,7 | 2454,3 | 2458,4 | 2474,5 | 2446,7 | 2474,3 | 2489,6 |
| autoconf-performance | 459,37                          | 905,7 | 1343,7 | 1693,9 | 1935 | 2094,7 | 2234,6 | 2283,3 | 2304,1 | 2338,2 | 2356,1 | 2366,6 | 2380,4 | 2379,0 | 2390,6 | 2376,6 | 2400,7 |
| autoconf-security    | 459,35                          | 901,4 | 1350,0 | 1694,2 | 1934 | 2097,1 | 2207,7 | 2271,4 | 2309,8 | 2335,6 | 2369,1 | 2379,2 | 2387,8 | 2383,2 | 2387,1 | 2392,6 | 2392,5 |
| blackhole            | 483,6                           | 947,1 | 1400,5 | 1762,4 | 2013 | 2180,9 | 2321,1 | 2366,6 | 2400,6 | 2449,2 | 2452,7 | 2476,0 | 2456,0 | 2478,7 | 2504,0 | 2495,3 | 2510,5 |
| no-simult-connect    | 480,12                          | 942,6 | 1402,8 | 1760,1 | 2006 | 2170,8 | 2294,2 | 2339,4 | 2376,3 | 2410,6 | 2460,6 | 2466,6 | 2462,8 | 2493,7 | 2469,7 | 2483,3 | 2503,7 |
| noexec               | 461,01                          | 898,4 | 1344,1 | 1692,4 | 1939 | 2087,4 | 2250,3 | 2267,4 | 2309,4 | 2338,3 | 2361,3 | 2386,2 | 2380,2 | 2395,2 | 2391,4 | 2396,6 | 2381,8 |
| noexec-pageexec      | 459,24                          | 902,5 | 1344,6 | 1687,2 | 1933 | 2083,3 | 2204,2 | 2292,8 | 2315,9 | 2333,6 | 2365,0 | 2380,2 | 2384,1 | 2396,1 | 2393,3 | 2404,7 | 2402,5 |
| noexec-segmexec      | 454,82                          | 906,7 | 1350,5 | 1692,1 | 1932 | 2100,7 | 2246,0 | 2281,8 | 2333,5 | 2341,7 | 2378,4 | 2367,3 | 2400,2 | 2380,8 | 2417,3 | 2402,5 | 2406,0 |
| rap                  | 479,22                          | 943,8 | 1402,1 | 1753,3 | 2009 | 2160,6 | 2283,6 | 2338,2 | 2397,5 | 2426,5 | 2444,6 | 2452,3 | 2472,3 | 2477,1 | 2469,4 | 2497,4 | 2491,6 |
| rbac                 | 482,2                           | 951,8 | 1405,3 | 1760,2 | 1994 | 2189,1 | 2292,6 | 2343,9 | 2408,9 | 2439,7 | 2456,6 | 2470,1 | 2465,7 | 2474,8 | 2479,7 | 2477,5 | 2494,1 |
| sanitize             | 477,15                          | 939,4 | 1397,4 | 1746,4 | 1988 | 2167,5 | 2309,0 | 2332,8 | 2388,5 | 2421,0 | 2447,8 | 2449,9 | 2465,1 | 2465,8 | 2466,6 | 2479,7 | 2477,6 |
| socket-limit         | 480,34                          | 942,9 | 1396,6 | 1757,6 | 2009 | 2167,8 | 2288,8 | 2358,3 | 2389,9 | 2429,4 | 2454,5 | 2457,7 | 2468,0 | 2448,9 | 2482,9 | 2477,3 | 2494,3 |
| stackleak            | 469,82                          | 920,4 | 1363,6 | 1713,3 | 1956 | 2103,8 | 2218,1 | 2286,4 | 2335,3 | 2366,9 | 2395,0 | 2396,7 | 2398,9 | 2405,6 | 2421,3 | 2413,4 | 2418,0 |
| structleak           | 480,58                          | 943,1 | 1392,6 | 1757,4 | 1995 | 2163,7 | 2284,4 | 2352,1 | 2400,1 | 2418,7 | 2448,2 | 2438,6 | 2476,1 | 2472,1 | 2476,6 | 2472,2 | 2485,9 |
| uderef               | 441,30                          | 869,1 | 1289,6 | 1614,8 | 1839 | 2030,9 | 2149,8 | 2201,0 | 2234,3 | 2250,9 | 2275,7 | 2286,8 | 2295,0 | 2306,8 | 2317,8 | 2320,6 | 2314,7 |

Tabulka 13.102: Absolutní srovnání konfigurací

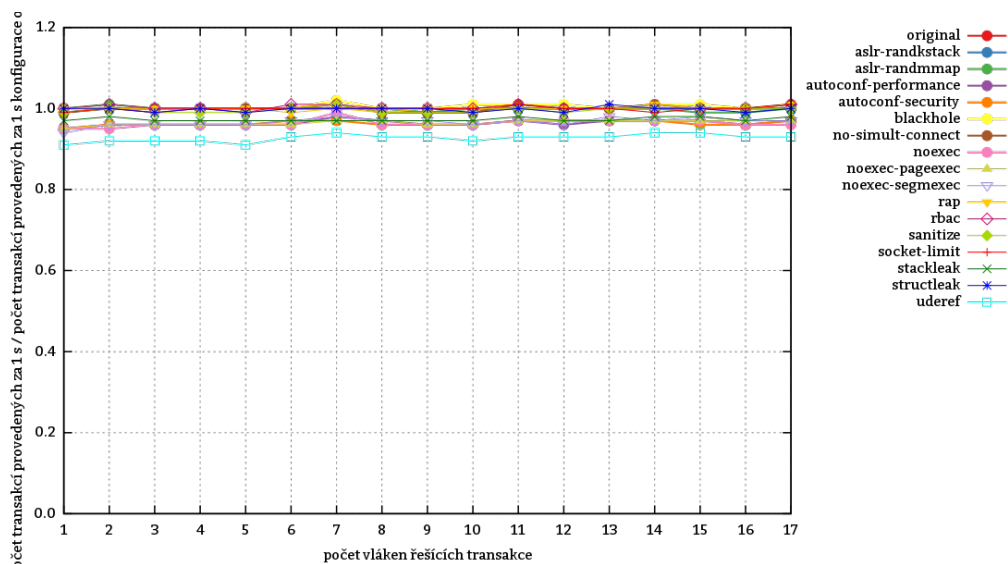


Obrázek 13.34: Absolutní srovnání konfigurací

13.8.10.2 Srovnání konfigurací

| měřená konfigurace   | počet vláken řešících transakce |      |      |      |      |      |      |      |      |      |      |      |      |      |      |      |      | průměr |      |      |      |
|----------------------|---------------------------------|------|------|------|------|------|------|------|------|------|------|------|------|------|------|------|------|--------|------|------|------|
|                      | 1                               | 2    | 3    | 4    | 5    | 6    | 7    | 8    | 9    | 10   | 11   | 12   | 13   | 14   | 15   | 16   | 17   |        |      |      |      |
| original             | 1                               | 1    | 1    | 1    | 1    | 1    | 1    | 1    | 1    | 1    | 1    | 1    | 1    | 1    | 1    | 1    | 1    | 1      | 1    |      |      |
| aslr-randkstack      | 0,99                            | 1    | 1    | 1    | 1    | 1    | 1    | 1    | 1    | 0,99 | 1    | 1    | 1    | 1    | 1    | 1    | 1    | 1      | 0,99 |      |      |
| aslr-randmmap        | 1                               | 1,01 | 1    | 1    | 1    | 1    | 1    | 1    | 1    | 0,99 | 1    | 1    | 1    | 1    | 1    | 1    | 0,99 | 0,99   | 1    | 1    | 0,99 |
| autoconf-performance | 0,95                            | 0,96 | 0,96 | 0,96 | 0,96 | 0,96 | 0,98 | 0,97 | 0,96 | 0,96 | 0,96 | 0,97 | 0,96 | 0,97 | 0,97 | 0,97 | 0,97 | 0,96   | 0,97 | 0,96 | 0,96 |
| autoconf-security    | 0,95                            | 0,96 | 0,96 | 0,96 | 0,96 | 0,97 | 0,97 | 0,96 | 0,96 | 0,96 | 0,96 | 0,97 | 0,97 | 0,97 | 0,97 | 0,97 | 0,96 | 0,96   | 0,97 | 0,97 | 0,96 |
| blackhole            | 1                               | 1    | 1    | 1    | 1    | 1    | 1,02 | 1    | 1    | 1,01 | 1,01 | 1,01 | 1    | 1    | 1,01 | 1,01 | 1    | 1,01   | 1,01 | 1    | 1,01 |
| no-simult-connect    | 0,99                            | 1    | 1    | 1    | 1    | 1    | 1,01 | 0,99 | 0,99 | 0,99 | 1,01 | 1    | 1    | 1    | 1,01 | 1    | 1    | 1,01   | 1    | 1    | 1,01 |
| noexec               | 0,95                            | 0,95 | 0,96 | 0,96 | 0,96 | 0,96 | 0,99 | 0,96 | 0,96 | 0,96 | 0,97 | 0,97 | 0,97 | 0,97 | 0,97 | 0,97 | 0,97 | 0,97   | 0,96 | 0,96 | 0,96 |
| noexec-pageexec      | 0,95                            | 0,96 | 0,96 | 0,96 | 0,96 | 0,96 | 0,97 | 0,97 | 0,96 | 0,96 | 0,97 | 0,97 | 0,97 | 0,97 | 0,97 | 0,97 | 0,97 | 0,97   | 0,97 | 0,97 | 0,96 |
| noexec-segmexec      | 0,94                            | 0,96 | 0,96 | 0,96 | 0,96 | 0,97 | 0,98 | 0,97 | 0,97 | 0,96 | 0,97 | 0,96 | 0,97 | 0,96 | 0,98 | 0,97 | 0,98 | 0,97   | 0,97 | 0,97 | 0,96 |
| rap                  | 0,99                            | 1    | 1    | 1    | 1    | 0,99 | 1    | 0,99 | 1    | 1    | 1    | 1    | 1    | 1    | 1    | 1,01 | 1    | 1      | 1    | 1,01 | 0,99 |
| rbac                 | 1                               | 1,01 | 1    | 1    | 0,99 | 1,01 | 1,01 | 1    | 1    | 1    | 1,01 | 1    | 1    | 1    | 1    | 1    | 1    | 1      | 1,01 | 1    | 1    |
| sanitize             | 0,99                            | 1    | 0,99 | 0,99 | 0,99 | 1    | 1,01 | 0,99 | 0,99 | 0,99 | 1    | 0,99 | 1    | 1    | 1    | 1    | 1    | 1      | 1    | 1    | 0,99 |
| socket-limit         | 0,99                            | 1    | 0,99 | 1    | 1    | 1    | 1    | 1    | 1    | 1    | 1,01 | 1    | 1    | 1    | 0,99 | 1    | 1    | 1,01   | 1    | 1    | 0,99 |
| stackleak            | 0,97                            | 0,98 | 0,97 | 0,97 | 0,97 | 0,97 | 0,97 | 0,97 | 0,97 | 0,97 | 0,98 | 0,97 | 0,97 | 0,98 | 0,98 | 0,97 | 0,98 | 0,97   | 0,98 | 0,97 | 0,97 |
| structleak           | 1                               | 1    | 0,99 | 1    | 0,99 | 1    | 1    | 1    | 1    | 0,99 | 1    | 0,99 | 1,01 | 1    | 1    | 0,99 | 1    | 0,99   | 1    | 1    | 0,99 |
| uderef               | 0,91                            | 0,92 | 0,92 | 0,92 | 0,91 | 0,93 | 0,94 | 0,93 | 0,93 | 0,92 | 0,93 | 0,93 | 0,93 | 0,94 | 0,94 | 0,93 | 0,93 | 0,93   | 0,93 | 0,93 | 0,92 |

Tabulka 13.103: Relativní srovnání konfigurací vůči referenční konfiguraci original



Obrázek 13.35: Relativní srovnání konfigurací vůči referenční konfiguraci original

13.8.10.3 Zhodnocení testu

Test 13.8.10 ukázal podobný výsledek jako test 13.8.9. Z naměřených výsledků je dále patrné, že počet transakcí provedených za 1s přestává škálovat. Počet provedených transakcí oproti měření v kapitole 13.8.9 v důsledku přítomnosti zápisu poklesl o cca 60 %.

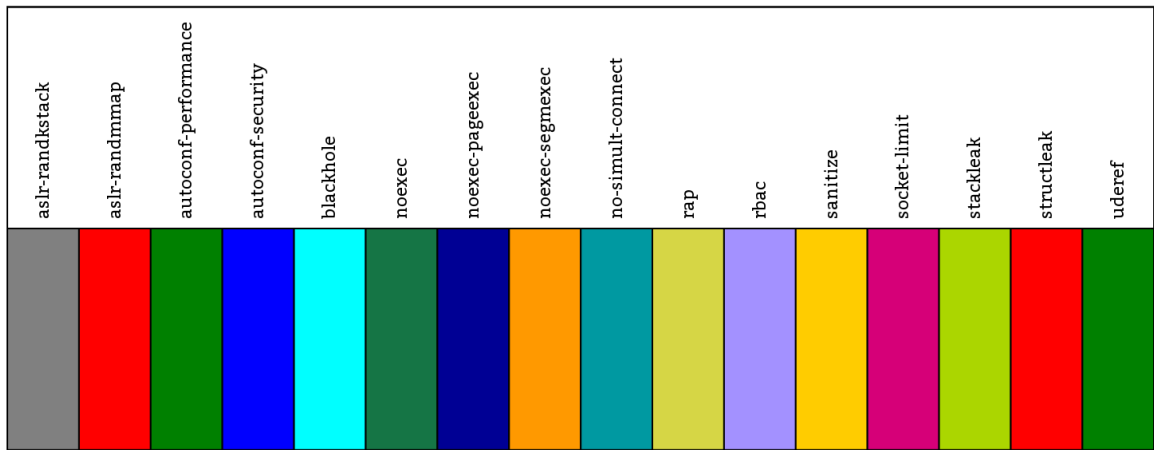


## 14. Hodnocení

Prostupuje-li čtenář dokumentem sekvenčně, měl by být již seznámen s hrozbami i technikami proti nim stojícími v rámci [Grsec](#). Předchozí kapitola uvedla, jak velký výkonnostní dopad mají jednotlivé techniky. Nyní nezbyvá než vyslovit doporučení k jednotlivým z nich. Doporučení jednotlivých voleb následuje ale až po závěrečném srovnání, které pro čtenáře shrnuje naměřená data.

### 14.1 Srovnání bezpečnostních řešení

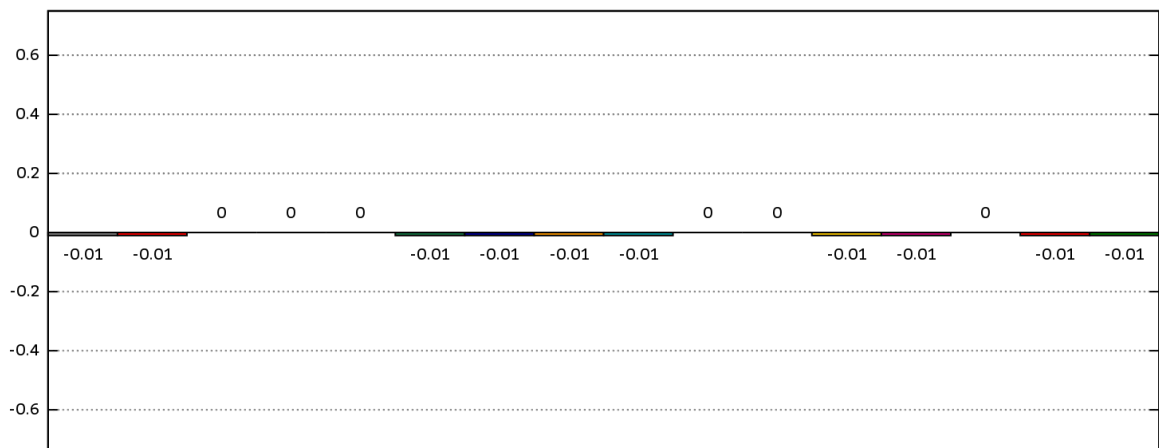
Na obrázcích uvedených v této kapitole je graficky znázorněn relativní rozdíl naměřené výkonnosti mezi jednotlivými konfiguracemi měřícího/měřeného prostředí. Jedná se o tatáž data, která již byla čtenáři předložena v kapitole [13](#) v tabulkách zachycujících relativní srovnání konfigurací. Každá konfigurace je reprezentována buďto průměrem z relativních hodnot jí příslušejících v příslušném testu či přímo konkrétní relativní hodnotou, bylo-li v daném testu prováděno pro každou konfiguraci měření pouze jedné hodnoty. Hodnotě 0 odpovídá výkonnost systému v konfiguraci original. Proto je daná konfigurace měřícího/měřeného systému ze srovnání odebrána.



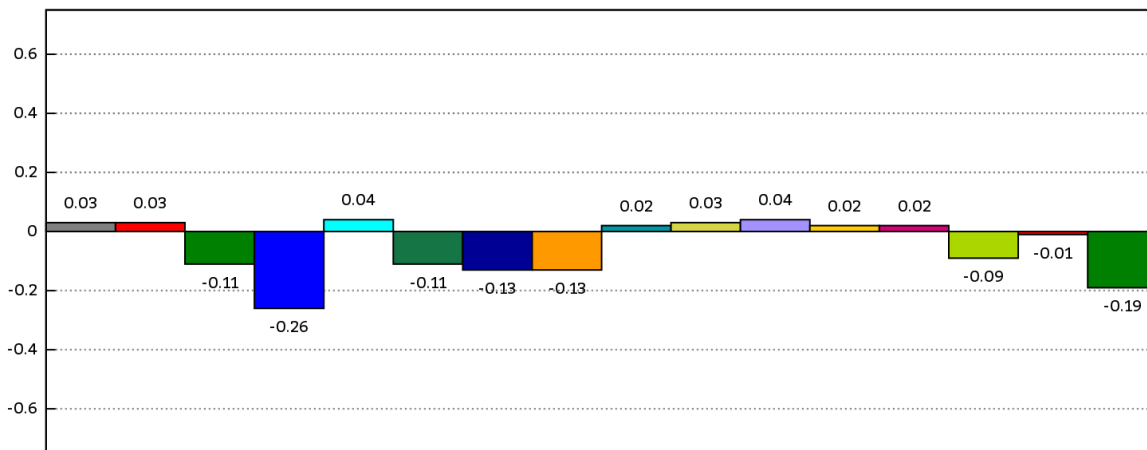
Obrázek 14.1: Klíč k určování testů ve srovnání

#### 14.1.1 Srovnání jednotlivých konfigurací v testech zaměřených na výkonnost procesoru

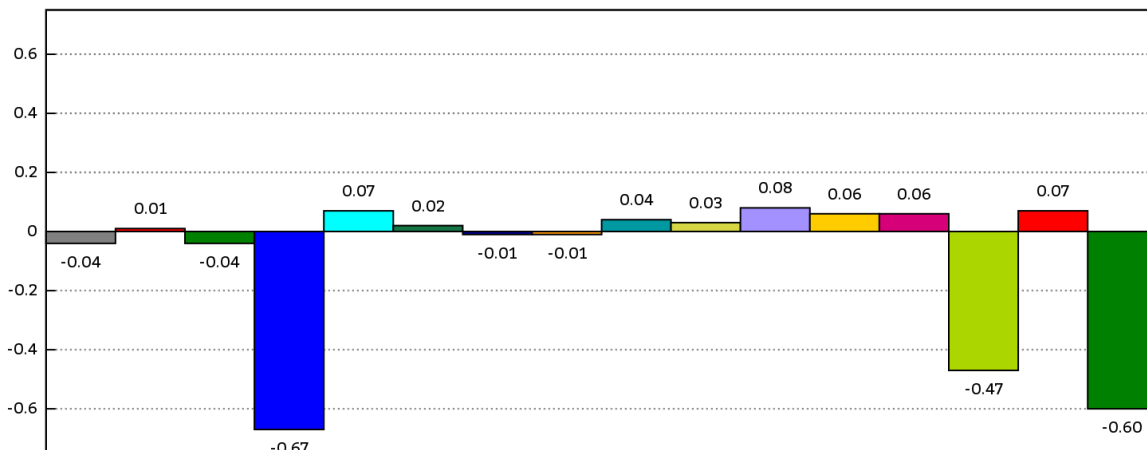
„



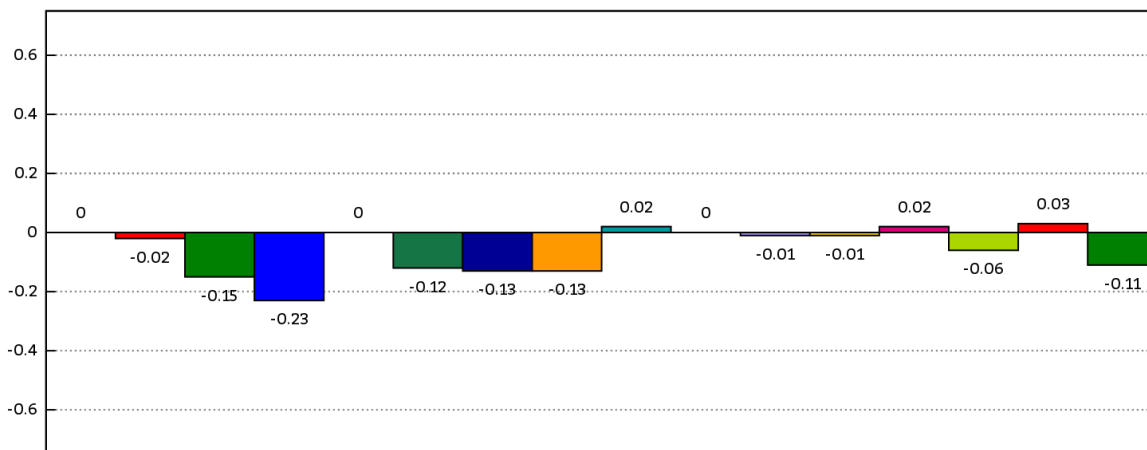
Obrázek 14.2: Srovnání konfigurací v testu sysbench\_cpu



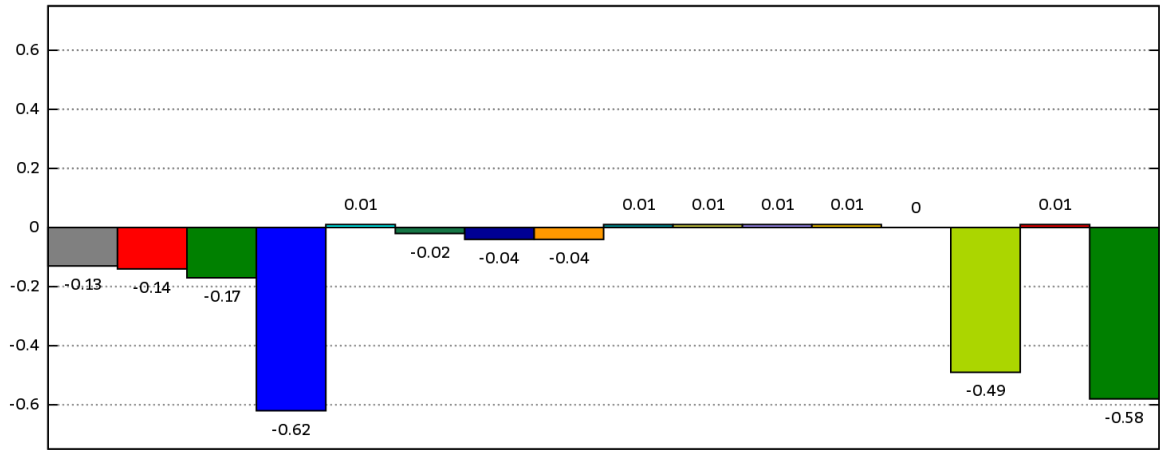
Obrázek 14.3: Srovnání konfigurací v testu unixbench\_context1



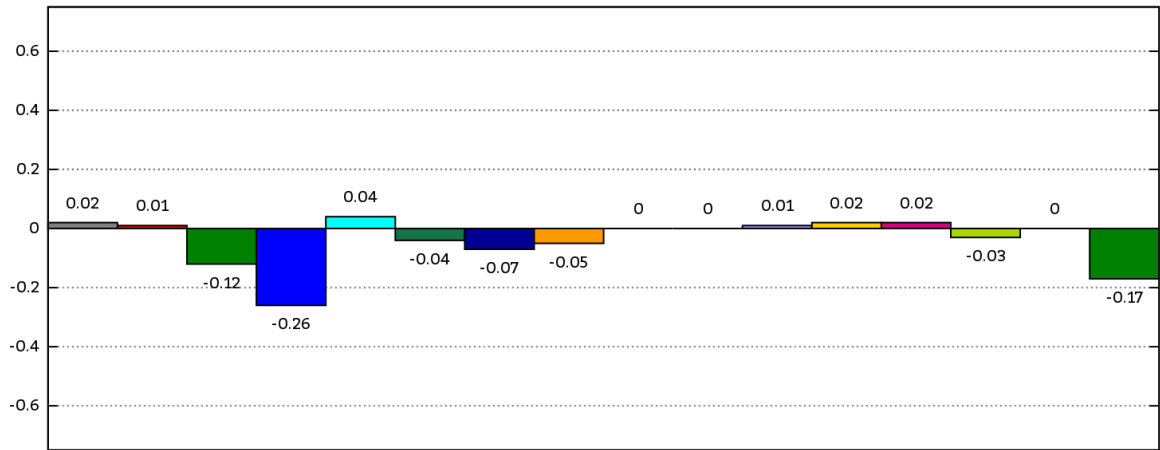
Obrázek 14.4: Srovnání konfigurací v testu unixbench\_pipe



Obrázek 14.5: Srovnání konfigurací v testu unixbench\_spawn



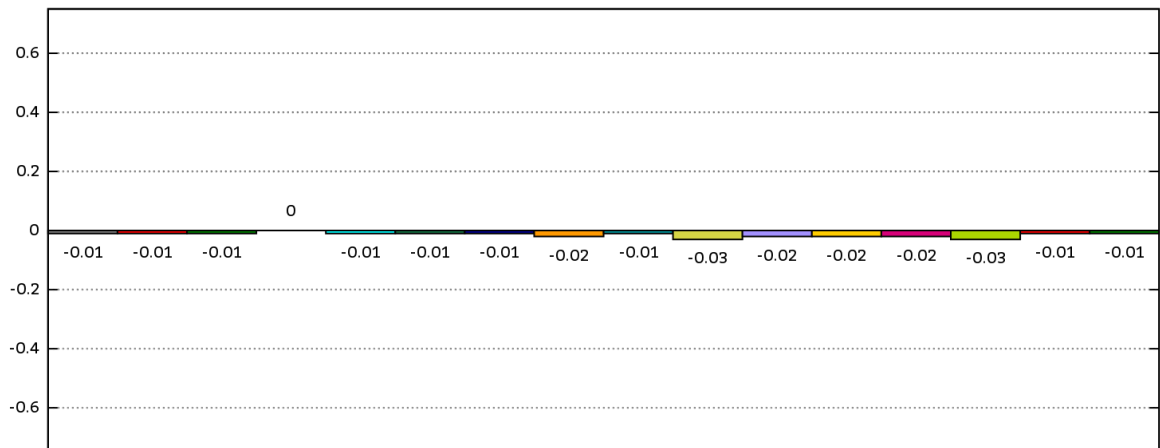
Obrázek 14.6: Srovnání konfigurací v testu unixbench\_syscall



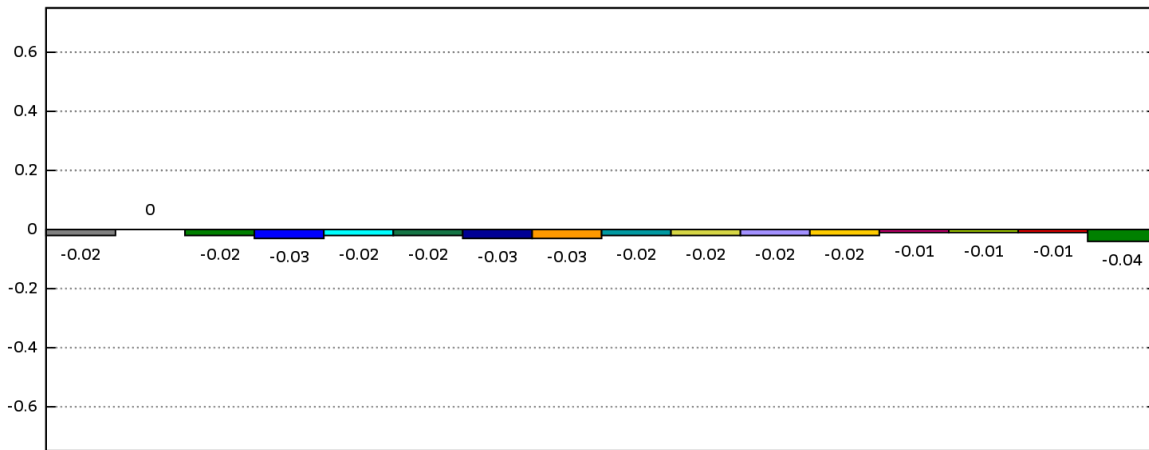
Obrázek 14.7: Srovnání konfigurací v testu unixbench\_exec1

**14.1.2 Srovnání jednotlivých konfigurací v testech zaměřených na výkonnost hlavní paměti**

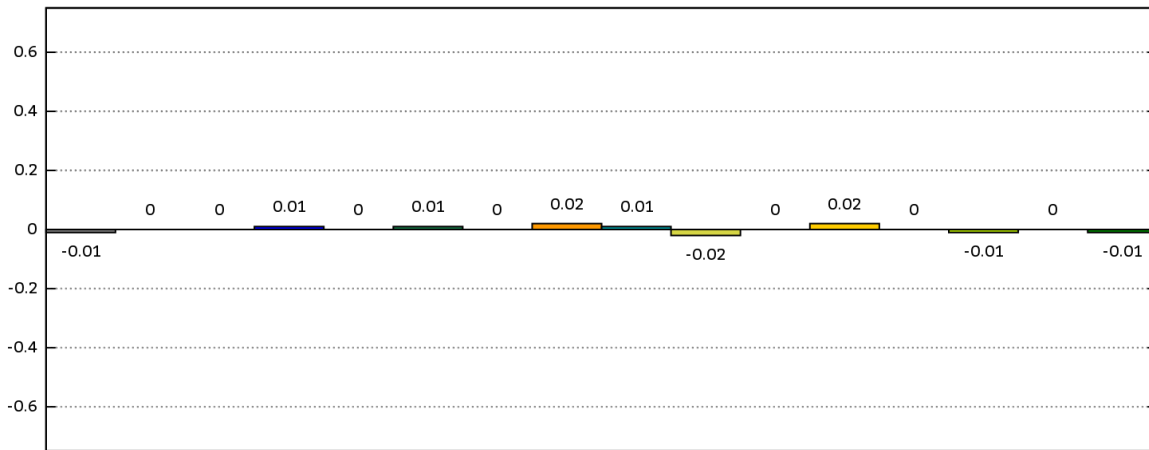
”



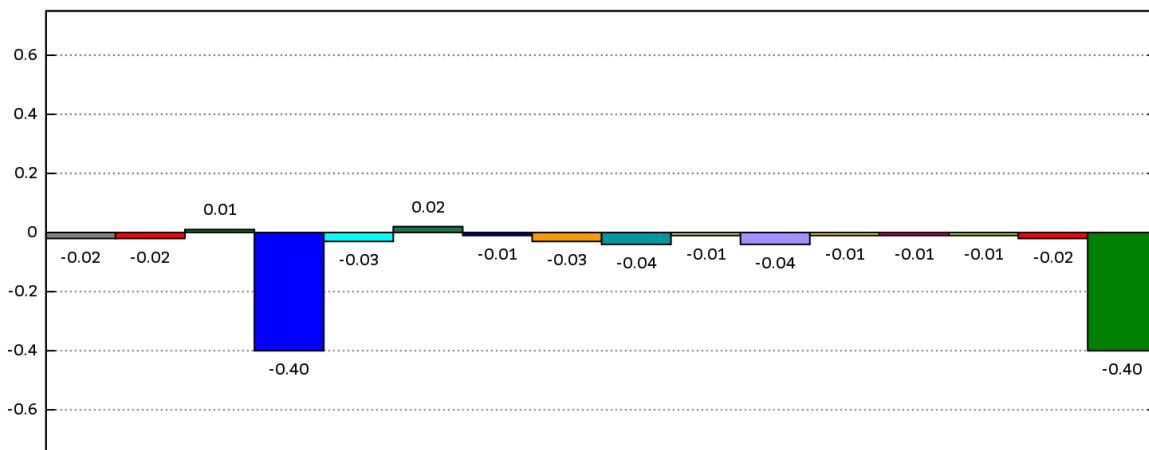
Obrázek 14.8: Srovnání konfigurací v testu lmbench\_bw\_mem\_rd



Obrázek 14.9: Srovnání konfigurací v testu sysbench\_memory\_write\_seq



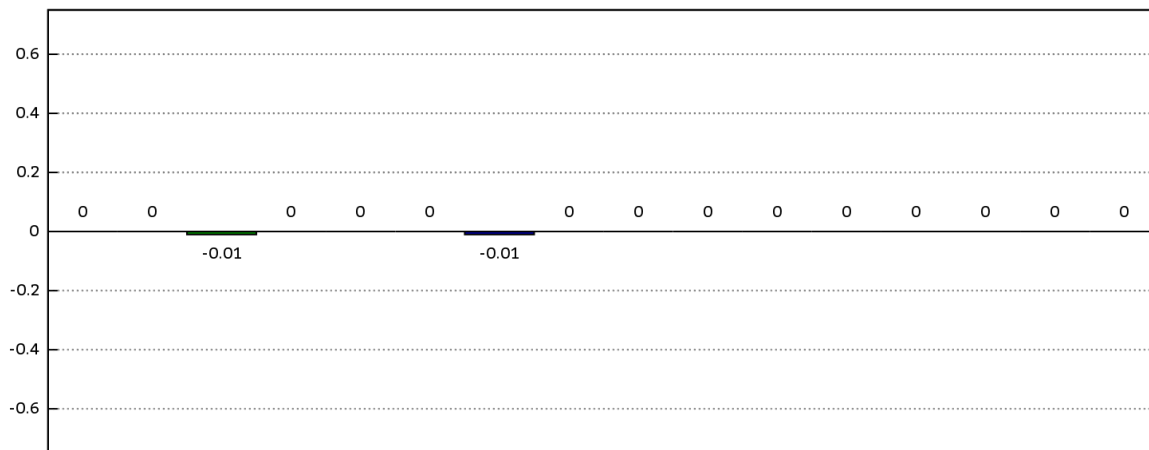
Obrázek 14.10: Srovnání konfigurací v testu lmbench\_bw\_mem\_wr



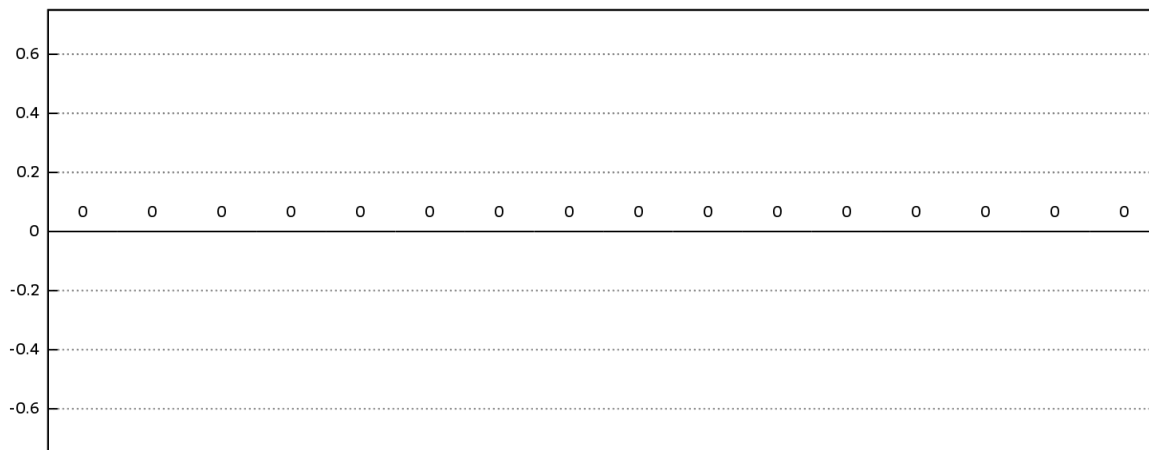
Obrázek 14.11: Srovnání konfigurací v testu lmbench\_bw\_file\_read\_io\_only

### 14.1.3 Srovnání jednotlivých konfigurací v testech zaměřených na výkonnost sítě

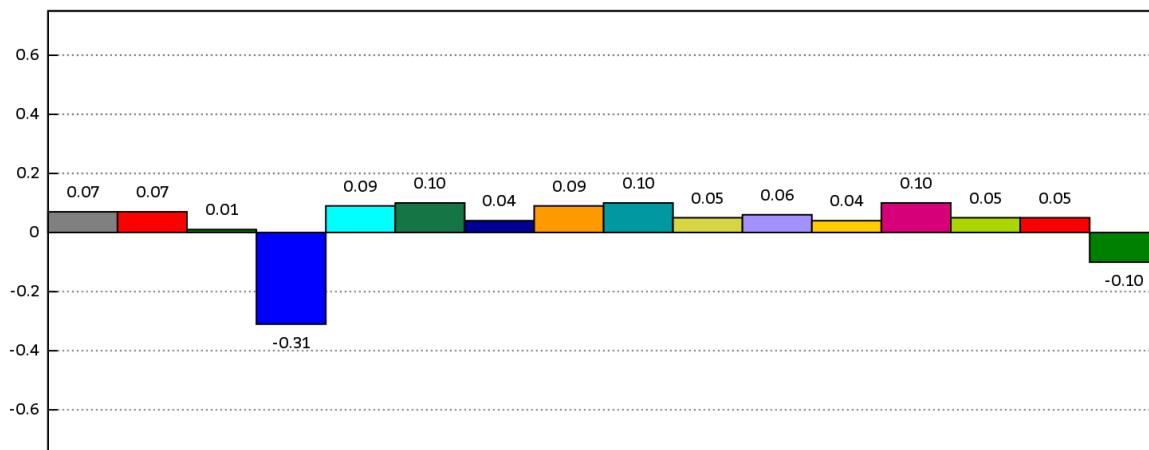
”



Obrázek 14.12: Srovnání konfigurací v testu qperf\_remote\_bw\_tcp



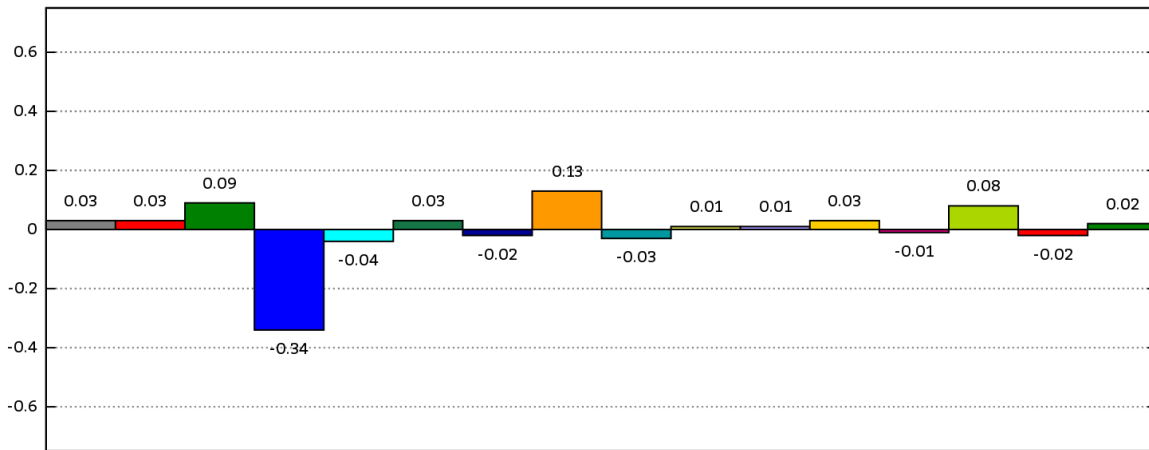
Obrázek 14.13: Srovnání konfigurací v testu qperf\_remote\_bw\_udp



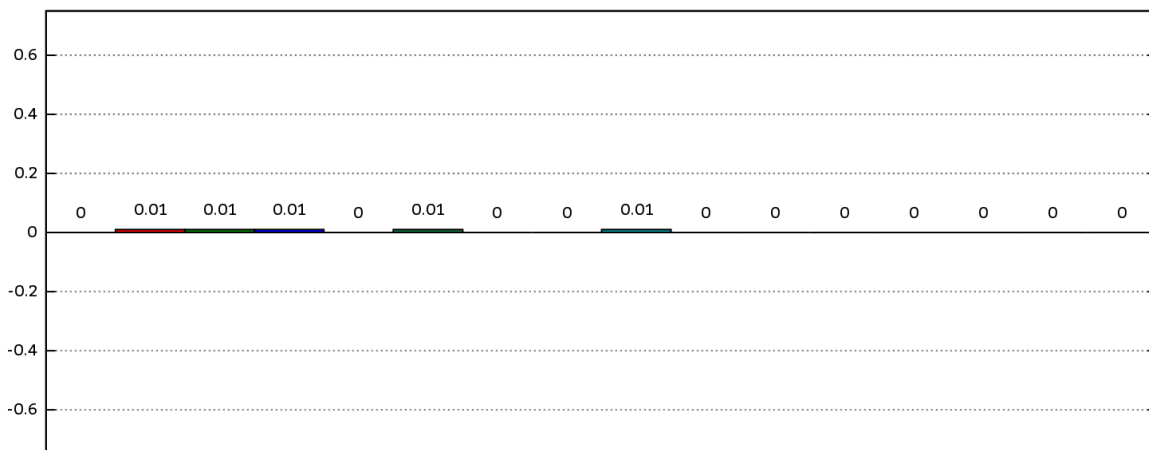
Obrázek 14.14: Srovnání konfigurací v testu qperf\_local\_bw\_tcp



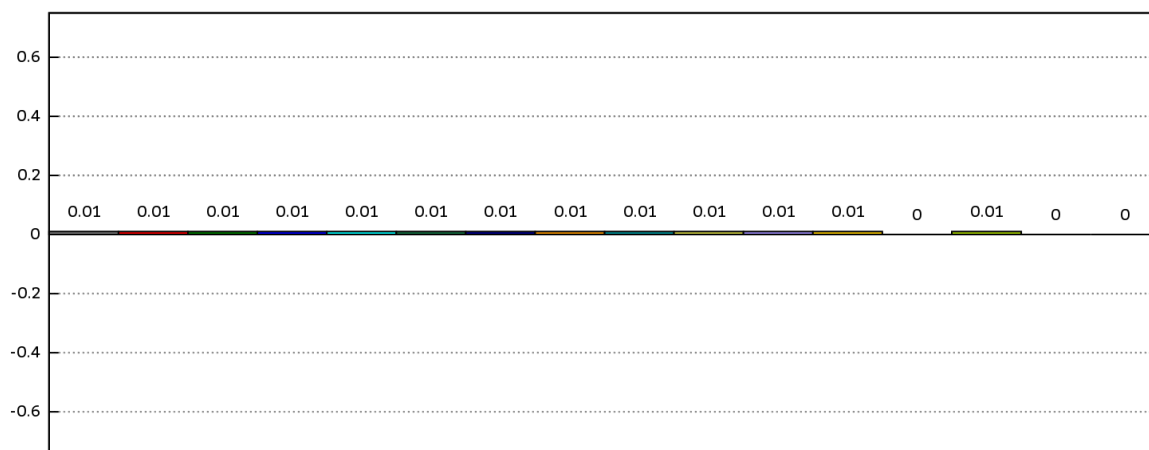
Obrázek 14.15: Srovnání konfigurací v testu lmbench\_lat\_connect\_remote



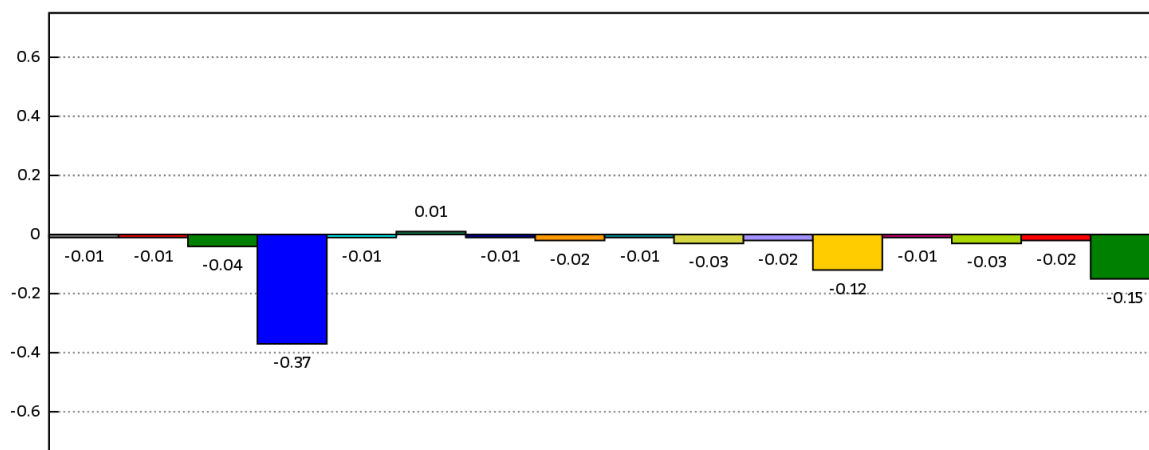
Obrázek 14.16: Srovnání konfigurací v testu qperf\_local\_bw\_udp



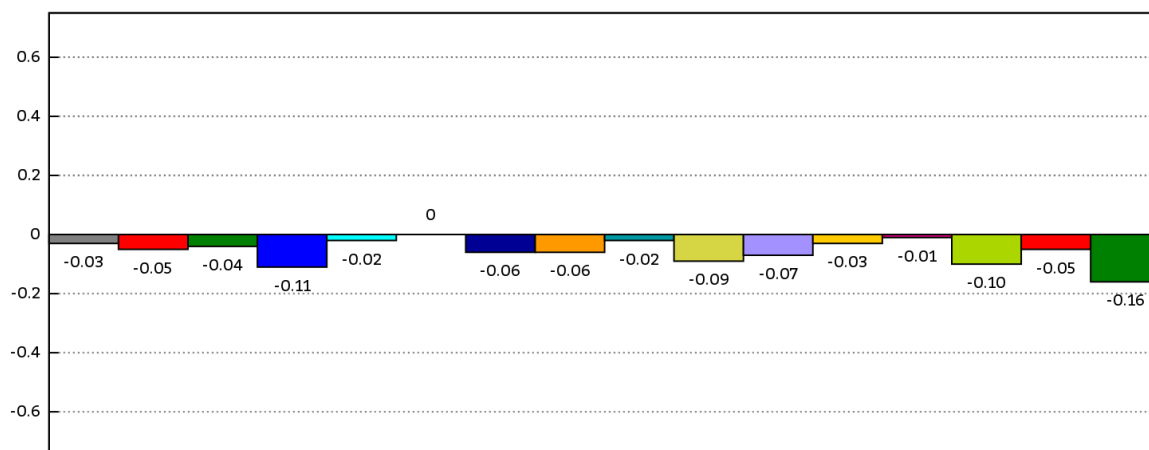
Obrázek 14.17: Srovnání konfigurací v testu qperf\_remote\_lat\_udp



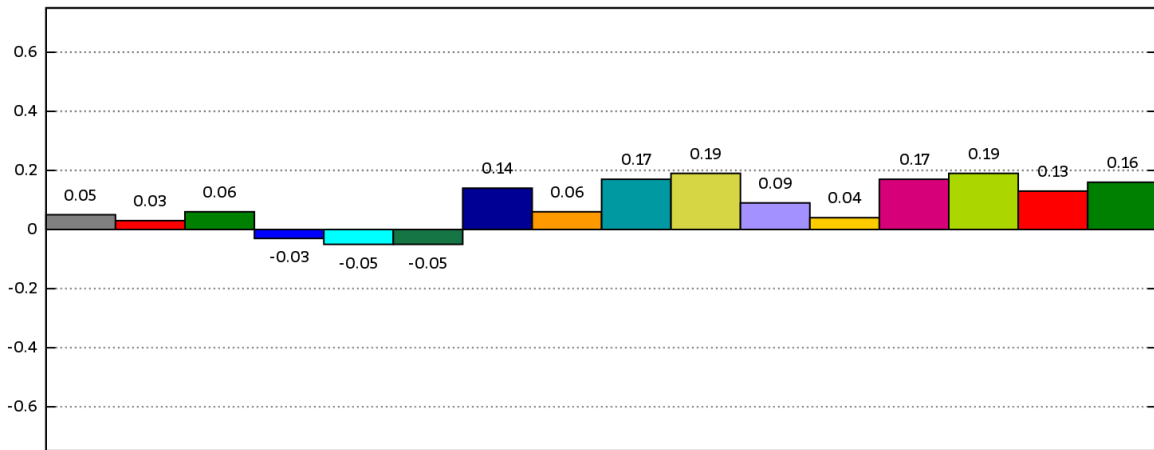
Obrázek 14.18: Srovnání konfigurací v testu qperf\_remote\_lat\_tcp



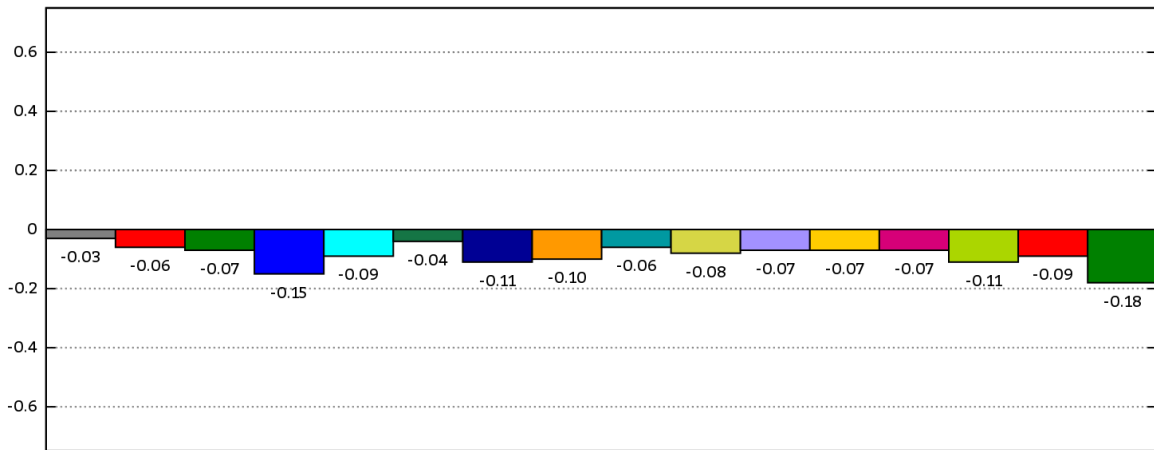
Obrázek 14.19: Srovnání konfigurací v testu iperf\_local\_tcp



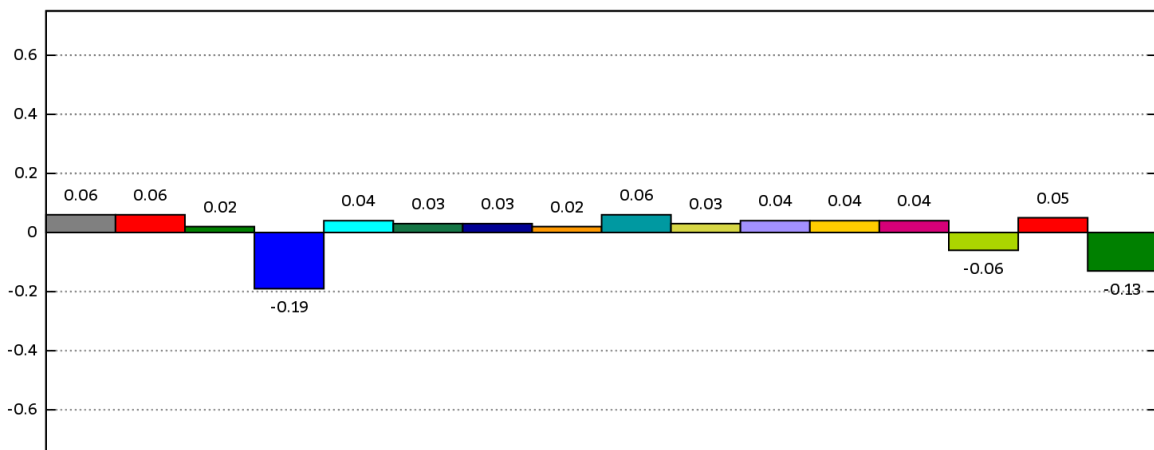
Obrázek 14.20: Srovnání konfigurací v testu qperf\_local\_lat\_tcp



Obrázek 14.21: Srovnání konfigurací v testu ping

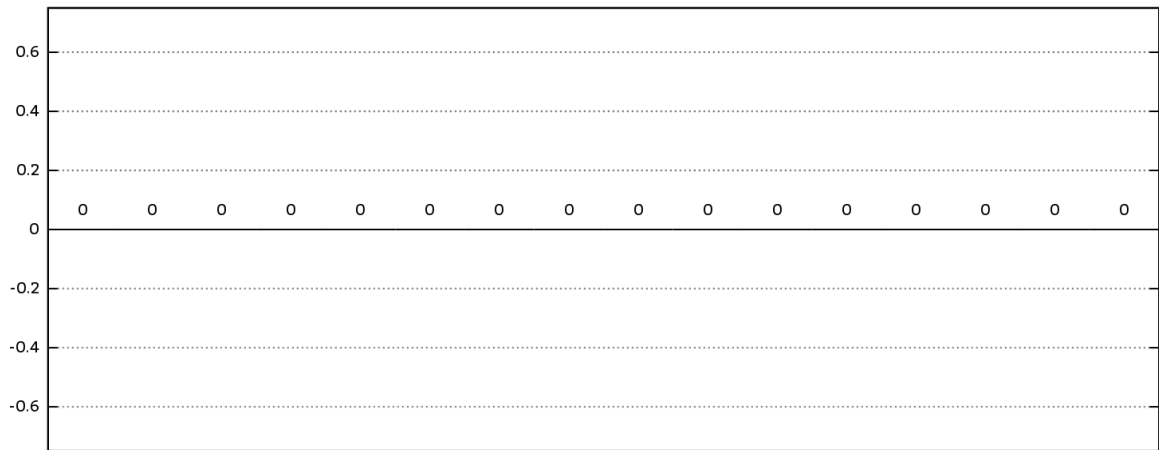


Obrázek 14.22: Srovnání konfigurací v testu qperf\_local\_lat\_udp

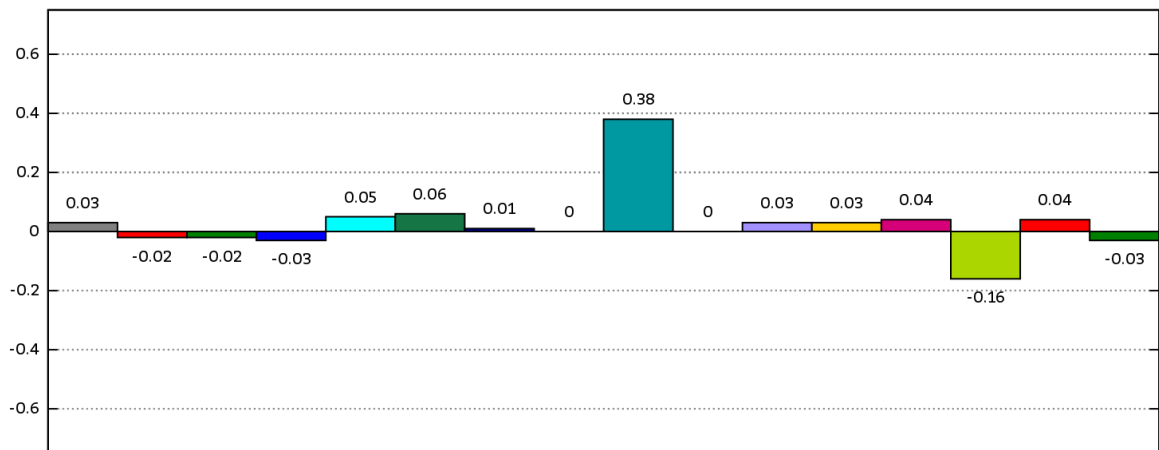


Obrázek 14.23: Srovnání konfigurací v testu lmbench\_lat\_unix\_connect





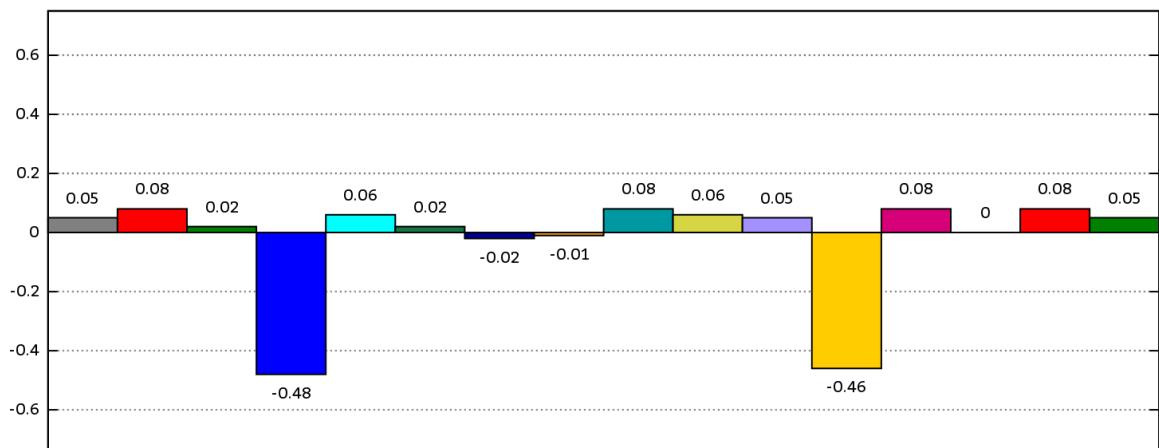
Obrázek 14.24: Srovnání konfigurací v testu iperf\_remote\_tcp



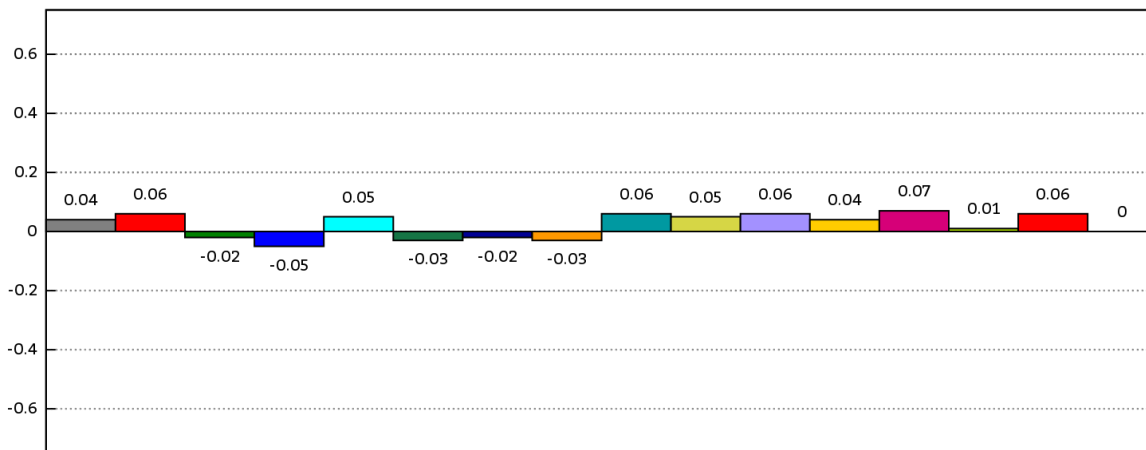
Obrázek 14.25: Srovnání konfigurací v testu lmbench\_lat\_connect\_local

#### 14.1.4 Srovnání jednotlivých konfigurací v testech zaměřených na výkonnost externí paměti

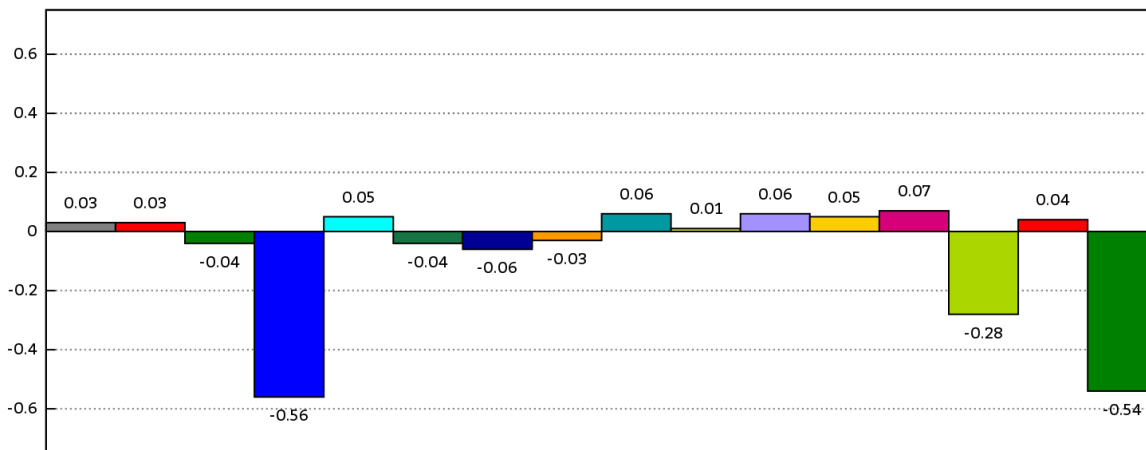
”



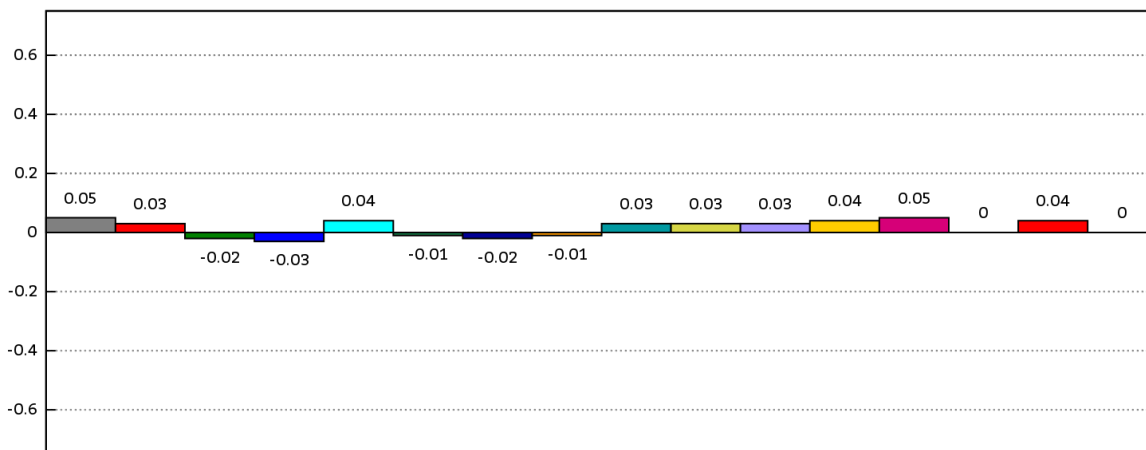
Obrázek 14.26: Srovnání konfigurací v testu sysbench\_fileio\_rndwr\_l



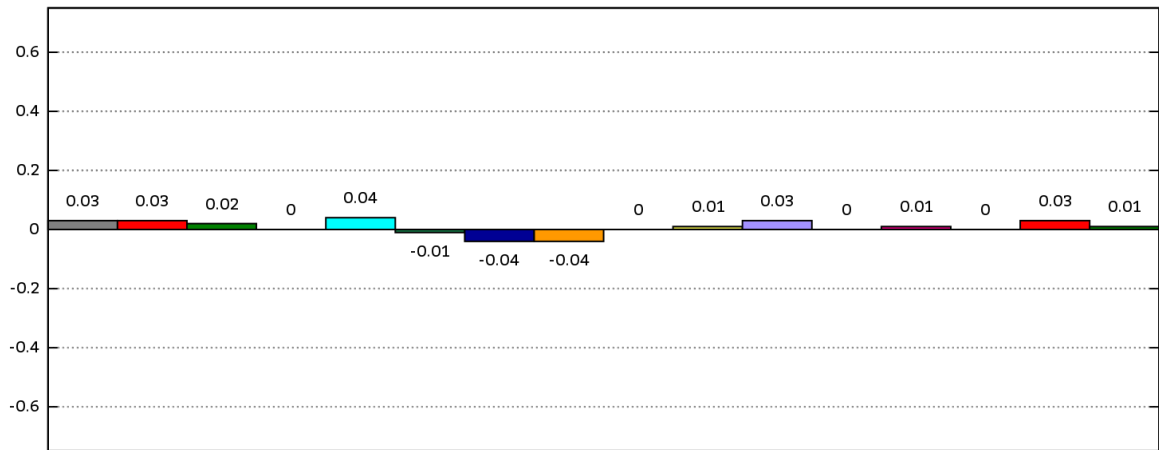
Obrázek 14.27: Srovnání konfigurací v testu sysbench\_fileio\_rndwr\_s



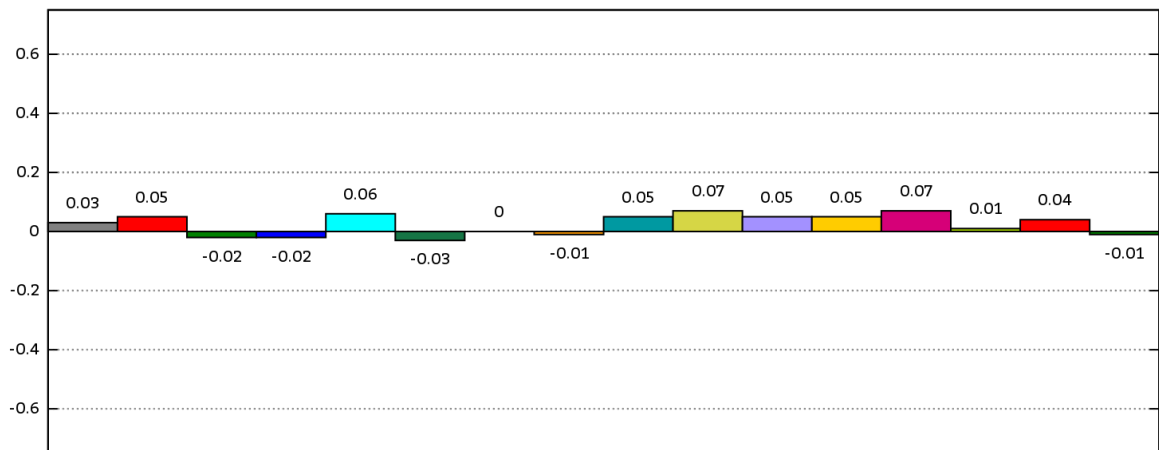
Obrázek 14.28: Srovnání konfigurací v testu unixbench\_fstime



Obrázek 14.29: Srovnání konfigurací v testu sysbench\_fileio\_rndrd\_s



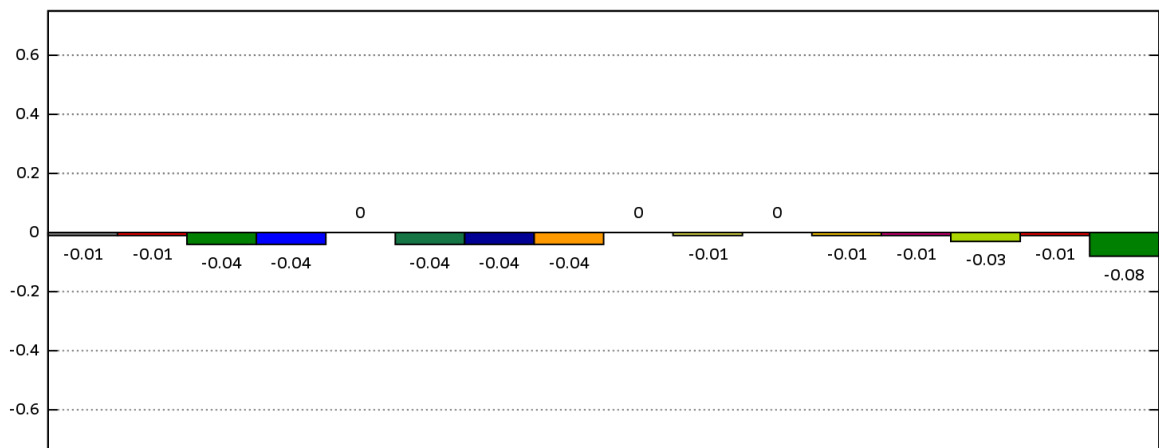
Obrázek 14.30: Srovnání konfigurací v testu sysbench\_fileio\_seqr\_1



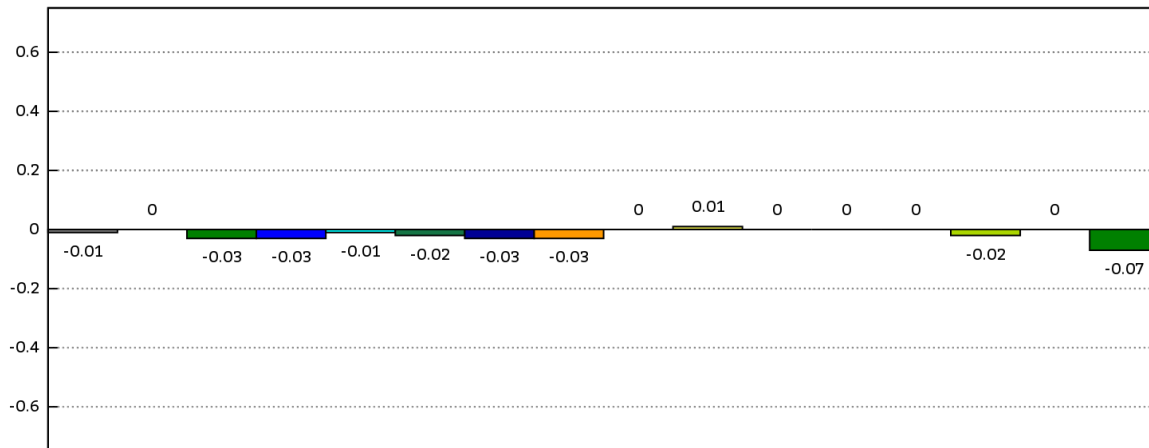
Obrázek 14.31: Srovnání konfigurací v testu sysbench\_fileio\_seqrd\_1

### 14.1.5 Srovnání jednotlivých konfigurací v obecných testech

”



Obrázek 14.32: Srovnání konfigurací v testu sysbench\_db\_readwrite



Obrázek 14.33: Srovnání konfigurací v testu sysbench\_db\_readonly

## 14.2 Doporučení zabezpečení

Nastal čas, kdy z naměřených výsledků, které prezentovaly předešlé dvě kapitoly, a znalostí, které byly obsaženy v kapitolách jim předcházejících, je zapotřebí sestavit hodnocení či lépe odpověď na otázku: **Které volby zvolit?** Jelikož zabezpečení a výkonost systému se vylučují, odpověď nemůže být jednoduchá. Proto je zapotřebí najít optimum. Těch však může být povícero, neboť vše se odvíjí od účelu zabezpečovaného systému. Zjednodušeně řečeno:

- **Volby, jejichž dopad na výkonost systému je vždy pozitivní, zvolte.**

Všechny volby přináší v nějakém směru vyšší bezpečnost systému, na kterém jsou aplikovány. Pokud s ní přinesou zároveň i vyšší výkonost, tak sem s nimi. Typické to však není. V testech (viz kapitola 13) se jako nejméně restriktivní, co se týče výkonosti, jeví konfigurace `noexec` čili volba `PAX_NOEXEC`. Tu rozhodně lze doporučit zapnout za všech okolností.

- **Volby, které nemají dopad na výkonost systému a zároveň představují potenciální možnost rozšíření zabezpečení či možností správy v budoucnu, zvolte.**

Volby, které v současnosti nepřinášejí žádný užitek, není třeba zavrhnout, pokud systém nijak funkčně ani výkonostně neomezují. Budoucí vývoj v oblasti bezpečnosti může být jejich přítomnosti nakloněn.

- **Volby, jejichž dopad na výkonost systému umí být i negativní, studujte.**

Volby zpravidla přinášejí společně se zvýšením bezpečnosti též snížení výkonosti. Otázkou je, zda-li jej lze akceptovat. Záleží na mnoha okolnostech:

- Na míře nebezpečnosti volbou eliminovaných zranitelností.
- Na hodnotě systémem manipulovaných dat.
- Na prostředí, v němž je zabezpečovaný systém nasazen.
- Na rezervě výkonosti systému.

Zkrátka záleží na ceně, kterou je provozovatel systému, ochoten zaplatit. Doporučení zapnutí/nezapnutí jednotlivých voleb se tak liší dle konkrétního nasazení. Rozhodnutí je tak značně subjektivní. Subjektivní pohled autora tohoto dokumentu je zachycen v tabulce 14.2. Tabulka 14.2 nese doporučení autora pro různá nasazení, jež jsou podrobněji popsána tabulkou 14.1.

| Nasazení           | Popis nasazení                                                                                                                                                                                                                                                                                                                                                                                                                                                                                                                                                                                                                                                                                                                                                                                                                                                                                                                                                                                                                                |
|--------------------|-----------------------------------------------------------------------------------------------------------------------------------------------------------------------------------------------------------------------------------------------------------------------------------------------------------------------------------------------------------------------------------------------------------------------------------------------------------------------------------------------------------------------------------------------------------------------------------------------------------------------------------------------------------------------------------------------------------------------------------------------------------------------------------------------------------------------------------------------------------------------------------------------------------------------------------------------------------------------------------------------------------------------------------------------|
| souborový server   | Server poskytující uživatelům přístup k souborům, které jsou na něm uloženy. Často též nabízí pokročilé možnosti zálohování a sdílení těchto souborů mezi uživateli. Na počítačích provozujících tento server není vhodné ponížovat jejich výkon ve vstupně-výstupních operacích. Naopak výkon hlavní paměti a procesoru si může dovolit v zájmu dosažení bezpečnosti poklesnout.                                                                                                                                                                                                                                                                                                                                                                                                                                                                                                                                                                                                                                                             |
| terminálový server | Poskytovatel vzdáleného prostředí způsobilého vykonávat programy čili příkazového interpretu neboli shellu. Časté spouštění úloh, na počítačích provozujících tyto servery, vyžaduje vysoký procesorový výkon a dostatek rychlé paměti. Naproti tomu diskové operace skýtají možnost k výkonnostním ústupkům ve prospěch bezpečnosti. Tu se rozhodně nevyplatí podceňovat, neb <b>uživatel</b> disponujícím přístupem k shellu se <b>otevívá velmi široké spektrum zranitelností</b> . Ty mohou být schovány v uživateli přístupných programech či přímo v příkazech vestavěných v shellu. Nejenže je v tomto případě zranitelností potencionálně více, nežli u jiných typů serverů, ale zároveň <b>uživatel není od serveru odstíněn žádným protokolem</b> , který by mu případné exploitování zranitelnosti mohl alespoň znepříjemňovat. Proto jsou počítače provozující terminálové servery nejzranitelnějšími vůbec a <b>pokles výkonosti způsobený aktivací ochran je</b> právě u počítačů tohoto typu nejvíce <b>ospravedlnitelný</b> . |
| webový server      | Počítače provozující tento typ serveru jsou druhým nejhroženějším druhem z vyjmenovaných. To proto, že se na nich <b>provozují často nepříliš otestované, rychle psané a málo dokumentované programy</b> , které zranitelnosti zpravidla přitahují. Možné hrozby však nedosahují takových výšin jako v případě terminálového serveru, neb <b>exploitování je ztěžováno použitým protokolem</b> – útočník nemá přímý přístup k shellu.                                                                                                                                                                                                                                                                                                                                                                                                                                                                                                                                                                                                         |
| databázový server  | Počítač provozující databázový server typicky vykonává kód <b>DBMS</b> poskytujícího uživatelům rozhraní pro práci s daty, která jsou na něm též uložena. Provoz databáze a vykonávání komplexních dotazů vyžaduje zejména mnoho rychlé hlavní paměti a dostatek procesorového výkonu, stejně tak jako i rychlou externí paměť. Databázové servery bývají zpravidla více uzavřené a proto je jejich ochrana snazší. <b>Na ústupky ve prospěch zvýšení bezpečnosti v této oblasti nebývá zpravidla prostor.</b>                                                                                                                                                                                                                                                                                                                                                                                                                                                                                                                                |
| jmenný server      | Zabezpečení počítačů provozujících jmenného servery by mělo mít co nejmenší negativní dopad na výkonost sítě, zatímco výkonost externí paměti a procesoru je celkem nepodstatná.                                                                                                                                                                                                                                                                                                                                                                                                                                                                                                                                                                                                                                                                                                                                                                                                                                                              |

Tabulka 14.1: Charakteristiky jednotlivých nasazení

Tabulka 14.2: Doporučení volby pro jednotlivé volby v závislosti na zabezpečeném prostředí

| Volba                                       | Nasazení         |                    |               |                   |               | Komentář                                                                                                                                                                                                                                                                                                                                                                                                                                                                                                                                                                                                                                       |
|---------------------------------------------|------------------|--------------------|---------------|-------------------|---------------|------------------------------------------------------------------------------------------------------------------------------------------------------------------------------------------------------------------------------------------------------------------------------------------------------------------------------------------------------------------------------------------------------------------------------------------------------------------------------------------------------------------------------------------------------------------------------------------------------------------------------------------------|
|                                             | souborový server | terminálový server | webový server | databázový server | jmenný server |                                                                                                                                                                                                                                                                                                                                                                                                                                                                                                                                                                                                                                                |
| GRKERNSEC<br>CONFIG<br>PRIORITY PERF        | ✓                | ✓                  | ✓             | ✓                 | ✓             | Volba představuje zkratku pro volbu celé množiny voleb patche <a href="#">Grsec/PaX</a> naráz. Tato množina voleb je sestavena samotnými tvůrci patche a je optimalizována pro zvýšení bezpečnosti v oblastech, které nevyžadují významné ústupky z výkonnosti systému. Měření neprokázala významný úbytek výkonnosti. Proto není důvod volbu nezapnout.                                                                                                                                                                                                                                                                                       |
| GRKERNSEC<br>CONFIG<br>PRIORITY<br>SECURITY | ✗                | ✗                  | ✗             | ✗                 | ✗             | Volba představuje zkratku pro volbu celé množiny voleb patche <a href="#">Grsec/PaX</a> naráz. Tato množina voleb je sestavena samotnými tvůrci patche a je optimalizována pro nekompromisní zvýšení bezpečnosti. Dopad na výkonnost zabezpečeného systému tomu odpovídá. Aktivace této volby je na místě, je-li výkonnost zabezpečeného systému dostatečně naddimenzována potřebám. Vzhledem k tomu, že volba GRKERNSEC_CONFIG_PRIORITY_SECURITY automaticky zapíná volby PAX_MEMORY_UDEREF a PAX_MEMORY_SANITIZE, které v testech prokázaly největší dopad na výkonnost systému ze všech, tak obecně zapnutí této volby nelze doporučit.     |
| PAX NOEXEC                                  | ✓                | ✓                  | ✓             | ✓                 | ✓             | Volba vynutí podporu pro nespustitelné stránky v jádře. Standardně je k ní hardware již uzpůsoben, nicméně jádro nespustitelné stránky využívá jen nedůsledně (viz kapitola <a href="#">9.2.1.1</a> ). Důsledná ochrana proti spouštění obsahu nespustitelné paměti je jedním ze základních zabezpečení, neboť hrozeb zneužívajících tuto zranitelnost je přehršel. Drobný výkonnostní úbytek je v takovém případě nepodstatný. Více v kapitole <a href="#">9.2.1.1</a> . Zpomalení zjištěné testem v kapitole <a href="#">13.7.3</a> měřícím rychlost přepínání kontextu procesů zdaleka významné natolik, aby to vedlo k nedoporučení volby. |
| PAX PAGEEXEC <sup>1</sup>                   | ✓                | ✓                  | ✓             | ✓                 | ✓             | Volba PAGEEXEC byla testována jen pro zjištění, jak moc velký dopad na výkonnost má emulace <a href="#">NX bitu</a> na 32 bitovém systému. Více v kapitole <a href="#">9.2.2.1</a> . Nebyl zjištěn téměř žádný rozdíl oproti volbě NOEXEC. Výkonnostní dopad na systém ve všech měřených disciplínách je opět velmi malý a jediné výraznější zpomalení bylo zaznamenáno testem <a href="#">13.7.3</a> měřícím rychlost přepínání kontextu procesů.                                                                                                                                                                                             |

↓

Pokračování tabulky na další straně.

<sup>1</sup>Tuto volbu lze uplatnit pouze v 32 bitovém režimu.

| Pokračování tabulky z předchozí strany. |                  |                    |               |                   |               | ↑                                                                                                                                                                                                                                                                                                                                                                                                                                                                                              |
|-----------------------------------------|------------------|--------------------|---------------|-------------------|---------------|------------------------------------------------------------------------------------------------------------------------------------------------------------------------------------------------------------------------------------------------------------------------------------------------------------------------------------------------------------------------------------------------------------------------------------------------------------------------------------------------|
| Volba                                   | Nasazení         |                    |               |                   |               | Komentář                                                                                                                                                                                                                                                                                                                                                                                                                                                                                       |
|                                         | souborový server | terminálový server | webový server | databázový server | jmenný server |                                                                                                                                                                                                                                                                                                                                                                                                                                                                                                |
| PAX SEGMEEXEC <sup>3</sup>              | ✓                | ✓                  | ✓             | ✓                 | ✓             | Volba SEGMEEXEC byla testována jen pro zjištění, jak moc velký dopad na výkonost má emulace <b>NX bitu</b> na 32 bitovém systému. Více v kapitole 9.2.2.2. V měření si počínala stejně jako PAX_PAGEEXEC.                                                                                                                                                                                                                                                                                      |
| PAX RANDKSTACK                          | ✓                | ✓                  | ✓             | ✓                 | ✓             | Výkonostní dopad znáhodňování polohy počátku <b>kerneldspace-stack</b> při vytváření jemu odpovídajícího procesu/vlákná byl shledán nepatrným. Více v kapitole 9.1.8.                                                                                                                                                                                                                                                                                                                          |
| PAX RANDUSTACK                          | ✓                | ✓                  | ✓             | ✓                 | ✓             | Výkonostní dopad znáhodňování polohy počátku <b>userspace-stack</b> při vytváření jemu odpovídajícího procesu/vlákná byl shledán nepatrným. Více v kapitole 9.1.7.                                                                                                                                                                                                                                                                                                                             |
| PAX RANDMMAP                            | ✓                | ✓                  | ✓             | ✓                 | ✓             | Znáhodňování umístění počátku – <b>RANDMMAP</b> –, dle kterého jsou mapovány úseky do paměti voláním <code>mmap()</code> nemá na výkonost systému negativní dopad. Více v kapitole 9.1.5.                                                                                                                                                                                                                                                                                                      |
| GRKERNSEC NO RBAC                       | ✗                | ✗                  | ✗             | ✗                 | ✗             | Sama o sobě tato volba nemá vliv na bezpečnost. Pouze odebírá ze systému možnost definovat <b>MAC</b> přístupová práva. Ty lze využít například při specifikaci co přesně konkrétní <b>subjekt</b> – program – může a co již nikoliv. Přítomnost/nepřítomnost podpory <b>Grsecurity ACL</b> nemá vliv na výkonost a proto je vypnutí dané volby na místě. Více v kapitole 6.1.                                                                                                                 |
| GRKERNSEC BLACKHOLE                     | ✓                | ✓                  | ✓             | ✓                 | ✓             | Aktivace této volby způsobí, že systém nebude odpovídat na komunikaci přicházející na porty, na nichž žádný proces nenaslouchá, čímž omezí přísun informací potencionálním útočníkům na systém. Dopad na výkonost nulový. Dopad na bezpečnost značný. Zapnout. Více v kapitole 9.19.                                                                                                                                                                                                           |
| GRKERNSEC NO SIMULT CONNECT             | ✓                | ✓                  | ✓             | ✓                 | ✓             | Volba, která jde přímo proti části TCP [ <b>RFC793</b> ] tím, že ze síťového zásobníku vypouští podporu pro souběžné spojení. Má velmi mírný vliv na výkonost. Zranitelnost, kterou představuje souběžné spojení je natolik závažná, že zapnutí je na místě. Více v kapitole 9.19. Testy neprokázaly podstatné zpomalení systému dané touto volbou. V testu uvedeném v kapitole 13.6.1 aktivace této volby naopak znamenala podstatné snížení času potřebného pro navázání <b>TCP</b> spojení. |

↓

Pokračování tabulky na další straně.

<sup>3</sup>Tuto volbu lze uplatnit pouze v 32 bitovém režimu.

| Pokračování tabulky z předchozí strany. ↑ |                  |                    |               |                   |               |                                                                                                                                                                                                                                                                                                                                                                                                                                                                                                                                                                                                                                                                                                                                                 |
|-------------------------------------------|------------------|--------------------|---------------|-------------------|---------------|-------------------------------------------------------------------------------------------------------------------------------------------------------------------------------------------------------------------------------------------------------------------------------------------------------------------------------------------------------------------------------------------------------------------------------------------------------------------------------------------------------------------------------------------------------------------------------------------------------------------------------------------------------------------------------------------------------------------------------------------------|
| Volba                                     | Nasazení         |                    |               |                   |               | Komentář                                                                                                                                                                                                                                                                                                                                                                                                                                                                                                                                                                                                                                                                                                                                        |
|                                           | souborový server | terminálový server | webový server | databázový server | jmenný server |                                                                                                                                                                                                                                                                                                                                                                                                                                                                                                                                                                                                                                                                                                                                                 |
| GRKERNSEC<br>SOCKET ALL                   | ✓                | ✓                  | ✓             | ✓                 | ✓             | Nemá vliv na výkon. Na bezpečnost přímo sice taky ne, avšak možnost deaktivovat přístup programu k síti pouhým jeho přiřazením do skupiny se může hodit. Více v kapitole 9.19.                                                                                                                                                                                                                                                                                                                                                                                                                                                                                                                                                                  |
| GRKERNSEC<br>DMESG                        | ✓                | ✓                  | ✓             | ✓                 | ✓             | Nezpůsobuje žádný výkonnostní pokles. Znedostupnění většiny logu <b>jádra</b> pro neprivilegované uživatele ztíží potenciálnímu útočníkovi získávání informací o napadaném systému. Zapnutí této volby lze jedině doporučit. Více v kapitole 9.20. Podobnou funkcionalitu poskytuje i systémová proměnná <code>kernel.dmesg_restrict</code> zavedená roku 2010 do jádra (od verze jádra 2.6.37) [Ros10]. Tato volba znepřístupní <code>/dev/kmsg</code> neprivilegovaným uživatelům celý za základě požadavku na <a href="#">capabilitu</a> <code>CAP_SYS_ADMIN</code> .                                                                                                                                                                        |
| PAX MEMORY<br>SANITIZE                    | ✗                | ✓                  | ✓             | ✗                 | ✓             | Volba zajistí fyzické mazání paměťových stránek v okamžiku jejich uvolnění. Vzhledem k velkému dopadu na výkonnost diskových operací (viz kapitola 13.8.4) a náročnosti útoku, který vyžaduje přidělení jedné konkrétní paměťové stránky, jejíž obsah je pro útočníka zajímavý, je zapnutí této volby velmi na zvážení. Laciněji podobného výsledku dosáhne provoz aplikací, které kritický obsah v paměti fyzicky přepisují před jeho dealokací samy či se paměťových stránek zbavují jen velmi zřídka. Pro vysoký výkonnostní úbytek diskových operací není tuto volbu doporučeno zapínat plošně. Více v kapitole 9.13. Volba se negativně projevila na propustnosti hlavní paměti (test 13.4.1) i propustnosti externí paměti (test 13.8.4). |
| PAX MEMORY<br>STACKLEAK                   | ✗                | ✓                  | ✓             | ✗                 | ✗             | Volba maže obsah <code>kernel-space-stack</code> aby tak zabránila úniku informací z něj do <code>User Space</code> (viz kapitola 8.6). Volba má výrazně negativní dopad při častých systémových voláních, neboť návrat z každého systémového volání významně zpomaluje. Více v kapitole 9.14. V testech se volba <code>PAX_MEMORY_STACKLEAK</code> projevila, a to významně: <ul style="list-style-type: none"> <li>• zhoršuje odezvu síťové komunikace (testy 13.5.3, 13.6.3),</li> <li>• má negativní vliv na zápis do paměti (test 13.6.6),</li> <li>• zpomaluje obsluhu systémových volání (test 13.7.1 a 13.7.5),</li> <li>• a v ojedinělých případech zpomaluje i diskové operace (test 13.7.6).</li> </ul>                              |

↓

Pokračování tabulky na další straně.



Pokračování tabulky z předchozí strany. ↑

| Volba                 | Nasazení         |                    |               |                   |               | Komentář                                                                                                                                                                                                                                                                                                                                                                                                                                                                                                                                                                                                                                                                                                                                                                                                                                                                                                                                                                                                                                                                                                                                                            |
|-----------------------|------------------|--------------------|---------------|-------------------|---------------|---------------------------------------------------------------------------------------------------------------------------------------------------------------------------------------------------------------------------------------------------------------------------------------------------------------------------------------------------------------------------------------------------------------------------------------------------------------------------------------------------------------------------------------------------------------------------------------------------------------------------------------------------------------------------------------------------------------------------------------------------------------------------------------------------------------------------------------------------------------------------------------------------------------------------------------------------------------------------------------------------------------------------------------------------------------------------------------------------------------------------------------------------------------------|
|                       | souborový server | terminálový server | webový server | databázový server | jmenný server |                                                                                                                                                                                                                                                                                                                                                                                                                                                                                                                                                                                                                                                                                                                                                                                                                                                                                                                                                                                                                                                                                                                                                                     |
| PAX MEMORY STRUCTLEAK | ✓                | ✓                  | ✓             | ✓                 | ✓             | Preventivní inicializace lokálních proměnných jádra vynucená volbou PAX_MEMORY_STRUCTLEAK způsobuje zanedbatelný výkonostní propad. Proto je lze doporučit k aktivaci. Volba chrání proti zranitelnosti CVE-2013-2141. Více v kapitole 9.15.                                                                                                                                                                                                                                                                                                                                                                                                                                                                                                                                                                                                                                                                                                                                                                                                                                                                                                                        |
| PAX MEMORY UDEREF     | ✗                | ✓                  | ✗             | ✗                 | ✗             | Volba má dopad na přesuny dat mezi <a href="#">Kernel Space</a> a <a href="#">User Space</a> . Její aktivace chrání systém před útoky <a href="#">ret2usr</a> popsanými v kapitole 8.9.2. Nicméně, jak je již zmíněno v kapitole 8.9.2.1, ochrana aktivovaná touto volbou nezabrání vylepšené verzi útoků – <a href="#">Return to direct mapped memory</a> . Více v kapitole 9.5.2. Výkonostní pokles způsobený touto volbou je velmi výrazný napříč všemi testovanými oblastmi: <ul style="list-style-type: none"> <li>• <b>propustnost hlavní paměti</b><br/>testy 13.4.1, 13.5.1 a 13.6.6</li> <li>• <b>zpoždění paketů síťové komunikace</b><br/>testy 13.6.3, 13.5.3 a 13.5.4</li> <li>• <b>propustnosti externí paměti</b><br/>test 13.6.4</li> <li>• <b>rychlosti obsluhy systémových volání</b><br/>testy 13.7.1 až 13.7.6</li> </ul> Závěr je zřejmě zřejmý: Volba PAX_MEMORY_UDEREF je tím méně vhodná, čím více aplikace interaguje se svým okolím. Pokud aplikaci k životu stačí čistá práce v podobě numerických výpočtů ve svém vlastním <a href="#">User Space</a> s minimem interakce s okolím, tak by případně aktivaci této volby šlo akceptovat. |
| PAX RAP               | ✓                | ✓                  | ✓             | ✓                 | ✓             | Útok <a href="#">ROP</a> (viz kapitola 8.8) je vylepšením „shellcode injection“, proti němuž je systém bráněn volbou <a href="#">NOEXEC</a> . <a href="#">ROP</a> představuje natolik závažnou hrozbu, že úbytek výkonosti zapříčiněný zapnutím <a href="#">RAP</a> se jednoznačně vyplatí obětovat.                                                                                                                                                                                                                                                                                                                                                                                                                                                                                                                                                                                                                                                                                                                                                                                                                                                                |

Konec tabulky.

### 14.3 Posun systému v klasifikaci TCSEC způsobený patchem Grsec/PaX

V kapitole 2 na samém začátku tohoto dokumentu byl čtenář seznámen s existencí kritérií pro hodnocení bezpečnosti a s ním spjatým dokumentem TCSEC. Ten definoval třídy IS (od nejméně bezpečných): D, C1, C2, B1, B2, B3 a A1. [GNU Linux](#) bez dodatečných úprav spadá do kategorie C1 (viz kapitola 2.2.1.2). Lze se aplikací voleb [Grsec](#) dobrat posunu [GNU Linux](#) v hodnocení definovaném TCSEC?

Třída C2 požaduje po IS

vše, co požadovala třída C1,

[GNU Linux](#) splňuje – viz [Pat].

jemněji konfigurovatelné nepovinné řízení přístupu (DAC),

[GNU Linux](#) splňuje – viz kapitola 5.3.2.

rušení obsahu systémových prostředků při jejich znovupoužití,

[GNU Linux](#) bez dodatečných úprav nespňuje. S patchem [Grsec](#) s aktivovanou volbou PAX\_MEMORY\_SANITIZE však ano.

**jednoznačnou identifikaci a autorizaci každého jednotlivého uživatele a**

GNU Linux splňuje – viz kapitola 3.1.

**logování z hlediska bezpečnosti významných událostí.**

GNU Linux bez dodatečných úprav nespĺňuje. S patchem Grsec s aktivovanými volbami GRKERNSEC\_EXECLOG, GRKERNSEC\_RESLOG, GRKERNSEC\_SIGNAL však ano.

Grsecurity je schopno povýšit GNU Linux na úroveň C2 v klasifikaci TCSEC. Je možno pomýšlet také na klasifikaci B1?

Třída B1 předpokládá

**splnění požadavků třídy C2,**

GNU Linux bez dodatečných úprav nespĺňuje. S patchem Grsec s příslušnými volbami však ano – viz výše.

**klasifikaci subjektů a objektů podle stupně jejich ochrany,**

GNU Linux splňuje – viz kapitola 5.3.2.

**povinné řízení přístupu (MAC) a**

GNU Linux bez dodatečných úprav nespĺňuje. S patchem Grsec s příslušnými volbami však ano – viz kapitola 9.18.

**existenci neformální definice bezpečnostní politiky.**

GNU Linux bez dodatečných úprav splňuje, neboť poskytuje definici formální

Grsecurity je schopno povýšit GNU Linux na úroveň B1 v klasifikaci TCSEC. Je možno pomýšlet také na klasifikaci B2?

Třída B2 předpokládá

**splnění požadavků třídy B1,**

GNU Linux bez dodatečných úprav nespĺňuje. S patchem Grsec s příslušnými volbami však ano – viz výše.

**formální definici modelu bezpečnostní politiky IS,**

Formální definice modelu bezpečnostní politiky Grsec existuje. Je jí dokument Grsecurity ACL documentation [Spe03]. Formální definice modelu bezpečnostní politiky linuxu je umístěna v archivu, v němž je distribuováno jádro samotné v adresáři Documentation.

**MAC nad všemi subjekty a objekty v systému a**

GNU Linux bez dodatečných úprav nespĺňuje. S patchem Grsec s příslušnými volbami však ano – viz kapitola 9.18.

**dekompozici IS do modulů.**

GNU Linux splňuje – viz např. kapitoly 4.3 či 5.1.1.

Grsecurity je schopno povýšit GNU Linux na úroveň B2 v klasifikaci TCSEC. Je možno pomýšlet také na klasifikaci B3 ?

Třída B3 předpokládá

**splnění požadavků třídy B2,**

GNU Linux bez dodatečných úprav nespĺňuje. S patchem Grsec s příslušnými volbami však ano – viz výše.

**přenechává jakékoliv autorizace referenčním monitorům,**

GNU Linux bez dodatečných úprav nespĺňuje. S patchem Grsec také ne. Referenční monitor zprostředkováváající autorizaci všech přístupů subjektů k objektům ani aplikace patche Grsec nezavádí.

**definuje roli bezpečnostního správce.**

GNU Linux bez dodatečných úprav nespĺňuje. S patchem Grsec také ne. Role administrátora zabezpečení GNU Linux, byť obohacený patchem Grsec, nezná.

Aplikací patche Grsecurity lze povýšit GNU Linux z úrovně C1<sup>5</sup> na úroveň B2 dle klasifikace TCSEC. Na vyšší ohodnocení patch Grsec nestačí z důvodu absence institutu referenčních monitorů a role bezpečnostního správce v systému.

<sup>5</sup>Úroveň C1 dle TCSEC GNU Linux dosahuje bez dalších úprav [Pat].

## 15. Závěr

Aby bylo možno na závěr určit míru dosaženého [Zvýšení bezpečnosti Linuxu](#), bylo zapotřebí nejprve čtenáře seznámit s obecně uznávanou klasifikací bezpečnosti informačních systémů [TCSEC](#) (viz kapitola 2). [GNU Linux](#) bez dodatečných úprav tato klasifikace bezpečnosti zařazuje do třídy C1<sup>1</sup>. Dále byly rozebrány mechanismy správy paměti. Příčinou toho bylo očekávání, že stěžejní bezpečnostní vylepšení se odehrají právě na tomto poli. Toto očekávání se beze zbytku naplnilo. Machinace s pamětí, jsou podstatou existence většiny hrozeb<sup>2</sup>. Proto se vylepšení zabezpečení práce s pamětí týká i většina bezpečnostních technik v tomto dokumentu uvedených. Dále byla zmíněna existence v [GNU Linux](#) dnes již standardně přítomných bezpečnostních mechanismů (viz kapitola 5).

K docílení pozorovatelného [Zvýšení bezpečnosti Linuxu](#) bylo zapotřebí vybrat řešení, na kterém bude toto zvýšení postaveno. Do užšího výběru se dostala trojice [SELinux](#), [AppArmor](#) a [Grsecurity](#) (viz kapitola 7). Byly analyzovány možnosti, které tato řešení nabízí. Z jejich následného srovnání bylo vybráno řešení pro [Zvýšení bezpečnosti Linuxu](#) nejvhodnější – [Grsecurity](#). To své konkurenty překonalo především rozsahem své působnosti. Neomezuje se totiž zdaleka jen na řízení přístupu k [objektům](#) ležícím na [FS](#), nýbrž vnáší do [Linuxu](#) celou řadu úprav týkajících se všemožných oblastí, ve kterých se jádro angažuje počínaje modifikací implementace síťového zásobníku (viz kapitola 9.19) přes pečlivější izolaci [chroot prostředí](#) (viz kapitola 9.17) až po rozsáhlé zásahy bezpečnostních technik do mechanismů správy paměti.

Aby nebylo [Zvýšení bezpečnosti Linuxu](#) čtenáři vnucováno jen tak, bez příčiny, věnoval se autor i [hrozbám](#), které jsou důsledkem [zranitelnosti](#), které mohou být nejen v jádře, ale také, a to zejména, v uživatelských programech. Vzhledem k tomu, že [jádro](#) je jediným procesem běžícím v systému s úrovní oprávnění [CPL](#) vyšším nežli 3, je [jádro](#) jediným procesem, který má oprávnění vykonávat dohled nad ostatními procesy a proto za jejich nekalé chování svým způsobem nese zodpovědnost. Jádro představuje arbitra, který v systému ručí za dodržování pravidel hry. Od jádra se očekává, že bude za všech okolností vymáhat dodržování správcem systému definovaných přístupových oprávnění. Bezpečnostní techniky aplikované na jádře se proto často netýkají odstranění zranitelnosti v jádře, nýbrž prevence zneužití zranitelnosti v uživatelských programech. Cílem aplikace těchto bezpečnostních technik je dosažení stavu, kdy provoz zranitelnými nabitými programů nebude pro systém jako takový znamenat [hrozbu](#). Jádro ve své výchozí podobě je však v boji proti hrozbám všeho druhu buďto zcela vůbec či spíše jen nedostatečně vybaveno.

Toto se snaží napravit záplata [Grsec](#) obohacením jádra o různé bezpečnostní mechanismy. Jejich popisu byla věnována samostatná kapitola 9. Dopad na úroveň zabezpečení [Linuxu](#) byl tímto čtenáři odhalen. Nepřekvapivě se [Grsec](#) ukázal být přínosem ve všech disciplínách, kterým se věnuje. V mnohých z nich však [vanilla Linux](#) není za [Grsec](#) tak pozadu, jak by se mohlo zdát (viz kapitola 10). [Grsecurity](#) vynucuje povinnou kontrolu [NX bitu](#) při každém instrukčním přístupu do jakéhokoliv [mapování](#) ve [VAS](#) procesu. Na architektuře [x86-32](#), která [NX bit](#) nezná, jej [Grsec](#) emuluje, aby ochranu před útoky typu „shellcode injection“ dostala i na ni. Neupravený [Linux](#) při použití [NX bitu](#) vynucuje jen pro vybraná [mapování](#) (více viz 10), což zabrání některým útokům, nicméně rozhodně ne všem. [Grsec](#) přináší kompletní ochranu před útoky [ret2usr](#) pro všechny verze [Linuxu](#) v podobě bezpečnostních technik [KERNEXEC](#) a [UDEREF](#). Systém provozující [vanilla Linux](#) je před tímto útokem chráněn také, avšak ne vždy<sup>3</sup>. Obecně lze říci, že [Grsec](#) přináší zpravidla maximální v dané době dostupné zabezpečení za všech okolností. [Linux](#) nějakou formou tohoto zabezpečení disponuje také. Nebývá však tak propracovaná, přichází později a zpravidla jen do nejnovější verze jádra. [Vanilla Linux](#) proto nelze nazvat obecně nezabezpečeným, snad jen „vůči [Grsec](#) opožděným“.

Pro vyslovení závěrečného doporučení bylo zapotřebí kromě dopadu na úroveň zabezpečení zjistit též dopad [Grsecu](#) na výkonnost jím zabezpečovaného systému. Byla proto vytvořena množina funkcí tvořících společně prostředí pro automatizované získávání hodnot, jejich následné postupné zpracování a export do formací nakonec importovaných do tohoto dokumentu. Těmto funkcím se detailněji věnuje kapitola 12. Tyto funkce byly následně provozovány v měřícím/měřeném prostředí, jehož příprava spočívala především v kompilaci různých variant téže verze<sup>4</sup> [jádra](#). Každé jádro mělo aktivováno jednu vybranou volbu, aby mohl být změřen výhradně její dopad na výkonnost systému.

Nesnáze vyvstaly během tvorby dokumentu v podobě nekompatibility většiny z již zkompileovaných jader s virtualizačním prostředím [Xen](#)<sup>5</sup> či v podobě nutnosti rekompilace a přeměření<sup>6</sup> některých z jader až ve fázi psaní hodnocení

<sup>1</sup>Třída C1 představuje „druhé nejhorší ohodnocení“ v rámci klasifikace [TCSEC](#). Systémy, kterým je přiděleno, povinně používají volitelnou ochranu – [DAC](#) – i autentizaci všech [subjektů](#). Více viz kapitola 2.2.1.2.

<sup>2</sup>Jsou jimi např. [shellcode injection](#), [return-to-lib](#), [Return to userspace](#) či [RAP](#).

<sup>3</sup>Ochrana před útokem [ret2usr](#) je podmíněna použitím [Linuxu](#) alespoň ve verzi 3.7 a použitím procesoru Intel Haswell či novějším.

<sup>4</sup>Pro měření bylo zvoleno jádro verze 4.8.16. Původním záměrem bylo vzít distribuční jádro Debianu 9 – [Linux](#) 3.16, avšak to kladlo aplikaci patche [Grsec](#) zvýšený odpor.

měření byly zdárně překonány.

Měření probíhala automatizovaně do té míry, že pro každou jednu konfiguraci měřícího/meřeného prostředí – jádro s aktivovanou volbou – byla spuštěna testovací funkce, která pak běžela autonomně do té doby, dokud nedoběhl poslední test, který měla vykonat. Měřeními byl prokázán negativní vliv **Grsec** na výkonnost systému, avšak zdaleka ne takový, jaký autor očekával. Na počátku studia patche **Grsec/PaX** autor nabyl dojmu<sup>7</sup>, že stěžejní úlohou **Grsec** je úplné zprovoznění **NX bitu** na architektuře **x86-64** a jeho emulace na architektuře **x86-32**. Očekával, že výkonnostní propad se dostaví zejména v případech bezpečnostních technik emulujících **NX bit**. Testy však ukázaly, že jeho předpoklad byl chybný a aktuálně výkonností hýbou jiné bezpečnostní techniky. Měřeními bylo zjištěno (viz kapitola 14.1), že největší redukcí výkonnosti v rámci **Grsec** způsobují volby **PAX\_MEMORY\_UDEREF**, **PAX\_MEMORY\_STACKLEAK** a **PAX\_MEMORY\_SANITIZE**. Každá z nich poskytuje pokročilou techniku ochrany před zneužitím určité zranitelnosti. Dvě z těchto se věnují zabezpečení jádra a třetí likvidaci obsahu paměti po jejím použití. V kapitole 8.9 zmíněný trend stoupajícího podílu útoků směřujících na jádro na úkor uživatelských procesů koresponduje s výpočetní náročností ochranných mechanismů proti těmto útokům.

Dopad zvoleného řešení – **Grsec** – na úroveň zabezpečení **Linuxu** (a potažmo tak i **GNU/Linuxu**) vně i v prostředí **CIV ZČU** je pozitivní. Aplikací **Grsecurity** lze eliminovat drtivou většinu hrozeb v tomto dokumentu zmiňovaných. **GNU Linux** může být povýšen **Grsecurity** z úrovně C1 až na úroveň B2 dle klasifikace **TCSEC** (viz předchozí kapitola). Cenou za aplikaci bezpečnostních technik z **Grsecurity** je, s výjimkou několika málo z nich, jen nepatrný pokles výkonnosti systému. Doporučení autora uvedená v kapitole 14.2 jsou proto celkem jednoznačná. Autor doporučuje aktivaci většiny nadstandardních bezpečnostních technik ve většině nasazeních. Vzhledem k obecné rozšířenosti technik útoků, jakými jsou např. shellcode injection či **return-to-lib**, je namístě považovat důsledně vynucení nespustitelnosti mapování přítomných v userspace a znáhodňování počátků mapování již za standardní bezpečnostní techniky. Provozovatel systému, který dbá na jeho zabezpečení, by se proto měl porozhlédnout minimálně po bezpečnostních technikách **PAX\_NOEXEC** a **PAX\_ASLR** či jejich alternativách z řad konkurence. Jejich dopad na výkon je dnes již zanedbatelný a přírůstek zabezpečení značný, soudí autor. Existuje další nespočet voleb v rámci patche **Grsec/PaX**, jejichž aktivace znamená pro systém mnohem větší přínos<sup>8</sup> nežli jakou přináší systému ztrátu<sup>9</sup> – z testovaných lze jmenovat například volby **NO\_SIMULT\_CONNECT** či **BLACKHOLE**. Za zmínku stojí, že tyto nepůsobí preventivně jako většina ostatních zde zmiňovaných, nýbrž v zájmu bezpečnosti naprosto cíleně pokrývají síťový zásobník předpisům navzdory.

Významný výkonnostní dopad byl zjištěn v podstatě jen u voleb **PAX\_MEMORY\_SANITIZE**, **PAX\_MEMORY\_STACKLEAK** a zejména pak u volby **PAX\_MEMORY\_UDEREF**. Tyto volby díky své vyšší náročnosti prozatím zůstávají v pásmu nadstandardních bezpečnostních technik. Vyšší náročnost je dána především jejich charakterem – působí totiž čistě preventivně. Jejich zapnutí ponechává autor na zvážení provozovatele systému. Obecně však lze jejich zapnutí doporučit na počítačích provozujících terminálové, případně pak i webové servery, neb právě takové počítače jsou nejvíce ohroženy. Jsou na nich totiž provozovány často neověřené, rychle psané programy, které, jak již bylo řečeno, obsahují zranitelnosti.

V době zahájení prací na tomto dokumentu bylo **Grsec** dostupné zdarma ve stabilní verzi. Tento stav se, bohužel, změnil (viz kapitola 6.6.1). Pro **CIV ZČU** byla ke dni 17. 5. 2017 poskytnuta nabídka – licence **Grsec** pro 100 počítačů<sup>10</sup> v přepočtu za 119040 Kč/rok. Zpoplatnění **Grsecu** není zrovna radostnou zprávou, avšak nikoliv také katastrofou. Dobrovolné vyklizení pozic ze strany **Grsecurity** totiž pravděpodobně povede k zvýšené poptávce po integraci nových bezpečnostních technik směřované přímo k vývojářům jádra. Pro úroveň zabezpečení jádra to nakonec může vyznít i pozitivně v tom smyslu, že bezpečnostní techniky se tak do něj nakonec dostanou rychleji a ve větším množství.

Doporučení podaná čtenáři ohledně jednotlivých voleb v kapitole 14.2 pochopitelně vedou ke zvýšení zabezpečení systému. Avšak tak, jako i bezpečnostní řešení, tak i schopnosti osob bez pověření – útočníků – postupují neustále kupředu a nelze proto s jistotou tvrdit, že systém se po nasazení něčeho stane bezpečným. Nestane. Pouze se stane relativně bezpečnějším vzhledem k systémům běžně provozovaným v kontextu jeho doby.

<sup>5</sup> Testovací prostředí bylo původně částečně provozováno virtualizovaně. Konkrétně počítač **xenmv** byl virtualizován. Bylo tomu tak z důvodu snadnější nápravy případného selhání při výměně jader, která během měření probíhala takřka neustále. Avšak autorovi se nepodařilo **Grsecurity** přesvědčit k fungování v takovém prostředí a jádra jím obohacená odmítala bootovat. Finální podoba testovacího prostředí, kdy je **xenmv** fyzickým strojem je tak pouze náhradním, avšak funkčním, řešením.

<sup>6</sup> K rekompilaci a přeměření vedly smysl nedávající výsledky některých měření. Více viz kapitola 11.2.

<sup>7</sup> Značný podíl zdrojů, týkajících se **Grsec/PaX**, které autor našel, se věnoval právě **NX bitu** a jeho emulaci. Zřejmě kvůli všeobecné známosti této problematiky.

<sup>8</sup> Přínos volby bývá zpravidla jen v oblasti zabezpečení, nicméně najdou se i takové volby, které mají pozitivní dopad také na výkonnost systému – kupříkladu volba **BLACKHOLE**, což dokazují testy 13.6.1 či 13.7.1.

<sup>9</sup> Ztráta volbou zapříčiněná je cenou za její přínos a týká se zpravidla výkonnosti systému. Výjimkou mohou být ztráty ve funkčnosti systému. Například volba **NOEXEC** znemožňuje provoz programu Matlab, neboť ten pro svůj chod vyžaduje spouštění jím generovaného strojového kódu, který si ukládá na zásobník, jehož obsah je však při aktivaci volby **NOEXEC** striktně nespustitelný.

<sup>10</sup> Tato nabídka je podmíněna provozem výhradně nekomerčního/vzdělávacího software na zabezpečovaných počítačích.

# A. Seznamy

## A.1 Obrázky

|       |                                                                            |     |
|-------|----------------------------------------------------------------------------|-----|
| 4.1   | Přepnutí kontextu                                                          | 24  |
| 5.1   | Proces výběru oprávnění pro přístup k souboru                              | 40  |
| 6.1   | Schéma znázorňující zapojení LSM do procesu AC k souboru FS                | 49  |
| 8.1   | Navázání spojení prostřednictvím TCP Simultaneous Connect                  | 64  |
| 11.1  | Vizualizace měřicího/měřeného prostředí                                    | 97  |
| 12.1  | Stav FS umístěného na přiloženém CD z pohledu jeho kořenového adresáře     | 103 |
| 12.2  | Základní blok pipeline získávající hodnotu                                 | 106 |
| 12.3  | Stav FS z pohledu adresáře, do něhož jsou ukládány hodnoty získané měřením | 112 |
| 12.4  | Stav FS z pohledu adresáře, do něhož jsou ukládány hodnoty získané měřením | 112 |
| 13.1  | Absolutní srovnání konfigurací                                             | 116 |
| 13.2  | Relativní srovnání konfigurací vůči referenční konfiguraci original        | 117 |
| 13.3  | Absolutní srovnání konfigurací                                             | 119 |
| 13.4  | Relativní srovnání konfigurací vůči referenční konfiguraci original        | 120 |
| 13.5  | Absolutní srovnání konfigurací                                             | 138 |
| 13.6  | Relativní srovnání konfigurací vůči referenční konfiguraci original        | 139 |
| 13.7  | Absolutní srovnání konfigurací                                             | 141 |
| 13.8  | Relativní srovnání konfigurací vůči referenční konfiguraci original        | 142 |
| 13.9  | Absolutní srovnání konfigurací                                             | 143 |
| 13.10 | Relativní srovnání konfigurací vůči referenční konfiguraci original        | 144 |
| 13.11 | Absolutní srovnání konfigurací                                             | 146 |
| 13.12 | Relativní srovnání konfigurací vůči referenční konfiguraci original        | 147 |
| 13.13 | Relativní srovnání konfigurací vůči referenční konfiguraci original        | 156 |
| 13.14 | Absolutní srovnání konfigurací                                             | 157 |
| 13.15 | Relativní srovnání konfigurací vůči referenční konfiguraci original        | 158 |
| 13.16 | Absolutní srovnání konfigurací                                             | 160 |
| 13.17 | Relativní srovnání konfigurací vůči referenční konfiguraci original        | 161 |
| 13.18 | Absolutní srovnání konfigurací                                             | 163 |
| 13.19 | Relativní srovnání konfigurací vůči referenční konfiguraci original        | 164 |
| 13.20 | Absolutní srovnání konfigurací                                             | 165 |
| 13.21 | Relativní srovnání konfigurací vůči referenční konfiguraci original        | 166 |
| 13.22 | Absolutní srovnání konfigurací                                             | 168 |
| 13.23 | Relativní srovnání konfigurací vůči referenční konfiguraci original        | 169 |
| 13.24 | Absolutní srovnání konfigurací                                             | 170 |
| 13.25 | Relativní srovnání konfigurací vůči referenční konfiguraci original        | 171 |
| 13.26 | Absolutní srovnání konfigurací                                             | 173 |
| 13.27 | Relativní srovnání konfigurací vůči referenční konfiguraci original        | 174 |
| 13.28 | Absolutní srovnání konfigurací                                             | 175 |
| 13.29 | Relativní srovnání konfigurací vůči referenční konfiguraci original        | 176 |
| 13.30 | Absolutní srovnání konfigurací                                             | 178 |
| 13.31 | Relativní srovnání konfigurací vůči referenční konfiguraci original        | 179 |
| 13.32 | Absolutní srovnání konfigurací                                             | 181 |
| 13.33 | Relativní srovnání konfigurací vůči referenční konfiguraci original        | 182 |
| 13.34 | Absolutní srovnání konfigurací                                             | 183 |
| 13.35 | Relativní srovnání konfigurací vůči referenční konfiguraci original        | 184 |
| 14.1  | Klíč k určování testů ve srovnání                                          | 185 |
| 14.2  | Srovnání konfigurací v testu sysbench_cpu                                  | 185 |
| 14.3  | Srovnání konfigurací v testu unixbench_context1                            | 186 |

|       |                                                                                  |     |
|-------|----------------------------------------------------------------------------------|-----|
| 14.4  | Srovnání konfigurací v testu <code>unixbench_pipe</code> . . . . .               | 186 |
| 14.5  | Srovnání konfigurací v testu <code>unixbench_spawn</code> . . . . .              | 186 |
| 14.6  | Srovnání konfigurací v testu <code>unixbench_syscall</code> . . . . .            | 187 |
| 14.7  | Srovnání konfigurací v testu <code>unixbench_execl</code> . . . . .              | 187 |
| 14.8  | Srovnání konfigurací v testu <code>lmbench_bw_mem_rd</code> . . . . .            | 187 |
| 14.9  | Srovnání konfigurací v testu <code>sysbench_memory_write_seq</code> . . . . .    | 188 |
| 14.10 | Srovnání konfigurací v testu <code>lmbench_bw_mem_wr</code> . . . . .            | 188 |
| 14.11 | Srovnání konfigurací v testu <code>lmbench_bw_file_read_io_only</code> . . . . . | 188 |
| 14.12 | Srovnání konfigurací v testu <code>qperf_remote_bw_tcp</code> . . . . .          | 189 |
| 14.13 | Srovnání konfigurací v testu <code>qperf_remote_bw_udp</code> . . . . .          | 189 |
| 14.14 | Srovnání konfigurací v testu <code>qperf_local_bw_tcp</code> . . . . .           | 189 |
| 14.15 | Srovnání konfigurací v testu <code>lmbench_lat_connect_remote</code> . . . . .   | 190 |
| 14.16 | Srovnání konfigurací v testu <code>qperf_local_bw_udp</code> . . . . .           | 190 |
| 14.17 | Srovnání konfigurací v testu <code>qperf_remote_lat_udp</code> . . . . .         | 190 |
| 14.18 | Srovnání konfigurací v testu <code>qperf_remote_lat_tcp</code> . . . . .         | 191 |
| 14.19 | Srovnání konfigurací v testu <code>iperf_local_tcp</code> . . . . .              | 191 |
| 14.20 | Srovnání konfigurací v testu <code>qperf_local_lat_tcp</code> . . . . .          | 191 |
| 14.21 | Srovnání konfigurací v testu <code>ping</code> . . . . .                         | 192 |
| 14.22 | Srovnání konfigurací v testu <code>qperf_local_lat_udp</code> . . . . .          | 192 |
| 14.23 | Srovnání konfigurací v testu <code>lmbench_lat_unix_connect</code> . . . . .     | 192 |
| 14.24 | Srovnání konfigurací v testu <code>iperf_remote_tcp</code> . . . . .             | 193 |
| 14.25 | Srovnání konfigurací v testu <code>lmbench_lat_connect_local</code> . . . . .    | 193 |
| 14.26 | Srovnání konfigurací v testu <code>sysbench_fileio_rndwr_l</code> . . . . .      | 193 |
| 14.27 | Srovnání konfigurací v testu <code>sysbench_fileio_rndwr_s</code> . . . . .      | 194 |
| 14.28 | Srovnání konfigurací v testu <code>unixbench_fstime</code> . . . . .             | 194 |
| 14.29 | Srovnání konfigurací v testu <code>sysbench_fileio_rndrd_s</code> . . . . .      | 194 |
| 14.30 | Srovnání konfigurací v testu <code>sysbench_fileio_seqwr_l</code> . . . . .      | 195 |
| 14.31 | Srovnání konfigurací v testu <code>sysbench_fileio_seqrd_l</code> . . . . .      | 195 |
| 14.32 | Srovnání konfigurací v testu <code>sysbench_db_readwrite</code> . . . . .        | 195 |
| 14.33 | Srovnání konfigurací v testu <code>sysbench_db_readonly</code> . . . . .         | 196 |

## A.2 Tabulky

|      |                                                                                                                     |    |
|------|---------------------------------------------------------------------------------------------------------------------|----|
| 4.1  | Různé významy výjimky Page fault . . . . .                                                                          | 26 |
| 4.2  | Vysvětlení významu používaných zkratk . . . . .                                                                     | 30 |
| 4.3  | Komponenty obsažené v aktivačním záznamu . . . . .                                                                  | 31 |
| 5.1  | Příznaky definující přístupová práva . . . . .                                                                      | 39 |
| 6.1  | Nabídka Grsec poskytnutá CIV ZČU . . . . .                                                                          | 54 |
| 7.1  | Srovnání vybraných implementací MAC . . . . .                                                                       | 55 |
| 9.1  | Výskyt ASLR . . . . .                                                                                               | 68 |
| 9.2  | Výstup programu zachyceném v C kódu 9.1 při opakovaném spuštění . . . . .                                           | 69 |
| 9.3  | Oblasti mapované do AS procesu vykonávající soubor <code>/bin/dd</code> . . . . .                                   | 70 |
| 9.4  | Parametry ASLR pro různé architektury . . . . .                                                                     | 71 |
| 9.5  | Vyčíslení pravděpodobnosti úspěchu útoku hádáním $P_g(\alpha)$ . . . . .                                            | 72 |
| 9.6  | Vyčíslení pravděpodobnosti úspěchu útoku hádáním $P_b(\alpha)$ . . . . .                                            | 72 |
| 9.7  | Porovnání dopadů emulací <code>ne/spustitelných stránek</code> pro IA-32 . . . . .                                  | 78 |
| 9.8  | Přepínače používané pro vyjmutí/zahrnutí spustitelného souboru do PaXu . . . . .                                    | 82 |
| 9.9  | Volby poskytnuté při konfiguraci jádra obohaceného o Grsecurity pro posílení bezpečnosti chroot prostředí . . . . . | 84 |
| 9.10 | Typy rolí rozpoznávané v AC Grsec RBAC . . . . .                                                                    | 86 |
| 9.11 | Příznaky upravující chování role [Spe03] . . . . .                                                                  | 87 |
| 9.12 | Vybrané příznaky akceptované v definici subjektu v GRP-S . . . . .                                                  | 89 |
| 9.13 | Vybrané příznaky akceptované v GRP-O [Spe03] . . . . .                                                              | 90 |
| 9.14 | Volby Grsec týkající se zabezpečení síťového zásobníku . . . . .                                                    | 92 |
| 9.15 | Možnosti omezení nakládání se sockety poskytované patchem GrSec . . . . .                                           | 93 |
| 9.16 | Volby Grsec zabezpečující souborový systém <code>/proc</code> . . . . .                                             | 93 |

|       |                                                                                                                     |     |
|-------|---------------------------------------------------------------------------------------------------------------------|-----|
| 9.17  | Další drobná vylepšení bezpečnosti v rámci Grsec . . . . .                                                          | 94  |
| 10.1  | Srovnání zabezpečení GNU Linux s a bez aplikovaného patche Grsec/PaX . . . . .                                      | 95  |
| 11.1  | Hardwarové parametry počítačů, které se zúčastní testování . . . . .                                                | 97  |
| 11.2  | Testované konfigurace systému čili volby jádra aktivované běžícího na stroji xenmv v době provádění testů . . . . . | 99  |
| 12.1  | Význam proměnných vyskytujících se v „prostředí pro vykonávání kódu“ . . . . .                                      | 105 |
| 12.2  | Argumenty akceptované programem . . . . .                                                                           | 109 |
| 12.3  | Proměnné nesoucí volání . . . . .                                                                                   | 109 |
| 13.1  | Verze nástrojů použitých pro testování . . . . .                                                                    | 114 |
| 13.2  | Charakteristiky testu <a href="#">ping</a> . . . . .                                                                | 115 |
| 13.3  | Absolutní srovnání konfigurací . . . . .                                                                            | 115 |
| 13.4  | Relativní srovnání konfigurací vůči referenční konfiguraci original . . . . .                                       | 116 |
| 13.5  | Parametry příkazu <a href="#">iperf</a> . . . . .                                                                   | 117 |
| 13.6  | Charakteristiky testu <a href="#">iperf_local_tcp</a> . . . . .                                                     | 118 |
| 13.7  | Absolutní srovnání konfigurací . . . . .                                                                            | 118 |
| 13.8  | Relativní srovnání konfigurací vůči referenční konfiguraci original . . . . .                                       | 119 |
| 13.9  | Charakteristiky testu <a href="#">iperf_remote_tcp</a> . . . . .                                                    | 120 |
| 13.10 | Absolutní srovnání konfigurací . . . . .                                                                            | 121 |
| 13.11 | Relativní srovnání konfigurací vůči referenční konfiguraci original . . . . .                                       | 121 |
| 13.12 | Charakteristiky testu <a href="#">qperf_local_bw_tcp</a> . . . . .                                                  | 122 |
| 13.13 | Absolutní srovnání konfigurací . . . . .                                                                            | 122 |
| 13.14 | Relativní srovnání konfigurací vůči referenční konfiguraci original . . . . .                                       | 123 |
| 13.15 | Charakteristiky testu <a href="#">qperf_local_bw_udp</a> . . . . .                                                  | 124 |
| 13.16 | Absolutní srovnání konfigurací . . . . .                                                                            | 124 |
| 13.17 | Relativní srovnání konfigurací vůči referenční konfiguraci original . . . . .                                       | 125 |
| 13.18 | Charakteristiky testu <a href="#">qperf_local_lat_tcp</a> . . . . .                                                 | 125 |
| 13.19 | Absolutní srovnání konfigurací . . . . .                                                                            | 126 |
| 13.20 | Relativní srovnání konfigurací vůči referenční konfiguraci original . . . . .                                       | 126 |
| 13.21 | Charakteristiky testu <a href="#">qperf_local_lat_udp</a> . . . . .                                                 | 127 |
| 13.22 | Absolutní srovnání konfigurací . . . . .                                                                            | 127 |
| 13.23 | Relativní srovnání konfigurací vůči referenční konfiguraci original . . . . .                                       | 128 |
| 13.24 | Charakteristiky testu <a href="#">qperf_remote_bw_tcp</a> . . . . .                                                 | 128 |
| 13.25 | Absolutní srovnání konfigurací . . . . .                                                                            | 129 |
| 13.26 | Relativní srovnání konfigurací vůči referenční konfiguraci original . . . . .                                       | 129 |
| 13.27 | Charakteristiky testu <a href="#">qperf_remote_bw_udp</a> . . . . .                                                 | 130 |
| 13.28 | Absolutní srovnání konfigurací . . . . .                                                                            | 130 |
| 13.29 | Relativní srovnání konfigurací vůči referenční konfiguraci original . . . . .                                       | 131 |
| 13.30 | Charakteristiky testu <a href="#">qperf_remote_lat_tcp</a> . . . . .                                                | 131 |
| 13.31 | Absolutní srovnání konfigurací . . . . .                                                                            | 132 |
| 13.32 | Relativní srovnání konfigurací vůči referenční konfiguraci original . . . . .                                       | 132 |
| 13.33 | Charakteristiky testu <a href="#">qperf_remote_lat_udp</a> . . . . .                                                | 133 |
| 13.34 | Absolutní srovnání konfigurací . . . . .                                                                            | 133 |
| 13.35 | Relativní srovnání konfigurací vůči referenční konfiguraci original . . . . .                                       | 134 |
| 13.36 | Charakteristiky testu <a href="#">lmbench_lat_connect_local</a> . . . . .                                           | 134 |
| 13.37 | Absolutní srovnání konfigurací . . . . .                                                                            | 135 |
| 13.38 | Relativní srovnání konfigurací vůči referenční konfiguraci original . . . . .                                       | 135 |
| 13.39 | Charakteristiky testu <a href="#">lmbench_lat_connect_remote</a> . . . . .                                          | 136 |
| 13.40 | Absolutní srovnání konfigurací . . . . .                                                                            | 136 |
| 13.41 | Relativní srovnání konfigurací vůči referenční konfiguraci original . . . . .                                       | 137 |
| 13.42 | Charakteristiky testu <a href="#">lmbench_lat_unix_connect</a> . . . . .                                            | 137 |
| 13.43 | Absolutní srovnání konfigurací . . . . .                                                                            | 138 |
| 13.44 | Relativní srovnání konfigurací vůči referenční konfiguraci original . . . . .                                       | 139 |
| 13.45 | Charakteristiky testu <a href="#">lmbench_bw_file_read_io_only</a> . . . . .                                        | 140 |
| 13.46 | Absolutní srovnání konfigurací . . . . .                                                                            | 140 |
| 13.47 | Relativní srovnání konfigurací vůči referenční konfiguraci original . . . . .                                       | 141 |
| 13.48 | Charakteristiky testu <a href="#">lmbench_bw_mem_rd</a> . . . . .                                                   | 142 |
| 13.49 | Absolutní srovnání konfigurací . . . . .                                                                            | 143 |

|        |                                                                              |     |
|--------|------------------------------------------------------------------------------|-----|
| 13.50  | Relativní srovnání konfigurací vůči referenční konfiguraci original          | 144 |
| 13.51  | Charakteristiky testu <a href="#">lmbench_bw_mem_wr</a>                      | 145 |
| 13.52  | Absolutní srovnání konfigurací                                               | 145 |
| 13.53  | Relativní srovnání konfigurací vůči referenční konfiguraci original          | 146 |
| 13.54  | Charakteristiky testu <a href="#">unixbench_pipe</a>                         | 147 |
| 13.55  | Absolutní srovnání konfigurací                                               | 148 |
| 13.56  | Relativní srovnání konfigurací vůči referenční konfiguraci original          | 148 |
| 13.57  | Charakteristiky testu <a href="#">unixbench_execl</a>                        | 149 |
| 13.58  | Absolutní srovnání konfigurací                                               | 150 |
| 13.59  | Relativní srovnání konfigurací vůči referenční konfiguraci original          | 150 |
| 13.60  | Charakteristiky testu <a href="#">unixbench_context1</a>                     | 151 |
| 13.61  | Absolutní srovnání konfigurací                                               | 151 |
| 13.62  | Relativní srovnání konfigurací vůči referenční konfiguraci original          | 152 |
| 13.63  | Charakteristiky testu <a href="#">unixbench_spawn</a>                        | 152 |
| 13.64  | Absolutní srovnání konfigurací                                               | 153 |
| 13.65  | Relativní srovnání konfigurací vůči referenční konfiguraci original          | 153 |
| 13.66  | Charakteristiky testu <a href="#">unixbench_syscall</a>                      | 154 |
| 13.67  | Absolutní srovnání konfigurací                                               | 155 |
| 13.68  | Relativní srovnání konfigurací vůči referenční konfiguraci original          | 155 |
| 13.69  | Charakteristiky testu <a href="#">unixbench_fstime</a>                       | 156 |
| 13.70  | Absolutní srovnání konfigurací                                               | 157 |
| 13.71  | Relativní srovnání konfigurací vůči referenční konfiguraci original          | 158 |
| 13.72  | Parametry příkazu <code>sysbench</code>                                      | 159 |
| 13.73  | Charakteristiky testu <a href="#">sysbench_cpu</a>                           | 159 |
| 13.74  | Absolutní srovnání konfigurací                                               | 160 |
| 13.75  | Relativní srovnání konfigurací vůči referenční konfiguraci original          | 161 |
| 13.76  | Charakteristiky testu <a href="#">sysbench_fileio_rndrd_s</a>                | 162 |
| 13.77  | Absolutní srovnání konfigurací                                               | 162 |
| 13.78  | Relativní srovnání konfigurací vůči referenční konfiguraci original          | 163 |
| 13.79  | Charakteristiky testu <a href="#">sysbench_fileio_rndwr_s</a>                | 164 |
| 13.80  | Absolutní srovnání konfigurací                                               | 165 |
| 13.81  | Relativní srovnání konfigurací vůči referenční konfiguraci original          | 166 |
| 13.82  | Charakteristiky testu <a href="#">sysbench_fileio_rndwr_l</a>                | 167 |
| 13.83  | Absolutní srovnání konfigurací                                               | 167 |
| 13.84  | Relativní srovnání konfigurací vůči referenční konfiguraci original          | 168 |
| 13.85  | Charakteristiky testu <a href="#">sysbench_fileio_seqrd_l</a>                | 169 |
| 13.86  | Absolutní srovnání konfigurací                                               | 170 |
| 13.87  | Relativní srovnání konfigurací vůči referenční konfiguraci original          | 171 |
| 13.88  | Charakteristiky testu <a href="#">sysbench_fileio_seqwr_l</a>                | 172 |
| 13.89  | Absolutní srovnání konfigurací                                               | 172 |
| 13.90  | Relativní srovnání konfigurací vůči referenční konfiguraci original          | 173 |
| 13.91  | Charakteristiky testu <a href="#">sysbench_memory_write_seq</a>              | 174 |
| 13.92  | Absolutní srovnání konfigurací                                               | 175 |
| 13.93  | Relativní srovnání konfigurací vůči referenční konfiguraci original          | 176 |
| 13.94  | Charakteristiky testu <a href="#">sysbench_memory_write_seq</a>              | 177 |
| 13.95  | Absolutní srovnání konfigurací                                               | 177 |
| 13.96  | Relativní srovnání konfigurací vůči referenční konfiguraci original          | 178 |
| 13.97  | Parametry příkazu <code>sysbench</code> v měření <code>sysbench_db</code>    | 179 |
| 13.98  | Charakteristiky testu <a href="#">sysbench_db_readonly</a>                   | 180 |
| 13.99  | Absolutní srovnání konfigurací                                               | 180 |
| 13.100 | Relativní srovnání konfigurací vůči referenční konfiguraci original          | 181 |
| 13.101 | Charakteristiky testu <a href="#">sysbench_db_readwrite</a>                  | 182 |
| 13.102 | Absolutní srovnání konfigurací                                               | 183 |
| 13.103 | Relativní srovnání konfigurací vůči referenční konfiguraci original          | 184 |
| 14.1   | Charakteristiky jednotlivých nasazení                                        | 197 |
| 14.2   | Doporučení volby pro jednotlivé volby v závislosti na zabezpečeném prostředí | 198 |



### A.3 Příkaz/y (interakce s shellem)

|      |                                                                                  |     |
|------|----------------------------------------------------------------------------------|-----|
| 3.1  | Získání atributů určujících identitu aktuálního příkazového interpretu . . . . . | 20  |
| 5.1  | Přidělení oprávnění k naslouchání na privilegovaných portech, . . . . .          | 45  |
| 5.2  | Zákaz přístupu k /etc/shadow s výjimkou instancí /bin/login . . . . .            | 45  |
| 9.1  | Kompilace programu do formátu PIE a mimo něj . . . . .                           | 68  |
| 9.2  | Výpis oblastí přítomných v AS procesu /bin/dd . . . . .                          | 69  |
| 9.3  | Příkaz, z jehož výstupu lze vyčíst informaci o formátu knihovny . . . . .        | 81  |
| 11.1 | Rychlost síťového rozhraní na počítači xenmv . . . . .                           | 97  |
| 11.2 | Výstup nástroje paxtest na systému prostého PaX . . . . .                        | 101 |
| 11.3 | Výstup nástroje paxtest na systému s nasazeným PaX . . . . .                     | 102 |
| 11.4 | Výstup nástroje pspax . . . . .                                                  | 102 |
| 12.1 | Nastavení shellu při vykonávání daného skriptu . . . . .                         | 104 |
| 12.2 | Příkazy iniciující chod programu. . . . .                                        | 107 |

### A.4 Skripty (posloupnosti příkazů)

|      |                                                             |     |
|------|-------------------------------------------------------------|-----|
| 5.1  | Implicitní maska práv . . . . .                             | 40  |
| 5.2  | Zobrazení přístupových práv . . . . .                       | 42  |
| 11.1 | Manipulace s konfigurací jádra za běhu . . . . .            | 100 |
| 12.1 | Prostředí pro vykonávání testujícího programu . . . . .     | 104 |
| 12.2 | Formát definice řady funkcí umístěných ve Skriptu . . . . . | 105 |

### A.5 Konfigurace GrSec

|      |                                                                                                                                   |    |
|------|-----------------------------------------------------------------------------------------------------------------------------------|----|
| 9.1  | Struktura definice role v Grsec . . . . .                                                                                         | 86 |
| 9.2  | Struktura GRP-S [Spe03] . . . . .                                                                                                 | 88 |
| 9.3  | Syntaxe zápisu pravidla omezujícího možnost změny identity subjektu . . . . .                                                     | 89 |
| 9.4  | Příklad pravidla omezujícího možnost změny identity subjektu /bin/su pouze na uživatelskou (a skupinovou) identitu root . . . . . | 90 |
| 9.5  | Příklad GRP . . . . .                                                                                                             | 90 |
| 9.6  | Syntaxe podmínky omezující platnost GRP . . . . .                                                                                 | 91 |
| 9.7  | Syntaxe podmínky omezující platnost GRP rekurzivně vnořená . . . . .                                                              | 91 |
| 11.1 | Možné položky konfiguračního souboru vzešlého z make menuconfig . . . . .                                                         | 98 |

### A.6 Strojové kódy x86

|     |                                                                               |    |
|-----|-------------------------------------------------------------------------------|----|
| 4.1 | Strojový kód kompatibilní s procesory x86 (vlevo) a x86-64 (vpravo) . . . . . | 32 |
| 8.1 | Epilog funkce na architektuře x86 . . . . .                                   | 63 |
| 9.1 | Standardní prolog funkce na architektuře x86-32 . . . . .                     | 83 |
| 9.2 | Prolog funkce na architektuře x86-32 po aplikaci RAP . . . . .                | 83 |
| 9.3 | Standardní epilog funkce na architektuře x86-32 . . . . .                     | 83 |
| 9.4 | Epilog funkce na architektuře x86-32 po aplikaci RAP . . . . .                | 84 |

### A.7 C kódy

|     |                                                                                                       |    |
|-----|-------------------------------------------------------------------------------------------------------|----|
| 4.1 | Zdrojový kód programu, na němž se kapitola 4.7 pokouší vysvětlit princip volání podprogramů . . . . . | 31 |
| 6.1 | LSM háčky v rámci funkce vfs_mkdir() . . . . .                                                        | 50 |

|      |                                                                                                                            |     |
|------|----------------------------------------------------------------------------------------------------------------------------|-----|
| 9.1  | Program pro demonstraci rozdílného mapování na systémech s/bez PaX . . . . .                                               | 68  |
| 9.2  | Zdrojový kód programu, jež v systémech s aktivovaným MPROTECT nemůže skončit zdarem . . . . .                              | 75  |
| 9.3  | Situace, kdy se za běhu programu vygenerují instrukce pro zpřístupnění proměnné <code>i</code> , tzv. trampolína . . . . . | 79  |
| 11.1 | Aplikace patche na jádro . . . . .                                                                                         | 98  |
| 11.2 | Podoba volby při kompilaci . . . . .                                                                                       | 100 |
| 11.3 | Konfigurační volby ovlivňují překlad prostřednictvím mechanismu podmíněného překladu . . . . .                             | 100 |
| 13.1 | Nahrazení stávajícího procesu voláním funkce <code>exec1()</code> . . . . .                                                | 149 |

## A.8 Konfigurace

|      |                                                               |     |
|------|---------------------------------------------------------------|-----|
| 6.1  | Příklad konfigurace MAC v podání AppArmor . . . . .           | 51  |
| 12.1 | Syntaxe skriptem používaného konfiguračního souboru . . . . . | 107 |
| 12.2 | Příklad sekce nesoucí konfiguraci ke zřetězení . . . . .      | 107 |

## A.9 Výrazy

|     |                                                            |    |
|-----|------------------------------------------------------------|----|
| 4.1 | Celková velikost všech tabulek stránek v systému . . . . . | 27 |
|-----|------------------------------------------------------------|----|

## A.10 Rovnosti

|     |                                                                     |    |
|-----|---------------------------------------------------------------------|----|
| 4.1 | Výpočet celkové velikosti všech tabulek stránek v systému . . . . . | 27 |
| 9.1 | Pravděpodobnost úspěchu útoku hádáním $P_g$ . . . . .               | 71 |
| 9.2 | Pravděpodobnost úspěchu útoku hrubou silou $P_b$ . . . . .          | 72 |

## A.11 Zkratky

|               |                                                                                                                            |
|---------------|----------------------------------------------------------------------------------------------------------------------------|
| <b>AC</b>     | Access Control 38, 40, 44, 48, 49, 51–53, 55, 57, 67, 86, 91, 205, 206, 213, 215, 218                                      |
| <b>ACL</b>    | Access Control List 16, 38–40, 44, 47, 51, 85, 94, 212–214, <u>Slovník</u> : Access Control List                           |
| <b>ANSI C</b> | American National Standards Institute C 134                                                                                |
| <b>API</b>    | Application Programming Interface <u>Slovník</u> : Application Programming Interface                                       |
| <b>ARMv6</b>  | ARMv6 75                                                                                                                   |
| <b>AS</b>     | Address Space 9, 23, 25, 26, 28–30, 37, 57–60, 67, 68, 70, 73–75, 77, 94, 95, 101, 213–219, <u>Slovník</u> : Address Space |
| <b>ASLR</b>   | Address Space Layout Randomization 9, 55, 61, 63, 67–74, 84, 89, 95, 206                                                   |
| <b>AZ</b>     | aktivační záznam 29–34, 58–60, 62, 78, 216, 217, <u>Slovník</u> : aktivační záznam                                         |
| <b>BSS</b>    | Better Save Space <u>Slovník</u> : BSS                                                                                     |
| <b>Chroot</b> | Change Root 55                                                                                                             |
| <b>CIV</b>    | Centrum informatizace a výpočetní techniky 5, 13, 54, 55, 67, 94, 204, 206, <u>Slovník</u> : CIV                           |
| <b>CPL</b>    | Current Privilege Level 96, 203, 213, <u>Slovník</u> : Current Privilege Level                                             |
| <b>CPU</b>    | Central Processing Unit 74, 76                                                                                             |
| <b>CVSS</b>   | Common Vulnerability Scoring System <u>Slovník</u> : Common Vulnerability Scoring System                                   |
| <b>DAC</b>    | Discretionary Access Control 9, 13, 16, 38–41, 47–49, 51, 95, 201, 203, 213, <u>Slovník</u> : Discretionary Access Control |
| <b>DBMS</b>   | Database Management System 197, <u>Slovník</u> : Database Management System                                                |
| <b>DoS</b>    | Denial of service 65, 92                                                                                                   |
| <b>DTLB</b>   | Datová TLB 76                                                                                                              |
| <b>EFA</b>    | Extended File Attributes 52, 53, <u>Slovník</u> : Extended file attributes                                                 |
| <b>EGID</b>   | Effective GID 20, 21, 39–41                                                                                                |
| <b>EI</b>     | Effective Identity 20, 21, 38–41, 44, 47, 218, <u>Slovník</u> : Effective Identity                                         |
| <b>ELF</b>    | Executable and Linking Format 60, 63, 68, 73, 78, 79, 81, 82, 214, <u>Slovník</u> : Executable and Linking Format          |
| <b>EUID</b>   | Effective UID 20, 21, 39, 40                                                                                               |
| <b>FS</b>     | filesystem 28, 29, 48, 49, 52, 57, 60, 79, 84, 85, 88, 89, 103, 107, 109, 110, 112, 114, 161, 203, 205, 215                |

- GDT** Global Descriptor Table [80](#), [215](#), [Slovník: Global Descriptor Table](#)
- GID** Group Identifier [19–21](#), [39–41](#), [92–94](#), [210–213](#), [217](#)
- GNU GPL** GNU General Public License [215](#), [Slovník: GNU General Public License](#)
- GRP-O** GrSec politika vztažená k objektu [87](#), [88](#), [90](#), [91](#), [206](#)
- GRP-S** GrSec politika vztažená k subjektu [87–91](#), [206](#), [209](#)
- GRP** Grsec politika [87–91](#), [209](#), [Slovník: Grsec politika](#)
- GrSec** GrSecurity [10](#), [84](#), [86](#), [88–94](#), [97](#), [98](#), [100](#), [206](#), [209](#)
- Grsec** Grsecurity [10](#), [23](#), [42](#), [43](#), [54](#), [55](#), [67](#), [79](#), [81](#), [84–89](#), [91–96](#), [100](#), [101](#), [117](#), [135](#), [139](#), [148](#), [156](#), [164](#), [166](#), [169](#), [171](#), [174](#), [179](#), [182](#), [185](#), [198](#), [201–204](#), [206](#), [207](#), [209](#), [211](#), [217](#)
- Grsecurity ACL** Grsecurity Access Control Lists [85](#), [199](#)
- HM** High Memory [24](#)
- HTT** Hyper-Threading Technology [Slovník: HTT](#)
- ICMP** Internet Control Message Protocol [92](#), [115](#), [117](#)
- IDS** Intrusion Detection System [44](#), [Slovník: Intrusion Detection System](#)
- IDT** Interrupt Descriptor Table [80](#), [Slovník: Interrupt Descriptor Table](#)
- Intel MPX** [13](#), [Slovník: Intel Memory Protection Extensions](#)
- IP** Internet Protocol [43](#), [86](#), [89](#), [117](#)
- IPC** Inter-Process Communication [84](#), [Slovník: Inter-Process Communication](#)
- IS** informační systém [15–17](#), [44](#), [201](#), [202](#), [213](#), [215](#)
- ITLB** Instrukční TLB [27](#), [75](#), [76](#)
- Jail** Jail Chroot Project [43](#)
- KM-NPC** kernel mode - Not Process Context [21](#)
- KM-PC** kernel mode - Process Context [21](#), [24](#)
- KM** Kernel Mode [21](#), [24](#), [215](#), [Slovník: kernel mode](#)
- KS** Kernel Space [24](#), [Slovník: Kernel Space](#)
- LA** Logical Address [23](#), [24](#), [26](#), [76](#), [77](#)
- LAS** Logical Address Space [23–26](#), [76](#), [215](#), [218](#), [Slovník: Logical Address Space](#)
- LDT** Local Descriptor Table [215](#), [Slovník: Global Descriptor Table](#)
- LIDS** Linux Intrusion Detection System [44](#), [Slovník: Linux Intrusion Detection System](#)
- LM** Low Memory [21](#), [24](#)
- LSM** Linux Security Modules [48](#), [49](#), [51](#), [54](#), [55](#), [205](#), [218](#)
- MAC** Mandatory Access Control [9](#), [10](#), [16](#), [17](#), [38](#), [47–49](#), [51](#), [52](#), [54](#), [55](#), [67](#), [85–91](#), [199](#), [202](#), [206](#), [210](#), [213](#), [215](#), [Slovník: Mandatory Access Control](#)
- metalist** metalist.civ.zcu.cz [10](#), [97](#), [114](#), [120](#), [129](#), [131](#), [132](#), [216](#)
- MMS** Memory Mapping Segment [28](#), [29](#), [Slovník: MMS](#)
- MMS** Memory Mapping Segment [Slovník: MMS](#)
- MMU** Memory Management Unit [25–27](#), [37](#), [75](#), [76](#), [95](#), [Slovník: Memory Management Unit](#)
- NA** Návrátová adresa [31](#), [35](#), [60](#), [61](#), [83](#), [217](#)
- NMMP** Nestálost měřicího/měřeného prostředí [117](#), [123](#), [125](#), [126](#), [139](#), [158](#), [216](#), [Slovník: Nestálost měřicího/měřeného prostředí](#)
- NX** No eXecute bit [55](#), [67](#), [74](#), [75](#), [82](#), [96](#), [97](#), [203](#), [204](#), [Slovník: No eXecute bit](#)
- NZPV** nezávisle proměnná veličina [115](#), [118](#), [120](#), [134](#), [137](#), [140](#), [142](#), [145](#), [154](#), [156](#), [159](#), [161](#), [162](#), [164](#), [167](#), [169](#), [172](#), [174](#), [177](#), [180](#), [182](#), [Slovník: nezávisle proměnná veličina](#)
- OFF** Old Frame Pointer [30](#), [33](#), [Slovník: Old Frame Pointer](#)
- OS** operační systém [15](#), [38](#), [215](#), [218](#)
- PA** physical address [23–27](#), [76](#), [215](#), [216](#), [218](#)
- PAS** Physical Address Space [23–28](#), [216–218](#), [Slovník: Physical Address Space](#)
- PaX** Page eXec project [9](#), [10](#), [23](#), [37](#), [55](#), [67–95](#), [100–102](#), [198](#), [201](#), [204](#), [206](#), [207](#), [209](#), [210](#), [216](#), [218](#), [Slovník: Page eXec project](#)
- PC** Program Counter [Slovník: čítač instrukcí](#)
- PC** Program Counter [Slovník: čítač instrukcí](#)
- PGID** Primary GID [19](#), [21](#)
- PIC** Position Independent Code [68](#), [81](#), [216](#), [Slovník: Position Independent Code](#)

- PID** Process Identifier [20](#), [61](#), [89](#), [91](#)
- PIE** Position Independent Executable [68](#), [69](#), [73](#), [209](#), [214](#)
- POSIX ACL** [POSIX 13](#)
- POSIX** Portable Operating System Interface [212](#), [Slovník: POSIX](#)
- PT** Page Table [27](#), [Slovník: tabulka stránek](#)
- PTBR** Page-table base register [27](#), [Slovník: Page-table base register](#)
- PTLR** Page-table length register [Slovník: Page-table length register](#)
- 
- RAP** Return Address Protection [10](#), [13](#), [83](#), [84](#), [96](#), [201](#), [203](#), [209](#), [217](#), [Slovník: Return Address Protection](#)
- RBAC** Role Based Access Control [9](#), [10](#), [38](#), [47](#), [51](#), [55](#), [67](#), [85–91](#), [95](#), [206](#)
- ret2dir** Return to direct mapped memory [64](#), [67](#), [79](#), [80](#), [214](#), [Slovník: Return to direct mapped memory](#)
- ret2usr** Return to userspace [10](#), [64](#), [79](#), [80](#), [96](#), [201](#), [203](#), [Slovník: Return to userspace](#)
- RFC** Request for Comments [96](#), [Slovník: Request for Comments](#)
- RGID** Real [GID 20](#)
- RI** Real Identity [20](#), [21](#), [41](#), [Slovník: Real Identity](#)
- RIP** Return Instruction Pointer [29–31](#), [33](#), [34](#), [59](#), [Slovník: Return Instruction Pointer](#)
- RJ** rozsahová jednotka [29](#), [32–34](#), [59](#), [60](#), [78](#), [Slovník: rozsahová jednotka](#)
- RM** Reference Monitor [17](#), [Slovník: Reference Monitor](#)
- ROP** Return-Oriented Programming [9](#), [62](#), [64](#), [83](#), [84](#), [96](#), [201](#), [217](#), [Slovník: Return-Oriented Programming](#)
- RP** RPLONG see also [Mandatory Access Control](#)
- RUID** Real [UID 20](#), [21](#)
- 
- SB** supervisor bit [76](#), [Slovník: supervisor bit](#)
- SE-DS** datový segment SEGMEXEC [77](#), [78](#)
- SE-KS** kódový segment SEGMEXEC [77](#), [78](#)
- SELinux** Security-Enhanced Linux [48](#), [98](#)
- SFP** Saved Frame Pointer [29–31](#), [33](#), [34](#), [59](#), [Slovník: Saved Frame Pointer](#)
- SGID** Set [GID 21](#), [85](#)
- SMAP** Supervisor Mode Access Protection [13](#), [79](#), [80](#), [96](#)
- SMEP** Supervisor Mode Execution Protection [13](#), [79](#), [80](#), [96](#)
- SMT** Simultaneous Multithreading [97](#), [214](#), [Slovník: SMT](#)
- SSUID** Saved [SUID 20](#), [21](#)
- SUID** Set [UID 21](#), [44](#), [85](#), [94](#), [212](#)
- SWAP** odkládací prostor ve vnější paměti [26](#), [Slovník: odkládací prostor](#)
- 
- TCB** Trusted Computing Base [Slovník: Trusted Computing Base](#)
- TCP** Transmission Control Protocol [64](#), [65](#), [92](#), [96](#), [117](#), [118](#), [120](#), [122](#), [123](#), [125](#), [126](#), [128](#), [129](#), [131](#), [132](#), [134](#), [135](#), [199](#), [205](#)
- TCSEC** Trusted Computer System Evaluation Criteria [7](#), [9](#), [15–18](#), [201–204](#), [Slovník: TCSEC](#)
- TDI** Trusted Database Interpretation [15](#), [Slovník: TDI](#)
- TE** Type Enforcement [Slovník: Type Enforcement](#)
- TLB** Translation Lookaside Buffer [25](#), [27](#), [75](#), [76](#), [210](#), [211](#), [214](#), [Slovník: Translation Lookaside Buffer](#)
- TNI** Trusted Network Interpretation [15](#), [Slovník: TNI](#)
- TPE** Trusted Path Execution [87](#), [Slovník: Trusted Path Execution](#)
- TS** Trusted System [Slovník: Trusted System](#)
- TSS** Task State Segment [218](#), [Slovník: Task State Segment](#)
- 
- UDP** User Datagram Protocol [92](#), [117](#), [123](#), [125](#), [126](#), [128](#), [129](#), [131](#), [133](#), [134](#)
- UID** User Identifier [19–21](#), [39](#), [40](#), [210](#), [212](#), [213](#), [217](#)
- UM** User mode [21](#), [24](#), [215](#), [219](#), [Slovník: user mode](#)
- US** User Space [24](#), [77](#), [80](#), [84](#), [85](#), [87](#), [94](#), [Slovník: User Space](#)
- USA** United States of America [15](#)
- 
- VA** virtual address [26](#), [27](#), [76](#), [77](#), [215](#), [218](#)
- VAS** Virtual Address Space [20](#), [21](#), [23](#), [24](#), [26–29](#), [60–62](#), [67](#), [73](#), [76](#), [78](#), [81](#), [89](#), [203](#), [213](#), [215](#), [217–219](#), [Slovník: Virtual Address Space](#)
- 
- x86-32** **x86** (IBM PC) s šířkou adresové sběrnice procesoru 32 b [24](#), [26](#), [37](#), [67](#), [77](#), [80](#), [82–84](#), [95–98](#), [203](#), [204](#), [209](#), [216](#)
- x86-64** **x86** (IBM PC) s šířkou adresové sběrnice procesoru 64 b [32](#), [64](#), [73–75](#), [80](#), [82](#), [95](#), [96](#), [152](#), [204](#), [209](#), [216](#), [217](#)
- x86** **x86** [10](#), [23](#), [26–28](#), [30–32](#), [34](#), [37](#), [62](#), [63](#), [75](#), [77](#), [80](#), [83](#), [84](#), [95](#), [125](#), [209](#), [212](#), [213](#), [217–219](#), [Slovník: x86](#)
- xenmv** xenmv.civ.zcu.cz [10](#), [97](#), [114](#), [118](#), [120](#), [125](#), [129](#), [131](#), [132](#), [142](#), [204](#), [209](#), [216](#)
- XPFO** eXclusive Page Frame Ownership [64](#), [80](#), [96](#), [Slovník: eXclusive Page Frame Ownership](#)

**ZPV** závisle proměnná veličina [115](#), [118](#), [120](#), [137](#), [140](#), [142](#), [145](#), [154](#), [156](#), [159](#), [162](#), [164](#), [167](#), [169](#), [172](#), [174](#), [177](#), [180](#), [182](#),  
Slovník: [závisle proměnná veličina](#)

**ZČU** Západočeská univerzita v Plzni [13](#), [54](#), [94](#), [204](#), [206](#), [213](#)

## A.12 Slovník

**Access Control List** Seznam oprávnění připojený k právě jednomu [objektu](#). Obsahuje výčetem definovaná oprávnění uživatelů či uživatelských skupin nakládat s daným objektem [16](#), [38–40](#), [44](#), [47](#), [51](#), [85](#), [94](#), [210](#), [213](#), [214](#)

**Address Space** Adresní prostor vyhrazený pro jeden proces. Obecně je jím myšlen zpravidla [VAS](#). [9](#), [23](#), [25](#), [26](#), [28–30](#), [37](#), [57–60](#), [67](#), [68](#), [70](#), [73–75](#), [77](#), [94](#), [95](#), [101](#), [210](#), [213–219](#)

**Address Space Layout Randomization** Technika zajišťující dynamické mapování jednotlivých modulů procesu po [VAS](#). [58](#), [61](#), [67](#), [73](#), [217](#)

**aktivační záznam** Datová struktura, která představuje lokální prostředí výpočtu – tzv. kontext – v němž se nachází vlákno při vstupu do rozsahové jednotky. [29–34](#), [58–60](#), [62](#), [78](#), [206](#), [210](#), [216](#), [217](#)

**aktivační záznam** Datová struktura, která představuje lokální prostředí výpočtu – tzv. kontext – v němž se nachází vlákno při vstupu do rozsahové jednotky. [29](#), [30](#)

**anonymní mapování** [Mapování](#), jehož předobrazem není soubor, nýbrž vzniklo až na základě běhu programu. Typicky se jedná o zásobník a haldu. [29](#), [37](#), [73–75](#), [156](#)

**AppArmor** Modul [Linuxu](#) poskytující vlastní implementaci [MAC](#). [51](#), [55](#), [95](#), [203](#), [210](#)

**AppArmor profil** Textový soubor obsahující nastavení přístupových oprávnění pro konkrétní množinu aplikací. [51](#)

**Application Programming Interface** Rozhraní pro programování aplikací. Sbíрка procedur, funkcí, tříd či protokolů nějaké knihovny (ale třeba i jiného programu nebo jádra operačního systému), které může programátor využívat. [210](#)

**BSS (mapování)** [Mapování](#) v rámci [AS](#) procesu, do něhož se umísťují neinicializované statické proměnné. Více viz sekce [4.6.3](#). [29](#), [58](#), [210](#), [216](#)

**buffer** Paměťový prostor vyhrazený pro zápis proměnné [213](#)

**buffer overflow** Zápis dat do [bufferu](#) nedostatečné velikosti. [57–59](#), [214](#)

**capabilities** Mechanismus řízení přístupu v rámci [GNU Linux](#), které umožňuje delegovat přístupová oprávnění dříve exkluzivní pro superuživatele jiným uživatelům. [13](#), [20](#), [43](#), [44](#), [88](#), [93](#), [200](#)

**chroot** Systémové volání, které změní kořenový adresář procesu a všech jeho případných potomků vzniklých voláním `fork()`. [42](#), [63](#)

**chroot prostředí** Podstrom souborového systému vzniklý voláním `chroot()` za účelem běhu vybraných procesů v izolovaném prostředí. [9](#), [10](#), [42](#), [43](#), [55](#), [62](#), [63](#), [67](#), [84](#), [85](#), [203](#), [206](#), [215](#)

**CIV** Centrum informatizace a výpočetní techniky je pracovištěm v rámci [ZČU](#) poskytující jí služby týkající se výpočetní techniky. [5](#), [13](#), [54](#), [55](#), [67](#), [94](#), [204](#), [206](#), [210](#)

**Common Vulnerability Scoring System** Průmyslový standard pro posuzování závažnosti bezpečnostních [zranitelností IS](#). Jednotlivým zranitelnostem přiřazuje skóre v intervalu  $(0, 10)$  dle stupně jejich závažnosti. 10 značí nejvíce závažnou zranitelnost. Vstupními parametry pro výpočet skóre je několik metrik klasifikujících snadnost zneužití zranitelnosti a potencionální dopad zneužití zranitelnosti. [210](#)

**Current Privilege Level** Architektura [x86](#) disponuje čtyřmi úrovněmi oprávnění [CPL](#). Jedná se o hodnotu představující aktuální úroveň oprávnění přidělenou právě prováděnému procesu. Ukládá se do selektoru kódového segmentu. [96](#), [203](#), [210](#), [213](#)

**data (mapování)** [Mapování](#) v rámci [AS](#) procesu, do něhož se umísťují statické proměnné inicializované ve zdrojovém kódu programu – globální proměnné a lokální „static“ proměnné. Více viz kapitola [4.6.2](#). [28](#), [29](#), [58](#), [216](#)

**Database Management System** Softwarové vybavení, které zajišťuje práci s databází, tzn. tvoří rozhraní mezi aplikačními programy a uloženými daty. [197](#), [210](#)

**dentry** Objekt představující a odkazující se na jednu položku adresáře, respektive na její [inode](#). Je ukládán do datových bloků souboru představujícího adresář. [94](#)

**Discretionary Access Control** Nepovinné (volitelné) řízení přístupu. Řízení přístupu založené na existenci [ACL](#) pro každý [objektu](#) v systému. Definici [ACL](#) má v moci vždy vlastník příslušného [objektu](#). Detailněji se o [DAC](#) zmiňuje sekce [9](#), [13](#), [16](#), [38–41](#), [47–49](#), [51](#), [95](#), [201](#), [203](#), [210](#), [213](#)

**do\_page\_fault()** Funkce obsluhující výjimku [Page fault](#). Modifikací této funkce lze implementovat vlastní [AC](#) do paměti. [73](#)

**doména** Oblast/obor působnosti. [16](#), [38](#)

**dopad** Škoda vzniklá v důsledku působení [hrozby](#). [57](#)

**dynamický linker** Část operačního systému, která načítá z externí paměti do hlavní paměti a propojuje sdílené knihovny se spustitelným programem za běhu programu. [70](#)

**Effective Identity** Uspořádaná dvojice ([UID](#),[GID](#)) identifikující uživatele, pod jehož oprávněními proces běží. Tato identita je používána k autorizaci procesu uvnitř systému. [39](#)

- EMULTRAP** Technika, která použití [trampolín](#) umožní i v případě aktivního [PAGEEXEC/SEGMEEXEC](#) [[GrSecDoc](#)]. [78, 82](#)
- epilog** Posloupnost instrukcí vykonávaná při návratu z těla funkce. [62, 63, 83, 84, 209, 217](#)
- etdyn** Jiné pojmenování pro binární soubor ve formátu [PIE](#). [73, 101](#)
- etexec** Jiné pojmenování pro binární soubor ve formátu [ELF](#). [73, 101](#)
- eXclusive Page Frame Ownership** Technika ochrany proti útokům typu [ret2dir](#). Více viz kapitola [9.5.4](#). [64, 80, 96, 212](#)
- Executable and Linking Format** [ELF](#) je standardizovaný typ spustitelného souboru vyskytující se v prostředí [GNU Linux](#). [60, 63, 68, 73, 78, 79, 81, 82, 210, 214](#)
- exploit** Sekvence příkazů, které využívají [zranitelnost](#) k provedení původně nezamýšlené činnosti typicky za účelem získání prospěchu útočníka. [57–59, 62, 73, 84, 214, 217](#)
- exploitování** Aplikace [exploitu](#) za účelem zneužití [zranitelnosti](#). [13, 59, 63, 94](#)
- Extended file attributes** Rozšiřující vlastnost systému souborů, která umožňuje k souborům přidat specifická metadata, která neslouží samotnému systému souborů, nýbrž nesou doplňující informace pro jádro systému, procesy a aplikace. [52, 53, 210](#)
- externí paměť** Paměť sloužící k dlouhodobějšímu uchování dat. Typicky se jedná o paměť non-volatilní, čili nezávislou na nepřetržitém napájení. [24, 139, 142](#)
- Global Descriptor Table** Úložiště pro adresy segmentů s globální platností. K nim přistupují všechny procesy čili využívá je celý systém. [80, 211, 215](#)
- GNU General Public License** Licence pro svobodný software původně napsaná Richardem Stallmanem pro projekt GNU. Vyžaduje, aby od díla odvozená díla byla dostupná pod toutéž licencí [211, 215](#)
- GNU Linux** Operační systém využívající jádro [Linux](#) [[Sta](#)] [7, 10, 13, 16, 23, 37, 39, 77, 95, 96, 201–204, 207, 213–215, 217](#)
- GPL** Licence pro svobodný software vyžadující, aby byla odvozená díla dostupná pod toutéž licencí. V rámci této filosofie je řečeno, že poskytuje uživatelům počítačového programu práva svobodného softwaru a používá copyleft k zajištění, aby byly tyto svobody ochráněny, i když je dílo změněno nebo k něčemu přidáno. [54](#)
- Grsec politika** Záznam v [GrSecurity ACL](#) čili definice přístupových oprávnění **právě jednoho subjektu** v systému. [87–91, 209, 211](#)
- Grsecurity** Soubor modifikací [jádra](#) posilujících bezpečnost distribuovaný formou patche. [9, 23, 54, 55, 67–94, 120, 123, 150, 152, 158, 202–204, 206](#)
- GrSecurity ACL** Procesně-orientovaná [ACL](#), která pracují s objekty, subjekty a [rolemi](#). [81, 86, 87, 91, 214](#)
- halda (mapování)** [Mapování](#) v rámci [AS](#) procesu, do něhož se umísťují proměnné, kterým nemůže být přidělen prostor již při překladu. Více viz sekce [4.6.4](#). [28, 29, 58, 61, 74, 95, 217](#)
- Hlavní paměť** Jedna z vnitřních pamětí počítače. Paměť sloužící pro uchování momentálně zpracovávaných dat a programů. Typicky se jedná o paměť volatilní, čili závislou na nepřetržitém napájení. [23, 24, 80, 121, 123, 125, 142, 144](#)
- hrozba** Potenciální příčina nechtěného incidentu, která může vyústit v poškození systému. [7, 13, 42, 57, 58, 84, 203, 213, 217, 219](#)
- HTT** Hyper-Threading Technology je obchodní název pro [SMT](#), kterou zavedla u svých procesorů společnost Intel. [211](#)
- i586** Rodina [x86](#)-kompatibilních procesorů Intel vydaných v roce 1993 pod názvem Pentium. Jednalo se o první [x86](#) procesory, které disponovaly dvěma [TLB](#). [75](#)
- IA-32** IA-32 – Intel Architecture, 32bit – je v informatice označení architektury 32bitových CISC procesorů, které se používají zejména v počítačích PC/AT kompatibilních. Lze se též setkat s označením „x86-32“. [71, 74, 75, 77, 78, 206, 216, 218](#)
- implicitní maska práv** Doplněk do neomezených přístupových práv k objektu. Udrzuje se pro tři množiny subjektů – vlastníka objektu, skupinového vlastníka objektu a ostatní subjekty. [39, 40](#)
- inode** Datová struktura uchávající metadata souboru. Těmito metadaty mohou být čas poslední změny, čas posledního přístupu, přístupová práva a v neposlední řadě též adresy datových bloků nesoucích data. [19, 39, 44, 48, 49, 52, 94, 213, 218](#)
- Intel Memory Protection Extensions** Rozšíření instrukční sady [x86](#) zavedené v rodině procesorů Intel Skylake [[OKB17](#)]. Pro svou funkčnost vyžaduje podporu ze strany operačního systému<sup>1</sup> i kompilátorů. Je-li řeč o kompilátorech, znamená to, že spustitelné soubory musí být přeloženy s podporou této technologie, což dnes běžně nejsou. Při nasazení Intel MPX dochází ke kontrole ukazatelů, jejichž hodnoty by mohly být změněny během běhu programu útokem [buffer overflow](#). [13, 211](#)
- Inter-Process Communication** Množina technik pro výměnu dat mezi dvěma nebo více procesy nebo thready. [84, 211](#)

<sup>1</sup>[Linux](#) techniku *Intel MPX* podporuje od své verze 3.19.

- Interrupt Descriptor Table** Tabulka popisovačů segmentů obsluhy přerušeni. Schraňuje ukazatele na rutiny obsluhující přerušeni. [80](#), [211](#)
- Intrusion Detection System** Systém detekující neautorizovaný průnik do IS. [44](#), [211](#)
- jail** Nástroj pro konstrukci **jail prostředí** šířený pod licencí [GNU General Public License](#) napsaný v jazyce C. [43](#)
- jail prostředí** Prostor podobné [chroot prostředí](#) s více omezeními. [43](#), [215](#)
- jádro** Program, který koordinuje činnost ostatních programů a zprostředkovává jim prostředky počítače. Alternativně: Strojový kód zavedený do paměti po startu počítače běžící v [KM](#) mající neomezený přístup ke všem instrukcím procesoru i ke všem zařízením přítomným v počítači. [23](#), [24](#), [26](#), [42](#), [44](#), [48](#), [49](#), [51](#), [54](#), [55](#), [63](#), [67](#), [74](#), [80](#), [85](#), [87](#), [94](#), [98](#), [200](#), [203](#), [214](#), [215](#), [218](#)
- kanárek** Součást mechanismu umožňujícího detekci přepsání návratové adresy aktivačního záznamu. [60](#), [61](#), [63](#)
- Kernel mode** Stav procesoru, ve kterém procesor vykonává strojový kód jádra. [21](#), [24](#), [28](#), [37](#), [63](#), [64](#), [67](#), [74](#), [76](#), [80](#), [154](#), [211](#), [215](#)
- Kernel Space** Adresní rozsah ve [VAS](#) nepřístupný strojovému kódu běžícímu v [UM](#) – uživatelskému procesu. Podrobněji popsáno v sekci [9](#), [24](#), [29](#), [61](#), [63](#), [64](#), [67](#), [79](#), [80](#), [94](#), [96](#), [123](#), [126](#), [140](#), [153](#), [201](#), [211](#), [215](#), [217](#)
- kernel-space-stack** [Mapování](#) obsažené v [AS](#) procesu obsahující dynamickou datovou strukturu nutnou pro fungování rekurzivního volání systémových volání. Více viz kapitola [4.6.6](#). [9](#), [28](#), [29](#), [61](#), [62](#), [67](#), [74](#), [83](#), [96](#), [126](#), [149](#), [158](#), [199](#), [200](#), [216](#)
- KERNEXEC** [KERNEXEC](#) je bezpečnostní technika zavádějící v [Kernel Space](#) nespustitelné paměťové stránky. [10](#), [79](#), [80](#), [96](#), [215](#)
- kontext procesu** Stav procesu nebo též množina informací nutná k obnovení činnosti procesu poté, co byl přerušen. [24](#)
- label based MAC** Povinné řízení přístupu založené na značkách, tudíž nezávislé na umístění objektu (souboru) ve [FS](#). Značky jsou uchovávány odděleně od objektů. [48](#), [55](#)
- learning mode** Mód, v němž se nástroj jinak vynucující přístupová pravidla tato pravidla učí. Veškeré operace jsou procesu povoleny a zaznamenávány. Neshledá-li na nich při kontrole obsluha nic podezřelého, potom jsou tyto zaznamenané akce prohlášeny za jediné povolené aktivity daného procesu. [51](#), [55](#), [87–89](#), [91](#)
- Linux** Označení pro [jádro](#) operačního systému [GNU Linux](#) [[Sta](#)] vyvinuté Linusem Torvaldsem v roce 1991 a do dnešních dob rozvíjené pod licencí [GNU GPL 7](#), [13](#), [26](#), [28](#), [37](#), [43](#), [51](#), [63](#), [68](#), [74](#), [77](#), [80](#), [82](#), [94–97](#), [202–204](#), [213–215](#), [217](#), [218](#)
- Linux Intrusion Detection System** Patch [Linuxu](#) zvyšující bezpečnost specifický tým, že nastavení jím provedená jsou platná vždy pro všechny subjekty, neboť neuvažuje různé uživatelské identity. Více v kapitole [5.5.3](#). [44](#), [211](#)
- Linux Security Modules** Framework umožňující v [Linuxu](#) implementovat různé bezpečnostní politiky kategorie [MAC](#). [48](#)
- Local Descriptor Table** Obdoba [GDT](#) obsahující také adresy segmentů, avšak pouze těch, které jsou specifické pro právě běžící proces v systému. Každému procesu v systému náleží jedna [LDT](#). [211](#), [215](#)
- Logical Address Space** Adresní prostor tvořený logickými adresami. [23–26](#), [76](#), [211](#), [215](#), [218](#)
- logická adresa** Adresa používaná v rámci [LAS 76](#)
- LSM hook** Volání funkce umístěné těla jaderné funkce, ve které má smysl provádět [AC](#). [LSM hook](#) nese adresu [LSM modulu](#), pokud jej nasazené [AC](#) implementuje. [48–50](#), [209](#), [215](#)
- LSM modul** Funkce implementovaná nasazeným [AC](#), která je v různých situacích volána – vyzývána k zodpovězení otázky, zda povolit přístup. [48](#), [49](#), [51](#), [215](#), [218](#)
- Mandatory Access Control** Povinné řízení přístupu. Řízení přístupu založené na existenci centrální definice přístupových oprávnění k [objektům](#), kterou spravuje pro danou činnost pověřený uživatel typicky správce systému. Podrobněji je koncept povinného řízení přístupu popsán v sekci [9](#), [10](#), [16](#), [17](#), [38](#), [47–49](#), [51](#), [52](#), [54](#), [55](#), [67](#), [85–91](#), [199](#), [202](#), [206](#), [210](#), [211](#), [213](#), [215](#)
- mapování** Označení pro jednu funkčně jednotnou oblast paměti v [AS](#) procesu. [28](#), [29](#), [57–60](#), [67](#), [68](#), [70](#), [71](#), [73–75](#), [77](#), [95](#), [101](#), [203](#), [213–219](#)
- Memory Management Unit** Komponenta procesoru provádějící překlad [VA](#) na [PA](#) a řídicí paměťovou sběrnici procesoru. [25–27](#), [37](#), [75](#), [76](#), [95](#), [211](#)
- memory manager** Komponenta [OS](#) zodpovědná za správné fungování hlavní paměti. Více v sekci [4.2.1](#). [24](#)
- Michal Švamberg** Vedoucí diplomové práce, respektive konzultant nápomocný při tvorbě dokumentu, jehož je tento text součástí. [5](#), [54](#), [55](#), [97](#)
- mimo kontext procesu** Mimo kontext procesu se obecně vykonává činnost, která se nevztahuje k žádnému určitému procesu. Takovou činnost vykonává například vlákno plánovače procesů. [24](#)
- MMS (mapování)** *Memory Mapping Segment* je [mapování](#) v rámci [AS](#) procesu obsahující dynamicky linkované knihovny. Více viz kapitola [4.6.5](#). [28](#), [29](#), [60](#), [73](#), [81](#), [211](#), [217](#)

**MPROTECT** Ochrana paměťových stránek v rámci PaX, která zabrání vytvoření [mapování](#), které by bylo zapisovatelné a spustitelné zároveň. [75](#), [82](#), [95](#), [210](#)

**Nestálost měřicího/měřeného prostředí** V měřícím/měřeném prostředí, které mimo jiné popisuje kapitola [11](#), je zahrnut síťový spoj mezi počítači [xenmv](#) a [metalist](#). Tento spoj není vyhrazen pro komunikaci výhradně zmíněných dvou počítačů, nýbrž je sdílen vícero počítači, neb je na něm umístěn přepínač připojující [xenmv](#) a [metalist](#) minimálně k výchozí bráně. Provoz v síti může ovlivnit komunikaci mezi [xenmv](#) a [metalist](#). Síťové testy uvedené v tomto dokumentu proto mohou být [NMMP](#) postiženy. [117](#), [123](#), [125](#), [126](#), [139](#), [158](#), [211](#), [216](#)

**nezávisle proměnná veličina** Proměnná veličina, která se mění nezávisle vzhledem k jiným faktorům. Manipulujeme jí záměrně. [[Mec12](#)] [113–115](#), [118](#), [120](#), [134](#), [137](#), [140](#), [142](#), [145](#), [154](#), [156](#), [159](#), [161](#), [162](#), [164](#), [167](#), [169](#), [172](#), [174](#), [177](#), [180](#), [182](#), [211](#)

**No eXecute bit** Příznak umístěný v každém záznamu tabulky stránek nesoucí informaci o tom, zda-li je obsah umístěný na stránce, k níž se záznam váže, spustitelný. V architektuře [x86-32](#) není přítomen a je nutné jej emulovat softwarově. V [x86-64](#) je již přítomen. [37](#), [67](#), [74](#), [75](#), [80](#), [82](#), [95](#), [96](#), [125](#), [152](#), [153](#), [198](#), [199](#), [211](#)

**NOEXEC** Technika v rámci PaX vynucující podporu nespustitelných stránek na jakémkoliv mapování. [58](#), [63](#), [74](#), [75](#), [78](#), [95](#), [201](#), [204](#), [217](#)

**objekt** Zdroj existující v rámci systému. V případě operačního systému je zdroj zpravidla reprezentován souborem mapovaným do souborového systému [15–17](#), [37–41](#), [47](#), [52](#), [87](#), [89](#), [91](#), [202](#), [203](#), [213](#), [215](#), [217–219](#)

**odkládací prostor** Adresní prostor vyhrazený v externí paměti počítače. Jeho úlohou je v procesu stránkování (viz sekce [4.4.1](#)) poskytnout úložiště pro odkládání stránek mimo hlavní paměť čímž je kompenzována omezená velikost hlavní paměti – [PAS](#). [26](#), [212](#)

**offset** Relativní adresa čili posun vzhledem k počátku. [26](#), [27](#)

**Old Frame Pointer** Předchozí (1 krok starý) ukazatel na začátek nadřazeného [AZ](#). [30](#), [33](#), [211](#)

**Page eXec project** Soubor technik, které aktivně brání možnému zneužití [zranitelností](#) v podobě softwarových chyb umožňujících útočníkovi získat neomezený přístup do adresního prostoru napadeného procesu. [9](#), [10](#), [23](#), [26](#), [37](#), [55](#), [67–95](#), [100–102](#), [198](#), [201](#), [204](#), [207](#), [209–211](#), [216](#), [218](#)

**Page fault** Výjimka vzniknuvší v případě, že data, ke kterým je přistupováno, nejsou nahrána v hlavní paměti počítače. Její výskyt aktivuje programovou rutinu zajišťující uvolnění [rámce](#) a přenos požadované [stránky](#) do uvolněného [rámce](#). [26](#), [37](#), [61](#), [73](#), [76–78](#), [80](#), [206](#), [213](#)

**Page-table base register** Pojmenování registru procesoru, ve kterém je uložena [PA](#) začátku [tabulky stránek](#) v hlavní paměti [27](#), [212](#)

**Page-table length register** Pojmenování registru procesoru, ve kterém je uložena délka [tabulky stránek](#). [212](#)

**PAGEEXEC** Jedna ze dvou technik [emulace ne/spustitelných stránek](#) pro procesorovou architekturu [IA-32](#), které PaX nabízí. Více viz kapitola [9.2.2](#). [10](#), [26](#), [75](#), [76](#), [78](#), [82](#), [89](#), [95](#), [214](#)

**paravirtualizace** Technika virtualizace, kdy se prostředí pro virtualizovaný stroj neemuluje úplně, ale část instrukcí se zpracovává přímo prostřednictvím reálného prostředí. To však předpokládá spolupráci virtualizovaného stroje s hostitelem. [21](#)

**path based MAC** Povinné řízení přístupu založené na cestě k souboru v rámci filesystému. [48](#), [55](#)

**Physical Address Space** Adresní prostor, jehož délka odpovídá kapacitě v počítači instalované hlavní paměti [[Dud04](#)]. Tvoří jej *fyzické adresy (PA)*. V dnešních systémech je typicky řádově menší nežli logický/virtuální adresní prostor. Adresní prostor, jehož délka odpovídá kapacitě v počítači instalované hlavní paměti [[Dud04](#)]. Tvoří jej *fyzické adresy (PA)*. V dnešních systémech je typicky řádově menší nežli logický/virtuální adresní prostor. [23–28](#), [211](#), [216–218](#)

**Position Independent Code** Pozičně nezávislý kód je strojový kód, který je možné vykonat nezávisle na tom, na jaké adrese je v operační paměti umístěn. [68](#), [81](#), [211](#), [216](#)

**Position Independent Executable** Spustitelný soubor obsahující pozičně nezávislý kód ([PIC](#)). [68](#), [73](#)

**POSIX** Přenositelné rozhraní pro operační systémy vzniknuvší podle rozhraní systému UNIX. Popisuje základní systémovou funkcionalitu [212](#)

**POSIX ACL** Rozšíření základních přístupových práv. Umožňují definovat libovolně<sup>2</sup> dlouhé seznamy přístupových oprávnění, přičemž základní přístupová práva zůstávají vždy nezměněna. [39](#), [41](#), [48](#), [95](#)

**privilegovaný port** Port identifikovaný číslem z intervalu (1, 1023). [43](#), [45](#), [209](#)

**program counter** Speciální registr v procesoru, jehož účelem je adresovat instrukce strojového kódu v hlavní paměti počítače [20](#)

**prolog** Posloupnost instrukcí následující po každém volání funkce (po každém vykonání instrukce `call`). V rámci prologu se zakládá aktivační záznam na zásobníku a vyhrazuje prostor pro lokální proměnné. [83](#), [209](#), [217](#)

**převzetí kontroly** Softwarový útok vedený na konkrétní proces běžící v systému za účelem získání jeho identity, respektive z ní plynoucích přístupových oprávnění. [38](#), [42](#), [55](#), [60](#), [62](#), [67](#), [81](#)

**RANDEXEC** Technika měnící počátek [mapování text, data](#) a [BSS](#) v rámci [AS](#) procesu. [73](#), [89](#), [101](#)

**RANDKSTACK** Technika měnící počátek [mapování kernelpspace-stack](#) v rámci [AS](#) procesu. [74](#)



- RANDMMAP** Implementace [Address Space Layout Randomization](#), která modifikuje umístění jednotlivých [mapování AS](#) procesu. Aplikovatelná na [mapování text](#), [halda](#) a [MMS](#). [63](#), [73](#), [82](#), [89](#), [199](#)
- RANDUSTACK** Technika měnící počátek [mapování userspace-stack](#) v rámci [AS](#) procesu. [73](#), [74](#)
- RAP cookie** Záloha návratové adresy ([NA](#)) v podobě její kopie uložené do registru (na architektuře [x86-64](#) se jedná o registr [r12](#)). Tato záloha je vytvářena při vykonávání prologu funkce a porovnávána s originálem při vykonávání epilogu funkce. Je stěžejní komponentou bezpečnostní techniky [RAP](#) v patchi [Grsec](#). [83](#), [84](#)
- Real Identity** Uspořádaná dvojice ([UID,GID](#)) identifikující uživatele, který spustil proces. [20](#), [21](#), [38–41](#), [44](#), [47](#), [210](#), [212](#), [218](#)
- Reference Monitor** Komponenta systému provádějící řízení přístupu respektive rozhodující o schválení či zamítnutí žádostí [subjektů](#) o přístup k [objektům](#) [[OSSec](#)]. [17](#), [202](#), [212](#)
- relokace** Přemístění vůči původní či předpokládané budoucí pozici. V kontextu tohoto dokumentu je relokací zamýšleno přemístění strojového kódu na na jiné místo v [VAS](#), než pro jaké byl překladačem vytvořen. [25](#), [81](#)
- Request for Comments** Uspořádaná posloupnost oficiálních dokumentů, které definují standardy implementace síťových protokolů. Dokument do tohoto souboru vložený je dále neměnitelný/neaktualizovatelný. Změny jsou tak prakticky prováděny výhradně vkládáním nových dokumentů, které zpoza jiného pořadového čísla odkazují na dokument jim předcházející, který prohlašují na neplatný. [96](#), [212](#)
- Return Address Protection** Technika obrany proti [ROP](#) postavená na obohacení [prologů](#) a [epilogů](#) všech funkcí o kód ověřující skutečnost, že během vykonávání funkce nebyla na vrchol zásobníku podstrčena jiná návratová adresa. [10](#), [13](#), [83](#), [84](#), [96](#), [201](#), [203](#), [209](#), [212](#), [217](#)
- Return Instruction Pointer** Adresa paměti, na níž leží instrukce, která se bude vykonávat po opuštění [rozsahové jednotky](#), k níž je [aktivační záznam](#) vázán. [29–31](#), [33](#), [34](#), [59](#), [212](#)
- Return to direct mapped memory** Vylepšená varianta útoku [Return to userspace](#), která staví na faktu, že ochrany kontrolující přístup z [Kernel Space](#) do [User Space](#) jsou vázány na tabulku stránek a proto pro přístup do [User Space](#) využívá přímé mapování. [64](#), [67](#), [79](#), [80](#), [96](#), [201](#), [212](#), [214](#)
- Return to userspace** Útok postavený na principu přepsání funkčního ukazatele v rámci [Kernel Space](#) tak, aby směřoval do [User Space](#) [[KPK14](#)]. Více viz kapitola [8.9.2](#). [10](#), [64](#), [79](#), [80](#), [96](#), [201](#), [203](#), [212](#), [217](#)
- Return-Oriented Programming** Vylepšení útoku „shellcode injection“, které spočívá v rozdělení [shellcode](#) na části. Bylo vynalezeno za účelem obejít ochran zabráňujícím vykonávání obsahu mapování [userspace-stack](#) procesu ([NOEXEC](#)) [[Zah11](#)]. [9](#), [62](#), [64](#), [83](#), [84](#), [96](#), [201](#), [212](#), [217](#)
- return-to-lib** Označení pro kategorii útoků, při nichž se útočník snaží změnit tok instrukcí programu za jiné, v [AS](#) programu již existující instrukce. [57](#), [58](#), [95](#), [101](#), [203](#), [204](#)
- Ring 0** Nejvyšší možná úroveň oprávnění v rámci [x86](#)-kompatibilního procesoru zaručující neomezený přístup ke všem zařízením. V této úrovni oprávnění běží jádro operačního systému. [26](#), [37](#), [64](#), [76](#), [80](#), [218](#)
- Ring 1** Druhá nejvyšší úroveň oprávnění v rámci [x86](#)-kompatibilního procesoru. V této úrovni oprávnění běží na systémech s [Linuxem](#) buďto hypervizor nebo nic. [37](#), [76](#)
- Ring 2** Druhá nejnižší úroveň oprávnění v rámci [x86](#)-kompatibilního procesoru. Tato úroveň oprávnění není při nasazení [GNU Linux](#) využívána. [37](#)
- Ring 3** Nejnižší úroveň oprávnění v rámci [x86](#)-kompatibilního procesoru. V této úrovni běží všechny procesy běžící v systému. Kódu v této úrovni oprávnění není dovoleno přistupovat k paměťovým stránkám jiných [AS](#) nežli je jeho vlastní [AS](#) čili kód běžící v [Ring 3](#) je věznem vlastního [AS](#) a jakékoliv interakce s zařízeními či [AS](#) jiných procesů provádí pomocí jádra. [37](#), [217](#)
- Rings** Základní bezpečnostní technika přítomná na [x86](#)-kompatibilních procesorech. Jedná se o hierarchii 4 úrovní oprávnění, kde každá úroveň zahrnuje všechna oprávnění vzhledem k ní nižších úrovní. Více viz kapitola [5.1.1](#). [13](#)
- riziko** Pravděpodobnost, že dojde k uplatnění [hrozby](#) a vznikne škoda. [Hrozba](#) je tím pravděpodobnější, čím snadnější je určitou [zranitelnost](#) zneužít. [57](#)
- role** Povolení vykonávat množinu [transakcí](#) udělované [subjektu](#) správcem systému. [47](#), [85–87](#), [91](#), [209](#), [214](#)
- ROP chain** Posloupnost [ROP gadgetů](#) tvořících kód [exploit](#). [62](#)
- ROP gadget** Posloupnost instrukcí zakončená instrukcí `ret` nacházející se ve spustitelné oblasti [VAS](#) využívaná technikou [ROP](#) k sestavení kódu `glsg.exploit`. [62](#), [84](#), [217](#)
- rozsahová jednotka** Úsek kódu, kterému přináležejí určité lokální prostředí výpočtu (typicky lokální proměnné). Rozsahové jednotce odpovídá záznam na [userspace-stack](#) zvaný [aktivační záznam](#). Rozsahovou jednotku tvoří zpravidla blok, procedura či funkce. [29–34](#), [59](#), [60](#), [78](#), [212](#), [217](#)
- rámec** Pojmenování jednotky mapování (bloku dat) mezi [VAS](#) a [PAS](#) umístěné v rámci [PAS](#) [26](#), [27](#), [216](#)
- Saved Frame Pointer** Ukazatel na začátek nadřazeného [AZ](#). [29–31](#), [33](#), [34](#), [59](#), [212](#)
- segment** Samostatný adresový prostor existující v rámci [VAS](#). Obsahuje zpravidla jednu oblast z [VAS](#) dle členění [VAS](#) v kapitole [4.6](#). [25](#)
- segmentace** Mechanismus virtualizace paměti. Více v sekci [13](#), [17](#), [25](#), [26](#), [80](#)
- segmentová tabulka** Tabulka obsahující informace o segmentech [VAS](#). Více viz sekce [25](#)

- SEGMEXEC** Jedna ze dvou technik emulace ne/spustitelných stránek pro procesorovou architekturu IA-32, které PaX nabízí. 10, 26, 73, 77, 78, 82, 95, 214
- SELinux** Patch jádra využívající rozhraní definovaná LSM, respektive jedná se o LSM modul. 51–53, 55, 95, 203, 218
- SELinux doména** Množina SELinux typů. 52
- SELinux identita** Obdoba unixové identity (uživatele). Zavádí se pouze pro potřeby AC v rámci SELinuxu. Jedna SELinux identita může být přiřazena více uživatelům. 51, 52, 218
- SELinux kontext** Uspořádaná trojice (SELinux identita, SELinux role, SELinux typ). 52, 53
- SELinux politika** Sada pravidel určujících řízení přístupu při nasazení SELinuxu. 52, 53
- SELinux pravidlo** Předpis specifikující množinu povolených operací, které mohou subjekty určitého typu provádět nad objekty určitého typu. 52, 53
- SELinux pravidlo** Předpis specifikující množinu povolených operací, které mohou subjekty určitého typu provádět nad objekty určitého typu. 53
- SELinux role** Množina operací, které smí subjekt konkrétního typu v ní běžící vykonávat nad objekty. 51, 52, 218
- SELinux typ** Množina subjektů či objektů [Hol]. 52, 53, 218, 219
- setgid (sgid)** Příznak uložený v inode souboru mající vliv na EI procesu jej vykonávající. 41
- setuid (suid)** Příznak uložený v inode souboru mající vliv na EI procesu jej vykonávající. 40, 41
- shell** Program interpretující jemu předávané příkazy 61
- shellcode** Strojový kód vložený útočníkem do adresního prostoru procesu. 57, 59, 61, 62, 81, 217
- slabika** Jednotka množství informace. Dnes ve většině případů vyjadřuje to samé, co oktet – uspořádanou n-tici sestavenou z osmi bitů 21, 24
- slovo** Nejmenší jednotka, se kterou počítač pracuje, když zpracovává data. Délka slova v bitech je přímo úměrná maximální velikosti LAS 24
- SMT** Simultaneous Multithreading je technika vykonávání více vláken (mohou být původem z různých procesů) na jednom procesorovém jádru. Dnešní procesorová jádra běžně vykonávají instrukce mimo původní programové pořadí (out-of-order) a zároveň jich vykonávají více najednou, dovoří-li to okolnosti, čili nejsou-li dané instrukce na sobě závislé. V programech však zpravidla nebývá dostatečné množství nezávislých instrukcí k tomu, aby byl procesor plně využit. Proto byla vynalezena technologie SMT, kdy procesor přednačítá instrukce více vláken (v rámci architektury x86 typicky dvou) a redukuje tak čas čekání na načtení další informace z cache/paměti. 97, 212, 214
- SOFTMODE** Režim běhu, v němž jsou ochrany poskytované PaXem aktivovány pouze pro explicitně vyjmenované spustitelné soubory. 82
- Sticky bit** 41, 94
- strojová instrukce** Označení kódovaného příkazu pro provedení elementární operace procesoru, kterou je procesor schopen přímo vykonat 19
- stránka** Pojmenování jednotky mapování (bloku dat) mezi VAS a PAS umístěné v rámci VAS 26, 27, 67, 120, 216
- stránkování** Mechanismus virtualizace paměti. Více v sekci 24–26, 28
- subjekt** Aktivní entita provádějící operace nad objektem. V prostředí OS se jedná výhradně o proces. 15–17, 38, 39, 47, 51, 52, 81, 84–91, 199, 202, 203, 214, 217, 219
- supervisor bit** Jeden z příznaků vedených v každém záznamu tabulky stránek, jehož případné nastavení zamezí každému přístupu k dané paměťové stránce, pokud je veden při úrovni oprávnění nižší nežli Ring 0. 26, 76, 212
- sysctl proměnná** Proměnná v rámci Linuxu. Typicky modifikovatelná za běhu. Ovlivňuje chování jádra. 85, 100
- tabulka stránek** Datová struktura sloužící pro překlad VA na PA. Podrobněji v sekci 4.4.1.2 25–28, 64, 75, 76, 80, 212, 216, 218
- tabulka systémových volání** Klíčová datová struktura mapující čísla systémových volání na jim odpovídající funkce sys\_<jmeno>(). 80
- Task State Segment** Segment stavu procesu je datová struktura uložená v paměti, která nese všechny informace o procesu. Každému procesu v systému je tato struktura přidělena. V případě přerušení jsou všechny informace o procesu potřebné pro jeho obnovení uloženy právě do TSS. 212, 218
- TCSEC** Dokument definující kritéria pro hodnocení bezpečnosti informačních systémů. 7, 9, 10, 15–18, 201–204, 212
- TDI** Dokument definující kritéria pro hodnocení bezpečnosti databázových aplikací 15, 212
- text** Mapování obsažené v AS procesu obsahující strojové instrukce programu. Více viz kapitola 4.6.1. 28, 29, 59, 70, 81, 216, 217
- TNI** Dokument definující kritéria pro hodnocení bezpečnosti počítačových sítí 15, 212
- trampolína** Posloupnost instrukcí generovaná jádrem v reálném čase. 78, 79, 210, 214
- transakce** Jakákoliv aktivita v systému vyvolaná subjektem s výjimkou autentizace subjektu. 47, 217
- Translation Lookaside Buffer** Vyrovnávací paměť umístěná v procesoru urychlující překlad VA na PA. Více v sekci 25–27, 75, 76, 210–212, 214
- Trusted Computing Base** Označení pro soubor všech částí informačního systému potřebných pro vynucení bezpečnostní politiky [Sir]. Částmi jsou hardwarové i softwarové mechanismy ochrany. 212

- Trusted Path Execution** Technika ochrany, která omezuje oprávnění ke spouštění souborů, které neleží v důvěryhodných umístěních. Typicky se jedná o skripty ležící v adresáři /tmp. 87, 212
- Trusted System** Důvěryhodný systém je systém, který zahrnuje jak hardwarová, tak i softwarová opatření umožňující jeho použití pro zpracovávání různě citlivých informací zároveň. [Pat] 212
- Type Enforcement** Řízení přístupu na základě příslušnosti subjektů a objektů k určitému SELinux typu. 212
- UDEREF** Technika, která zabraňuje neúmyslnému přístupu do User Space z jádra. Více viz kapitola 9.5.2. 10, 79, 80, 96
- User mode** Režim systému, v němž běží uživatelské procesy. Více v sekci 21, 24, 28, 63, 64, 74, 76, 123, 154, 212, 215, 219
- User Space** Adresní rozsah ve VAS přístupný strojovému kódu běžícímu v UM – uživatelskému procesu. Podrobněji popsáno v sekci 24, 29, 61, 63, 64, 67, 73, 74, 77, 79, 80, 83–85, 87, 94, 96, 123, 126, 140, 153, 200, 201, 212, 217, 219
- userspace-stack** Mapování obsažené v AS procesu obsahující dynamickou datovou strukturu nutnou pro fungování rekurzivního volání podprogramů. Více viz kapitola 4.6.7. 28–30, 58, 59, 61, 62, 73, 74, 78, 95, 96, 199, 217
- uživatel** Identita existující v rámci systému 51, 218
- vanilla** Přívlastek (užívaný hlavně ve spojení s jádrem) vyjadřuje, že se jedná o základní podobu entity, tak jak jí vytvořil její původní autor. V případě se tímto přívlastkem označuje jádro z hlavní vývojové větve. Většina distribucí naproti tomu obsahuje jádra upravená. Pojem má původ v základní příchuti zmrzliny v USA – vanilkové. Původně znamenal „bez dalších příchutí“ 13, 51, 54, 96, 98, 203
- Virtual Address Space** Adresní prostor paměti, který je uspořádán jinak nebo je dokonce větší, než je fyzicky připojená hlavní paměť. 20, 21, 23, 24, 26–29, 60–62, 67, 73, 76, 78, 81, 89, 203, 212, 213, 215, 217–219
- x86** Instrukční sada používaná v IBM PC 10, 23, 26–28, 30–32, 34, 37, 62, 63, 75, 77, 80, 83, 84, 95, 125, 209, 212–214, 217–219
- zranitelnost** Slabé místo, které může být využito jednou nebo více hrozbami 7, 13, 31, 42, 57–59, 63, 67, 74, 94, 100, 203, 213, 214, 216, 217
- závisle proměnná veličina** Proměnná veličina, jejíž změny závisí na dalších faktorech. Její hodnotu se snažíme nalézt. [Mec12] 113, 115, 118, 120, 137, 140, 142, 145, 154, 156, 159, 162, 164, 167, 169, 172, 174, 177, 180, 182, 213
- čítač instrukcí** Registr v procesoru, jehož účelem je adresovat instrukce strojového kódu v operační paměti počítače. Po načtení strojové instrukce z paměti – z adresy dané tímto registrem – se hodnota v něm uložená zvýší o velikost instrukce (včetně operandů) a stane se tak adresou následující instrukce. 211
- čítač instrukcí** Registr v procesoru, jehož účelem je adresovat instrukce strojového kódu v operační paměti počítače. Po načtení strojové instrukce z paměti – z adresy dané tímto registrem – se hodnota v něm uložená zvýší o velikost instrukce (včetně operandů) a stane se tak adresou následující instrukce 30, 211
- řízení přístupu** Mechanismus rozhodování tom, které subjekty mohou přistupovat k objektu. 38, 44, 51

## A.13 Registry x86

- EBP** *Extended Base Pointer* je registr x86-kompatibilního procesoru obsahující adresu počátku aktivačního záznamu odpovídajícímu aktuálně vykonávané rozsahové jednotce. 29–35, 78
- ECX** *Extended Counter Register* je registr x86-kompatibilního procesoru používaný jako čítač pro počítadla cyklů. 78
- EIP** *Extended Instruction Pointer* je x86-kompatibilního procesoru obsahující adresu právě vykonávané instrukce. 29–31, 33–35, 59
- ESP** *Extended Stack Pointer* je registr x86-kompatibilního procesoru obsahující adresu vrcholu zásobníku. 29, 30, 32–35

## A.14 Použité informační zdroje

- [03] *Documentation for the PaX project*. 2003. URL: <https://pax.grsecurity.net/docs/index.html>.
- [16] *Capabilities. overview of Linux capabilities*. 2016. URL: <http://man7.org/linux/man-pages/man7/capabilities.7.html>.
- [17] *Pravidlo tří sigma*. 2017. URL: [https://cs.wikipedia.org/wiki/Pravidlo\\_t%C3%85%C2%99%C3%83%C2%AD\\_sigma](https://cs.wikipedia.org/wiki/Pravidlo_t%C3%85%C2%99%C3%83%C2%AD_sigma).
- [85] *Trusted Computer System Evaluation Criteria*. 1. vyd. Washington: U.S. Department of defense, 1985. URL: <http://csrc.nist.gov/publications/history/dod85.pdf>.
- [93] *Slovník výpočetní techniky*. Praha: Plus Publishing, 1993. ISBN: 8085297485.

- [AddUti] *Grsecurity: Additional Utilities*. URL: [https://en.wikibooks.org/wiki/Grsecurity/Additional\\_Utilities](https://en.wikibooks.org/wiki/Grsecurity/Additional_Utilities).
- [AGcomp] *AppArmor and SELinux Comparison*. URL: [http://www.suse.com/support/security/apparmor/features/selinux\\_comparison.html](http://www.suse.com/support/security/apparmor/features/selinux_comparison.html).
- [Ale14] Aleatha. *Where are extended attributes stored?* 2014. URL: <http://stackoverflow.com/questions/20618492/where-are-extended-attributes-stored>.
- [Ass] Tiago Assumpção. "Software Defense Mechanisms. PaX and the future". In: URL: [http://www.cin.ufpe.br/~ruy/crypto/seguranca/Software\\_Defense\\_Mechanisms--PaX\\_and\\_the\\_future.ppt](http://www.cin.ufpe.br/~ruy/crypto/seguranca/Software_Defense_Mechanisms--PaX_and_the_future.ppt).
- [Buc+08] Erik Buchanan et al. *Return-oriented Programming. Exploitation without Code Injection*. San Diego, 2008. URL: [https://www.blackhat.com/presentations/bh-usa-08/Shacham/BH\\_US\\_08\\_Shacham\\_Return\\_Oriented\\_Programming.pdf](https://www.blackhat.com/presentations/bh-usa-08/Shacham/BH_US_08_Shacham_Return_Oriented_Programming.pdf).
- [Buc15] Balazs Bucsay. "How to break out from various chroot solutions". 2015. URL: [https://deepsec.net/docs/Slides/2015/Chw00t\\_How\\_To\\_Break%20Out\\_from\\_Various\\_Chroot\\_Solutions\\_-\\_Bucsay\\_Balazs.pdf](https://deepsec.net/docs/Slides/2015/Chw00t_How_To_Break%20Out_from_Various_Chroot_Solutions_-_Bucsay_Balazs.pdf).
- [counter] *LinuxCounter*. 2011. URL: <https://www.linuxcounter.net/statistics/kernel>.
- [CVE] *Linux Kernel Vulnerability Statistics. Vulnerability Trends Over Time*. URL: <http://www.cvedetails.com/product/47/Linux-Linux-Kernel.html>.
- [CVE13] *CVE-2013-2141*. URL: <https://cve.mitre.org/cgi-bin/cvename.cgi?name=CVE-2013-2141>.
- [Čer09] Miroslav Čermák. *Řízení informačních rizik v praxi*. V Tribunu EU vyd. 1. Brno: Tribun EU, 2009. ISBN: 978-80-7399-731-1.
- [Den] Peter J. Denning. "Fault Tolerant Operating Systems". In: *ACM Computing Surveys* vol. 8.issue 4 (), s. 359–389. ISSN: 03600300. DOI: 10.1145/356678.356680. URL: <http://portal.acm.org/citation.cfm?doid=356678.356680>.
- [Dud04] Karel Dudáček. "Dekódování adres a návrh paměťového systému". In: (2004), s. 13.
- [ELS] Hussein El-Sayed. "Linux Security Modules Framework". In: (). URL: <http://se7so.blogspot.cz/2012/04/linux-security-modules-framework-lsm.html>.
- [GrSecDoc] *Grsecurity and PaX Configuration Options*. URL: [https://en.wikibooks.org/wiki/Grsecurity/Appendix/Grsecurity\\_and\\_PaX\\_Configuration\\_Options](https://en.wikibooks.org/wiki/Grsecurity/Appendix/Grsecurity_and_PaX_Configuration_Options).
- [Háj15] Lukáš Hájek. *Security Enhanced Linux*. 2015. URL: <http://kfe.fjfi.cvut.cz/~hajeklu2/files/AUX/Prezentace-SELinux/Hajek-AUX.pdf>.
- [Han93] *Hodnocení a klasifikace bezpečnosti informačních systémů* Petr Hanáček  
*Hodnocení a klasifikace bezpečnosti informačních systémů*, 1993
- [HI12] Marco-Gisbert Hector a Ripoll Ismael. *Preventing brute force attacks against stack canary protection on networking servers*. 2012. URL: [http://hmarco.org/data/Preventing\\_brute\\_force\\_attacks\\_against\\_stack\\_canary\\_protection\\_on\\_networking\\_servers.pdf](http://hmarco.org/data/Preventing_brute_force_attacks_against_stack_canary_protection_on_networking_servers.pdf).
- [Hol] Martin Holas. *Povinné řízení přístupu*. Brno. URL: <https://www.fi.muni.cz/~kas/p090/referaty/2005-podzim/st/selinux.html>.
- [Hor11] *Povinné řízení přístupu v Linuxu* Jan Horák  
*Povinné řízení přístupu v Linuxu*, 2011
- [IntelArk] *Intel® Xeon® Processor E5-2620 v2*. 2013. URL: [http://ark.intel.com/products/75789/Intel-Xeon-Processor-E5-2620-v2-15M-Cache-2\\_10-GHz](http://ark.intel.com/products/75789/Intel-Xeon-Processor-E5-2620-v2-15M-Cache-2_10-GHz).
- [Kit+15] *Counteracting Data-Only Malware with Code Pointer Examination* Thomas Kittel et al.  
*Counteracting Data-Only Malware with Code Pointer Examination*, 2015
- [Kor13] *Víceúrovňové systémy (MLS) v praxi* Jiří Kortus  
*Víceúrovňové systémy (MLS) v praxi*, 2013
- [KPK12] *KGuard* Angelos Keromytis, Georgios Portokalidis a Vasileios Kemerlis  
*KGuard*, 2012
- [KPK14] Vasileios Kemerlis, Michalis Polychronakis a Angelos Keromytis. *Ret2dir. Deconstructing Kernel Isolation*. Columbia University, 2014. URL: <https://www.blackhat.com/docs/eu-14/materials/eu-14-Kemerlis-Ret2dir-Deconstructing-Kernel-Isolation.pdf>.
- [Krč17] Petr Krčmář. *Bezpečnostní záplaty GrSecurity už nebudou k dispozici zdarma*. 2017. URL: <https://www.root.cz/clanky/bezpecnostni-zaplatty-grsecurity-uz-nebudou-k-dispozici-zdarma/>.

- [Kuč11] František Kučera. *Java a rozšířené atributy souborů*. 2011. URL: <https://blog.frantovo.cz/c/320/Java%20a%C3%82%C2%A0roz%C3%85%C2%A1%C3%83%C2%AD%C3%85%C2%99en%C3%83%C2%A9%20atributy%20soubor%C3%85%C2%AF>.
- [Li] Kai Li. "Virtual Memory". In: URL: <https://www.cs.princeton.edu/courses/archive/fall04/cos318/precepts/5.pdf>.
- [Luk13] Dejan Lukan. "Gentoo Hardening. Introduction to PaX and Grsecurity". 31.9.2013. URL: <http://resources.infosecinstitute.com/gentoo-hardening-part-2-introduction-pax-grsecurity/>.
- [Luk14] Dejan Lukan. *Running VirtualBox/VMWare on Hardened Kernel*. 2014. URL: <https://www.proteansec.com/linux/running-virtualboxvmware-hardened-gentoo/>.
- [Mec12] Erika Mechlová. *Role experimentu ve vědecké metodě*. Trojanovice, 2012. URL: [http://pdf.osu.cz/dokumenty/projekt-cz1072300090024/role\\_experimentu\\_ve\\_vedecke\\_metode.pdf](http://pdf.osu.cz/dokumenty/projekt-cz1072300090024/role_experimentu_ve_vedecke_metode.pdf).
- [MMC07] Frank Mayer, Karl MacMillan a David Caplan. *SELinux by example. using security enhanced Linux*. Upper Saddle River, NJ: Prentice Hall, c2007. ISBN: 9780131963696.
- [Moš] Petr Mošna. *Bezpečnostní model MAC v projektech GrSec a SELinux*. URL: [http://download.zcu.cz/public/Prezentace/seminare%20CIV%202010/bezpecnost\\_linux/mosna-mac.pdf](http://download.zcu.cz/public/Prezentace/seminare%20CIV%202010/bezpecnost_linux/mosna-mac.pdf).
- [Mül08] Tilo Müller. "ASLR Smack & Laugh Reference". In: *Seminar on Advanced Exploitation Techniques*. RWTH Aachen, Germany, 2008.
- [NXexp] *NX bit explained*. URL: [http://everything.explained.today/NX\\_bit/](http://everything.explained.today/NX_bit/).
- [Obe11] Jan Oberheide. *RELRO: RELocation Read-Only*. 2011. URL: <http://blog.isis.poly.edu/exploitation%20mitigation%20techniques/exploitation%20techniques/2011/06/02/reiro-relocation-read-only/>.
- [OberRos] Jon Oberheide a Dan Rosenberg. *Stack jacking. Your way to Grsec/Pax bypass*. URL: <https://jon.oberheide.org/files/stackjacking-hes11.pdf>.
- [OKB17] Oleksii Oleksenko, Dmitrii Kuvaiskii a Pramod Bhatotia. "Intel MPX Explained. An Empirical Study of Intel MPX and Software-based Bounds Checking Approaches". In: (2017). URL: <https://intel-mpx.github.io/>.
- [OSSec] "Operating Systems Security. Some basics". In: s. 11. URL: <http://www.cse.chalmers.se/edu/year/2015/course/EDA263/oh15/L06%2005%20Security.pdf>.
- [Pat] Wayne Patterson. "Inside the Orange Book". URL: [http://www.howard.edu/cs1/courses/cae-iae/lec-notes/sycs%20653/lecture\\_notes\\_12\\_fall\\_2010.ppt](http://www.howard.edu/cs1/courses/cae-iae/lec-notes/sycs%20653/lecture_notes_12_fall_2010.ppt).
- [Pel07] Tomáš Pelka. *Lokální útoky na operační systém linuxového typu*. 2007. URL: <http://www.abclinuxu.cz/clanky/bezpecnost/lokalni-utoky-na-operacni-system-linuxoveho-typu>.
- [PKK14] *Ret2dir* Michalis Polychronakis, Angelos Keromytis a Vasileios Kemerlis *Ret2dir*, 2014
- [Pol16] Polynomial. *How does reuse attack protection (RAP) work?* 2016. URL: <http://security.stackexchange.com/questions/121942/how-does-reuse-attack-protection-rap-work/121944>.
- [RFC792] J. Postel. "INTERNET CONTROL MESSAGE PROTOCOL". 1981. URL: <https://tools.ietf.org/html/rfc792>.
- [RFC793] "TRANSMISSION CONTROL PROTOCOL". Information Sciences Institute University of Southern California, 1981. URL: <https://tools.ietf.org/html/rfc793>.
- [Ros10] Dan Rosenberg. *Restrict unprivileged access to kernel syslog*. 2010. URL: <http://git.kernel.org/?p=linux/kernel/git/torvalds/linux-2.6.git;a=commitdiff;h=eaf06b241b091357e72b76863ba16e89610d31bd>.
- [Sir] Emin Gun Sirer. *Emin Gun Sirer*. URL: <http://www.cs.cornell.edu/courses/cs414/2001sp/lectures/35-secmodels.pdf>.
- [SJ04] Peter Silberman a Richard Johnson. *A Comparison of Buffer Overflow Prevention Implementations and Weaknesses*. 2004. URL: <https://www.blackhat.com/presentations/bh-usa-04/bh-us-04-silberman/bh-us-04-silberman-paper.pdf>.
- [SM94] Carl Staelin a Larry McVoy. *Lat\_connect - measure interprocess connection latency via TCP/IP*. 1994. URL: [http://manpages.ubuntu.com/manpages/zesty/en/man8/lat\\_connect.8.html](http://manpages.ubuntu.com/manpages/zesty/en/man8/lat_connect.8.html).
- [Spe03] Brad Spengler. "Grsecurity ACL documentation". 2003. URL: <https://www.grsecurity.net/~spender/newDoc.pdf>.
- [Spe15] Brad Spengler. *Important Notice Regarding Public Availability of Stable Patches*. 26.8.2015. URL: <https://grsecurity.net/announce.php>.

- [Spe16] Brad Spengler. *RAP is here. Public demo in 4.5 test patch and commercially available today!* 2016. URL: [https://grsecurity.net/rap\\_announce.php](https://grsecurity.net/rap_announce.php).
- [Spe17] Brad Spengler. *Passing the Baton*. 2017. URL: [https://grsecurity.net/passing\\_the\\_baton.php](https://grsecurity.net/passing_the_baton.php).
- [Sta] Richard Stallman. *Linux and the GNU System*. URL: <http://www.gnu.org/gnu/linux-and-gnu.html.en>.
- [Sta02] Carl Staelin. *Lmbench3. measuring scalability*. 2002. URL: <http://www.hp1.hp.com/techreports/2002/HPL-2002-313.pdf>.
- [Viv09] Gite Vivek. *Linux Kernel Security. SELinux vs AppArmor vs Grsecurity*. 2009. URL: <http://www.cyberciti.biz/tips/selinux-vs-apparmor-vs-grsecurity.html>.
- [Zah11] Tomáš Zahradnický. *Bezpečnost a bezpečné programování. Přetečení bufferu*. Praha, 2011. URL: <https://edux.fit.cvut.cz/oppa/MI-BPR/prednasky/bpr-3.pdf>.